



Universidad
del País Vasco

Euskal Herriko
Unibertsitatea

MEDIKUNTZA
ETA ERIZAINTZA
FAKULTATEA
FACULTAD
DE MEDICINA
Y ENFERMERÍA

Oligodendrozitoen RNAREN metabolismoaren eta itzulpenaren dinamiken alterazioak identifikatzen Alzheimer gaixotasunean

Adhara Gaminde Blasco

2023

Zuzendaria:

Dra. Elena Alberdi Alfonso

Zuzendarikidea:

Dra. Jimena Baleriola Gómez de Pablos

Edukien taula

LABURDURAK	v
SARRERA	1
1. Oligodendrozitoak	1
1.1 Oligodendrozitoen desberdintzapena	1
1.2 Oligodendrozitoen morfologia	4
1.3 Oligodendrozitoen funtzioak	5
2. Oligodendrozitoen mielinizazioa	7
2.1 Mielina	10
2.2 Mielinaren trinkotzea	12
2.3 Mielinaren berritzea eta plastikotasuna	12
3. Mielinaren oinarrizko proteina: MBP	13
3.1 MBParen funtzioa	14
3.2 MBParen sintesia: mRNAren garraioa eta itzulpena	15
4. Alzheimer gaixotasuna	17
4.1 β -amiloide peptidoa	19
5. Alzheimerra eta substantzia zuria	20
5.1 Oligodendrozitoak eta β -amiloide peptidoa	21
5.2 Oligodendrozitoak eta AG animali-ereduak	22
5.3 Oligodendrozitoak eta mielina AG pazientetan	24
HIPOTESI ETA HELBURUAK	27
MATERIAL ETA METODOAK	28
1. Animaliak	28
1.1 Saguak eta arratoiak	28
1.2 Zebra-arraina	28
2. Kultibo zelularrak	29
2.1 Oligodendroto kortikalaren kultibo primarioa	29
2.2 Neurona hipokanpalen kultibo primarioa	30
2.3 Hipokanpoko kultibo organotipikoa	31
3. Giza-laginak	31
4. A β oligomeroen prestaketa	32
5. Inhibitzaileak eta geneen isilpena siRNAren bidez	33
6. Proteina estraktuen prestaketa and western blot bidezko detekzioa	33
6.1 Oligodendrozitoen proteinen prestaketa	33
6.2 Animalia-ehunen proteinen prestaketa	34

6.3 Western blot-a.....	34
7. Immunoprezipitazioa.....	36
7.1 Ko-immunoprezipitazioa	36
7.2 Immunoprezipitazioa	36
7.3 RNA immunoprezipitazioa (RIP).....	37
8. Immunoentseguak.....	38
8.1 Oligodendrozitoen eta neuronen kultibo primarioak.....	38
8.2 Ebakidura organotipikoak	38
8.3 Ebakidura akutuak.....	39
8.4 Saguen ehunak.....	39
8.5 Parafinan enbeditutako giza sekzioak	40
8.6 Analisi immunokimikoak	40
9. Puromizinaren hurbiltasun-loturaren proba (Puro-PLA)	42
10. Nanofibretan hazitako oligodendrozitoen desberdintzapen entsegua	43
11. Mikroskopio elektronikoa	44
12. Injekzio intrahipokanpalak sagu helduetan	45
13. Magnetikoki aktibatutako sailkapen zelularra (MACS)	45
14. RNAren erauzketa eta kuantifikazioa	46
14.1 RNA erauzketa	46
14.2 Alderantzizko transkripzioa and polimerasaren kate-erreakzio kuantitatiboa (RT-qPCR)	46
14.3 RNA-seq	47
15. RNAren hibridazioa.....	50
16. Entsegu immunoentzimatikoa (ELISA).....	50
17. Besikula estrazelularren (BE) purifikazioa	51
18. <i>In vivo</i>ko irudien hartzea denbora errealean	51
18.1 Fluorescent recovery after photobleaching (FRAP)	51
18.2 Kaltzio zitosolikoaren neurketa oligodendrozito kultiboetan	53
18.3 Kaltzio zitosolikoaren neurketa kultibo organotipikoetan	53
18.4 Mielina zorroen bisualizazioa zebra-arrainean	54
19. Analisi estatistikoak.....	54
EMAITZAK	55
I. PARTEA: Oligodendrozitoen erantzun transkriptomiko differentziala Alzheimer patologiaren aurrean.....	55
1.1 Aβ₁₋₄₂ oligomeroek oligodendrozitoen transkriptoma aldatzen dute <i>in vitro</i>	55
1.2 Aβ-o-rekin tratatuko eta 3xTg-AG-etik isolatutako oligodendrozitoen arteko analisi konparatiboa	58

1.3 Aβ-rekin tratatutako, 3xTg-AG-ko eta AGko oligodendrozitoen arteko analisi konparatiboa	60
II. PARTEA: Aβ_{1-42} oligomeroen efektua RNAREN metabolismoan eta itzulpen lokalean.....	63
2.1 Fase goiziarreko AG pazienteen hipokanpoek hnRNP A2 mailen handipena erakusten dute	63
2.2 hnRNP A2 gain-erregulatuta dago 3xTg-AG-ren hipokanpoan eta Aβ-injektatutako saguetan.....	64
2.3 Aβ_{1-42} oligomeroek hnRNP A2ren adierazpena gain-erregulatzen dute	67
2.4 Aβ_{1-42} oligomeroek hnRNP A2ren interaktoma aldatzen dute.....	68
2.5 Aβ_{1-42} oligomeroek hnRNP A2 eta <i>Mbp/Mobp</i> mRNAren arteko elkarrekintza sustatzen dute	72
2.6 Aβ_{1-42} oligomeroek hnRNPA2ren fosforilazioa eragiten dute <i>Mbp</i> eta <i>Mobp</i>-ren itzulpen lokala sustatzu.....	73
2.7 Aβ_{1-42} oligomeroek <i>Mbp</i> eta <i>Mobp</i>-ren RNA granuluen kopurua eta dinamika aldatzen dute.....	76
2.8 Aβ_{1-42} oligomeroek desberdintzapen-markatzailak gain-erregulatzen ditu <i>in vitro</i>	79
2.9 3xTg-AG-ko sagu helduek MBP eta MOBP maila handiagoak erakusten dituzte hipokanpoan eta mielinan	81
2.10 MBParen gainadierazpena oligodendrozitoen funtzoak aldarazten ditu	84
2.10.1 MBParen gainadierazpenak kaltzioaren sarrera inhibitzen du.....	84
2.10.2 Aβ_{1-42} oligomeroek kaltzioaren sarrera inhibitzen dute ebaketa organotipiko hipokanpaletan.....	86
2.10.3 MBParen gainadierazpenak proteinen sintesia sustatzen du.....	87
PART III: Aβ_{1-42} oligomeroen efektua aktinaren dinamikan eta mielinizazioan	90
3.1 Aβ_{1-42} oligomeroen efektua aktinaren dinamikan <i>in vitro</i>	90
3.1.1 Aβ_{1-42} oligomeroak oligodendrozitoen morfologia aldatzen dute	90
3.1.2 Aβ_{1-42} oligomeroek aktinaren dinamika sustatzen dute.....	93
3.1.3 Aβ_{1-42} oligomeroak F eta G-aktina ratioa aldatzen du kofilinaren bidez	94
3.2 Aβ_{1-42} oligomeroen efektua <i>in vivo</i> mielinizazioan	96
3.2.1 3xTg-AG saguen hipokanpoek mielina lodiagoa dute.....	97
3.2.2 Aβ-ekin injektatutako zebra-arrainek mielinizazioan aldaketak dituzte	97
IV. partea: Kontrol eta Aβ-rekin tratatutako oligodendrozitoetik erorritako besikula estrazelularren deskribapena eta efektua.....	102
4.1 Aβ_{1-42} oligomeroak besikula estrazelularren askapena estimulatzen du oligodendrozitoetan	102
4.2 Oligodendrozitoen BEen eragina neuronetan	104
EZTABAINA.....	110
1. Aβ-ekin tratatutako oligodendrozitoek energia eta kolesterol metabolismoan alterazioak erakusten dituzte	110

2. Aβ-o-ekin tratatutako oligodendrozitoek hnRNP A2 eta RNAren metabolismoa aldaketak erakusten dituzte	112
3. Aβ oligomeroek MBP eta MOBPren itzulpen lokala sustatzen dute RNA granuluen dinamika aldatuz	115
4. MBP and MOBP gain-erregulatuta daude 3xTg-AG sagu helduan.....	117
5. MBP gainadierazpenak kaltzioaren sarrera inhibitua eta proteinen sintesia sustatzen du	119
6. Aβ oligomeroek oligodendrozitoen morfologia aldatzen dute aktina zitoeskeletoaren berrantolaketaren bidez.....	121
7. Aβ oligomeroek mielinizazioa bultzatzen dute <i>in vivo</i>	122
8. Aβ oligomeroek besikula estrazelularren askapena sustatzen dute eta hauetako ondorio funtzionalak dituzte neuronetan	123
9. Azken oharrak.....	125
ONDORIOAK.....	128
ERREFERENTZIAK	130

LABURDURAK

3xTg-AG	Mutazio hirukoitza duen AGren sagu eredua
3'UTR	3' itzuli gabeko eskualdea
5XFAD	AGren sagu eredua bost mutazioekin
A2RE	<i>Cis-acting sequence A2-reponse element</i>
aCSF	Garuneko likido artifiziala
ACTB	β -aktina
AG	Alzheimer gaixotasuna
AICD	APPren domeinu intrazitoplasmatikoa
Akt	Serina/treonina proteina kinasa
ANOVA	Bariantza-analisia
ApoE	Apolipoproteina E
APP	Amiloidearen proteína prekurtsorea
APP/PS1	Mutazio bikoitza duen AGren sagu eredua
Arp2/3	Actin related protein 2/3 complex
ATP	Adenosina trifosfatoa
Aβ	Amiloide β peptidoa
Aβo	Amiloide β oligomeroak
b.a.	Balio arbitrarioak
BACE	β -site amyloid precursor protein cleaving enzyme
PB	Prozesu biologikoa
bHLH	<i>Basic helix-loop-helix</i>
BSA	Behi serualbumina
Ca²⁺	Kaltzioa
CAP	Compound action potential
Caspr	<i>Contactin associated protein 1</i>
cDNA	DNA osagarria
CERAD	Alzheimer gaixotasuna erregistratzeko konsentsua
CNPase	2', 3'-nukleotido zikliko-3'-fosfodiesterasa
NZS	Nerbio sistema zentrala
CNTF	<i>Ciliary neurotrophic factor</i>
CSF	Likido zefalorrakideoa
Ct	<i>Threshold cycle</i>
DAPI	<i>4'-6-diamidino-2-phenylindale</i>
DAG	Diferentzialki adierazitako geneak
BH	Biraketa horzduna
EIV	Egun <i>in vitro</i>
DEPC	Dietilpirokarbonato

DMEM	Dulbecco-k aldatutako Eagle-en Medioa
DMSO	Dimetil sulfoxidoa
DNA	Azido deoxierribonukleikoa
EPF	Egunak post fertilizazio
EDTA	Ethylenediamine tetraacetic acid
ELISA	Enzyme-linked immunosorbent assay
ME	Mikroskopio elektronikoa
EE	Erretikulu endoplasmatikoa
BE	Besikula estrazelularra
F-aktina	Aktina filamentosoa
FBS	Behi serum fetal
FRAP	Fluorescence recovery after photobleaching
FTH1	<i>Ferritin heavy chain</i>
G-aktina	Aktina globularra
GAPDH	<i>Glyceraldehyde-3-phosphate dehydrogenase</i>
SG	Sustantzia grisa
GO	Geneen ontologia
HBSS	Hank's balanced salt solution
HEPES	4-(2-hydroxyethyl)-1-piperazineethanesulfonic acid
HFIP	Hexafluoroisopropanol
hnRNP	Heterogeneous nuclear ribonucleoprotein
Hp	Hippocampus
HPF	Hours post fertilization
HRP	Horseradish peroxidase
IP	Immunoprecipitation
Itgβ1	Integrin β 1
KCl	Potassium chloride
kDa	Kilodalton
LatB	Latrunculin B
MAG	Myelin associated glycoprotein
MBP	Myelin basic protein
MCI	Mild cognitive impairment
MCT	Monocarboxylate transporter
MOBP	Myelin associated oligodendrocyte basic protein
MOG	Myelin oligodendrocyte glycoprotein
MRI	Magnetic resonance imaging
mRNA	Messenger ribonucleic acid
Myrf	Myelin regulatory factor
NFT	Neurofibrillary tangles
NGS	Normal goat serum
NMDA	N-methyl-D-aspartate
NT-3	Neurotrophin 3
OL	Oligodendrocyte
Olig1 and 2	Oligodendrocyte transcription factor 1 and 2

OPC	Oligodendrocyte progenitor cell
ORG	Organotypic culture
PB	Phosphate buffer
PBS	Phosphate saline buffer
PCL	Polycaprolactone
PDGFR-α	Platelet-derived growth factor receptor-α
PDL	Poly-D-Lysine
PFA	Paraformaldehyde
PLA	Proximity ligation assay
PLP	Myelin proteolipid protein
PSD95	Postsynaptic density protein 95
PSN 1 and 2	Presenilin 1 and 2
RIP	RNA-immunoprecipitation
RNA	Azido erribonukleiokoa
RNA-seq	RNAren sekuentziaziaoa
ROI	Intereseko eskualdea
RT-qPCR	Denbora errealeko polimerasaren kate-erreakzioa kuantitatiboa
S.E.M.	Standard error of the mean
SDS	Sodium dodecyl sulfate
SDS-PAGE	SDS polyacrylamide gel electrophoresis
SFP	Src family kinase
siRNA	Small interfering RNA
SIRT2	Deacetylase sirtuin 2
sncRNA	Small non-coding RNA
T3	Triiodotironina
T4	L-Tirosina
TBS	<i>Tris-buffered saline</i>
TSG 101	Tumor susceptibility gene 101
VGCC	Boltai menpeko kaltzio kanalak
WB	Western blot-a
SZ	Substantzia zuria
WT	Jatorrizko anduaia

SARRERA

1. Oligodendrozitoak

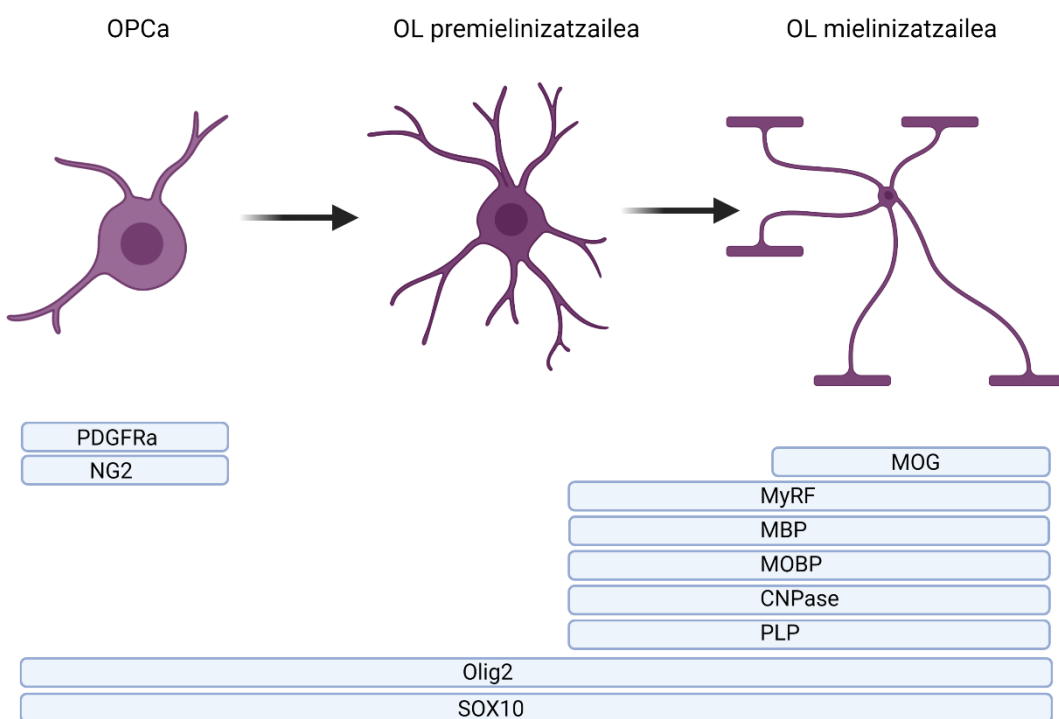
Giza burmuinaren bolumenaren erdia baino gehiago substantzia edo gai zuriak (SZ) osatzen du, zeinak nerbio-sistema zentralean (NSZ) funtzio kognitibo egokirako behar den nerbio-eroopen azkar eta eraginkorra ahalbidetzen duen. SZ NSZko axoi mielinizatz osatutako eremuei dagokie. Oligodendrozitoek mintz prozesuak hedatzen dituzte neurona anitzen axoiak inguratzeko. Modu horretan, lipido multilamelarrezko egitura oso espezializatuak sortu eta mantentzen dituzte axoien inguruan, mielina izenez ezagutzen direnak. Horri esker, oligodendrozitoek laguntza trofikoa eta metabolikoa ematen diete neuronei, biak ere bizirauteko funtsezkoak. Gainera, eroopen azkarra ere sustatzen dute, Ranvier nodoetan (mielinan dauden aldizkako hutsartea) tentsio-menpeko sodio kanalak kontzentratuz (Moore et al., 2020; Nave, 2010).

Karraskarietan mielinaren eraketa jaiotzean hasi, eta 2 hilabete inguruan bukatzen da. Gizakietan, berriz, bizitzako lehen 2 urteetan gertatzen da, baina SZ bolumena bizitzaren erdira arte handituz doa, proiekzio axonal berriak mielinizatu ahala. Mielina etengabe trukatzen eta berritzen da, oso plastikoa baita; esperientziaren arabera alda daiteke, eta ikaskuntzan, oriomenean, eta funtzio kognitibo arruntean paper garrantzitsuak dituela dirudi (Fields, 2008).

1.1 Oligodendrozitoen desberdintzapena

NSZeko zelula glialen mota nagusietako bat oligodendrozitoak dira, mikroglia eta astrogliarekin batera. Zelula progenitore neural espezifikoetatik eratortzen dira, zelula progenitore oligodendrozitarioetatik (OPCak; NG2-glia ere esaten zaie), hain zuzen. Garapenean zehar, OPCek migratu egiten dute garatzen ari den substantzia zuria populatz. Bertan, ugarituz eta modu uniformean sakabanatuz prozesu-sare bat osatzen dute. Migratu eta eskualde egoki batean ezarri ondoren, OPC batzuk aitzindari izaten jarraitzen dute, eta, beste batzuk, aldiz, mielina sortzen duten oligodendrozitoetan desberdintzatzen dira, oligodendrozito heldu berrien etengabeko iturria emanet.

Prozesu horri oligodendrogenesia deritzo, eta hiru etapa kanoniko ditu: OPCak, oligodendrozito pre-mielinizatzaleak (preOL) eta oligodendrozito mielinizatzaleak (OL). Fase fenotípiko espezifikoak markatzaile molekularrek eta morfologíak definitzen ditu (Baumann & Pham-Dinh, 2001) (**1. irudia**). OPCak migratu eta ugaldu egiten dira, plaketetatik eratorritako hazkunde-faktorearen (PDGFR- α) hartzalea adierazten dute bereziki, eta forma bipolarra edo izartua izaten dute. Leinuak aurrera egin ahala, OPCak oligodendrozito premielinizatzale edo heldugabeetan bereizten dira; eta oso morfología adarkatua garatzen dute axoiak lortzeko helburuarekin. Desberdintze-fase horren ezaugarri bezala oligodendrozitoek hiru markatzaile mieliniko nagusi adierazten dituzte: 2', 3'-nukleotido ziklico 3' fosfodiesterasa (CNPasa), eta O4 eta O1 mintz markatzaileak. Azkenik, zelula horiek oligodendrozito mielinizatzaleetan edo helduetan bereizten dira. Oligodendrozito helduek mielinaren eta mielina proteinen ekoizpena dute ezaugarri, besteak beste, mielinaren oinarrizko proteina (MBP), proteina proteolipidoa (PLP), mielinari lotutako oligodendrozitoen oinarrizko proteina (MOBP), mielinari lotutako glikoproteina (MAG) eta mielina-oligodendrozito glikoproteinarena (MOG). Mielinazko zorroak izaten dituzte, substantzia zurian paraleloki eta substantzia grisean ausaz orientatzen diren bastoi formako prozesuak, hain zuzen (Young et al., 2013).



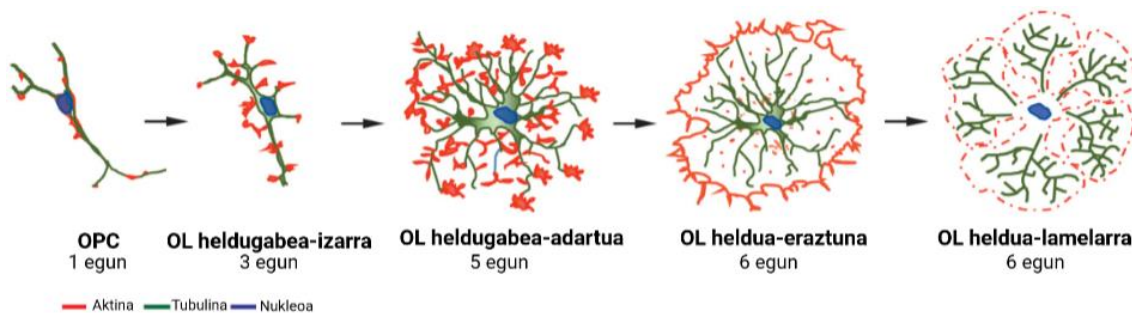
1. irudia. Oligodendrozitoen desberdintzaren faseak. Oligodendrozito leinuko zelulak hiru desberdintzen fasetan bereiz daitezke, proteinen adierazpenean oinarrituta: zelula progenitore oligodendrozitarioak, oligodendrozito premielinatzaleak eta oligodendrozito mielinatzaleak. Funtsean, OPC guztiak NG2 proteoglikanoa eta PDGFR α adierazten dute, oligodendrozito premielinatzaleek mielina faktore erregulatzailea (MyRF), eta oligodendrozito mielinatzaleek MBP, MOBP, PLP, CNPase eta MOBP bezalako mielina proteinak gainadierazten dituzte. MOG da oligodendrozitoek adierazten duten azken markatzalea. Oligodendrozito leinuko zelula guztiak OLIG2 eta SOX10 transkripzio-faktoreak adierazten dituzte. Pepper et al., 2018etik egokitura. BioRenderren egindako ilustrazioa.

Hala ere, desberdintasun fenotipiko horien atzean dauden mekanismo molekular eta zelularak ez daude argi. Zelula bakarreko transkriptomikan egin berri diren aurrerapenek agerian utzi dute oligodendrozitoen populazio desberdinak daudela, heterogeneotasun funtzional posible bat iradokitzen du (Marisca et al., 2020; Marques et al., 2016). Guztira, 12 populazio desberdin ikusi zituzten, OPCtik OL helduetara: OPCak, probestu diren oligodendrozitoen aitzindariak (COP), eratu berri diren oligodendrozitoak (NFOL1-2), mielina eratzen duten oligodendrozitoak (MFOL1-2) eta oligodendrozito helduak (MOL1-6). OLak heltzeko hasierako etapak sekuentzialak eta uniformeak ziren NSZko eskualde guztieta, aldiz, OL helduek eskualde-espezifikotasuna erakutsi zuten, proportzio bakanetan egonez garuneko eskualde bakoitzean (Marques et al., 2016).

Oligodendrozitoen desberdintzaren prozesuaren etapa guztiak transkripzio-faktoreek arautzen dituzte aktiboki. Erregulatzaile positiboak mielinaren faktore erregulatzailea (Myrf), Olig1/2, Sox2/3/10 eta Nkx2.2 dira, eta sinergikoki elkarreagiten dute heltze-prozesua bultzatzeko (Elbaz & Popko, 2019). Olig2 leinu oligodendrozitario osoan zehar adierazten da, etapa helduetan maila pixkanaka murriztuz (Kitada & Rowitch, 2006). Myrf, berriz, espezifikoki induzitzen da OL desberdintzapenean. Hes1/5 eta Id2/4 transkripzio-faktoreek erregulatzaile negatibo gisa jarduten dute transkripzio-faktore pro-desberdintzapatetara zuzenean batuz, adibidez, oligodendrozitoen transkripzio faktorea 1 (Olig1) eta Sox10era, beren funtzioa inhibitzea (Liu et al., 2006; Samanta & Kessler, 2004).

1.2 Oligodendrozitoen morfologia

Morfologiari dagokionez, oligodendrozitoak NSZko zelula aldakor eta konplexuenetariko bat dira. OPCek oligodendrozito helduetara eboluzionatzen dute, zeintzuek prozesu sare konplexu eta zabala hedatzen duten, mielina-zorroa sortzera daramana. OPCak OL helduetara ailegatu arte gertatzen diren trantsizio mekanikoak zelula birmoldaketa esanguratsuenetako bat dira. Aldaketa horiek, modu espazialean eta temporalean erregulatuta daude aktinaren, miosina-II motorren eta zelula-mintzeko mikrotubuluen eta itsaspen-konplexuen arteko interakzio dinamikoen bidez. Aktina filamentosoa (F-aktina) mikrotubuluak baino dinamikoagoa da, ordezte-tasa handiagoa eta berrantolaketa-potenzial azkarragoa baititu. Horri esker, zelulek forma azkar aldatu eta migratu dezakete. Aktinaren sare zelularren berrantolaketak, plastikotasun morfologikoa gobernatzen du oligodendrozitoetan (Song, Goetz, Baas, & Duncan, 2001), haien garapen eta heltze prozesurako garrantzitsua dena.



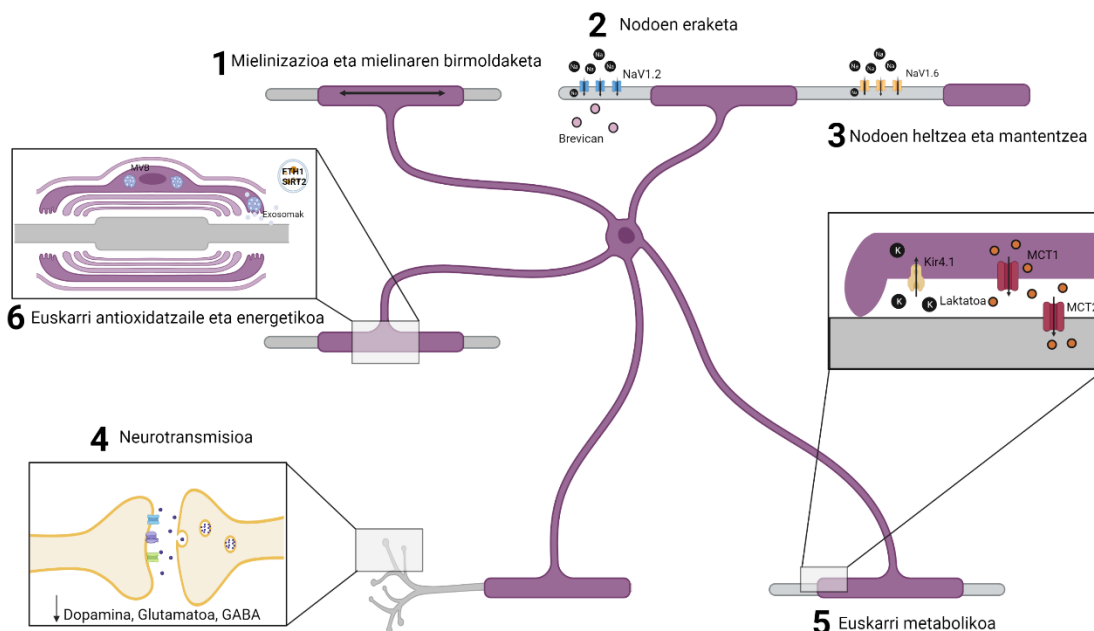
2. irudia. Zitoeskeletoaren banaketa espazio-temporala eta dinamika in vitro OLen desberdintzapenean eta mielinizazioan. Aktinaren eta mikrotubuluen antolaketa OLen garapenean zehar. OPC batek in vitro heltzeko 6 egun behar ditu gutxi gorabehera, eta beharrezkoa da aktina eta tubulina zitoeskeletoa birmoldatzea. Domingues et al., 2017etik egokitua.

In vitro oligodendrozitoen desberdintzapenaren lehen egunetan, mintzaren luzapena eta arborizazioa aktinaren eta tubulinaren polimerizazioaren menpe daude. Aktinazko filamentuak, batez ere, protrusioetan agertzen dira, eta, mikrotubuluak, berriz, zelularen gorputzean. *In vitro*, OLen heltzea 5 eta 7 egun artean iristen da, non aktinaren adarren arteko konexio distal gehiago ezartzen diren, mikrotubuluen inbasio gutxiagorekin. Fase horretan, aktinaren despolimerizazio-tasa handitzeak aukera

ematen du protrusioak orri bihurtzeko, zelulen zurruntasun-aldaketa esanguratsuekin batera (Domingues et al., 2018; Thomason, Escalante, Osterhout, & Fuss, 2020).

1.3 Oligodendrozitoen funtzioak

OLen funtzi nagusia axoiaren inguruan mielina-zorroa eratzea da (**3. irudia**). Funtzionalki, mielinak eroopen-abiadura maximoa ahalbidetu eta energia axonalaren kontsumoa murrizten du (Crotty, Sangrey, & Levy, 2006; Waxman, 1997). Izan ere, mielina-zorroaren bidezko isolamendu axonalak murriztu egiten ditu energia-eskakizunak eta azeleratu egiten du nerbio-eroankortasuna 20-100 aldiz, mielinizatu gabeko axoiekin alderatuta. Gainera, oligodendrozitoek 80 mielina-zorro ezberdin eratzentzituz hainbat eremu axonaletan (internodoak), axoiaren kalibre eta luzeraren arabera (Snaidero & Simons, 2014). Horri dagokionez, kalibre handiko axoiak mielinatzen dituzten oligodendrozito gehienek internodo gutxiago garatzen dituzte, luzeagoak eta mielina-zorro lodiagoak sortuz.



3. irudia. Oligodendrozitoek funtzi ugari betetzen dituzte garapen bidean dagoen NSZean eta NSZ helduan. (1) Oligodendrozitoek mielinaren internodoak landu eta birmodelatzen dituzte. (2,3) Oligodendrozitoek zelulaz kanpoko matrize-molekulak jariatzen dituzte, brevican bezalakoak, NaV1.2 aurre-nodoetan biltzea eragiten dutenak. Mielinazioa ere garrantzitsua da nodoen heltze prosezurako (NaV1.2a NaV1.6engatik trukatzen da) eta mantentzerako. (4) Oligodendrozitoek eta mielinak neuronen

kitzikortasuna eta neurotransmisoreen askapena modulatzen dute. (5) Oligodendrozitoek laktatoa ematen diente axoiei espazio periaxonalaren bidez, eta K⁺ ioiak kentzen dituzte. (6) Oligodendrozitoek FTH1 eta SIRT2 bezalako molekulak jariatzen dituzte exosometan, energia eta antioxidatzaire euskarria emateko. Pepper et al., 2018tik egokituta. BioRenderren egindako ilustrazioa.

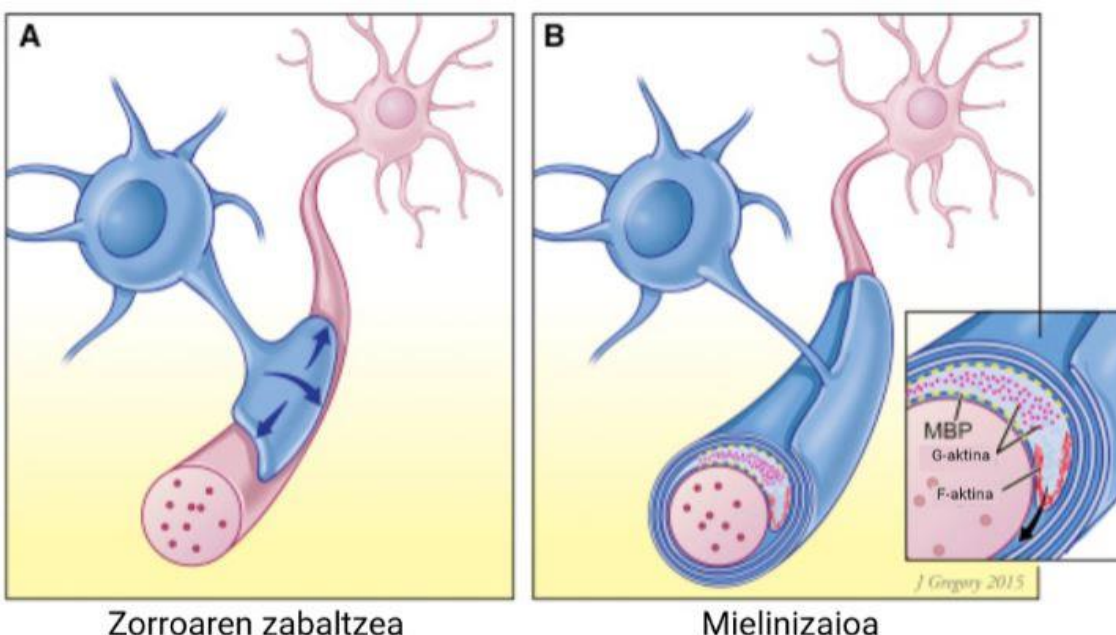
Axoien isolamendu elektrikoa ahalbidetzeaz gain, oligodendrozitoek eta mielina-zorroek metabolikoki ere eusten diente axoiei (**3. irudia**). Oligodendrozitoek, neuronen behar metabolikoei erantzuteko, laktatoa eta pirubatoa sortu eta transferitzen dizkiete garriatzaile monokarboxilato 1-aren (MCT1) bidez. Azken hau, mielina-zorroaren bRNAe-mihi trinkotu gabean kokatzen da. Neuronek laktatoa hartu eta katabolizatu egiten dute ATPa sortzeko. Beste metabolito, nutriente eta molekula seinaleztatzaileak oligodendrozitoen sometatik axoietara eramatzen dira trinkotu gabeko eremuetan zehar, kanal zitoplasmatikoak deituak, jarduera axonala bultzatzeko (Nave & Werner, 2014). CNPasarik gabeko saguan, kanal zitoplasmatikoen galera ikusten da, zeinak endekaren axonal progresiboa garatzen duen mielina askoz trinkoago batekin. Aldiz, MBPrik gabeko saguak (sagu dardartia), desmielinizazio larria garatzen du, baina axoien osotasuna eta funtzioa mantentzen ditu, ziur asko, mielina mehe eta trinkotu gabeko prozesutik gliak bultzatutako euskarri metabolikoa mantentzearen ondorioz. Oligodendrozitoen proteina espezifikoetarako nokeatutako saguetan egindako behaketek eusten diote oligodendrozito-axoi euskarriaren garrantziaren ideiari (Philips & Rothstein, 2017). Are gehiago, eredu horiek iradokitzen dute funtzio axonal egokiak mantentzeko mielina falta hobea dela, mielina akastuna izatea baino, mielina akastuna oligodendrozito-axoi euskarri metabolikoko deskonexio bati lotuta baitago.

Duela gutxi, oligodendrozitoek exosomen bidez laguntza axonala ematen dutela deskribatu da (**3. irudia**). Hain zuzen ere, oligodendrozitoek defentsa antioxidatzairea ematen diente neuronei, ferritin kate astuna (FTH1) eremu extrazelularrera jariatz. Jariatze hori zahartzaroko estres oxidatiboaren aurkako babes-mekanismoa dela uste da (Mukherjee et al., 2020). Gainera, NAD-en menpeko deazetilasa sirtuina 2 (SIRT2) ere jariatzen dute. Horrek, ATPren ekoizpena hobetzen du proteina mitokondrialen deazetilizazioaren bidez; bide hau baldintza patologiekoetan metabolismo bioenergetiko axonala bultzatzeko erabil daiteke (Chamberlain et al., 2021).

2. Oligodendrozitoen mielinizazioa

Mielinizazioa urrats anitzeko prozesu zehatz eta koordinatua da, NSZren funtzionamendu eta garapen egokiari eusten diona. Prozesu horren funtzio optimoa bermatzeko, mielina-zorroen hasierako eraketa eta mantenua zorrotz kontrolatzen dute hainbat seinalek.

Mielinizaziorako behar diren molekulez horniturik, oligodendrozito helduek beren prozesuak hedatzen dituzte axoiekin kontaktuan jartzeko, eta, gero, haien inguruan biltzeko. Hainbat eredu proposatu dira mielina biltzeko mekanismoa azaltzeko. Eedu onartuenak deskribatzen du oligodendrozitoek lehenik mintz triangeluar bat osatzen dutela, bi norabideko mugimendu koordinatu batean axoiaren inguruan eta axoian zehar aldi berean hedatzen dena. Prozesu horretan, oligodendrozitoek berehala berrantolatzen dute beren zitoeskeletoa, eta mikrofilamentuen polimerizazioa eta adarkadura areagotzen dituzte axoi-oligodendrozito ezagutzari erantzunez (Snaidero et al., 2014). Azken hamarkadako datuek erakusten dute aktinaren polimerizazioak bereizketa zelularren lehen faseak bultzatzen dituela, eta despolimerizazioa elementu erabakigarria dela mielinizazioa bultzatzeko.



4. irudia. Aktinaren dinamikaren bidezko zorroaren zabaltza eta mielinizazioa. (A) Prozesu oligodendrozitario baten irudikapen eskematikoa axoiaren biltze fase goiztiar batean, non F-aktina nagusitzen den zorroaren zabaltza sustatz. **(B)** Prozesu oligodendrozitario baten irudikapen

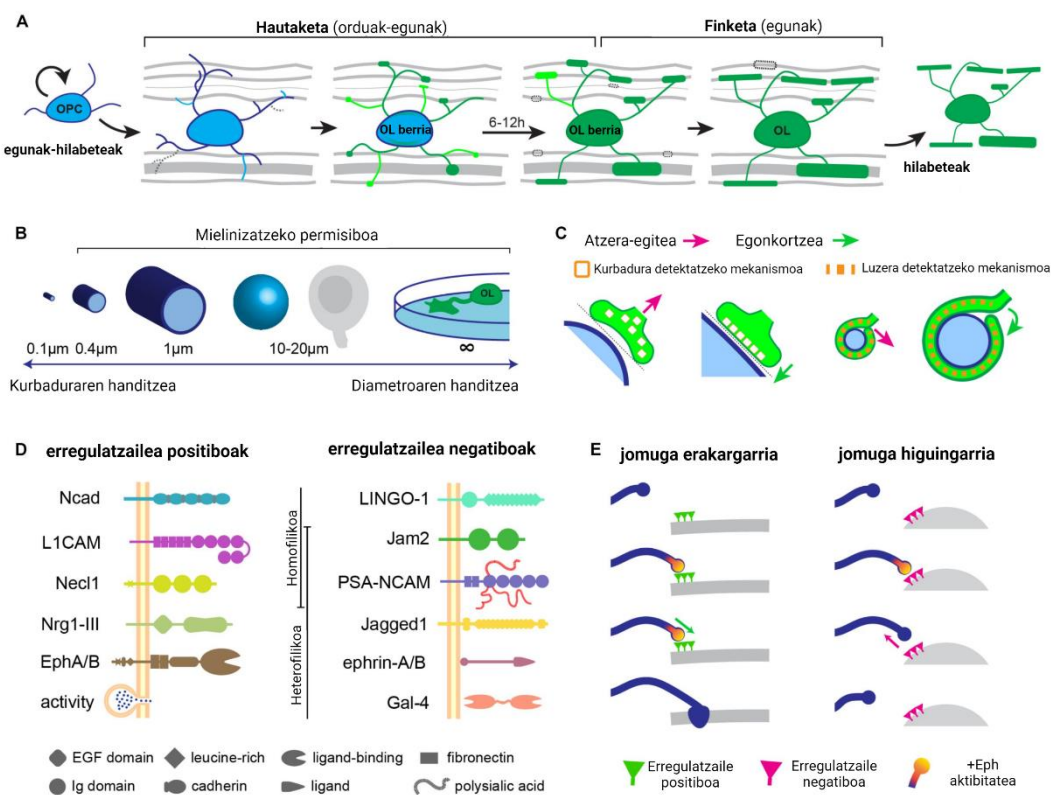
eskematikoa axoiaren mielinizazio aktiboan, non aktinaren despolimerizazioa nagusitzen den gelsolina eta ADF/kofilinaren bitartez. BRNAe-biraketaren aurreko ertzean F-aktina azpikortikalki adierazten da; aldiz, MBPn aberastutako eskualdeetan (horiz erakutsiak), G-aktina da nagusi, eta hori despolimerizazioaren zeharkako aktibazioaren ondorio izatea proposatzen da. Samanta and Salzer, 2015etik egokitua.

Lehenik eta behin, axoiekiko kontaktua eta prozesuen hedadura Arp2/3ren menpeko aktinaren polimerizazioak bultzatzen du, oligodendrozitoen protrusioen lamelipodio motako egituren aurreko ertzean. Jarraian, ADF/kofilina1ren bidezko protuberantzien atzeko aldeko aktinaren despolimerizazioak, mintzaren gainazaleko tentsioa gutxituz, mielina-zorroen albo-hedapena sustatzen du. Mielina helduaren zorroan, mintzaren MBPa ADF/kofilina-1arekin lehiatzen da PI (4,5) P2arekin lotzeko, proteina hori zitosolera askatza eraginez eta mintza deformatzea eta trinkotzea sustatzen duen aktinaren desmuntaketa aktibatuz. Azkenik, F-aktinan aberatsa den bRNAe-mihia bultza egiten du aurretik zegoen mintzaren azpian. Horrela, axoia mintzeko geruza progresiboetan biltzen da, kanpo-geruza oligodendrozitoaren gorputzetik gertuago egonez eta bRNAe-geruza axoiarekin zuzeneko kontaktuan geldituz (Nawaz et al., 2015; Samanta & Salzer, 2015; Zuchero et al., 2015) (**4. irudia**). Gainera, azken urtean mielinizazioa kontrolatzen duten mekanismo gehiagarriak aurkitu dira. Duela gutxi egindako azterlan baten arabera, VAMP2/3k erdietsitako exozitosia beharrezkoa da mielina-mintza hedatzeko eta Ranvier-en Nodoak sortzeko (Lam et al., 2022).

In vitro, oligodendrozitoek mielina nanofibretan biltzeko propietate intrintsekoa dute, neuronekiko independentea dena (Bechler, Byrne eta Ffrench-Constant, 2015; Lee et al., 2012). Hala ere, *in vivo*, mielina axoi jakin batzuetara bakarrik bideratzen da espezifikoki, propietate biofisiko (axoiaren tamaina) eta seinale erakargarri eta higuingarrien menpe dagoena (**5. irudia**). Mielina kantitatea, axoien tamaina eta beharretara egokitu behar da. Doikuntza hori egiteko, neuronek oligodendrozitoetan mielinizazioa bultzatzen duten seinaleztapen-bideak kontrolatu behar dituzte (Almeida, 2018; Snaidero eta Simons, 2014).

Seinale horiek guztiak oligodendrozitoek integratu behar dituzte, erantzun neuronalak kontrolatzeko. Seinale neuronalen integratzaile gako bat Fyn da, kinasa zitoplasmatikoa

ez-hartzaileen tirosina familiako kidea (Src familia). Haren adierazpena goraka doa oligodendrozitoak bereizten diren bitartean, eta funtsezkoa da mielinizaziorako eta MBParen itzulpenarako (Krämer-Albers & White, 2011; Osterhout, Wolven, Wolf, Resh, & Chao, 1999). Gainera, *in vivo* egindako ikerketek erakutsi dute Fynek mielina sortzeko prozesuaren bitartekari gisa duen garrantzia, izan ere, Fyn ez duten sagu transgenikoen ezaugarri nagusiak mielinizazio asaldatua eta oligodendrozitoen garapen anormaladira (Sperber & McMorris, 2001). Gainera, zebra-arrainen analisiak erakutsi zuen oligodendrozitoetan Fyn kinasaren aktibazioak eta murrizketak zelula bakoitzeko zorro kopurua handitzen eta murrizten duela, hurrenez hurren (Czopka, Ffrench-Constant, & Lyons, 2013).



5. irudia. NSZren mielinizazioaren erregulazioa. (A) Mielina oligodendrozito baten bizitzako aldi labur batean zuentzen da, eta badirudi bi etapa dituela: (1) diana hautatzeko etapa bat, desberdintzapena eta mielina-zorroak eratu bitartean, eta (2) diana fintzeko etapa bat, desberdintzatu ondoren, zorro batzuk atzera egiten dutenean. Ondoren, oligodendrozitoak eta mielina egonkor egoten dira hilabete askotan. **(B)** Diametroa eta/edo kurbadura duten propietate biofisikoek mielinizaziorako diana baten permisibilitatea zehazten dute. **(C)** Prozesu oligodendrozitarioetan kurbadura edo luzera detektatzen duten proteinek tamaina egokiko helburuak ditzakete. **(D)** NSZren mielinizazioa erregulatzen duten seinale erakargarriak eta higuingarriak. **(E)** Sinapsiaren eraketaren antzera, seinaleztapen-bide

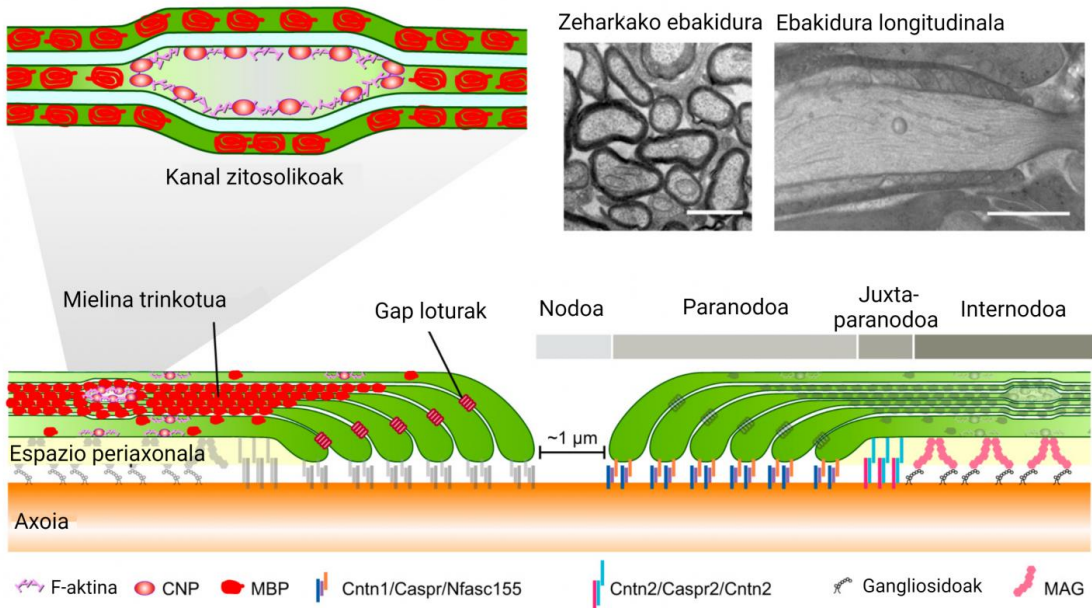
funtsezkoen denbora-dinamikek OPC prozesuen helmuga zehaztu dezake mielina-dianak hautatzean.
Almeida et al., 2018etik egokitua.

Hala ere, mielinaren egitura-antolaketa konplexua ez da erraz koordinatzen, eta akatsak izateko joera du. Oraintsuko azterlanek mielinaren anomalia ultraestructural batzuk dokumentatu dituzte, hala nola mielinizazio goiztiarrean sortzen diren baina garapenak aurrera egin ahala azkar konpontzen diren zabaltzeak, hanpadurak, zatiketak eta xehadurak. Mikroglia arduratzen da horretaz: mielinaren antolaketa modulatzen du eta garapenean zehar izandako akatsak zuzentzen ditu (Hughes & Appel, 2020), baina mielinaren osasuna eta osotasuna ere zaintzen ditu helduaroan (McNamara et al., 2022).

2.1 Mielina

Mielina-zorroa oligodendrozitoen mintz plasmatikoaren hedadura da, axoiak NSZan biltzen dituena. Mielinazko mintzak hainbat geruza ditu, eta proteina anitzeko egitura desberdina eta konplexua du. Mielina terminoa Rudolf Virchowek sortu zuen 1864an, eta muinerako grezierazko hitzetik dator (*myelos*).

Mikroskopia elektronikoaren azterketek erakusten dute mielinak axoien inguruan duen espiral ereduak periodikoki bi ezaugarri morfologiko sortzen dituela: (1) geruza elektrodentsoa (lerro trinko nagusia), balba zitoplasmatikoen eremu kondentsatu estua irudikatzen duena, eta (2) geruza elektroniko-argitsua (lerro intraperiodikoa), balba extrazelularren aposizioa dena (Hartline, 2008). Geruza horietako bakoitzean mintzen arteko trinkotzeak 12 nm-ko patroi errepikatuak sortzen ditu, erresistentzia elektriko handia eta kapazitantzia txikia emanet, funtsezkoak potentzial axonikoak hedatzeko.



6. irudia. NSZeko mielinaren egitura. Mielinaren egituraren irudi grafikoa, axoi mielinizatuen eremuak bRNAe hartzen dituena. MBP funtsezko da mielina-mintz trinkotuen pilaketak sortzeko, gainazal zitoplasmatikoak estu-estu kremaileratz. CNPasak aktina-zitoeskeletoarekin elkarreragiten du eta MBParen indar polimerizatzaleak indargabetzen ditu, horrela kanal zitoplasmatikoak sortuz mielina-zorroaren barruan. Gap loturek mielinazko begizta paranodalak mielinaren albo-ertzetan konektatzen dituzte. Stadelmann et al., 2019etik egokitua.

Axoietako mielinizatutako segmentuek aldizkako arrailak edo hutsartea dituzte: Ranvier-en nodoak. Horiek, mielinari gabeko gune extrazelularrean dauden eremu txikiak dira, sodio-kanaletan aberastuak. Ranvier-en nodo batek hedatutako ekintza-potenzialak jauzi egin, eta hurrengo nodoan birstortzen da, horrela, ekintza-potenzialak zuntzean zehar azkar bidaiatzea ahalbidetuz (Waxman eta Ritchie, 1993). Mielina-segmentu bakoitzaren ertzetan, mielina-xafla individualak axoari lotzen zaizkio zitoplasma duten begizta terminal gisa, paranodo izenez ezagutzen direnak. Paranodoak hiru molekulaz osatutako konplexu baten atxikipenari esker mantentzen dira; konplexu hori Kontaktina-1 eta Caspr proteinek osatzen dute azalera axonalean, eta Neurofascina-155-ak glia aldean (Stadelmann, Timmler, Barrantes-Freer, & Simons, 2019) (**6. irudia**).

Mielina-mintzaren ultraegituraz gain, bere osaera espezializatuak NSZko mintz paregabear bihurtzen du. Mintz plasmatiko gehienak % 50 proteinaz eta % 50 lipidoz

osatuta dauden bitartean, mielina-zorroa gutxi hidratatuta dago: lipido-proporazio handia du (% 70-% 85), eta, ondorioz, proteina proportzio txikia(% 15-% 30), MBP eta PLP izanik proteina nagusiak. Mielinan lipido/proteina proportzio handiak mielina-zorroa trinkotzen eta estuki antolatzen laguntzen du, lipidoen eta mielinaren proteinen arteko elkarrekintza ez-kobalenteen bidez (Min et al., 2009). Mielina-zorroaren osagaiek, hala nola proteinek eta lipidoek, zenbait astetik hilabetera bitarteko batez besteko bizitza dute, eta horrek, oso egitura egonkorra bihurtzen du. Proteinez gain, mielina RNA mezulariz (mRNA) ere badago aberastuta, zeintzuek mielinaren proteinak, itzulpen-makinariako partaideak, eta proteinak garraiatzeko eta lokalizatzeko beharrekoak diren molekulak kodetzen dituzten. Transkripto multzo hori izateak iradoki lezake mielinan tokiko itzulpena gertatzen dela, eta horrek mielinaren berritze efizientea ahalbidetzen duela, zelula-barneko garraio geldoaren beharrik gabe (Thakurela et al., 2016).

2.2 Mielinaren trinkotzea

Hesi hermetikoak eta mintz isolatzailezko geruza trinkoak sortzea beharreko da ioien jarioa saihesteko. Mielinaren trinkotzea MBParen bidez lortzen da eta garapenaren hasieran gertatzen da. Trinkotzea kanpoko geruzetan hasten da, eta barrurantz egiten du aurrera, bai erradialki bai longitudinalki, mintzaren hazkundearekin paraleloan. *Mbp* nukleotik barne-geruzetara garraiatzen da, eta, han, axoitik gertu, itzuli egiten da. Barne-mihian trinkotze goiztiarra saihesteko, mielina-mintzari lotutako CNPasa entzimak MBParen jarduera antagonizatzen du, alboko bi mintz zitoplasmatikoren arteko tarte gisa jardunez eta mintza gehiegiz trinkotzea eragotziz. Horrela, mielina zorro helduan eskualde zitoplasmatikoak bere horretan mantentzen ditu (Snaidero et al., 2017).

2.3 Mielinaren berritzea eta plastikotasuna

Mielina egitura dinamikoa da, eta neurona-aktibitate aldaketei erantzuteko gaitasuna du. Bitxia bada ere, neurotransmisoreek eta inguruko eskari neuronalek OPCen portaera

kontrola dezakete. Adibidez, jarduera neuronal handiagoa dagoenean, oligodendrozitoek mielina-zorroen kopuruak aldatzen dituzte, eta horrek sare neuronaleko transmisió elektrikoari eragiten dio (Fields, 2015). Plastikotasun horri esker, mielinak informazioaren prozesamendua eta sarearen aktibitatea modula ditzazke helduaroan (Fields, 2008). Garapenean zehar sintetizatutako mielina etengabe trukatzen eta berritzen da, eta prozesu horretan sortutako edo metatutako osagai toxiko eraldatuen edo mielina hondarren eliminazioa mielina ordeztearen parte bezala hartzen da. Duela gutxi, Aber eta kolaboratzaileek jakinarazi zuten OLEk makroautofagia erabiltzen dutela mielina berritzeko, eta, horrek, zirkuitu neuronal funtzionalak eta NSZ osasuntsua mantentzea ahalbidetzen duela (Aber et al., 2022). Hala eta guztiz ere, mielina-zorroa mintz plasmatikoaren hedadura bat denez, estuki paketatua dago somatik sarbide mugatua izanik, eta oligodendrozito bakar batek mielina-zorro asko mantent ditzakeenez, haren ordezkapena prozesu jarraitua baina luzea da (Williamson & Lyons, 2018).

Duela gutxi frogatu da oligodendrozito helduek bizitza osoan irauten dutela saguetan eta gizakietan (Tripathi et al., 2017; Yeung et al., 2014), eta haien mielinazko zorroak oso egonkorrik direla eratu ondoren, gorabehera gutxi izanez luzeran. Ondorioz, ordezkapen motela mielina proteinen ezaugarria da, aste edo hilabete batzuetako bizi-denborak baitituzte (Fornasiero et al., 2018). Iradokitzen denez, helduaroan jaiotako oligodendrozitoek sintetizatzen dituzten mielinazko zorroak aurretik zeuden mielinazko zorroetan sartzen dira, mielinazko zorroak ordezkatzetan edo mielina birmoldatuz; edo biluzik zeuden axoiak *de novo* mielinizatzeko erabil daitezke (Wang & Young, 2014). Duela gutxi egindako ikerketa batean frogatu da substantzia zuriaren osotasunari eusteko barne-mihian etengabeko mielinaren sintesia behar dela (Meschkat et al., 2022).

3. Mielinaren oinarrizko proteina: MBP

MBPa NSZren mielina-egituraren osagai nagusietako bat da; proteina totalaren %30 osatzen du, eta mielinaren pisu lehorren %10 inguru. Orain arte, NSZean mielina

sortzeko beharrezkoa den funtsezko proteina bakarra da, eta, horregatik, "molekula exekutibo" deitu izan zaio (Moscarello, M.A. et al., 1997). Funtsezko eginkizun hori lehen aldiz sagu dardarkari mutante naturaletan frogatu zen, non MBP proportzio handi bat falta den, eta, ondorioz, hipomielinizazio larria ikusten den (Boggs, 2006).

Mbp-ren sekuentzia oso kontserbatuta dago hainbat espezieren artean, eta transkripzio-aldaerak bi familia nagusitan sailka daitezke: klasikoa eta Golli-MBP (oligodendrozito leinuaren geneak). MBP-klasikoko isoformak oligodendrozito helduetan eta mielina-zorroetan daude, eta funtsezko eginkizuna betetzen dute mielinak axoien inguruan duen trinkotze eta egonkortasunean. Golli-MBPko isoformak, aldiz, nonahiko moduan adierazten dira garapen goiztiarrean dauden oligodendrozitoetan, neuronetan eta zelula immunitarioetan (Boggs, 2006).

MBP klasikoan, *Mbp*-ren transkripto primario bakarraren ordezko *splicing*-ak hainbat isoforma sortzen ditu, 14-21 kDa karraskarietan eta 17-21.5 kDa gizakietan. Gizaki eta abelgorrieta nagusi den isoforma 18.5 kDa-ko MBParen aldaera klasikoa da, eta 14 kDa-ko aldaera, berriz, arratoi eta saguetan aurkitzen da bereziki. Aldaera-espektro konplexu eta dinamiko horrek MBParen proteoma sortzen du, eta funtzio edo paper espezifiko bat ematen dio bakoitzari oligodendrozitoetan.

3.1 MBParen funtzioa

MBP proteina multifuntzionala da, eta haren zeregin nagusia NSZko axoien inguruan eratzen ari diren mielina-zorroen trinkotze egokia kontrolatzea da. Kremailera bat bezala jokatzen du, balba zitoplasmatikoak lotuz. Horretarako, MBPk karga elektrostatiko positiboak daramatza, eta horiek elkarri eragiten diote barneko balban fosfolipidoen karga negatiboa duten buru-taldeekin. Horren ondorioz, mintz zitoplasmatikoaren bi geruza kontrajarriak trinkotzen dira (Bakhti, Aggarwal eta Simons, 2014; Boggs, 2006; Harauz eta Boggs, 2013). Zehazki, MBPk transkribatze osteko hainbat aldaketa jasan behar ditu kargan, eta aldaketa horiek garrantzitsuak dira funtziointzearako (Harauz & Musse, 2007). Gainera, gero eta ebidentzia gehiago dago MBPk beste funtziogarrantzitsu batzuk ere betetzen dituela. Horien artean daude mielina-

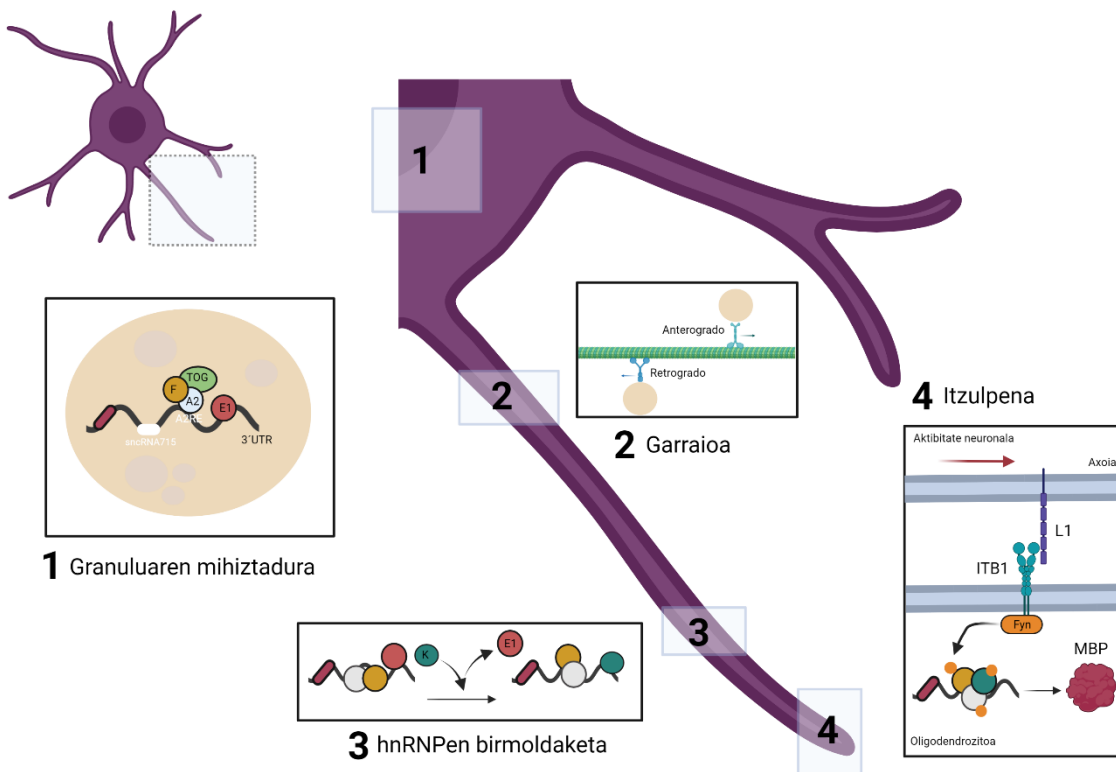
zorroaren osaera eta antolamendua erregulatzea (Fitzner et al., 2006; Aggarwal et al., 2011; Steshenko et al., 2016), mielinizazio-prozesuan zehar aktina-zitoeskeletoa berrantolatzea (Zuchero et al., 2015), kaltzioaren homeostasia (Smith et al., 2011) eta zelula-seinaleztapenerako bideetan SH3 domeinua duten proteinekin egindako interakzioen bidez iradokitako papera (Harauz, Ladizhansky, & Boggs, 2009).

3.2 MBParen sintesia: mRNAren garraioa eta itzulprena

MBP proteinaren sintesia funtsezko faktorea da oligodendrozitoen heltze prozesuan eta mielinaren eraketan, eta frogatuta dago transkripzio osteko mailan erregulatuta dagoela. Zehazki, *Mbp* mRNA izan zen mielinazko konpartimentuan garraiatu eta itzuli zen lehen mRNAetako bat (Ainger et al., 1993; Colman, Kreibich, Frey & Sabatini, 1982). MBP-a mielina-konpartimentura azkar eta modu eraginkorrean garraiatzeko, *Mbp* mRNA granuluetan garraiatzen da nukleotik oligodendrozitoen prozesuetako eskualde distaletara edo mielina-mintzera, non lokalki itzultzen den. mRNAaren lokalizazioa proteina jakin batzuen adierazpena espazialki eta temporalki kontrolatzeko eta zelularen beste leku batzuetan itzulpen ektopikoa saihesteko mekanismo eraginkortzat hartzen da.

Oligodendrozitoetan prozesua erribonukleoproteina nuklear heterogeneoaren A2/B1 (hnRNP A2/B1) transakzio-faktorea A2-reponse elementuari (A2RE) lotuz hasten da (Hoek, Kidd, Carson, & Smith, 1998). Lotura hori beharrezkoa da *Mbp* mRNA granuluetan muntatzeko. Gainera, hnRNP A2ren interakzio homotipikoek RNA kopia anitzak granulu berean muntatzeko indarra ematen diote (Carson, Worboys, Ainger, & Barbarese, 1997), sistemaren eraginkortasuna areagotuz. Behin zitoplasman, hainbat transakzio-faktorek aldi berean eragiten dute RNA granuluarekin hnRNP A2 edo RNAren bidez, proteinen sintesi kontrolatua eta lokalizatua erregulatzeko (**1. taula eta 7. irudia**). hnRNP A2 TOG proteinari batzen zaio, eta proteina horrek hainbat hnRNP A2 proteina kontzentratzezko balio dezake. A/B motako hnRNP CBF-A *Mbp* RNArekin lotzen da, eta *Mbp*-ren garraioa eta lokalizazioa kontrolatzen ditu (Raju et al., 2008). hnRNE1-ak (edo PCBP1), sncRNA 175arekin batera, itzulpena inhibitzen du garraioan zehar, *Mbp*-aren eskualde espezifiko batekin lotzerakoan (Bauer et al., 2012; Kosturko et al., 2006). Azkenik, hnRNPFk

hnRNPA2rekin bat egiten du, eta MBParen itzulpenean parte hartzen du, mRNA azken helmugara iristen denean (Torvund-Jensen, Steengaard, Reimer, Fihl, & Laursen, 2014; White et al., 2012).



7. irudia. MBParen garraioa eta itzulpen lokal. Mbp mRNA erribonukleoproteinak, proteina motorrak eta proteina sintesiko makineriaren zatiak (1) dituzten granuluetan mihiztatzen da, eta, ondoren, mikrotubuluen gainean eramatzen da oligodendrozitoen kanpokaldera (2). Itzulpenaren aurretek, RNAko granuluaren konplexuak birmoldaketa bat jasaten du, E1 eta K (3) trukatuz. Azkenik, mintz plasmatikoan, Fyn kinasak axoi-seinaleak MBParen itzulpen lokalizatu bihurtzen ditu (4). BioRenderren egindako ilustrazioa.

Aipatutako elementu horiek guztiekin konplexu supramolekular bat osatzen dute, mintzik gabea, eta mikrotubuluetan zehar garraiatzen da bi norabidetan (aurrera eta atzera), kinesina eta dineina/dinaktina proteina motorretara lotuz (Carson et al., 1997; Herbert et al., 2017; Lyons, Naylor, Scholze, & Talbot, 2009). Behin periferian, hnRNP E1 hnRNP K-rengatik trukatzen da, zeina ezinbesteko baldintza den RNA granulua mielina-zorrora bideratzeko eta itzulpenari hasiera emateko (Torvund-Jensen et al., 2014). Zehazki, hnRNP K hnRNPE1arekin lehiatzen da *Mbp*-arekin bat egiteko, eta, horrela, haren eragina indargabetzeko. Ondoren, jarduera neuronalak MBParen sintesia estimulatzen

du mekanismo baten bidez. Mekanismo horrek lamina-1 itsasketa-molekula gainazal axonalean gainadieraztea dakar, eta, horrek, Fyn aktibatzea eragiten du. Fyn-en aktibazioak hnRNP A2 eta hnRNP F fosforilazioa eragiten du, eta, horrek, *Mbp*-a axoi-glia kontaktu-gunean itzultzea dakar (**7. irudia**).

MBParen sintesia transkripzio-faktoreek ere erregulatzen dute, hala nola, AMP ziklikoa delakoari lotutako erantzun-elementuak (CREB), zeina CaMKII κ , PKC κ eta S6 ribosoma-kinasa bezalako hazkunde-faktoreek eragindako kinasek fosforilatu dezaketen (Afshari, Chu, & Sato-Bigbee, 2001).

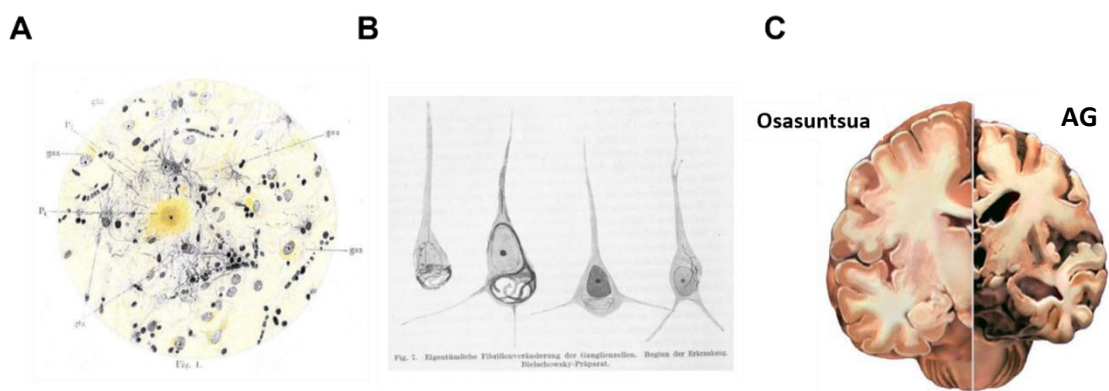
1. taula. *Mbp* RNA granuluen osagaien laburpena.

Molekula	Lotura gunea	Funtzioa	Erreferentziak
hnRNP A2	A2RE RTSren barruan 3'UTRn	Granuluaren mihizketa eta garraio zitoplasmatikoa	Hoek et al. (1998)
hnRNP K	Errekonozimendu-gune espezifiko 3'UTRn	Itzulprena	Laursen et al. (2011) & Torvund-Jensen et al. (2014)
hnRNP F	Seguru enik hnRNPA2ren bidez	Itzulprena	White et al., (2012)
hnRNP E1	Seguru enik hnRNPA2ren bidez, hnRNP Kren lotura gunearekin partekatua	Itzulpenaren garraioan zehar inhibizioa	Kosturko et al., (2005) & Torvund-Jensen et al. (2014)
hnRNP CBF-A	RTS 3'UTRn	Granuluen garraioa	Raju et al 2008
SncRNA 715	Errekonozimendu-gune espezifiko 3'UTRn	Itzulpenaren garraioan zehar inhibizioa	Bauer et al., (2012)
TOG	Seguru enik hnRNPA2ren bidez	Granuluen garraioa, kinesinaren aktibitatearen erregulazioa eta itzulprena	Kosturko et al. (2006)
Ago2	hnRNPA2ren bidez	Itzulprena	Muller et al. (2015)
DDX5		<i>Splicing</i> -a	Hoch-Kraft et al. (2018)

4. Alzheimer gaixotasuna

Alzheimer gaixotasuna (AG) dementziaren eragile nagusia da, eta kasu guztien % 60-80 hartzen ditu. AGa ondo karakterizatuta dagoen gaixotasuna da, zeinak ezaugarritzat tau hiperfosforilatuez osatutako zelula-barneko neurofibrilla-harilkoak eta beta amiloide

peptidoz ($A\beta$) osatutako agregatu disolbaezin estrazelularrak (senil plakak) dituen (**8. irudia**). Gaur egun ez dago sendabiderik, baina zenbait sintoma hobe ditzaketen tratamendu aringarriak daude. Patologia bereizgarri horietara zuzendutako farmakoak garatu dira, baina $A\beta$ plaken karga murriztea lortzen duten terapiek ere, ezin izan dute gaixotasunaren progresioa behar bezala gelditu. Duela gutxi, proposatu da FDAk onartutako amiloidearen aurkako farmako bakarra, Aducanumab, eraginkorragoa izan daitekeela oligodendrozitoetara zuzentzen diren eta birmielinizazioa sustatzen duten sendagaietan konbinatzen denean (Fessel, 2022).



8. irudia. Alzheimer gaixotasunaren ezaugarri patologikoak. Alois Alzheimer-en marrazkiak, peptido amiloidez (**A**) eta zelula barneko hariez (**B**) osatutako senil plakak erakusten dituztenak. (**C**) Garun-atrofia AD duen garunean, garun osasuntsuarekin alderatuta.

Esan bezala, AG neuroendekapenezko gaitza da, galera neuronal progresibo eta atzeraezin baten ondorioz gertatzen den gainbehera kognitibo sakon batek ezaugarrizten duena. AGko pazienteengan garatutako gertaera neurodegeneratibo horiek ongi ezarritako eredu anatomikoari jarraitzen diote. Amiloidezko metaketak neokortexetik eremu alokortikaletara eta enbor entzefalikora hedatzen dira, eta, azkenean, zerebelora iristen dira (Thal, Rüb, Orantes eta Braak, 2002). Aitzitik, neurofibrilla-harilkoak eremu transentorrinalean hasten dira hedatzen, neokortexera iritsi arte (Braak & Braak, 1995). Gune espezifiko horien endekapena ikasteko eta oroitzapen berriak eratzeko defizitekin lotuta dago. Hainbat ikerketek iradoki dute tau harilik ez direla neokortexera zabaltzen $A\beta$ gabe (Long & Holtzman, 2019), eta horrek iradokitzen du $A\beta$ tau patologia garatzeko ezinbesteko baldintza izan daitekeela.

Bi AD mota daude: (i) agertze goiztiarra duena (AD familiarra), AD mota arraroa, AD osoaren % 5-a baino gutxiago eragiten duena, eta (ii) berandu agertzen dena (AD esporadikoa), AD formarik nagusiena. Bi AD motek faktore anitzeko izaera dute, eta toxikotasun polifazetikoarekin lotzen dira. Hasiera goiztarreko ADa eragiten duten geneak modu autosomikoan transmititzen dira, esaterako, amiloide-proteina aitzindaria (APP) eta presenilina-1 eta -2 sekretasak (PSEN1/2). Beranduko agertzea daukan AD motaren arrisku nagusia zahartza da. Hala ere, zenbait arrisku-faktore karakterizatu dira, hala nola E apolipoproteina (ApoE), garuneko kolesterol-garaiatzale nagusia dena.

4.1 β -amiloide peptidoa

$A\beta$ 4,5 kDa-ko peptidoa da, APParen prozesu proteolitikotik sortua. Zelulaz kanpoko domeinu handia duen mintz zeharreko glikoproteina da, eta funtzió biologiko ugari betetzen ditu NSZean (Zheng & Koo, 2011). $A\beta$ plaken osagai nagusi gisa hautemateak eta AD familiarrean $A\beta$ sintesiarekin lotutako gene-mutazioak identifikatzeak amiloide ur-jauziaren hipotesia formulatzera eraman dute (Hardy & Higgins, 1992; Selkoe, 1991). Hipotesi honen arabera, burmuinean $A\beta$ -ren metaketa anormalak, bere eraketaren eta eliminazioaren arteko desorekaren ondorioz, neuroendekapena eta ondorengo dementzia eragiten ditu.

APParen prozesamendu proteolitiko sekuentziala bi eratara gertatzen da nagusiki: (1) amiloidogenikoa ez den ur-jauzia eta (2) ur-jauzi amiloidogenikoa (**9. irudia**). APParen prozesamendu ez-amiloidogenikoa α -sekretasa proteasak egiten du, eta APP α (N-terminala) eta CTF α (C-terminala) zati disolbagarriak sortzen ditu; azken hori zelula-mintzean ainguratuta geratzen da. CTF α bigarren entzima batek zatitzen du gero, γ -sekretasak, bi peptido disolbagarri sortuz, zehazki peptido p3 eta AICDk (APP domeinu intrazitoplasmatikoa). Azkeneko horiek hainbat generen transkripzio-erregulatzaile gisa jarduten dute, hala nola, glikogeno sintasa kinasa 3 β edo p53rena (Kimberly, Zheng, Guénette, & Selkoe, 2001; von Rotz et al., 2004).

Aldiz, ur-jauzi amiloidogenikoan lehen zatiketa β -sekretasa proteasak egiten du, APP β eta CTF β zatiak sortuz. γ -sekretasaren bidezko CTF β ren geroko prozesamenduak, AICD

eta A β peptidoa sortzen dute, azkeneko hau, zelulaz kanpo askatzen delarik. Harrigarria bada ere, baldintza fisiologikoetan ur-jauzi ez-amiloidogenikoa nagusi den bitartean (A β peptido gehiegiz sortzea saihesteko, ustez), bi bideen arteko oreka aldatu egiten da AD duten pazienteetan. Gainera, hainbat bide ez-kanoniko daude APPa prozesatzeko, eta horietako batzuek A β peptidoa sortzen ere laguntzen dute (Müller, Deller eta Korte, 2017).

APParen prozesamenduaren ondoren, A β monomeroek, bereziki A β_{1-42} -ek, espezie desberdinatan agregatzeko joera dute, besteak beste, dimeroak, trimeroak, n-handiko oligomeroak, protofibrilak edo fibrilak, zeintzuk burmuinean jailkitzen diren, azkenik senil plakak sortuz (Recuero, Serrano, Bullido eta Valdivieso, 2004). A β peptidoen biokimikaren konplexutasuna dela eta, agregatzeko joera dute, eta hartzale ugariren bidez seinaleztatzeko gai diren molekula oso promiskuoak dira, neuronetan eta beste zelula-mota batzuetan efektu sorta zabala eragin dezaketenak (Viola & Klein, 2015).

5. Alzheimerra eta substantzia zuria

Patologia honetan ematen den galera neuronala dela eta, AG substantzia griseko (SG) gaixotasuntzat hartu ohi da. Hala ere, gero eta frogatzen erakusten dute substantzia zuriaren endekapena eta desmielinizazioa ere ezaugarri fisiopatologiko garrantzitsuak direla. Substantzia zuria funtsezko osagaia da sare neuronaletan, eta funtsezkoa da ordena handiko prozesu kognitibo askorentzat, hala nola, arretarentzat, funtzionamendu exekutiboarentzat, hitzik gabeko prozesamendu ikusmen-espazialarentzat eta prozesamendu-abiadura orokorrarentzat; eta horiek guztiak asaldatuta daude AGn. Mielinaren galera eta mielinako kalteak konpontzeko oligodendrozitoen ezintasuna AGren beste ezaugarri nagusietako batzuk izan daitezke. Gainera, AGren patologiaren etapa goiztiarretan ikusi da SZren atrofia SGaren endekapenaren aurretik gertatzen dela, baita galera neuronala, plaken eraketa edo narriadura kognitiboaren aurretik ere, eta horrek iradokitzen du axoien edo mielinaren anormaltasun kimikoek galera neuronalen endekapena eragiten dutela (Nasrably, Rizvi, Goldman, & Brickman, 2018; Sachdev, Zhuang, Braidy, & Wen, 2013). Halaber,

duela gutxiko teoria batek proposatu zuen A β eta tau bigarren mailako patologiak direla primarioak izan beharrean, eta burmuinak mielinaren homeostasia kalte-, konpontze- eta mantentze-ziklo baten bidez eusteko egindako saiakeraren emaitza izan daitezkela (Bartzokis, 2011).

5.1 Oligodendrozitoak eta β -amiloide peptidoa

SZ eta mielina AGren patologian garrantzitsuak izan arren, ezer gutxi dakigu AGko oligodendrozitoetan A β peptidoak duen eraginari buruz. Izan ere, oligodendrozitoek APP adierazpen altua dute, baita BACE1arena ere, bide amiloidogenikoan inplikatutako sekretasarena, hain zuzen. BACE1ek eta APPk eginkizun garrantzitsuak eta desberdinak dituzte NSZ mielinizazio, desmielinizazio eta birmielinizazio prozesuetan. BACE1ek mielina-zorroaren lodiera erregulatzen duen bitartean (Hu et al., 2006), APPk mielinizazio eta birmielinizazio normala ziurtatzen du nerbio helduetan (Truong et al., 2019). Bitxia bada ere, oligodendrozitoak gai dira gaixotasunaren garapena areagotu dezaken A β sortzeko (Skaper et al., 2009).

In vitro ikerketek frogatu zuten A β toxiko bihurtzen dela oligomerizatzen denean (Zhao, Long, Mu, & Chew, 2012), eta oligodendrozitoak eta mielina zuzenean kaltetu ditzakeela (Xu et al., 2001). Izan ere, A β_{1-40} -k edo A β_{25-35} -ek dosiaren menpeko heriotza zelularra eragiten dute, desintegrazio nuklear eta zitoeskeletikoa, DNA zatiketa eta disfuntzio mitokondriala ezaugarri dituena (Xu et al., 2001). Gainera, arratoien gorputz kailukaran egindako kontzentrazio altuko A β_{1-42} injekzioak kalte axonal handiak eragin zituen, baita mielina eta oligodendrozitoen galerak eragin ere (Jantaratnotai, Ryu, Kim, & McLRNAon, 2003).

Bestalde, emaitza kontrajarriak eman dira oligodendrozitoen leinuaren desberdintze-faseak zelulen sentikortasunean eraginik ba ote duen analizatzean. Ikusi da A β_{1-42} tratamenduaren ondoren (0,5, 1, 2, 4 μ M 4 orduz), oligodendrozito heldugabek zein helduek nukleo piknotiko gehiago zituztela (Desai et al., 2010). Horrez gain, deskribatu da A β_{1-42} disolbagarriak (10 μ M 48 orduz) (1) OL helduen biziraupena inhibitzen duela, baina ez OPCena, eta (2) mielina-zorroaren eraketa eragozten duela F-aktinaren

banaketa inhibituz, zelula MBP+en kopurua edo MBP/PLP mailak aldatu gabe (Horiuchi et al., 2012). Aitzitik, duela gutxiko ikerketa batean A β ₁₋₄₂ tratamendua bideragarritasun zelularra areagotu zuen dosi-menpeko moduan, eta, horrez gain, oligodendrozitoen desberdintzapena sustatu zuen, baita MBParen adierazpena bultzatu ere, β 1 integrinaren eta Fyn kinasaren seinaleen bidez (Quintela-López et al., 2019).

5.2 Oligodendrozitoak eta AG animalia-ereduak

AGko animalia-ereduak sortzea oso baliagarria izan da gaitzari buruzko ezagutza zabaltzeko. Era berean, aukera eman dute SZaren patologiaren progresioa xehetasunez aztertzeko, eta AGrekin lotutako mutazioek gaixotasunaren hasieran eta progresioan duten eginkizun zuzena ulertzeko. Ildo horretan, A β patologia SZren anomaliekin erlazionatu da Tg2576, 3xTg-AD, APP/PS1 eta 5XFAD saguetan, zeintzuek A β gainproduzitzen duten. Animalia horien kasuan, foku-desmielinizazioko eremuak ikusi dira, A β plakekin lotzen direnak, giza pazienteen laginetan deskribatutako antzera (Behrendt et al., 2013; Mitew et al., 2010). Hain zuzen ere, sagu transgenikoen plakarik gabeko ehunek ez dute mielinaren eta oligodendrozitoen galera nabarmenik agertzen (Mitew et al., 2010). Hala ere, APP/PS1-en mielinaren mikroskopia elektronikoko irudiek mielina-aberrazioak dituzten zuntz kopuru handiago erakutsi zuten sagu transgenikoetan (Behrendt et al., 2013).

Gainera, APP/PS1 sagu transgenikoen zelula guraso-ugaltzaile eta zelula heldu berrien dentsitate handiagoa erakutsi zuten 6 eta 11 hilabeteren sagu basatiekin alderatuta. Zehazki, oligodendrozito helduen sorrera SZren eremuetan SG kortikalean baino handiagoa izan zen (Behrendt et al., 2013). Preseski, AGren fase goiztiar batean egindako APP/PS1 azterlan batek, mielinaren osotasunaren alterazioak frogatu zituen 2 hilabeteko sagu transgenikoen hipokanpoan. Bestalde, APP/PS1ek MBP adierazpen handiagoa eta mielina-zorro lodiagoak aurkeztu zituzten, nodoen arteko distantzia txikiagoarekin batera (Wu et al., 2017). Beste azterlan batean, APP/PS1 saguen hipokanpoan OPCen dentsitatea 9 hilabetera jaitsi egiten zela ikusi zuten, baina ez 14 hilabetera. Aldaketa horiek 9 eta 14 hilabete arteko MBParen murrizketarekin lotu zituzten, mielinizazioa aldatuta dagoela iradokitzen duena (Chacon-De-La-Rocha et al.,

2020). Beste ikerlan batean ikusi zuten APP/PS1 saguek mielina berriaren eraketa-tasa handiagoa zutela (Chen et al., 2021). Deskribatutako ezaugarrietaz aparte, sagu horietan OPCek seneszentzia-fenotipo bat ere erakutsi zuten A β plaken inguruan, eta horrek iradokitzen du seneszentzia zelularrak paper garrantzitsu bat joka lezakela ADko narriadura kognitiboa eragiten duten gertaeren ur-jauzian (Zhang et al., 2019). Ildo beretik, duela gutxiko azterlan batean, 2 eta 4 hilabeteko APP^{Sw.Ind} saguek (APP sagua) oligodendrogenesi handiagoa erakutsi zuten hipokanpo, finbria eta cortex entorrinalean; fenotipo hori animalia helduagoetan galdu egiten zen. Gainera, Ranvier nodo laburragoak, paranodo luzeagoak eta mielina lodiagoa ere aurkitu zuten 3 hilabeteko APP saguen hipokanpoan (Ferreira et al., 2020).

Desai eta kolaboratzaileek (2009) mielinan aldaketak ikusi zituzten hipokanpoaren CA1 eremuan eta kortex entorrinalean 3xTg-AG saguetan. Halaber, MBParen maila bi eremuetan murriztuak zeudela ikusi zuten, nahiz eta osotasun axonala bere horretan mantendu. Era berean, beste azterlan batean, 3xTg-AG saguen hipokanpoan, OPCen atrofia eta MBParen galera zegoela ikusi zuten (Vanzulli et al., 2020). 3xTg-AGan egindako irudi-azterketek, mielina-aldaketa nabarmenak erakustsi zituzten finbrian, zeinak hipokanpoaren irteera-traktu nagusi gisa jokatzen duen (Nie et al., 2019).

Azken urteetan AGko animalia-ereduetan egindako analisi transkriptomikoek adierazi dutenez, oligodendrozitoak gaixotasunean desregulatuen dauden zelularriko bat dira Zhou eta kolaboratzaileek jakinarazi zuten 5xFAD saguaren garunean oligodendrozito kopuru handiagoa zela eta gene gainadierazi gehiago zituztela. Zehazki, ikusi zuten oligodendrozitoek egoera errektibo bat hartzen dutela, C4b, serina proteasaren inhibitzaile (Serpina3n) eta MHC-I (H2-D1) osagaien adierazpena areagotuz, A β -ren agregazioa erraztu dezakeena. Gainera, duela gutxi egindako ikerketa batean erakutsi zuten adinean gora egin ahala oligodendrozitoei lotutako geneen adierazpenak ere gora egiten duela 3xTg-AG saguen hipokanpoan (Balderrama-Gutierrez et al., 2021).

AG ereduetan ematen diren oligodendrozitoen erantzunen desadostasunaren zergatia oraindik ez da ezagutzen, baina eredu desberdinatan patologia garatzeko unearekin eta azkartasunarekin lotuta egon daitezke.

5.3 Oligodendrozitoak eta mielina AG pazientetan

SZ pixkanaka narratzen doa zahartze normalarekin (Damoiseaux et al., 2009; Inano, Takao, Hayashi, Abe, & Ohtomo, 2011), eta garuneko irudien azterketek iradokitzen dute joera natural hori areagotu eta azkartu egiten dela AGn (Bartzokis et al., 2003; de la Monte, 1989; Stricker et al., 2009). *Post mortem* eta *in vivo* erresonantzia magnetikoan (IEM) egindako ikerketek frogatu dute AGn SZaren narradura nabarmena dagoela. SZak bolumen txikiagoa eta mikroegituraren alterazioak erakusten ditu (Bartzokis, 2011; Roher et al., 2002), adibidez, mielinaren bikapa lipidikoaren antolaketa fisikoan desberdintasunak (Chia, Thompson eta Moscarello, 1984). Duela gutxi egindako ikerketa batean, non mielinaren estatusaren eta proba psikologikoaren hainbat neurketa konbinatzen diren, frogatu da adinarekin lotutako desmielinizazioa, oroimenaren narradurarekin lotuta dagoela, batez ere dementzia egoeretan (Kavroulakis et al., 2018). Ildo beretik, IEMko azterketa batean, non A β positibo diren AG pazienteak A β negatibo diren paziente kontrolekin alderatu zitzuten, aurkitu zen materia zuriaren hiperintentsitateak (SZH) handiagoak zirela gorputz kailukaran, eta errendimendu kognitibo okerragoarekin lotzen zirela (Garnier-Crussard et al., 2022). ADko pazienteek mielina galtzen dute garuneko eskualde espezifikoetan, hala nola, SG eta SZ kortikaletan (Roher et al., 2002), eta zelula Olig2 $^+$ kopuru murriztua aurkezten dute goiko mailako giro temporaleko eta kortex motore sentsorialeko SZ eta SGean. Aitzitik, erdiko giro frontaleko SZak zelula Olig2 $^+$ -en dentsitate handiagoa erakusten du (Behrendt et al., 2013). Era berean, gorputz kailukara ere kaltetzen da AGko garunetan, eta haren narradura gaixotasunaren progresioarekin eta larritasunarekin lotzen da (Teipel et al., 2002).

Zenbait ikerketak SZaren alterazioen berri eman dute AG garatzeko arrisku handiagoa duten indibiduo asintomatikoetan eta narradura kognitibo arina (NKA) duten pazienteetan (Bartzokis et al., 2006; Parente et al., 2008). Bartzokis-ek eta lankideek, adinarekin erlazionatutako prozesamendu kognitiboaren abiaduraren moteltasuna mielinizazio berantiarreko SZko eremuetako mielinaren hausturarekin korrelacionatu zuten. Ildo horretan, AGrako arrisku genetikoko faktoreak dituzten banako asintomatikoen egindako azterketa sakon batek erakusten duenez, gizabanako horiek

mielina edukian alterazioak dituzte, likido zefalorrakideoan (LZR) ondo ezarritako AG markatzaileekin korrelazionatzen direnak. Izan ere, lotura handia ikusi zuten mielina-edukiaren murrizketaren eta LZRko A β disolbagarriaren kontzentrazioaren artean. Azterketa horrek agerian utzi zuen adinarekin lotutako mielinaren aldaketak bereziki nabarmenak direla mielinizazio berantiarreko eremuetan, hala nola SZ frontalean eta gorputz kailukararen genuan, aurrez deskribatutako gertaerak berretsiz (Dean et al., 2017). Emaitza horiek erakusten dute mielinak zeregin garrantzitsua duela ADren fase aurreklinikoetan, eta horrek zerikusia izan dezakeela gainbehera kognitiboaren hasierarekin.

AGko oligodendrozitoen eta mielinaren disfuntzioaren arazoak ez daude erabat argi. Hala eta guztiz ere, zenbait ikerketak SZren disfuntzioa sustatzen duen hautagai gisa A β proposatu dute. AG duten pazienteen kasuan, A β peptidoaren mailaren igoera mielinaren anomaliahitzen dituzten garuneko eskualdeekin lotu da (Roher et al., 2002), A β metaketa horiek mielinizazio berantiarreko eremuetan egonik (Bartzokis et al., 2007). Gainera, NKAn SZren aldaketak ere dokumentatu dira, A β eta Tau patologiarekin potentzialki lotuta daudenak (Bartzokis et al., 2003; Dean et al., 2017; Selkoe & Hardy, 2016). Zehazki, desmielinizazio fokala ikusten da AG pazienteen kortexeko plakei lotutako axoi mielinizatuetan, aldiz, plakarik gabeko AG pazienteen SG kortikalek ez dute mielinaren edo oligodendrozitoen dentsitatearen galera nabarmenik (Mitew et al., 2010).

Aurkikuntza horiekin bat etorri, AG zuten pazienteen mielina-frakzio osoaren analisi biokimikoak agerian utzi zuen MBP, PLP eta CNPasa mailak nabarmen murriztuak zeudela. Gainera, mielinaren eduki lipidikoa ere aldatuta zegoen, kolesterol-mailen beherakada nabarmena ikusi baitzen, gantz-azidoen guztizko edukia handitura zegoen bitartean (Roher et al., 2002). Nabarmendu behar da berriki egindako azterlan batek frogatu duela *APOE4*ak, AGren arrisku genetikoko faktore indartsuenetako batek, mielinizazioa kaltetzen duela kolesterolaren metabolismoa aldatuz (Blanchard et al., 2022).

AG pazienteek, NKA pazientekin alderatuta, MBP maila txikiagoa dute SZ frontalean (Wang et al., 2004a), eta, aldiz, MBP maila handiagoa dute SG kortikalean (Selkoe, Brown, Salazar & Marotta, 1981; Zhan et al., 2015). Paziente horien kasuan, bitxiki, MBParen degradazio-tasa handiagoa da (Zhan et al., 2015). Era berean, AGn, MBParen eta mielinaren osagaia degradatuak, hala nola, galaktozerebrosoidea, areagotu egiten dira SZ peribentrikularrezko besikuletan (Zhan et al., 2014), mielinaren kaltetzea iradokiz. Gainera, autofagiako markatzaire espezifikoei lotutako MBP degradatuaren igoera deskribatu da (Zhan et al., 2015). Aurkikuntza horiek bat datoaz AD pazienteen SZko eta SGeko mielinan eta lipidoetan izandako aldaketak dokumentatzen dituzten aurretiazko azterlanekin (Han et al., 2002; Han, 2007; Pernber et al., 2012). Hala ere, ez dago argi zein mekanismorengatik diren handiagoak MBP mailak AGko pazienteetan. Harrigarria bada ere, duela gutxi frogatu da MBPa gai dela A β rekin bat egiteko eta zuntz-formazioa inhibitzeo, eta, beharbada, modu horretan eginkizun bat betez parenkimako senil-plaken deposizio eta eraketan (Hoos et al., 2009; Liao et al., 2009; Dean et al., 2017).

Azken urteetan egindako azterketa transkriptomikoek funtio deserregulatuak erakutsi dituzte AGko OLetan, desberdintzapenean, mielinazioan eta endekapen neuronalerako egokitzapen metabolikoan izandako aldaketak, esaterako. OLak eragile garrantzitsu gisa onartu dira gaixotasunaren progresioan, dimorfismo sexuala (Mathys et al., 2019), AD geneen deserregulazioa (Grubman et al., 2019), eta AGren aurkako terapeutika berrietarako diana potentzialen adierazpena erakutsiz (Morabito et al., 2021). Lauk eta lankideek, bitxiki, erakutsi zuten oligodendrozitoek erremielinizazio egoera bat hartzen dutela AGn, zelulak berreskuratzeko mekanismo-intrintseko posible bat iradokiz (Lau, Cao, Fu, & Ip, 2020).

Oro har, argi dago oligodendrozitoak eta mielina ez direla gaixotasunaren bigarren mailako eragileak, lesioei erantzun eta inplikazio garrantzitsuak baitituzte AGaren agerpenean eta garapenean. Beraz, oligodendroziten hutsegitea eta mielinaren galera ulertzea ezinbesteko faktoreak izan daitezke estrategia berritzairenak garatzeko, AD prebenitzeko edo tratatzeko aukera terapeutiko eraginkorrik eman ditzaketenak.

HIPOTESI ETA HELBURUAK

A β oligomero disolbagarrien burmuineko metaketa eta mielinaren eta substantzia zuriaren atrofia gertakari goiztiar garrantzitsuak dira Alzheimer gaixotasunaren patogenesian, eta gaixotasun horri lotutako narriadura kognitiboarekin lotuta daude. Zenbait ikerketek frogatu dute oligodendrozitoak A β peptidoaren aurrean kalteberak direla. Gure laborategiko emaitzen arabera, A β k mielinaren osagai nagusia den MBParen maila handitzen du, oligodendrozitoen homeostasia mantentzeko funtsezkoa dena. MBParen garrantzia dela eta, proteina horren alterazioak oligodendrozito disfuntzionala ekar dezakeela eta, beraz, NSZko eskualdeen mielinizazio aberrantea eragin dezakeela planteatzen dugu. Alterazio horiek funtzió axonalaren narriadura ekar dezakete, AGren defizit kognitiboa eraginez. Hipotesi hori ikertzeko, mielinizazioan eta oligodendrozitoetan A β ok duen efektua 3xTg-AG saguan eta *in vitro* ezaugarritzeko asmoa dugu. Gure hipotesia frogatzeko, honako helburu espezifiko hauek jorratuko ditugu:

- 1. helburua.** A β oligomeroek RNAREN metabolismoan eragin dezaketen aldaketak aztertzea; oligodendrozitoen kultibo primarioetan, 3xTg-AG sagu ereduan eta AG pazienteen laginetan.
- 2. helburua.** A β oligomeroek proteina mielinikoen sintesian duten papera definitza, oligodendrozitoen kultibo primarioetan eta 3xTg-AG sagu ereduan.
- 3. helburua.** A β oligomeroek *Mbp* eta *Mobp* mRNAREN hnRNPetan duten eragina ikertzea, oligodendrozitoen kultibo primarioetan eta 3xTg-AG sagu ereduan.
- 4. helburua.** MBPAREN gainadierazpenak oligodendrozitoen funtziotan duen inplikazioa ebaluatzea.
- 5. helburua.** A β oligomeroek zitoeskeletoaren dinamikan duten eragina aztertzea.
- 6. helburua.** A β oligomeroek *in vivo* mielinizazioan duten zeregina ebaluatzea.
- 7. Helburua.** A β oligomeroek oligodendrozitoen besikula estrazelularren jarioan duten efektua aztertzea eta horiek, neuronetan duen eragina ebaluatzea.

MATERIAL ETA METODOAK

1. Animaliak

Sagu eta arratoiekin egindako prozedura esperimental guztiak Euskal Herriko Unibertsitateko (UPV/EHU) Animalien Etika Batzordeak onartu zituen, eta Europako Erkidegoen Kontseiluaren 2010/63/EB Zuzentaraueari jarraitu zioten. Zehazki, protokolo guztiak Animaliekin Esperimentatzeko Etika Batzordeak (CEEA) onartu zituen, zeina UPV/EHUko Ikerketa eta Irakaskuntzarako Etika Batzordearen (CEID) egitura operatiboko kidea den. Zebra-arrainaren kasuan, prozedura guztiak Koloradoko Anschutz Unibertsitateko Animalien Zaintza eta Erabilerarako Batzorde Instituzionalak (IACUC) onartu zituen eta haien estandarrak bete zituen.

1.1 Saguak eta arratoiak

Animaliak baldintza estandarretan mantendu ziren, 12 orduko argi-zikloarekin eta janaria eta ura *ad libitum* eskuratzeko aukerarekin. Ahalegin guztiak egin ziren animalien sufrimendua eta erabilitako animalia kopurua minimizatzeko. Esperimentuak Sprague-Dawley arratoietan eta Alzheimer gaixotasunaren sagu transgeniko hirukoitzaren ereduan (3xTg-AG) egin ziren. 3xTg-AD saguek giza beta-amiloidearen proteina aitzindariaren mutazio suediarra (APP^{Swe}), presenilinaren knock-in mutazioa (PS1^{M146V}) eta tau P301L (Tau^{P301L}) transgen mutantea dauzkate (Oddo et al., 2003).

1.2 Zebra-arraina

Enbrioi ez-transgeniko guztiak AB anduiko arrak eta emeak gurutzatuz lortu ziren. Enbrioia 28,5°C -ra hazi ziren E3 medioan (5 mM NaCl, 0,17 mM KCl, 0,33 mM CaCl, 0,33 mM MgSO₄ (pH 7,4), sodio bikarbonatoarekin) eta hautatu egin ziren osasun eta garapen eredu normaletarako.

2. Kultibo zelularrak

2.1 Oligodendrozito kortikalen kultibo primarioa

Purifikatutako OPCak Sprague-Dawley arratoi jaio berrien burmuinetik lortutako kultibo glial mistoetatik abiatuta prestatu ziren McCarthy eta de Vellisen 1980 protokoloari jarraiki, aldaketa batzuekin (Canedo-Antelo et al., 2018; Chen et al., 2007; Sánchez-Gómez, Serrano, Alberdi, Pérez-Cerdá, & Matute, 2018). Laburki, garunak garezurretatik atera ziren, eta, meningeak kontu handiz kendu ondoren, kortexak isolatu eta inkubazio bidez digeritu ziren (15 min, 37°C) Hanks-en gatz orekatuko soluzioan (HBSS, Ca²⁺ eta Mg²⁺ gabe) % 0,25 tripsina eta % 0,004 desoxirribonukleasarekin (DNAasa) (Sigma-Aldrich). Ondoren, Iscove Dulbecco medio aldatua (IMDM) eta % 10eko behi-serum fetalarekin (FBS, Hyclone; biak Gibcorenak) osatutako medioda gehituz, entzima-errereakzioa gelditu zen. Zelula-esekidura 1.000 x g-tan zentrifugatu zen 5 minutuz. Jalkina, soluzio bereko 1 ml-tan berresekitu, zen eta zelulak jostorratzetik pasatuz disoziatu ziren (21G eta 23G). Gero, 1.000 x g-tan zentrifugatu zen 5 minutuz eta IMDM + % 10 Hyclone medioan berresekitu zen.

Zelulak poli-D-lisinaz tratatuko 75 cm²-ko flaskoetan erein ziren (PDL; 1 µg/ml; Sigma-Aldrich). Kultiboak 37°C-tan eta % 5eko CO₂-arekin mantendu ziren, 3 egunetik behin medioda aldatuz. Hazkuntzan 7 egun eman ondoren, flaskoak astindu ziren (400 rpm, 1 h, 37°C-tan), atxikitako mikroglia kentzeko. Batzuetan, flaskoak 14 egunera berrerabiltzen ziren, flasko bera berriro astinduz. Astrozitoen geruza bakarraren gainean zeuden gainerako OPCak gauean zehar 400 rpm-tara astinduz askatzen ziren. Zelula-esekidura 10 µm-ko nylonezko sare batetik iragazi zen, eta 100 mm-ko Petri plaka (ThermoFisher Scientific) gaineztatuetan jarri zen ordubetez 37°C-tan eta % 5eko CO₂-arekin. Modu horretan, mikroglia tinko itsatsita geratzen da plakara eta OPCak plakak emeki astinduz jaso daitezke. Gero, garuneko OPC zelulen esekidura 10 µm-ko nylonezko sare batetik iragazi zen berriro.

Zelula-kopurua tripan-urdin tindaketaren bidez zehaztu zen (Sigma Aldrich). Zelula-esekidura 1.000 x g-tan zentrifugatu zen 10 minutuz, eta jalkina kimikoki definitutako

Sato medioan (Sato+) berreserkitu zen 1.000 zelula/ μ l-ko kontzentrazioan (**2. taula**). Zelulak PDLz tratatutako 14 mm-ko eta 12 mm-ko estalkietan erein ziren, 24 putzuko plaketan. 6 putzuko plaken kasuan, ez ziren estalkirik jarri. Zelulak $1,5 \times 10^4$ eta 1×10^6 arteko dentsitateetan erein ziren, eta 37°C -tan eta % 5 CO₂-arekin, SATO+ medioan mantendu ziren. Kultibatutako oligodendrozitoak hiru egunez mantendu ziren *in vitro* (EIV). Oligodendrozito kultiboen purutasuna zelulen antigorputz espezifikoak erabiliz baiezta zuen. Kultiboaren lehenengo egunean, PDGFR⁺ OPCak zelula guztien % 97 ± 5 ziren, eta hirugarren egunenean, OL desberdintzaren medioan egon ondoren, % 98 MBP⁺ zelulak ziren (Sánchez-Gómez et al., 2018).

2. taula Oligodendrozitoen SATO+ medioaren konposatuak.

Erreaktiboa	Kontzentrazioa	Konpainia
Dubelcco's Modified Eagle Medium (DMEM)	Base medium	Sigma-Aldrich
Intsulina	5 μ g/ml	Lonza
Penizilina/estreptomizina	100 U/ml	Sigma-Aldrich
Behi seroalbumina (BSA)	1 mg/ml	Sigma-Aldrich
L-Glutamina	2 mM	Sigma-Aldrich
N-Azetil L-Zisteina	6.3 mg/ml	Sigma-Aldrich
Transferrina	100 μ g/ml	Sigma-Aldrich
Putreszina	16 ng/ml	Sigma-Aldrich
Progesterona	60 ng/ml	Sigma-Aldrich
Sodio-seleniatoa	40 ng/ml	Sigma-Aldrich
Triiodotironina (T3)	30 ng/ml	Sigma-Aldrich
L-Tiroxina (T4)	40 g/ml	Sigma-Aldrich
Faktore neurotrofiko ziliarra (CNTF)	10 ng/ml	Prepotech
Neurotrofina 3 (NT-3)	1 ng/ml	Prepotech

2.2 Neurona hipokanpalen kultibo primarioa

Neurona hipokanpalak 18 eguneko arratoi-enbrioietatik (E18) abiatuta prestatu ziren, aurretik deskribatu bezala (Banker eta Goslin, 1988). Laburki, enbrio-i-garunen hipokanpoak disekzionatu ziren eta TrypLE Express-an (Gibco, Thermo Fisher Scientific) disoziatu ziren 10 minutuz 37°C -tan. Zelulak bi aldiz garbitu ziren HBSSn eta ereintze medioan berreserkitu ziren (% 10 behi-serum fetal, 2 mM L-glutamina eta 50 U/ml penizilina/estreptomizina Neurobasal medioan (guztia Gibcorena)). Zelulak Pasteur pipeta batekin homogeneizatu ziren eta 5 minutuz zentrifugatu ziren $800 \times g$ -tan. Zelulen jalkina ereintze-medioan berreserkitu zen. Neurona hipokanpalak PDLz estalitako

estalkietan erein ziren 24 putzuko plaketan, dentsitate baxuan (20.000 zelula/putzuko). Kultiboak 37°C-tan mantendu ziren % 5 CO₂-arekin. 1 EIV ondoren, ereintze-medioa hazkuntza-medioarengatik ordezkatu zen (B27, 2 mM glutamina eta 50 U/ml penizilina/estreptomizina Neurobasal medioan). Giarik ez hazteko, medioaren erdia medio freskoarekin ordezkatu zen (20 µM 5-fluorodeoxiuridina eta uridinarekin (Sigma Aldrich)) 3 egunetik behin. Tratamenduak 10 eta 21 EIVtan egin ziren.

2.3 Hipokanpoko kultibo organotipikoa

Hipokanpoko kultibo organotipikoak Sprague-Dawley P5-P7 arratoi-kumeen garun-sekzioetatik abiatuta prestatu ziren, aurrez deskribatutako prozedurei jarraiki (Stoppini, Buchs eta Muller, 1991). Laburki, burua moztu ondoren burmuina atera, eta 350 µm-ko ebakidura koronaletan moztu zen ehun-ebakigailu bat erabiliz (McIlwain); gero, hipokanpoak banandu eta meningeak kendu ziren. Ebakidurak 0,22 µm-ko (Millipore) hazkuntza-mintzetara transferitu ziren, horietako bakoitzak bi edo hiru ebakidura edukiz. Ebakidurak 6 putzutako plaketan mantendu ziren bederatzi egunez definitutako medioan 37°C-tan atmosfera hezetu batean, % 5 CO₂-rekin (% 25ko basal erdiko Earle gatz orekaturekin (Life technologies, EBSS), % 44ko oinarrizko medio minimoarekin (Life technologies, MEM), % 25ko aktibatu gabeko zaldi-serumarekin (Life technologies), % 35ko glukosa-disoluzioarekin (Panreac), % 50en fungisona g/ml-rekin, B-27 (Gibco, ThermoFisher), Glutamax (Gibco), % 1ean penizilina/estreptomizinarekin eta AraC % 4.4ean (soilik 2 EIVtan)). 2 EIV pasatutakoan, ebakidura organotipikoak GFP-ri lotutako MBP promotorea daraman adenobirusarekin infektatu ziren (AAV8-MBP-GFP; 1 µl 10¹² partikula biriko). Bi egun ondoren, medioak aldatu ziren. Ebakidurak 9 egunez mantendu ziren kultiboan, esperimentuak egin aurretik.

3. Giza-laginak

Pazienteek baimen informatua eman zuten ikerketa kliniko guztiatarako, eta Helsinkiko Adierazpenean ezarritako printzipioen arabera egin ziren.

x subjektu kontrolen eta x AD pazienteren formalinan fixatutako eta parafinan inkluitutako hipokanpo sekzioak (**3. taula**) Ehun Neurologikoen Bankuko Ospitale Klinikoko IDIBAPSko Biobankutik lortu ziren. ADko laginak Braak-en eta Braak-en arabera (Braak & Braak, 1995) AD-II, AD-III, AD-IV eta AD-V-VI_n taldeetan taldekatu ziren, eta CERAD sailkapenaren arabera (Mirra et al., 1991) AD-A, AD-B eta AD-C taldeetan (**3. taula**).

3.taula. Kontrol and AD subjektuen ezaugarriak I-etik VI-era Braak-en and Braak-en arabera eta A,B edo C CERADen kriteriaren arabera sailkatuak.

Kasu zenbakia	Erreferentzia	Braak eta NFT	CERAD Senil plakak	Generoa	Adina	Analisi eremua	Postmortem atzerapena
1	695	I		M	80	Hp	10:00
2	1378	-		M	78	Hp	6:00
3	1648	-		M	73	Hp	6:10
4	1357	II		F	79	Hp	10:30
5	1912	II	B	F	72	Hp	13:35
6	1937	II	B	F	83	Hp	7:20
7	1247	III	A	F	80	Hp	8:00
8	1345	III	A	M	78	Hp	8:00
9	1112	III	B	F	83	Hp	7:30
10	608	IV	-	M	78	Hp	7:00
11	1040	IV	C	M	76	Hp	8:25
12	1417	IV	-	F	79	Hp	4:30
13	977	VI	C	M	75	Hp	10:00
14	999	VI	C	F	76	Hp	10:00
15	1135	VI	C	M	79	Hp	6:25

4. A β oligomeroen prestaketa

A β_{1-42} oligomeroak lehen deskribatu bezala prestatu ziren (Dahlgren et al., 2002). Laburbilduz, A β_{1-42} (ABX) hasieran 1 mM-ra disolbatu zen hexafluoroisopropanolean (Sigma-Aldrich) eta mikrozentrifuga-hodi esteriletan aliquotatu zen. Hexafluoroisopropanola hutsean ezabatu zen *speed vac* sistema batean, eta film peptidiko lehortua -80°C-tan gorde zen. Agregazio-protokolorako, peptidoa DMSO lehorrean (Sigma-Aldrich) berresekitu zen lehenik, 5 mM-ko kontzentrazioraino. Gero, Hams F-12 (PromoCell) gehitu zitzzion, peptidoa 100 μ M kontzentraziora eramateko, eta 24 orduz 4°C-tan inkubatu zen.

Etiketatutako A β ₁₋₄₂ aurretik deskribatu bezala prestatu zen (Jungbauer, Yu, Laxton, & LaDu, 2009). 24 orduko inkubazioaren ondoren, Alexa Fluor® 488 TFP ester Microscale Labelling Kit-a (A30006, Invitrogen) erabiliz etiketatu zen, fabrikatzailaren protokoloari jarraiki. Laburki, A β oligomeroen 50 μ L disoluzio (100 μ M) pH 9-ra doitzen 5 μ L NaHCO₃ (1 M) gehituz, eta, jarraian, koloratzaile errektibo disolbagarriaren 4 μ L gehitu zitzzion. Giro tenperaturan eginiko 15 minutuko inkubazioaren ondoren, 55 μ L etiketatzerreakzioaren nahasketa, Biogel P-6 erretxinaren 425 μ L-ko esekidurarekin paketatutako zentrifugazio-zutabe bati gehitu zitzzion, soberazko koloratzailea kentzeko. Amaierako eluentea (pH 7,4) 2 egunera arte biltegiratu zen 4°C-tan edo berehala erabili zen injekzioetarako.

5. Inhibitzaileak eta geneen isilpena siRNAn bidez

Medioari zuzenean gehitutako farmako eta inhibitzaile hauek erabili ziren: B latrunkulina (5 μ M; Santa Cruz), Jaspaklinolidea (5 μ M; Santa Cruz) eta puromicina dihidroklorikoa (2 μ M *in vitro* eta 10 μ M *in vivo*; Santa Cruz).

Oligodendrozitoak 5 μ L siRNA kontrol eta *Mbp*-ra zuzendututako siRNAnekin (5 nmol; HorizonDiscovery) transfektatu ziren AmaxaTM Basic NucleofectorTM (Lonza) kit-a erabiliz, fabrikatzailaren jarraibideak betez. Ondoren, zelulak kontrolarekin edo A β 1 μ M-rekin tratatu ziren 24 orduz.

6. Proteina estraktuen prestaketa and western blot bidezko detekzioa

6.1 Oligodendrozitoen proteinen prestaketa

Tratamendu bakoitzaren ondoren, ereindako OL kortikalak fosfatoarekin tanpoitutako gatz-disoluzio hotzean garbitu ziren (142 mM NaCl, 2,5 mM NaH₂PO₄, 75 Mm Na₂HPO₄; PBS) bi aldiz, eta zelulak lagin-tanpoian arraspatu ziren (62,5 mM Tris pH 6,8, % 10 glizerola, % 2 SDS, % 0,002 bromofenol urdina eta % 5,7 β -mercaptoetanol dH₂O); gutxienez, 3 putzu/tratamenduko eta 90.000-120.000 zelula/putzuko erabili ziren.

Prozesu guztia izotzetan egin zen, lisi-prozesua hobetzeko eta proteinen degradazioa saihesteko. Azkenik, laginak 95°C-tan irakin ziren 5 minutuz.

6.1.1 G-eta F-aktinaren banaketa

Oligodendrozitoak 24 orduz tratatu ziren A β edo kontrolarekin, eta kontrol negatiboko zelulak Latrunkulin B-arekin tratatu ziren arraspatu baino 30 minitu lehenago. Ondoren, zelulak PBS hotzeten garbitu ziren, eta, ondoren, aktina egonkortzeko tanpoiarekin inkubatu ziren izotzetan 5 minutuz, lisatzeko (5 mM Tris, pH 7,4, 300 mM sakarosa, 2 mM EGTA, % 0,3 TX-100, 2 mM faloidina, osatuta proteasa eta fosfatasa inhibitzaileen koktel batekin osatuta (ThermoFisher Scientific)). Ondoren, G-aktina zuen gainjalkina jaso zen eta plastikoari itsatsitako zelulak askatu ziren RIPA (Thermofisher Scientific) tanpoiarekin arraspatuz askatu ziren, F-aktina lortzeko. Azkenik, lagin-tanpoia gehitu, eta laginak 95°C-tan irakin ziren 5 minutuz.

6.2 Animalia-ehunen proteinen prestaketa

Saguak isofluoranoarekin anestesiatu (Schering-Plough), eta sakrifikatu egin ziren. Nerbio optikoa, gorputz kailukara eta hipokanpoa atera, izotz lehorrean jarri, eta -80°C-tan gorde ziren.

Animalia-ehunen laginak proteasa-inhibitzaileen koktelekin (ThermoFisher Scientific) osatutako RIPA (ThermoFisher Scientific) tanpoiarekin berresekitu, eta pistoi batekin homogeneizatu ziren. Ondoren, % 80ko anplitudezko 25 ziklotan sonifikatu (Labsonic M, Sartorius), 10 minutuz zentrifugatu (2.000 x g, 4° C), eta gainjalkinak jaso ziren. Proteinen edukia Bradford metodoaren bidez kuantifikatu zen (Bio-Rad).

6.3 Western blot-a

Proteinen laginak SDS-PAGE-aren bidez bereizi ziren poliakrilamidazko % 4-20ko gel prefabrikatuetan (Bio-Rad). Elektroforesia Tris-Glizinazko tanpoi batean egin zen (25 mM Tris, 192 mM glizina, % 0,1 SDS dH2O, pH 8,3), Criterion (Bio-Rad) gelaxka-sistema erabiliz. Gelak nitrozelulosazko mintz batera transferitu ziren Trans-Blot ® Turbo (Bio-Rad) transferentzia-sistemaren bidez. Mintzak ordubetez blokeatu ziren giro-

tenperaturan, %5 BSArekin (Sigma-Aldrich/Nzytech) osatutako TBST (20 mM Tris, 137 mM NaCl, % 0,1 Tween-20 dH₂O, pH 7,6) blokeo-disoluzioan. Ondoren, mintza antigorputz primarioekin inkubatu zen (**4. taula**) blokeo-soluzioan gau osoan zehar 4°C-tara, agitazio leunarekin. Gero, mintzak hiru aldiz garbitu ziren TBSTrekin, eta errebalar Peroxidasarekin (HRP) edo fluorokromoarekin lotutako antigorputz sekundarioekin inkubatu ziren (1:5000) TBSTn ordubetez, giro tenperaturan.

Banda immunoerreaktiboak luminiszentzia elektrokimikozko soluzioaren (NZY standard ECL eta NZY advanced ECL de Nzytech) eta ChemiDoc XRS Imaging System-aren (Bio-Rad) bidez detektatu ziren. Seinaleak Image Lab® (Bio-Rad) softwarearen bidez kuantifikatu ziren, eta β-aktina edo GAPDH seinalearen balioekin normalizatu ziren. Gutxienez hiru esperimentu independiente egin ziren baldintza bakoitzeko. Beharrezkoa izan zenean, mintzetatik antigorputzak kendu ziren Restore Western Blot Stripping Buffer-a erabiliz (Thermo Fisher Scientific) 20 minutuz giro-tenperaturan. Ondoren, mintzak hiru aldiz garbitu ziren TBSTn, blokeatu, eta beste antigorputz primario batzuekin inkubatu ziren berriro.

4.taula. *Western Blot-ean erabilitako antigorputzak.*

Antigorputza	Espeziea	Pisu molekularra (kDa)	Diluzioa	Erreferentzia
Anti-MBP	Sagua	21.5-14	1:1000	BioLegend SMI-99
Anti-PLP	Untxia	23-25/20	1:1000	Millipore MAB388
Anti-MOG	Sagua	28	1:1000	Millipore MAB5680
Anti-MAG	Sagua	100	1:500	Santa Cruz sc-166849
Anti-CNP	Sagua	48	1:1000	Sigma C5922
Anti-MOBP	Sagua	17	1:1000	Santa Cruz sc-517016
Anti-hnRNPA2	Sagua	36/38	1:1000	Santa Cruz sc-374053
Anti-hnRNPE1	Untxia	43	1:1000	MBL RN024P
Anti-hnRNPF	Sagua	48	1:1000	Santa Cruz sc:32310
Anti-hnRNPK	Untxia	51/65	1:1000	MBL RN019P
Anti-Koflin	Untxia	19-21	1:1000	Cell signalling #5175
Anti-f-Koflin	Sagua	19-21	1:1000	Santa Cruz sc-3658882
Anti-Dinaktina	Sagua	135	1:1000	Santa Cruz sc-365274
Anti-Dineina	Sagua	10	1:1000	Santa Cruz sc-136287
Anti-Puromizina	Sagua		1:1000	Millipore MABE343
Anti-TSG101	Untxia	50	1:1000	Abcam ab30871
Anti-6E10	Sagua		1:1000	BioLegend SIG-39320
Anti-α-Tubulina	Sagua	50	1:5000	Abcam ab7291
Anti-β-Aktin	Untxia	43	1:5000	Sigma A2228
Anti-GAPDH	Sagua	36	1:5000	Millipore MAB374

7. Immunoprezipitazioa

7.1 Ko-immunoprezipitazioa

Kultibatutako oligodendrozitoetan ko-immunoprezipitazio-saiakuntzak egin ziren, A β oligomeroek RNAren granuluen dinamikan eragindako aldaketak ikusteko. Laburki, agarosarekin konjugatutako anti-hnRNPA2 antigorputzaren 40 μ l (Santa Cruz) eta anti-IgG_{2b} antigorputzaren 10 μ l (Santa Cruz) erabili ziren. 1×10^6 OL hazi ziren baldintza bakoitzeko, eta 3 edo 24 orduz tratatu ziren A β -rekin. Zelulak bi aldiz garbitu ziren PBS hotzarekin, eta 1 ml-ko lisi-tanpoi ez-desnaturalizatzalean arraspatu ziren (50 mM Tris-HCl pH 8, 150 nM NaCl eta % 1 NP40, proteasa- eta fosfatasa-inhibitzaileen koktelarekin osatuta (ThermoFisher Scientific)). Izotzetan 10 minutuz utzi ondoren, 5 minutuz zentrifugatu ziren 12.000 x g-tara. Gainjalkina konjugatutako agarosari (anti-hnRNPA2 edo anti-IgG_{2b}) gehitu zitzaion (1/10 gorde zen *input* bezala erabiltzeko), eta 2 orduz 4°C-tan inkubatu zen, interakzio ez-espezifikoak saihesteko. Immunokonplexuak 2.000 x g-tara zentrifugatu ziren 2 minutuz, eta hiru aldiz garbitu ziren lisi-tanpoi ez-desnaturalizatzalearekin, eta behin PBSrekin. Ondoren, beste zentrifugazio bat egin zen immunokonplexua lortzeko. Azkenik, proteinen eluzioa 40 μ l lagin-tanpoitan berreseki eta 95°C-tan irakin zen 5 minutuz. Proteinak eskuratzeko, 12.000 x g-tara zentrifugatu zen minuto batez.

7.2 Immunoprezipitazioa

Kultibatutako oligodendrozitoetan immunoprezipitazio-saiakuntzak egin ziren, A β oligomeroek eragindako hnRNP A2 fosforilazioaren aldaketak zehazteko. Laburki, agarosarekin konjugatutako anti-pTYR (PY99) antigorputzaren 30 μ l (Santa Cruz) eta anti-IgG antigorputzaren 10 μ l (Santa cruz) erabili ziren. 1×10^6 OL hazi ziren baldintza bakoitzeko, eta 15 minutuz tratatu ziren A β -rekin. Zelulak bi aldiz garbitu ziren PBS hotzarekin, eta 1 ml-ko lisi-tanpoi ez-desnaturalizatzalean karrakatu ziren (50 Mm Tris-HCl pH 8, 150 nM NaCl eta % 1 NP40, proteasa- eta fosfatasa-inhibitzaileen koktelarekin osatuta (ThermoFisher Scientific)). Izotzetan 10 minutuz utzi ondoren, 5 minutuz

zentrifugatu ziren 12.000 x g-tara. Gainjalkina konjugatutako agarosari (anti-pTyr edo anti-IgG) gehitu zitzaison (1/10 gorde zen *input* gisa erabiltzeko), eta 2 orduz 4°C-tan inkubatu zen, interakzio ez-espezifikoak saihesteko. Immunokonplexuak 2.000 x g-tara zentrifugatu ziren 2 minutuz, eta hiru aldiz garbitu ziren lisi-tanpoi ez-desnaturalizatzalearekin, eta behin PBS 1X-rekin. Ondoren, beste zentrifugazio bat egin zen immunokonplexua lortzeko. Azkenik, proteinen eluzioa 40 µl lagin-tanpoitan berreseki eta 95°C-tan irakin zen 5 minutuz. Proteinak eskuratzeko, 12.000 x g-tara zentrifugatu zen minutu batez.

7.3 RNA immunoprezipitazioa (RIP)

RIP-saiakuntzarako, agarosarekin konjugatutako 40 µl anti-hnRNPA2 (Santa cruz) eta 10 µl anti-IgG_{2b} (Santa cruz) erabili ziren. Laburki, 2x10⁶ OL hazi ziren baldintza bakoitzeko, eta zelulak polisoma-lisizko tanpoi egoki batekin arraspaturaz lisatu ziren. Lisatuak bi aldiz zentrifugatu ziren, 30 minutuz 14.000 x g-tara 4°C-tan, eta gainjalkinaren zati bat, RNA osoari dagokiona, ondoren *input* gisa erabiltzeko biltegiratu zen. Input eta prezipitatuaren zati bat western blot analisirako gorde zen. RNA, RNA TRIzol (ThermoFisher Scientific) isolamendu-protokoloari jarraituz erauzi zen. RNA kontzentrazioa Nano DropTM 2000rekin neurtu eta lagin guztiak kontzentrazio berera eraman ziren, dietilpirokarbonatoz (DEPC) tratatutako ura gehituz.

Datuak geNorm softwareean lortutako normalizazio-faktore batekin normalizatu ziren, bi housekeeping generen adierazpenaren analisiaren bidez: Glizeraldehido-3-Fosfato Deshidrogenasa (*Gapdh*) eta β-actina (*Actb*). *Mbp*, *Mobp* eta *Tau*-ren mRNA aberastea RIP frakzioaren balioak sarrera-balio normalizatuekin erlatibizatuz aztertu ziren:

$$X \text{ mRNARIP frakzioan} \\ X \text{ mRNAaren aberastea} = \frac{X \text{ mRNA input - era normalizatua}}{}$$

8. Immunoentseguak

8.1 Oligodendrozitoen eta neuronen kultibo primarioak

Zelulak paraformaldehidoa (PFA) eta sakarosa % 4an zuen PBS soluzioan fixatu ziren 15 minutuz, eta, ondoren, hiru aldiz garbitu ziren PBSrekin. Zelulak iragazkortu eta blokeatu egin ziren ordubetez giro temperaturan, ahuntz serum arrunta % 4an (NGS, Palex) eta detergentea % 0,1ean zeukan PBSn (blokeo-soluzioa) inkubatuz; oligodendrozitoetan Triton X-100 (Sigma-Aldrich) erabili zen detergente gisa eta neuronetan aldiz, saponina. Jarraian, antigorputz primarioekin inkubatu ziren 4°C-tan gau osoan zehar. Ondoren, zelulak PBSarekin hiru aldiz garbitu ziren eta fluorokromoz konjugatutako antigorputz sekundarioekin inkubatu ziren ordubetez. Gero, zelulak bi aldiz PBSarekin garbitu eta DAPIrekin inkubatu ziren 8 minutuz (4 µg/ml, Sigma-Aldrich). Azkenik, zelulak PBSarekin bi aldiz garbitu ziren berriro, eta estalkiak beirazko objektu-euskarrieta muntatu ziren Fluoromount-G (SouthernBiotech) muntaketa-medioaren laguntzaz.

8.2 Ebakidura organotipikoak

Ebakidura organotipikoak % 4 PFAn fixatu ziren ordubetez giro-temperaturan, eta, ondoren, hiru aldiz garbitu ziren PBS 0,1 M-tan . Ondoren, iragazkortu eta blokeatu ziren NGS % 4an (Palex), eta Triton X-100 (Sigma-Aldrich) % 0,2an zeukan TBSn (100 mM Tris-HCl, 300 mM NaCl, 4,25 mM MgCl₂; pH 7,4) (blokeo-soluzioa) ordubetez giro-temperaturan, eta jarraian, bi aldiz garbitu ziren TBSrekin. Ondoren, ebaketak BSA % 1ean (Nzytech) eta Triton X-100 % 0,2an (Sigma-Aldrich) zeukan TBSn (inkubazio-disoluzioa) disolbatutako antigorputz primarioekin inkubatu ziren 4°C-tan gau osoan zehar. Antigorputz primarioen ondoren, ebakiak lau aldiz garbitu ziren TBSarekin, eta fluorokromoz konjugatutako antigorputz sekundarioekin inkubatu ziren 2 orduz giro-temperaturan. Jarraian, ebakiak hiru aldiz garbitu ziren TBSarekin, eta bigarren garbiketan DAPIrekin inkubatu ziren 10 minutuz (4 µg/ml, Sigma-Aldrich). Azkenik, ebakiak beirazko objektu-euskarrieta muntatu ziren, Mowiol® (Calbichem) muntaketa-

medioa erabiliz. Irudiak, Leica Stellaris 5 mikroskopio konfokalarekin eskuratu ziren, 20X-eko objetiboa erabiliz.

8.3 Ebakidura akutuak

Saguak isofluoranoarekin anestesiatu eta sakrifikatu ziren. Garuna Leica VT 1200S (Leica microsystems) bibratomoa erabiliz ebaki zen, 150 µm-ko ebaketa koronalak lortzeko. Ondoren, ebaketak oxigenatutako ganbera batean jarri ziren aCSF disoluzioan (NaCl 140 mM, KCl 2,5 mM, NaH₂PO₄.H₂O 1,2 Mm, HEPES 10 Mm, Glukosa 10 Mm, NaHCO₃ 26 mM, Pirubato sodikoa 1 Mm, N-azetilzisteina 12 mM, pH 7,3) ordubetez 37°C-tan, horiek egonkortzeko. Ondoren, 20 minutuz tratatu ziren puromizinarekin (10 µM), eta kontrol negatiboak anisomizinarekin (40 µM) tratatu ziren 45 minutuz (puromizina baino 25 minuto lehenago gehitu zen). Ebaketak, % 4 PFAn fixatu ziren ordubetez giro-temperaturan inkubatuz. Jarraian, iragazkortu eta blokeatu egin ziren NGS % 10ean (Palex), eta Triton X-100 (Sigma-Aldrich) % 0,3an zeukan PB 0,1 M-ean (blokeo-soluzioa) ordubetez giro-temperaturan. Gero, ebaketak blokeo-soluzioan disolbatutako antigorputz primarioekin inkubatu ziren 4°C-tan gau osoan zehar. Antigorputz primarioen ondoren, ebakiak hiru aldiz garbitu ziren PB 0,1 M-rekin, eta fluorokromoz konjugatutako antigorputz sekundarioekin inkubatu ziren ordubetez giro-temperaturan. Jarraian, ebakiak hiru aldiz garbitu ziren PB 0,1 M-tan, eta bigarren garbiketan DAPIrekin inkubatu ziren 10 minutuz (4 µg/ml, Sigma-Aldrich). Azkenik, ebakiak beirazko objektu-euskarrieta muntatu ziren, Fluoromount-G (SouthernBiotech) muntaketa-medioa erabiliz

8.4 Saguen ehunak

Sagu-ehunak Leica VT 1200S (Leica microsystems) bibratomoa erabiliz ebaki ziren, 40 µm-ko sekzio koronalak lortzeko. Sekzioak PB 0,1 M-rekin garbitu ziren, eta beroak eragindako tratamendu bat egin zitzaien (95°C, 5 minutuz), R-Universal (Aptum) tanpoian, epitopoak berreskuratzeko. Ondoren, sekzioak hiru aldiz garbitu ziren PBS 0,1 M-rekin eta %100eko etanol (EtOH) hotzarekin tratatu ziren 10 minutuz. Jarraian, hiru

aldiz garbitu ziren PB 0,1 M-rekin, eta iragazkortu eta blokeatu egin ziren NGS % 4ean (Palex), eta Triton X-100 (Sigma-Aldrich) % 0,1an zeukan PBSn (blokeo-soluzioa) ordu erdiz giro-tenperaturan. Blokeatu ostean, ebakiak hiru aldiz garbitu ziren PBSrekin fluorokromoz konjugatutako antigorputz sekundarioekin inkubatu ziren ordubetez giro-tenperaturan. Ondoren, ebakiak hiru aldiz garbitu ziren PBSrekin, eta bigarren garbiketan DAPIrekin inkubatu ziren 10 minutuz (4 µg/ml, Sigma-Aldrich). 18 hilabeteko saguen ehunak autofluoreszentzia-ezabatzaile errektiboarekin tratatu ziren, fabrikatzailaren aginduei jarraituz (Millipore), lipofuszinaren antzeko autofluoreszentzia murritzeko. Azkenik, ebakiak beirazko objektu-euskarrieta muntatu ziren, Fluoromount-G (SouthernBiotech) muntaketa-medioa erabiliz.

8.5 Parafinan enbeditutako giza sekzioak

Parafinan endeditutako 10 µm-ko giza sekzioak desparafinatu egin ziren xilenoan murgilduz, eta, ondoren, birhidratatu ziren alkohol-edukia zuten soluzioetan (% 100, % 96 eta % 75 diluituak H₂On) eta TBSan murgilduz 10 minutuz disoluzio bakoitzean. Ondoren, laginei beroak eragindako tratamendu bat egin zitzaien (121°C, 20 minutuz), R-Universal (Aptum) tanpoian, eta 30 minutuz hozten utzi ziren epitopoaren desmaskaratzea errazteko. Ondoren, laginak hiru aldiz garbitu ziren TBSrekin, eta blokeatu ziren % 4 BSA zuen TBSn ordubetez giro-tenperaturan. Blokeatu ostean, sekzioak hiru aldiz garbitu ziren TBSrekin eta fluorokromoz konjugatutako antigorputz sekundarioekin inkubatu ziren ordubetez giro-tenperaturan. Ondoren, ebakiak hiru aldiz garbitu ziren TBSrekin, eta bigarren garbiketan DAPIrekin inkubatu ziren 10 minutuz (4 µg/ml, Sigma-Aldrich). Ondoren, laginak TBSrekin garbitu ziren eta autofluoreszentzia-ezabatzaile errektiboarekin tratatu ziren, fabrikatzailaren aginduei jarraituz (Millipore), lipofuszinaren antzeko autofluoreszentzia murritzeko. Azkenik, ebakiak beirazko objektu-euskarrieta muntatu ziren, Fluoromount-G (SouthernBiotech) muntaketa-medioa erabiliz.

8.6 Analisi immunokimikoak

Irudiak Leica TCS STED CW SP8X (Leica) mikroskopio konfokala, Leica Stellaris 5 (Leica) mikroskopioa konfokala eta Zeiss Apotome 2 (Zeiss) epifluoreszentziazko mikroskopioa erabiliz eskuratu ziren. Hainbat fluoroforoekin egindako esperimentuetan, kanalak sekuentzialki eskaneatu ziren, kanalen arteko gurutzamendua saihesteko. Esperimentu bereko irudi guztiei konfigurazio bera aplikatu zitzaien. Analisi guztiak ImageJ/Fiji (NIH) softwarearekin egin ziren.

8.6.1 Oligodendrozitoen eta neuronen kultibo primarioak

hnRNPen irudiak Leica TCS STED CW SP8X mikroskopio konfokalarekin eskuratu ziren, 63Xeko olio-objetiboa erabiliz; esperimentu bakoitzean baldintza bakoitzerako 10 zelula eskuratu ziren. Lehenik eta behin, iragazki gaussiano bat aplikatu zitzaison seinaleari, atzealdea bereizteko eta irudia hobetzeko. Ondoren, nukleoak ezabatu ziren eta Fiji-ImageJn eskuragarri zegoen atalase predeterminatu bat aplikatu zen. "Image Calculator" funtzioa erabili zen hnRNP A2 eta hnRNP F kanalekin kolokalizazioa neurtzeko. Azkenik, "Analyze particles" funtzioa erabili zen kolokalizatutako eremua identifikatzeko. F-aktina (faloidina-TexasRed) eta G-aktina (DNAasa I-Alexa 488) irudiak Zeiss Apotome 2 epifluoreszentzia-mikroskopioa (Zeiss) erabiliz eskuratu ziren, 40Xeko olio-objetiboa erabiliz. Baldintza bakoitzerako 10 eremu hartu ziren. Zelulak F-aktinaren seinalearekin delineatu egin ziren, intereseko eskualdea (ROI) definitzeko parametro gisa. Jarraian, bi kanalen batez besteko intentsitatea kuantifikatu zen.

Neurona hipokanpaleen kasuan, irudiak Stellaris 5 mikroskopio konfokalarekin eskuratu ziren, 40X-eko (puromizinarekin egindako esperimentuetarako) eta 63X-eko (sinapsia aztertzeko) olio-objetiboak erabiliz. Esperimentu bakoitzean baldintza bakoitzerako 10 zelula edo eremu eskuratu ziren. Soma zelularra eskuz mugatu zen eta ROlak puromizinaren dentsitate integratua neurtu zen. Jorge Valero doktoreak diseinatutako makro bat erabili zen neurona primarioetako neurona-prozesu distaletan edo neuritetan markatzaile sinaptikoen tindaketa kuantifikatzeko, kalte sinaptikoaren neurri gisa. 20x4 μm -ko ROIak fixatu ziren irudian, ROIa neuritaren orientazioa zehazteko erreminta errotagarri baten laguntzarekin, eta, ondoren, ROI bakoitzerako eremua kalkulatu zen.

8.6.2 Saguen ehunak

Ebakidura akutuen eta flotanteen ehunen irudiak Leica TCS STED CW SP8X mikroskopio konfokalarekin eskuratu ziren, 40X-eko olio-objektiboa erabiliz, z-stack proiekzioak sortzeko. Irudien analisia subjektu bakoitzeko 1-2 ebakiduretan egin zen. Puromizinaren fluoreszentzia-intentsitatea aztertzen, zelulak eskuz delineatu ziren eta oligodendrozitoen barruko dentsitate-integratua kuantifikatu zen. HnRNP A2 eta Olig2rako z-stack bakarreko irudiak hartu ziren, eta hnRNP A2ren batez besteko intentsitatea aztertu zen Olig2+ zelulen nukleoetan.

8.6.3 Giza ehunak

Giza laginen sekzioetako irudiak 3D Histech Pannoramic MIDI II diapositiben eskanerrarekin eskaneatu ziren. Pertsona bakoitzaren hipokanpoaren 3 eremu desberdin erabili ziren. HnRNP A2ren fluoreszentziaren intentsitatea Olig2+ nukleoetan neurtu zen. Irudi adierazgarriak Leica TCS STED CW SP8X mikroskopio konfokalarekin eskuratu ziren, 40X-eko olio-objektiboa erabiliz, z-stack proiekzioak sortzeko.

6. taula. Immunofluorescentiarako erabili diren antigorputzak

Antibody	Host	Dilution	Reference
Anti-MBP	Ms/ch/rb	1:1000/1:200/1:200	Biolegend smi-99/Millipore ab9348/Abclonal a1664
Anti-MOG	Sagua	1:1000	Millipore MAB5680
Anti-MOBP	Untxia	1:100	Bioss bs-11184r
Anti-hnRNPA2	Sagua	1:1000	Santa Cruz sc-374053
Anti-hnRNPE1	Untxia	1:1000	MBL RNP024P
Anti-hnRNPF	Sagua	1:1000	Santa Cruz sc-32310
Anti-hnRNPK	Untxia	1:1000	MBL RNP019P
Anti-Fyn	Untxia	1:100	Santa Cruz sc-434
Anti-Puromycin	Sagua	1:500	Millipore MABE343
Anti-Olig2	Sagua	1:1000	Millipore MABN50
Anti-Synaptophysin	Oiloa	1:500	Synaptic systems #101006
Anti-Homer1	Untxia	1:500	Synaptic systems #160003
Anti- α -Tubulin	Sagua	1:5000	Abcam ab7291

9. Puromizinaren hurbiltasun-loturaren proba (Puro-PLA)

3 EIV pasatu ostean, oligodendrozito kontrolak eta Aβrekin tratatutakoak (2×10^4 zelula/putzuko) puromizinarekin (2 µM) tratatu ziren 10 minutuz, anisomizina sintesi proteikoaren inhibitzailearen absentzian edo presentzian (40 µM) 25 minutuz. Puromizinarik gabeko kontrol negatiboek medio freskoa baino ez zuten jaso. Zelulak digitonina zeukan PBS hotzarekin garbitu ziren, eta % 4 PFAn eta sakarosan fixatu ziren 15 minutuz.

PLA, Duolink® PLA (Sigma Aldrich) protokoloari jarraiki egin zen. Laburki, zelulak iragazkortu eta blokeatu zirenean, gau osoan zehar antigorputz primarioekin inkubatu ziren, MBP (untxia), MOBP (untxia) eta puromizinaren (sagua) aurkako antigorputzeken (1:500), hain zuzen. Estalkiak tanpoi egoki batekin garbitu ziren, eta zegozkien PLA sondekin inkubatu ziren ordubetez. Kit-eko ligazio soluzioarekin 30 minutuz inkubatu ziren, eta, ondoren, seinalea amplifikatuko zuen polimerasa batekin inkubatuz 100 minutuz. Lau inkubazio-urratsak 37°C-ko ganbera heze batean egin ziren, garbiketa-urratsekin txandakatuz. Azkenik, zelulak garbitu eta Alexa® 488-rekin konjugatutako faloidinarekin tratatu ziren % 1 BSAn, zitoeskeletoa ikusarazteko. Estalkiak beirazko objektu-euskarrieta muntatu ziren, Duolink® In situ Mounting Media erabiliz.

Irudiak Zeiss Apoteome 2 (Zeiss) epifluoreszentziako mikroskopioarekin hartu ziren, 63Xeko olio-objetiboa erabiliz. Irudien analisia ImageJ/Fiji softwarearekin egin zen. Faloidina seinalea “Gaussian Blur” pluginarekin prozesatu zen maskara bat sortzeko. “Concentric Circles” plugin erabiliz, 10 µm-ko tarteetan zirkulu zentrokideak sortu ziren, zelula-gorputzaren erdigunetik ateratzen zirenak, eta PLA fluoreszentzia-intentsitatearen batez besteko balioak lortu ziren.

10. Nanofibretan hazitako oligodendrozitoen desberdintzaren entsegua

14 EIV ondoren, PDLz (Sigma) estalitako nanofibrei atxikitako oligodendrozitoak (2×10^4 zelula/putzuko) % 4 PFAn eta sakarosan fixatu ziren 20 minutuz, eta hiru aldiz garbitu ziren 0,1 M PBSetan. Zelulak, iragazkortu eta blokeatu ziren NGS % 20ean (Palex), eta Triton X-100 (Sigma-Aldrich) % 0,1an zeukan PBS 0,1 M-ean (blokeo-soluzioa) ordubetez

giro-tenperaturan. Gero, blokeo-soluzioan disolbatutako anti-MBP (1:200) eta anti-MOG (1:200) antigorputz primarioekin inkubatu ziren 4°C-tan gau osoan zehar. Ondoren, hiru aldiz garbitu ziren PBS 0,1 M-tan, eta fluorokromoz konjugatutako antigorputz sekundarioekin inkubatu ziren ordubetez giro-tenperaturan. Jarraian, hiru aldiz garbitu ziren PBS 0,1 M-tan, eta bigarren garbiketan DAPIrekin inkubatu ziren 10 minutuz (4 µg/ml, Sigma-Aldrich). Azkenik, ebakiak beirazko objektu-euskarrieta muntatu ziren, Fluoromount-G (SouthernBiotech) muntaketa-medioa erabiliz. Leica TCS SP8 mikroskopio konfokalarekin z-stack irudiak hartu ziren, 63X-eko olio-objetiboa erabiliz. ImageJ/Fiji softwarea erabili zen zelula-prozesu guztien MBParen hedadura neurtzeko (zelula-nukleotik prozesuaren puntaraino dagoen MBP seinalearen distantzia, nanofibraren orientazioarekin paraleloan). Zelula bakoitzerako markatutako MBP eta MOGen batez besteko intentsitatea ere zehaztu zen (z-stack-eko 3 proiekzio bizienak hartu ziren kontuan).

11. Mikroskopio elektronikoa

Saguak % 4 PFAn, % 2,5 glutaraldehidoan (Electron microscopy Sciences) eta % 0,5 NaCl tanpoi fosfatoan, (pH 7,4) perfunditu ziren, deskribatu bezala (Möbius et al., 2010). Aldiz, ernaldu ondoko 8 eguneko (EPF) zebra-arrainak, kakodilato tanpoian disolbatutako %2 glutaraldehidoan (Electron microscopy Sciences) eta % 4 PFAn (pH 7,4) fixatu ziren, gutxienez 5 egunez. Saguen garunak eta zebra-arrainen bizkarrezurreko muinak soluzio finkatzaile berarekin postfixatu ziren 4°C-tara gau osoan zehar. Ehunak sagitalki moztu ziren, Leica VT 1200S (Leica) bibrazio-horzdun mikrofito bat erabiliz, 200 µm-ko lodierako sekzioak lortzeko. Ehun-sekzioak % 2ko OsO4an portfixatu ziren, etanol abd propilenoxidoan deshidratatu eta EPONen (Serva) txertatu ziren 24 orduz, 60°C-tan. Sekzio ultrafinak (50 nm-ko lodiera) Leica Ultracut S (Leica) ultramikrotomoarekin lortu ziren. Ondoren, %4ko uranilo-azetatoarekin 30 minutuz inkubatuz, eta, jarraiki, berun-zitratoarekin 6 minutuz inkubatuz, kontrastatu ziren.

EM irudiak Zeiss EM900 (Zeiss) mikroskopio elektronikoan atera ziren. g-ratioa (100 axoi mielinizatuta animalia bakoitzeko), axoiaren diametroa (A) gehi barneko mihiaren

diametroa (I) zati zuntz guztiaren diametroa (M) formula erabiliz kalkulatu zen $((A+I)/M)$). Diametroak ImageJ/Fiji eta Excel softwarrak erabiliz lortu ziren. g-ratiorako 8000X irudiak erabili ziren, eta, aldiz, mielinizatutako axoien kopurua kuantifikatzeko 4000X irudiak eraili ziren.

12. Injekzio intrahipokanpalak sagu helduetan

10 asteko sagu arrak (C57BL6/J) injekzioak intrahipokanpalak jaso zituzten eskuineko biraketa horzdunean (BH). Kirurgiarako, animaliak anestesiatuak izan ziren 0,3 ml Avertinekin. Saguak estereotaxi-aparatu batekin immobilizatu ziren, eta zegozkien prestakinak injektatu zitzaien: ibilgailua edo 3 μl A β (10 μM). Orratza bertan utzi zen 5 minutuz, errefluxua saihesteko.

Saguak ketamina /xilazina (100/10 mg/kg) duen soluzioan anestesiatu eta 30 ml tanpoi fosfatorekin eta 30 ml % 4 PFA zeukan 0,4 M PBn perfunditu ziren. Garuna atera eta postfixatu zen soluzio fixatzaile berarekin 4 orduz giro-temperaturara. Ondoren, % 30 sakarosan (pH 7,5) utzi ziren 4°C-tan, eta azkenik, soluzio kriobaseslean (% 30 etilenglikola, % 30 glizerola eta % 10 PB 0,4 M dH₂O) -20°C-tan mantendu zen.

13. Magnetikoki aktibatutako sailkapen zelularra (MACS)

Saguak isofluoronarekin anestesiatu eta sakrifikatu egin ziren. Ondoren, oligodendrozitoak isolatu ziren, lehen deskribatu bezala (de la fuente et al., 2020). Laburki, burezurretik burmuinak atera, Hibernate A-n (Gibco) sartu eta zati txikitzen moztu ziren (1 mm³, gutxi gorabehera). Garunak papaina (33 U/ml) eta DNasa (0,04 mg/ml) zituen disoluzio batekin digeritu ziren 30 minutuz 37°C-tan. Ehunaren digestioaren ostean, papaina, HBSSn (Ca²⁺-/Mg²⁺-) (Gibco) garbitu zen zentrifugazio baten bidez. Ondoren, ehuna birrindu egin zen beirazko Pasteur pipeta batekin, 1 × B27 (Gibco) eta 2 mM sodio pirubato (Gibco) Hibernate An dislbatutako soluzioa erabiliz. Birrindu ondoren, zelula- esekidura 70 μm -ko iragazki batetik (VWR) pasatu zen, eta 20 minutuz zentrifugatu zen 800 × g-tara, % 22,5eko Percoll soluzio batean (GE Healthcare), DMEM Glutamax-ekin (Gibco) batera. Zentrifugazioaren ondoren, Percoll-a xurgapen

bidez kendu zen eta zelulak HBSS (-/-)-rekin (Gibco) garbitu ziren. Zelulak O4-ren aurkako antigorputz batekin (Milteny Biotech) inkubatu ziren 15 minutuz izotzetan. Antigorputz soberakina berriro kendu zen HBSS (-/-)-rekin garbituz eta zelulak magnetikoki banandu ziren fabrikatzailearen jarraibideen arabera (Milteny Biotech). Zelulak SATO+ medioarekin eluitu ziren.

14. RNAREN ERAUZKETA ETA KUANTIFIKAZIOA

14.1 RNA erauzketa

Ereindutako oligodendrozitoen RNA totala, RNA Mini Kit-a (Quiagen) edo TRIzol-a (ThermoFisher Scientific) erabiliz erauzi zen, fabrikatzailearen jarraibideen arabera. MACS bidez lortutako oligodendrozitoen RNA totala, RNA Micro Kit-a (Quiagen) erabiliz erauzi zen, fabrikatzailearen jarraibideen arabera. RNAREN kontzentrazioa eta osotasuna Nano Drop (ThermoFisher Scientific) 2000 espektrofotometro batekin neurtu zen.

14.2 Alderantzizko transkripzioa and polimerasaren kate-errereakzio kuantitatiboa (RT-qPCR)

RNA, 5X tanpoi, DTT 0,1 M, primer aleatorioak, dNTPak, RNase OUT eta Superscript III erretrotranskriptasa zituen 20 µl-ko errereakzio batean alderantziz transkribatu zen Verity termozikladorean (Applied Biosystems). Sortutako DNA osagarriak (DNAo) Mili-Q H₂O esterilean disolbatu ziren. Ondoren, polimerasaren kate-errereakzioa egin zen (qPCR) RNAasari 3,5 µl ur, Sybr Green Master Mix 5 µl, primer soluzio 1 µl eta DNAoren 0,5 µl zituen soluzio batean. Erreakzio guztiak hirukoitztuta egin ziren eta errereakzioa CFX96 Touch Real-Time PCR Detection System (Bio-Rad) delakoan egin zen. Amplifikazio-errereakzioak optimizatu egin ziren: 3 min 95°C, eta 40 ziklo, 10 s eta 95°C artean, 30 s eta 60°C artean.

Primer-rak Primer 3 softwarea erabiliz diseinatu ziren, eta DNA Technologies Integrated (IDT) edo QUIAGEN enpresek sintetizatu zituzten. qPCR produktuaren espezifikotasuna fusio-kurben bidez egiaztatu zen. Datuak normalizatu egin ziren geNorm softwarean

hiru gene housekeeping desberdinaren adierazpenaren analisiaren bidez lortutako normalizazio-faktore batekin. Primer-ren sekuentziak **6. taulan** zehazten dira.

6.taula. Erabilitako primerren sekuentziak talde desberdinetan sailkatuta.

Kategoria	Genea	Sekuentzia	Erreferentzia
Proteina mielinikoak	<i>Mbp</i>		Quiagen QT00199255
	<i>Mog</i>		Quiagen QT00177149
	<i>Mag</i>		Quiagen QT00195391
	<i>Mobp- 81a</i>	Fwd CGCTCTCCAAGAACAGAAG Rev GCTTGGAGTTGAGGAAGGTG	IDT
	<i>Plp</i>	Fwd CGACATCCGACAAGTTGTG Rev CTAGGAAGGCAATAGACTGGC	Eurofins
	<i>Cnp</i>	Fwd CGCCCACTCATCATGAGCAC Rev CCTGAGGATGACATTTCTGAAGA	Eurofins
hnRNP-ak	<i>Hnrnpa2b1</i>		Quiagen QT01826545
	<i>Hnrnpf</i>		Quiagen QT00453110
	<i>Hnrnpk</i>		Quiagen QT00381626
	<i>Hnrnpe1</i>		Quiagen QT00507206
Microtubuluak	<i>Tau</i>	Fwd CGCTCTCCAAGAACAGAAG Rev GCTTGGAGTTGAGGAAGGTG	IDT
	<i>Dynlt1</i>	Fwd TTACACACCGCAAGTTCCTG Rev GACTAGAAACGCTGGAACCG	IDT
	<i>Dnt1</i>	Fwd TTGACGTGGGTGGTAGCTGT Rev TCTGCGTCATACTCGCCTTC	IDT
	<i>Dnt2</i>	Fwd CAGATGCTGCAATCACCTT Rev CAACTTGGCAGCTTGAGAG	IDT
Housekeeping-ak	<i>Gapdh</i>	Fwd GAAGGTCGGTGTCAACGGATT Rev CAATGCCACTTTGTTACAAGAGAA	Eurofins
	<i>Bm2</i>	Fwd CACCGAGACCGATGTATGCTT Rev TTACATGTTCTCGGTCCCAGG	Eurofins
	<i>Cica</i>	Fwd CAAAGTTCAAAGACAGCAGAAAA Rev CCACCTGGCACATGAATC	Eurofins
	<i>Actb</i>	Fwd TGTCACCAACTGGGACGATA Rev GGGGTGTTGAAGGTCTAAA	IDT

14.3 RNA-seq

RNA-seq-a burutzeko, laginak Biogunera bidali ziren. RNAREN kantitatea eta kalitatea ebaluatzeko, Qubit RNA assay kit (Invitrogen) eta Agilent 2100 bioanalizatzailea (Agilent RNA 6000 Pico Chips) erabili ziren. Lagin guztiekin kontzentrazio eta osotasun nahikoa zuten esperimentuak egiteko.

Sekuentzia-liburutegiak "SMARTer Stranded Total RNA-seq Kit v2 Pico Input Mammalian" (Takara Bio USA, Cat. # 634411) kit-a eta "SMARTer Stranded Total RNA-seq Kit v2 Pico Input Mammalian User Manual (Rev. 050619)" erabiliz sortu ziren. Protokoloa 4-10 ng-ko RNA totalarekin hasi zen. Laburbilduz, RNA zatitu eta 1. kateko DNAo-ren sintesia egin zen, alderantzizko SMARTScribe transkriptasa erabiliz, 90 minutuz 42°C-ra, 10 minutuz 70°C-ra eta 4°C-ra egindako etenaldi batez. Ondoren, indizeak zitzuten Illumina egokigailuak gehitu ziren aurreanplifikazioko PCR batean (60 seg 94°C-ra, 5 ziklo 15 seg 98°C-ra, 15 seg 55°C-ra, 30 seg 68°C-ra, eta geldialdia 4°C-ra). Ondoren, ZapR v2 eta R-Probes v2 zituen DNAo erribosomikoa ezabatu zen. Azkenik, liburutegien aberastea PCR bidez lortu zen (60 s 94°C-tan; 12 edo 16 ziklo 15 s 98°C-ra, 15 s 55°C-ra, 30 s 68°C-ra; eta geldialdia 4°C-ra). Ondoren, liburutegiak Agilent 2100 bioanalizatzaile batean bistaratu ziren, Agilent sentsibilitate handiko DNA kit-a erabiliz (Agilent Technologies, Cat. # 5067-4626), eta DNA dsDNA HS Qubit kita erabiliz kuantifikatu ziren (Thermo Fisher Scientific, Cat. #Q32854). Illumina sekuentziatzaileak irudi landugabeak sortzen ditu RTA (Real Time Analysis) izeneko analisi primarioko software integratu baten bidez. BCL bitarra FASTQ bihurtarazten da, Illumina Inc-en bcl2fastq paketea erabiliz.

Kalitate-kontrolaren analisiaren ondoren (FastQC; Andrews, 2010), lerrokatzea STAR v2.7.1 (Dobin et al., 2013) proiektuarekin egin zen, *Rattus norvegicus* genomaren (BN7.2.toplevel ang gtf v105) kontra; beraz, ez zen beharrezkoa izan inolako murriketarik egitea. Zenbaketa-matrizea lortzeko, htseq-count (s reverse) exekutatu zen (Anders, Pyl, & Huber, 2015) hari-espezifikotasunarekin, eta R v4.2.2ra importatu zen, non DESeq2rekin aztertu zen (Love, Huber, & Anders, 2014). Lehen urratsa izan zen adierazten ez ziren > 2 (Interaktoma analisia) eta > 5 ($\text{A}\beta$ -ren eraginaren analisia) geneak iragaztea, gutxienez 2/3 lagin motatan. Horrela, genetzat hartu zen 3tik 2 laginetan gutxienez adierazten bazen eta gainerako lagin-motetan inola ere adierazten ez bazen. Horrela, detekzio-alborapena saihestu zen.

Hurrengo urratsa inplikatutako faktoreak modelizatzea izan zen, hurrengo taulan agertzen diren faktoreak kontuan hartuz:

7. taula. Laginiaren taula. *Lagin bakoitzari (errenkadaren izena) faktore baten maila bat esleitzen zaio (zutabearen izenak). IgG-ren laginak kontrol-zelulen nahasketa bat ziren, eta Awindoo-rekin tratatuak; beraz, zarata bi baldintzetan ezabatzeko erabili ziren.*

Laginaren izena	Esperimentua	Bikotea	Baldintza
IgG2	IgG	2	Kontrola/Aβ
IgG3	IgG	3	Kontrola/Aβ
IgG4	IgG	4	Kontrola/Aβ
InputC2	Input	2	Kontrola
InputC3	Input	3	Kontrola
InputC4	Input	4	Kontrola
InputAβ2	Input	2	Aβ
InputAβ3	Input	3	Aβ
InputAβ4	Input	4	Aβ
RIPC2	RIP	2	Kontrola
RIPC3	RIP	3	Kontrola
RIPC4	RIP	4	Kontrola
RIPAβ2	RIP	2	Aβ
RIPAβ3	RIP	3	Aβ
RIPAβ4	RIP	4	Aβ

Analisi desberdinatarako, lagin mota desberdinak hautatu ziren, DESeq2rekin bateragarria zen faktore-matrizetan lortzeko. A2 interaktomaren analisian, kontrol-laginak bakarrik hautatu ziren (IgG, Input kontrola, RIP kontrola). Antzeko *pipelin-ak* jarraitu ziren (Moore et al, 2019; Tichy et al, 2018; Rossi et al, 2017; Gagliardi et al, 2016), erabilitako diseinua eta kontrastea ~Parea + esperimentua ("Esperimentua_RIP_vs_Input", "Esperimentua_IgG_vs_Input"), hurrenez hurren. P balio doitua < 0,05 zuten geneak A2rekiko interaktuatzaile esanguratsu gisa identifikatu ziren. IgG-ren laginak kontroleko zelula parekatuen IgG-ren nahasketa bat direnez, eta Aβorekin tratatuak, Aβorekin tratatutako laginak ere erabili ziren, antzera tratatutako interaktoma lortzeko eta kontrol-emaitzakin alderatzeko.

Era berean, oligodendrozoitoen transkriptoetan Aβoren eragina aztertu zen diseinu honekin: ~ SV1 + SV2 + Parea + Esperimentua + Baldintza + Esperimentua: Baldintza. Hala ere, ereduaren konplexutasuna dela eta, IgG-ko laginak ezabatu egin ziren. SV1 eta SV2 faktoreak Ordezko Aldagaien Analisian oinarrituta konputatu ziren, faktore zaratatsu ezezagunek eragindako aldakortasuna ateratzeko, hala nola Aβ-ren

oligomerizazioa, beste batzuk barne. Zelula osoen transkriptorean A β -en efektua aztertzeko, kontraste hau erabili zen: "Baldintza_A β _vs_C".

Datuak bistaratzeko eta aberastasun funtzionala ikusteko: ggplot2 (Wickham et al, 2016) eta clusterProfiler (Wu et al, 2021; Yu et al, 2012) erabili ziren. Erabilitako kodea <https://github.com/rodrisenovilla/AlberdiLab> helbidean aurki daiteke. Aztertutako datuak behar bezala kargatuko dira GEO biltegian (<https://www.ncbi.nlm.nih.gov/geo/>), argitaratu ondoren.

15. RNAREN HIBRIDAZIOA

RNAREN *in situ* hibridazio fluoreszentea RNAScope Multiplex V2 (Advanced Cell Diagnostics; ACD) kit fluoreszentea erabiliz gauzatu zen, PFA fixatutako eta agarosan enbeditutako 15 μm -ko kriosekzioetan, fabrikatzailearen jarraibideen arabera. Zenbait aldaketa gauzatu ziren, hala nola, sekzioak parafilm bidez estali ziren 40°C-ko inkubazio guztietai, hezetasuna mantentzeko eta errektiboak sekzioetan sakabanatzeko. Zebra-arrainaren transkripzio-zundak *mbpa*, *myrf* eta *sox10* fabrikatzaileak diseinatu eta sintetizatu zituen, eta 1:50eko diluzioetan erabili ziren, *mbpa*-rako izan ezik, ez baitzen diluitu. Transkritoak TSAn oinarritutako Opal520 (1:1500), Opal570 (1:500) eta Opal650 (1:1500) fluoroforoekin markatu ziren Opal 7 Kit (PerkinElmer) erabiliz. Irudiak Zeiss Cell Observer Spinning Disk sistema konfokal batean atera ziren, 40 \times /1,20 NA uretako objetiboa erabiliz. Animalia bakoitzaren bizkarrezur-muineko 10 sekziotako irudiak eskuratu ziren 28 z-stack-koak (z pasabidea = 0,28 μm). Kanal bakoitzak okupatutako eremu osoa ImageJ/Fiji-n zehaztu zen.

16. ENTSEGU IMMUNOENTZIMATIKOA (ELISA)

Giza A β_{1-42} mailak homogeneizatuetan zehaztu ziren, giza amiloiderako sentsibilitate handiko ELISA kit-a (Millipore, #EZHS42) erabiliz. Kontzentrazioak fabrikatzailearen jarraibideen arabera kuantifikatu ziren, tripliken batez bestekoa eginez eta zelula bizien guztizko kopuruarekin normalizatzu.

50 µl antigorputz konjugatzeko soluzio gehitu zen putzu guztieta. Jarraian, 50 µl soluzio estandar eta lagin (prediluituak) gehitu zitzaizkion aurrez tratatutako 96 putzutako plaka bati. Plaka hori 5 minutuz inkubatu zen giro temperaturan, astintze leunarekin, eta 4°C-tan gau osoan zehar astindu gabe. Hurrengo egunean, plaka 5 aldiz garbitu zen garbitzeko soluzioarekin, eta 100 µl konjugamendu entzimatikoko soluzio gehitu zitzaizkion, eta 30 minutuz inkubatu zen giro temperaturara, astintze leunarekin. Ondoren, plaka berriro 5 aldiz garbitu zen, eta 100 µl substratu-disoluzio gehitu ziren eta 7 minutuz inkubatu zen giro temperaturara, astintze leunarekin. Azkenik, gelditze-soluzioko 100 µl gehitu ziren, eta plaka berehala irakurri zen 450 eta 590 nm-ko fluorimetroan. Kurba estandarra x ardatzean kontzentrazio estandarra (pg/mL) eta y ardatzean xurgapena marraztuz lortu zen.

17. Besikula estrazelularren (BE) purifikazioa

Ereindutako oligodendrozitoak A β -rekin tratatu ziren 24 orduz (250.000 zelula/baldintza neuronak tratatzeko eta 1×10^6 zelula/baldintza WBrako). Ondoren, oligodendrozitoen bideragarritasun-saiakuntza egin zen (zelula biziak kuantifikatzeko) eta hazkuntza-medioa jaso zen BEak isolatzeko. Gainerako zeluletatik proteinak atera eta kontrol gisa erabili zen.. Jarraian, medioa zentrifugatu zen 1.500 x g-tara 5 minutuz, altxatutako zelulak eta zelula-hondarrak kentzeko. Ondoriozko gainjalkina 315.000 x g-tara ultrazentrifugatu zen 75 minutuz, eta EB eta exosoma txikiak zituzten azken jalkinak 15 µl PBSn (pH 7,4) berreserkitu ziren. Jalkinak 2X lagin-tanpoian berresekitu ziren eta 95°C-tan irakin ziren 5 minutuz. Lisatu zelularak (input) eta gainjalkinak western blot-aren bidez aztertu ziren. Analisi eta tratamendurako kantitatea baldintza bakoitzerako zelula bizien kopuruarekiko normalizatu zen.

18. *In vivo*ko irudien hartzea denbora errealean

18.1 Fluorescent recovery after photobleaching (FRAP)

FRAP esperimentuak ereindutako oligodendrozitoetan (2 eta 3 EIV) egin ziren, Life-Act eramaten duen Sindbis birusaren 1:100 diluzioarekin infektatuta, 16 orduz gutxienez.

Esperimentu bakoitza bi baldintza desberdinekin egin zen: tratamendurik gabeko kontrol-zelulak eta esperimentua baino 30 minuto lehenago A β peptidoaren 1 μ M-rekin tratatutako zelulak. 30 minuto horiek igaro ondoren, medioaren ordez "Live Cell Imaging Solution" (ThermoFisher Scientific) jarri zen mikroskopioan bistaratzeko, eta berriro gehitu zen A β , FRAP sajakuntzan presente egon zedin. Leica TCS STED CW SP8 mikroskopio konfokalarekin lortu ziren irudiak, Leica "FRAP with TCS SP8" protokoloari jarraituz. F-aktina-GFPa fotozuritzearen baino 20 segundo lehenago erregistratu zen 405 nm-ko uhin-luzera erabiliz. Ondoriozko fluoreszentzia berreskuratzea 280 segundoz neurtu zen. Seinale fluoreszentearen analisia Leica Application Suite X (LAS X) programarekin egin zen.

Teknika honen bidez, A β peptidoak ereindutako oligodenrozitoetan fluoreszentziaz markatutako F-aktinaren polimerizazioan duen eragina ikusi nahi genuen. Kontuan izan behar da ikusitako fluoreszentziaren berreskurarapenaren arrazoia ez dela polimerizazioa bakarrik izan, fluoroforoaren hedapen maila bat egon baitaiteke. Hori dela eta, fluoreszentzia ere erregistratu zen zelula bereko fotozuritu gabeko eremu batean, kontrol gisa. Horrela, datuen prozesamenduan zuenketa-faktore bat sartu zen, honela kalkulatuta: kontrol-eskualdeko balio bakoitzaren eta eskualde bereko hasierako balioaren arteko erlazioa. Eremu fotozuritzeari buruzko datuak dagokien zuenketa-faktorearekin zatitu ziren, fluoroforoaren hedapenaren ondoriozko fluoreszentzia-oszilazioak konpentsatzeko, eta ez polimerizazioaren ondoriozkoak. Ondoren, datu gordinak trazatu ziren eta normalizatu egin ziren fotozuritzearen (1 gisa definitua) aurreko batez besteko fluoreszentziarekiko eta fotozuritzearen (0 gisa definitua) uneko fluoreszentziarekiko. Emaitzak aztertzeko, "Fast Half Life" parametroa aukeratu zen, fase azkarrean fluoreszentzia berreskuratzeko abiadura neurtzen duena. Zehazki, etapa honetan fluoreszentziaren erdia berreskuratzen den denborari dagokio. Parametro honen balioak erregresio ez-linealaren bidez lortu ziren (bi faseko gainbehera eredu) GraphPad Prism 8 erabiliz.

18.2 Kaltzio zitosolikoaren neurketa oligodendrozito kultiboetan

Ca^{2+} zitosolikoaren neurketa aurrez deskribatu bezala egin zen (Ruiz, Alberdi, & Matute, 2014). Laburki, oligodendrozitoak Fluo-4 AM-rekin kargatu ziren (Molekular Probes, Invitrogen) 30 minutuz SATO+ hazkuntza-medioan 37°C-tan. Ondoren, hazkuntza-medioa kendu eta zelulak 20 minutuz mantendu ziren soluzio estrazelularrean (NaCl 140 mM, KCl 5 mM, MgCl_2 2 mM, CaCl_2 2 mM, Glukosa 10 mM eta HEPES 10 mM; pH 7,4), desesterifikazioa ahalbidetzeko. Oligodendrozitoei KCl (25 mM) gehitu zitzaien, eta irudiak LCS SP2 (Leica, Alemania) mikroskopio konfokal alderantzikatu baten bidez lortu ziren 40X olio-objetiboa erabiliz. Irudiak, 5 minutuz grabatu ziren 15 s fotogramako abiaduran. Datuen analisirako, 10-20 zelulako populazio homogeneo bat hautatu zen ikusmen-eremuan, eta somata zelularrak ROI gisa hautatu ziren. Irudien atzealdeko balioak ebatsi ziren, eta datuak $F/F_0 \pm SEM$ (%) gisa adierazi ziren. Bertan, F-k aldi baterako puntu jakin baterako fluoreszentzia-balioa adierazten du, eta F_0 k atsedeneko fluoreszentzia-mailaren batez bestekoa.

18.3 Kaltzio zitosolikoaren neurketa kultibo organotipikoetan

Ebakidura organotipikoak Fura 2-AM (5, Molekular Probes, Invitrogen) eta % 0,01 PluronicTM F-127-rekin (Invitrogen) inkubatu ziren kultibo medioan 30 minutuz 37°C-tan. Ondoren, zelulak HEPES-Hank's disoluzioan garbitu ziren (inkubazio-tanpoia) (HBSS, MgCl_2 1 mM, CaCl_2 2 mM, Glucosa 10 mM, NaHCO_3 4 mM eta HEPES 20 mM; pH 7,4) 10 minutuz giro-temperaturara. Esperimentuak etengabe inkubazio-tanpoiarekin perfunditutako estalki-kamera batean egin ziren. Leica DMLFSA (Leica, Alemania) epifluoreszentiazko mikroskopio alderantzikatu baten platinan muntatu zen perfusio-kamera. Kultibo organotipikoei KCl (50 mM) gehitu zitzaien mikroinjektore baten bidez (Eppendorf), 160 hPa-ko presioarekin (pultsuaren iraupena 10 s). Irudiak 40Xeko ur-objetiboaarekin eskuratu ziren, 2 minutuz 1 fotograma/1 s-ko abiaduran, Aquacosmos softwarearekin (Hamamatsu, Japonia). Kaltzioaren kontzentrazio intrazelularra 340/380 ratioaren bidez kalkulatu zen.

18.4 Mielina zorroen bisualizazioa zebra-arrainean

5 EPF-ko zebra-arraineko larbak % 0,4ko trikainarekin anestesiatu ziren, eta % 1,2 agarosa eta % 0,4 trikainadun soluzioan sartu ziren, kristalezko hondoa duen plater batean immobilizatzeko. Irudiak Zeiss Cell Observer Spinning Disk sistema konfokal batean atera ziren, $63 \times/1,20$ NA ur-objetiboa erabiliz. 1-2 eremutako irudiak jaso ziren animalia bakoitzako, 40 z-stack-eko irudiak ($z\text{-step} = 0,28 \mu\text{m}$) eginez. Zorroen luzera eta kopurua intentsitate handieneko proiekzioetan aztertu ziren, modu itsuan Fiji/ImageJ erabiliz.

19. Analisi estatistikoak

Datu guztiak \pm S.E.M (bataz besteko errore estandarra) gisa adierazi ziren, irudian puntu bidez adierazitako laginaren tamainarekin. Analisi estatistikoak balio absolutuak eta GraphPad Prism 8 softwarea erabiliz egin ziren. Bi isatseko parekatu eta parekatu gabeko Student t-proba, bide bateko ANOVA eta bi bideko ANOVA probak aplikatu ziren *post-hoc* testekin batera laginaren ezaugarrien arabera. Esanahi estatistikoa honela irudikatu zen: $p < 0,05$ (*), $p < 0,01$ (**), $p < 0,001$ (***) eta $p < 0,0001$ (****).

EMAITZAK

I. PARTEA: Oligodendrozitoen erantzun transkriptomiko diferenziala Alzheimer patologiaren aurrean

Azken urteotan, zelula bakarrean egindako analisi genomikoek, AGko zelula mota askotan desregulatutako seinaleztapen-bide komunak erakutsi dituzte, esaterako hantura eta erantzun immunea, lipidoen seinaleztapena eta metabolismoa, estres metabolikoa eta proteinen tolestura, DNAren kaltea eta seneszentzia zelularra, eta zelula baskularrekiko interakzioak (Murdock eta Tsai, 2023). Alzheimer gaixotasunean egindako oligodendrozitoen analisi genomikoek alterazioak identifikatu dituzte zelula horien hainbat funtzioetan, hala nola mielinizazioan, jarduera neuronalaren detekzioan eta funtzio immunean. Gainera, AG duten sagu transgenikoetan egindako analisi transkriptomiko espazialek erakusten dute plaka amiloideek oligodendrozitoen geneen adierazpena aldatzen dutela (Chen et al., 2020). Hala ere, ezer gutxi dakigu A β -ek oligodendrozitoetan eta mielinizazio-prozesuetan izan dezaketen eraginari buruz, eta horrek gaixotasunaren garapenean eta progresioan nola lagun dezakeen.

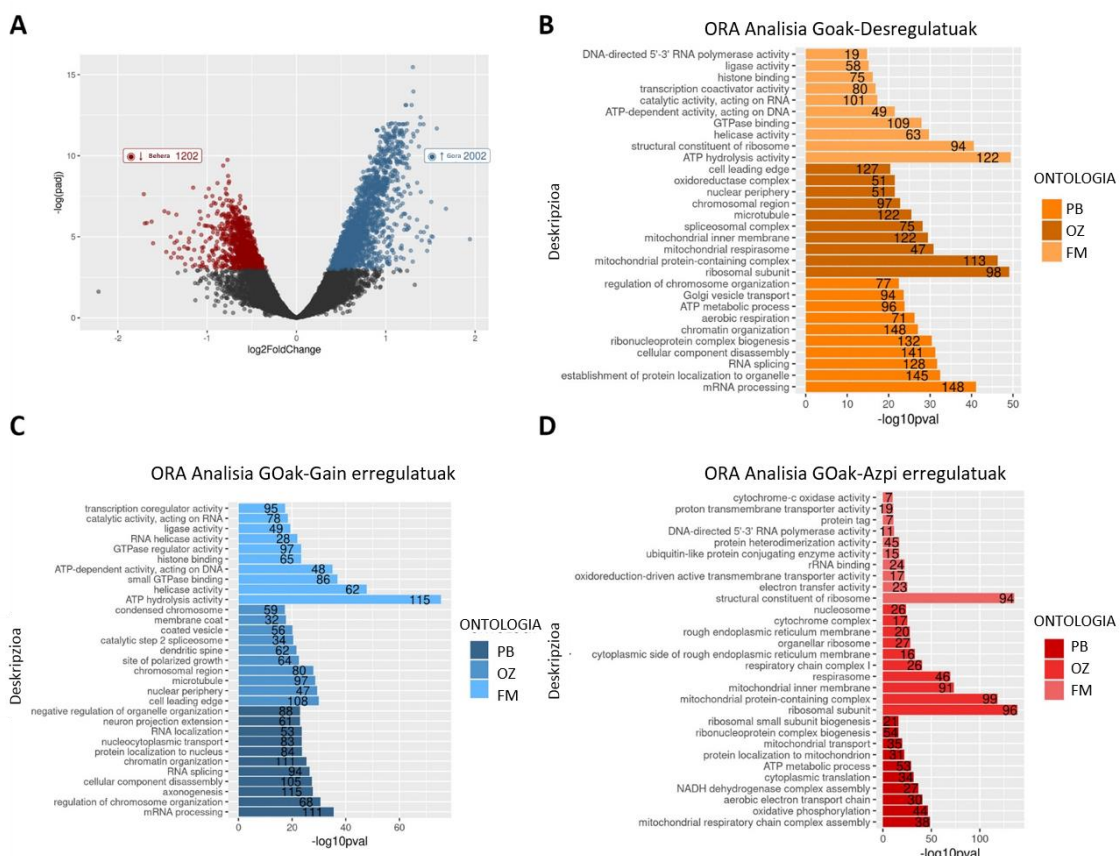
1.1 A β_{1-42} oligomeroek oligodendrozitoen transkriptoma aldatzen dute *in vitro*

Oligodendrozitoen erantzun transkripzionalak ikertzeko, RNAren sekuentziazioa (RNA-seq) egin genuen kontrol eta A β -ekin tratatutako oligodendrozitoetan. 24 orduko tratamenduaren ondoren, diferenzialki adierazitako 3204 gene (DAG) aurkitu genituen, non 2002 gainadierazita, eta 1202 azpiadierazita agertzen ziren (DeSeq2, P balio doitua<0,05) (**10A. irudia**). Adierazpen genikoaren desberdintasunak hobeto ulertzeko, Geneen Ontologiarenean (GO) terminoak aberasteko analisia (*Cluster profiler* softwarrea) eta *WikiPathways* bideak aztertzeko analisia (*Webgestalt* softwarrearen tresna) egin genituen.

Gainadierazitako geneek parte hartzen duten prozesu biologikoen (PB) arabera sailkatu ziren, eta gene gehien zituzten prozesuak; RNAren metabolismoa (*hnrrnpu*, *hnrnpk*,

hnnpm, *hnnpa2b1*, *App* eta *Dhx9*), erregulazio kromosomikoa (*Upf1*, *Atrx*, *Parp1* eta *Top2a*) eta garraio nuklearra (*Ctnna1*, *Xpo*, *Htt*, *Nup133* eta *Stat3*) izan ziren. Besikulen lokalizazioa, Golgiren besikulen garraioa eta morfogenesia bezalako prozesu biologikoak ere gain-erregulatuta agertzen ziren (**10C. irudia**). Aitzitik, azpi-erregulatutako geneak, batez ere, arnas-kate mitokondrialarekin (*Nduf* desberdinak, *Tfam* eta *Cos19*), fosforilazio oxidatibo eta ATP sintesiarekin (*Uqcrq*, *Cox1*, *CyCS*, *Cytb* eta *Park7*) lotuta zeuden (**10D. irudia**).

Gainadierazitako DAGekin lotutako bideak kolesterolaren metabolismoa eta biosintesia, hexosen metabolismoa, TNF- α NF- κ B seinaleztapen-bidea eta foku-atxikipena ziren (**8. taula**). Bide horiek guztiak mielinizazioan funtsezkoak dira. Bestalde, azpiadierazitako DAGekin lotutako bideetan proteina erribosomaliko zitoplasmatikoak eta transkripzio eukariotoaren hasiera sartzen ziren, itzulpenarekin lotuta daudenak. Aipatzeko da, deregulatutako hainbat bide metabolismo energetikoarekin lotuta daudela (**8. taula**).



10. irudia. Abo-ekin tratatutako oligodendrozitoen analisi transkriptomikoa, zelula kontrolekin alderatuta. **(A)** Gorantz eta beherantz nabarmen erregulatutako geneen banaketa erakusten duten Volcano diagrama. **(B)** GO analisia; prozesu biologiko (PB), osagai zelularra (OZ) eta funtzio molekularra (FM). GO

termino bakoitzean lotutako gene kopurua adierazten da. **(C)** Gain adierazitako geneen GO analisia eta termino bakoitzari lotutako gene kopurua. **(D)** Azpi adierazitako geneen OG analisia eta termino bakoitzari lotutako gene kopurua.

Adierazpen-maila altuenak dituzten geneak oligodendrozitoen funtziogarrantzitsuekin lotzeaz aparte, AGrekin lotura zuzena dute, hala nola mielinizazioarekin, burdinaren homeostasiarekin eta APP bidearekin. Gainadierazitako geneen artean, honako hauek nabarmentzen dira: *Actb*, *Nfasc*, *Cnp*, *Mag*, *Apoe*, *hnrrnpa2b1* eta *App*; aldiz, azpiadierazitakoenean *Fth1*, *Ftl1* eta *Mobp*.

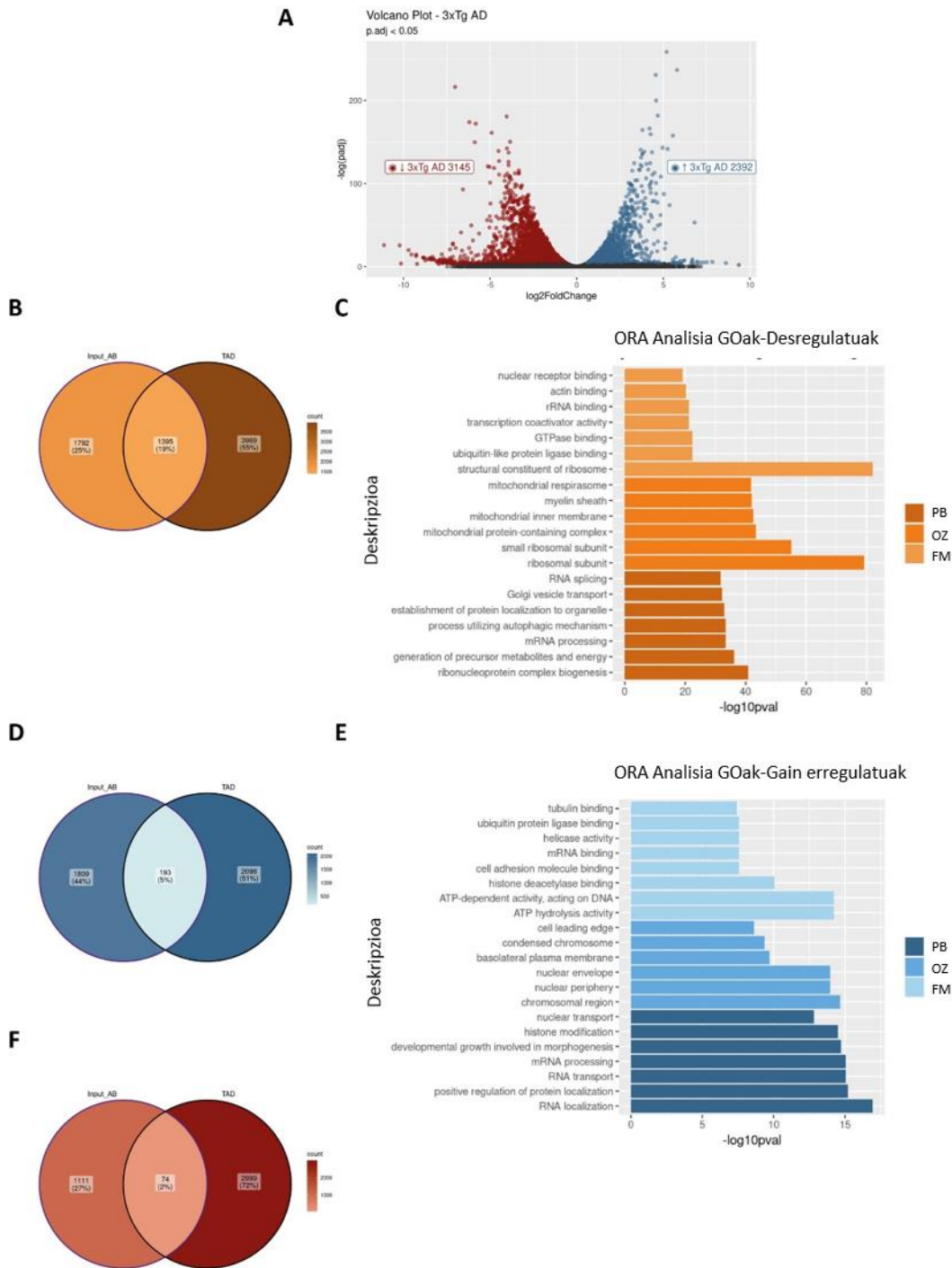
8. taula. A β o-ekin tratatutako oligodendrozitoetan gain- eta azpi-erregulatutako DAGekin lotutako bidezidorrak.

geneSet-a	Deskripzioa	tamaina	gainjartzea	P balioa
WP529	mRNAaren prozesamendua	112	43	8,13E-03
WP632	Kolesterolaren metabolismoa	23	13	2,30E-09
WP3916	Hexosen metabolismoa	55	18	3,38E-12
WP439	Intsulinaren seinalizazioa	152	36	8,73E-11
WP457	TNF- α NF-kB seinaleztapen bidea	174	39	0.001659
WP145	Estatinen bidea	18	8	0.001800
WP1292	Karbono bakarreko metabolismoa	26	10	0.001852
WP461	Kolesterolaren biosintesia	15	7	0.002502
WP188	Adhesio zelularra	190	41	0.002720
WP372	B-oxidazioa	32	10	0.010198
WP30	Erribosomak	108	47	<2.2E-16
WP59	Elektroien garraio katea	93	35	<2.2E-16
WP1283	Fosforilazio oxidatiboa	60	23	7,12E-02
WP491	Itzulpen eukariotikoaren hasiera	40	11	3,63E-11
WP1279	Estrogenoen seinalizazioa	69	12	0.0016441
WP1293	Seleinoaren metabolismoa	34	7	0.0059846
WP294	p38 MAPK seinalizazio bidea	37	7	0.0096622
WP1310	Selenioaren mikronutrienteen sarea	23	5	0.0155700
WP1311	Azido folikoaren sarea	25	5	0.0220634
WP4229	Intsulinak induzitutako PI3K-Akt eta MAPK hepatozitoetan	34	5	0.0713909

1.2 A β -rekin tratatuko eta 3xTg-AG-etik isolatutako oligodendrozitoen arteko analisi konparatiboa

Ondoren, AGean oligodendrozitoek pairatzen duten efektua sakonago azterzeko, *in vitro* ikusitako alterazioak 3xTg-AG sagu ereduau (APP^{Swe}, MAPT^{P301L} eta PSEN1^{M146V} mutazioen eramailea) egiaztatu genituen. Etapa goiztiarretan aldatutako bideak aztertu nahi genituenez, MACS teknika erabili genuen 6 hilabeteko 3xTg-AG eta WT saguen garunetik oligodendrozito heldugabeak eta helduak (O4+) isolatzeko. Horiek, RNA-seq masiboa egin genuen adierazpen genikoaren aldaketak zehazteko. 5537 DAGen artean, 2392 gene gainadierazita, eta 3145 gene azpiadierazita zeudela ikusi genuen (DeSeq2, P balio doitua<0,05) (**11A. irudia**). *In vitro* eta *in vivo*-ko DAGak alderatutakoan, bi kasuetan 1395 (% 19) gene aldatuta zeudela ikusi genuen. DAG horiek RNAREN metabolismoan (mRNAREN *splicing*-a eta mRNAREN prozesamendua), Golgiren besikulen garraioan, erribonukleoproteina konplexuaren biogenesian, autofagian eta metabolismo energetikoan inplikatuta zeuden nagusiki (**11B, C. irudia**). Ondoren, *in vitro* eta *in vivo* aztertutako DAG guztietatik joera bera jarraitzen diotenak zehaztu genituen. 1395 geneetatik, 193 soilik zeuden gainadierazita eta, aldiz, 74 azpiadierazita (**11D, F. irudia**). Ondoren, GO eta *Wikipathways* analisiak egin genituen. Gainadierazitako PBEN artean batez ere RNAREN metabolismoarekin (mRNAREN prozesamendua, garraioa, lokalizazioa eta lotzea), proteinen lokalizazioaren erregulazio positiboarekin edo zitoeskeleto mikrotubularren antolaketarekin zerikusia dutenak ikusi genituen (**11E. irudia**).

Bestalde, *Wikipathway* analisiak bi ereduetan gehien aberastutako 10 bideak erakutsi zituen. Gain-erregulatutako DAGekin lotutako bideak intsulinaren seinalizazioa, mRNAREN prozesamendua edo pluripotentzia ziren. Azpi-erregulatutakoak, aldiz, MAPK eta Akt seinaleztapen-bideekin lotzen ziren. Gainera, *in vitro* ereduau deskribatu den bezala, energia-metabolismoarekin lotutako hainbat bide ikusi genituen, hala nola gantz-azidoen beta oxidazioa, estres oxidatiboa eta glukogenoaren metabolismoa (**9. taula**).



11. irudia. In vitro eta 3xTg-AG saguen oligodendrozitoen analisi transkriptomiko konparatiboa. (A) WT eta 3xTg-AG saguen oligodendrozito isolatuetan gain-eta azpi-erregulatutako geneen banaketa erakusten duten Volcano diagrama. (B) In vitro vs 3xTg-AG DAGen gainjartzea irudikatzen duen Venn diagrama. Ehunekoek gene komunen proportzioa adierazten dute. (C) GO analisia desregulatutako DAGekin; prozesu biologiko (PB), osagai zelularra (OZ) eta funtzio molekularra (FM). (D) In vitro vs 3xTg-AG azpiadierazitako DAGen gainjartzea irudikatzen duen Venn diagrama. Ehunekoek gene komunen proportzioa adierazten dute. (E) GOen analisia azpiadierazitako DAGekin; prozesu biologiko (PB), osagai zelularra (OZ) eta funtzio

molekularra (FM). (F) *In vitro* vs 3xTg-AG azpiadierazitako DAGen gainjartzea irudikatzen duen Venn diagrama. Ehunekoek gene komunen proportzioa adierazten dute.

Mielinizazioan (*Mobp*, *Itgb1*, *App*, *Cnp*, *hnrrnpa2b1* eta *Vamp2/3*), zitoeskeletoa (*Actb*, *Dnt1*, *Limk1*, *Rock1*, *Mapt* eta *Dyn*) eta burdinaren homeostasian (*Fth1*, *Ftl1* eta *Iscu*) implikatutako geneak dira desregulatutako gene nabarmenetako batzuk, bai kultibo primariotik, bai 3xTg-AGtik eratorritako oligodendrozitoetan.

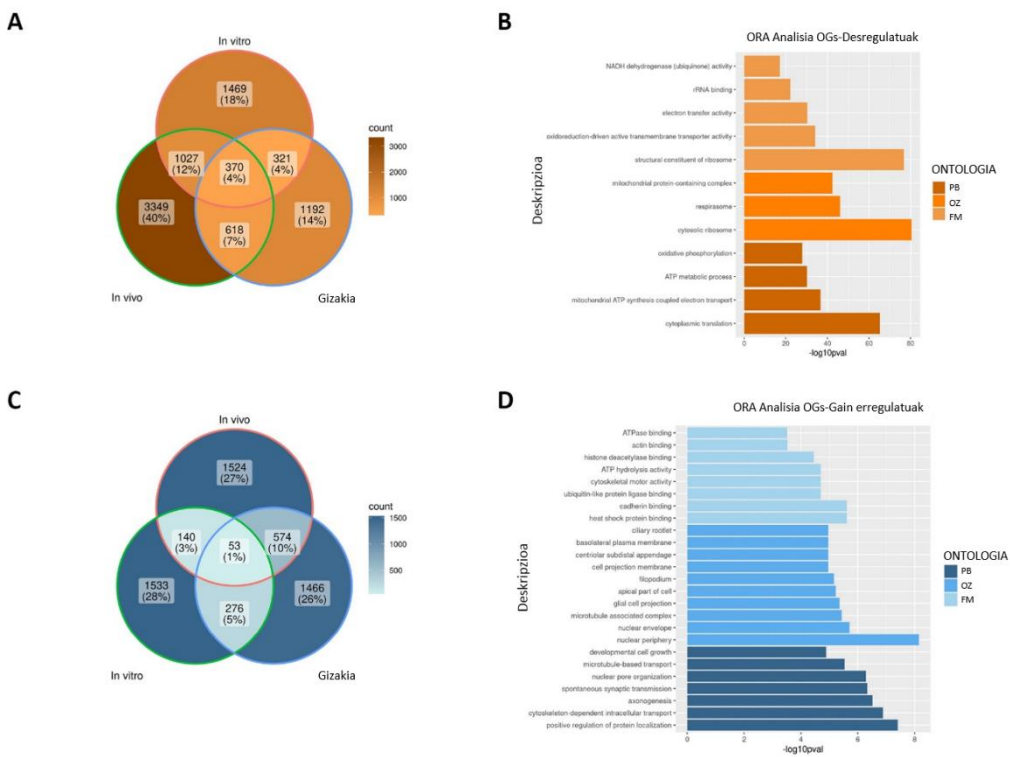
9. taula. Gain- (urdinez) eta azpi- (gorriz) erregulatutako geneak implikatutako bidezidorra kultibotako eta 3xTg-AG saguen oligodendrozitoetan.

geneset-a	deskripzioa	tamaina	gainjartzea	pbalioa
WP1763	Pluripotentziarekin erlazionatutako mekanismoak	293	16	3,29E-09
WP65	Intsulinaren seinalizazioa FAS bidea eta estresa induzitutako HSParen erregulazioa	159	7	0,008329
WP571	erregulazioa	37	3	0,016581
WP310	MRNA-aren prozesamendua	460	12	0,034114
WP336	Gantz azidoen biosintesia	22	2	0,040802
WP4344	Esfingolipidoen metabolismoa	25	2	0,051524
WP403	Wnt seinalizazio bidea	60	3	0,057581
WP6	Integrina bidezko adhesio zelularra	100	4	0,058736
WP543	Gorputz zetonikoen sintesia eta degradazioa	5	1	0,071488
WP523	Aktina zitoeskeletoaren erregulazioa	152	5	0,071828
WP350	p38 MAPK seinalizazio bidea	36	3	6,05E-10
WP151	IL-5 seinalizazio bidea	69	3	0,004006
WP493	MAPK seinalizazio bidea	159	4	0,006085
WP387	IL-6 seinalizazio bidea	99	3	0,010936
WP373	IL-3 seinalizazio bidea	100	3	0,011240
WP2841	Adhesio fokala-PI3K-Akt-mTOR- seinalizazio bidea	325	5	0,016252
WP297	IL-7 seinalizazio bidea	44	2	0,018147
WP1261	ErbB seinalizazio bidea	46	2	0,019741

1.3 A β -rekin tratatutako, 3xTg-AG-ko eta AGko oligodendrozitoen arteko analisi konparatiboa

Azkenik, *in vitro* eta 3xTg-AG saguaren ereduan identifikatutako gaixotasunari lotutako gene-sinadurak, AG pazienteengandik eratorritako oligodendrozitoetan ere asaldatuta ote zeuden jakin nahi genuen. Horretarako, fase goiztiarreko AG pazientetatik eta kontrol-subjektuetatik eratorritako oligodendrozito-leinuko zelulekin argitaratutako datu-basea hautatu (Mathys et al., 2019), eta analisi konparatiboa egin genuen. 370

gene hiru baldintzakin bat zetozen (% 4), nagusiki itzulpen zitoplasmatikoan eta metabolismo mitokondrialarekin (ATP prozesu metabolikoa, fosforilazio oxidatiboa eta ATPren sintesi mitokondriala) lotuta zeudenak. Hiru baldintzetan joera berari jarraitzen dioten DAGak alderatzean, 53 gene baino ez genituen ikusi gainadierazita (% 1), eta bat ere ez azpiadierazita (**12C. irudia**). Gain-erregulatutako GOak zitoeskeletoarekin eta proteinen lokalizazioaren erregulazio positiboarekin lotutako bideak erakutsi zituzten, besteak beste.



12. irudia. In vitro, 3xTg-AG saguen eta AG duten oligodendrozitoen analisi transkriptomiko konparatiboa. (A) Hiru ereduengen DAGen gainjartzea irudikatzen duen Venn diagrama. Ehunekoek gene komunen proportzioa adierazten dute. **(B)** GO analisia desregulatutako DAGekin; prozesu biologiko (PB), osagai zelularra (OZ) eta funtzio molekularra (FM). **(C)** Hiru ereduetan gainadierazitako DAGen gainjartzea irudikatzen duen Venn diagrama. Ehunekoek gene komunen proportzioa adierazten dute. **(D)** Prozesu biologikoaren (BP), osagai zelularra (OZ) eta funtzio molekularra (FM) OG analisia.

Bideen analisiek hiru ereduetan aberastutako hainbat bide erakutsi zituzten, eta energia-metabolismoarekin (elektroien garraio-katea, fosforilazio oxidatiboa, I. mitokondria-konplexuaren mihtadura eta glukolisia eta glukoneogenesia), proteasomarekin (Parkin-Ubikitina proteina-sistemaren bidea), itzulpenarekin

(erribosoma-proteina zitoplasmatikoak) eta mRNAren prozesamenduarekin lotuta zeudela ikusi genuen, besteak beste (**10. taula**). Hiru baldintzetan gain-erregulatutako bideak behatzean, intsulinaren seinaleztapena, mekanorregulazioa eta zilioarekin erlazionatutako bideak aipa ditzakegu.

Mielinizazioan (*Itgb1*, *App*, *hnrrnpa2b1* eta *Bace1*), zitoeskeletoa (*Actb*, *Rock2* eta *Dync1I2*) eta burdinaren homeostasian (*Fth1*, *Iscu*) implikatutako geneak dira hiru ereduetan desregulatutako gene batzuk.

Oro har, emaitzek iradokitzen dute AG baldintzetan bide kaltetuenak RNAren metabolismoarekin, mielinizazioarekin eta metabolismo energetikoarekin lotuta daudela.

10. taula. Oligodendrozitoetan desregulatutako (laranja) eta gain-erregulatutako (urdina) bidezidorra hiru ereduetan.

geneSet-a	deskripzioa	tamaina	gainjartzea	pbalioa
WP477	Erribosomak	91	36	<2,2E-12
WP111	Elektroien arnas-katea	105	24	1,55E-15
WP4324	Mitokondriaren I. konplexuaren mihiztadura	105	24	1,55E-11
WP623	Fosforilazio oxidatiboa	62	11	1,42E-10
WP3888	VEGFA-VEGFR2 seinalizazio bidea	438	28	6,80E-09
WP534	Glikolisia eta glukoneogenesia	45	6	0,00184
WP3630	NAD metabolismoa, sirtuinak and zahartzaroa	11	3	0,00343
WP2359	Parkin-Ubikitina proteosoma sistemaren bidea	70	7	0,00418
WP314	Fas Ligandoen (FasL) bidea and Estresak induzitutako Heat Shock Proteinen (HSP) erregulazioa	44	5	0,00879
WP411	mRNAren prozesamendua	133	8	0,04093
WP481	Intsulinaren seinalizazioa	161	4	0,00864
WP4534	Mekanoerregulazioa	48	2	0,02454
WP4352	Zilioa	220	4	0,02463

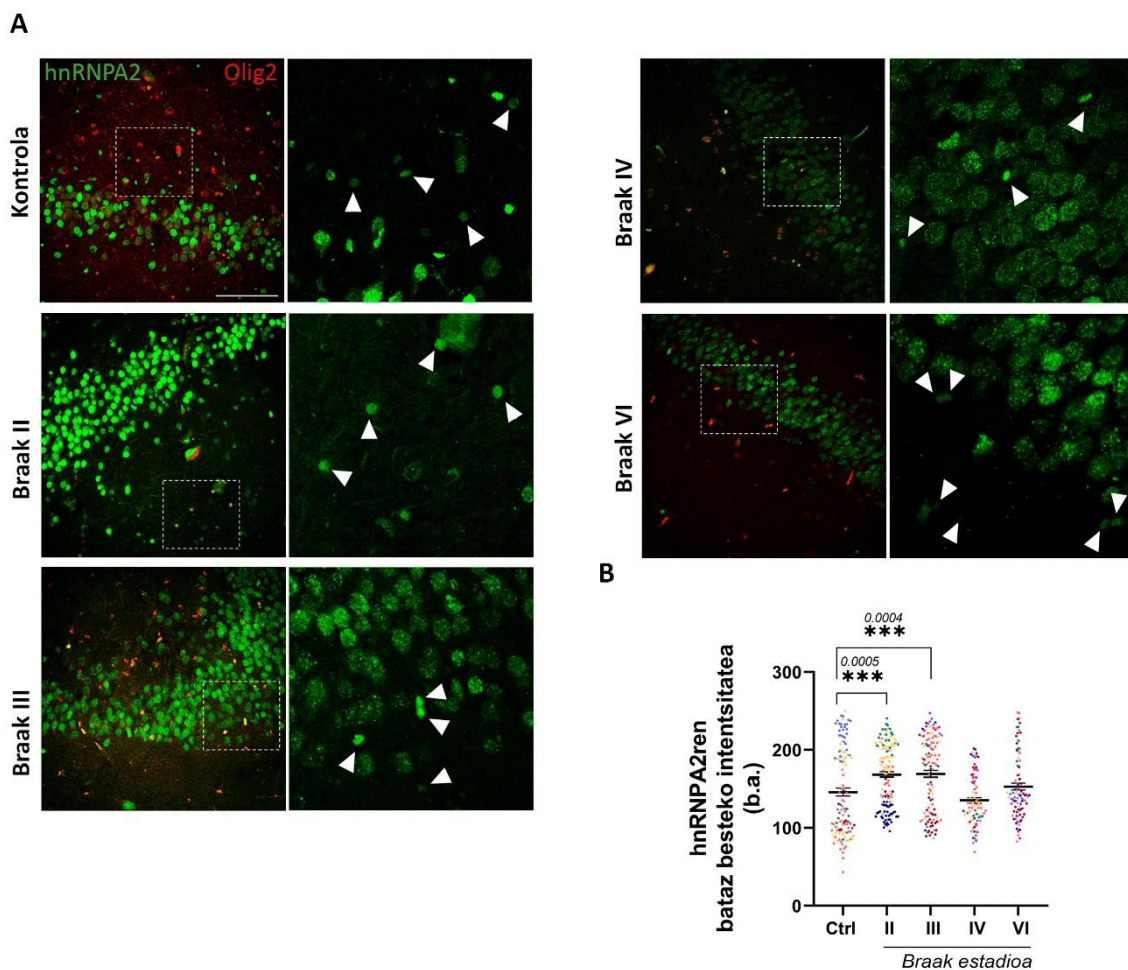
II. PARTEA: A β ₁₋₄₂ oligomeroen efektua RNAREN metabolismoan eta itzulpen lokalean

Zenbait ikerketek erribonukleoproteinekin (RBP) edota RNAREN erlazionatutako moduluak asaldatuta ikusi dituzte AGean (Rybak-Wolf & Plass, 2021). RBPAk dira hain zuzen ere, RNA mailan gene-adierazpenaren erregulatzale nagusiak, transkripzioa, prozesamendua, garraioa eta degradazioa erregulatzen baitituzte (Han, Tang eta Smith, 2010). A β -o-ekin tratatutako oligodendrozitoetan egindako RNA-seq analisiak, RNAREN metabolismoarekin lotutako hainbat bidezidor asaldatuta erakutsi zituen, bai eta RBPen azpimultzo baten gainadierazpena ere. Horrek iradokitzen du, RBPen alterazioak RNAREN prozesamenduan eta oligodendrozitoen adierazpen genikoaren profilean eragina izan zezakela. Horietatik guztietatik, hnRNP A2an (eta hnRNP B1/A2b/B1b aldaerak; aurrerantzean hnRNP A2 deituko zaie laburtzeko) zentratu genuen gure atentzioa, AGean *splicing-a* arautzen duela ikusi baita (Berson et al., 2012). Gainera, MBP eta MOBP mRNAREN garraioa eta itzulpena ere erregulatzen ditu (Hoek et al., 1998).

2.1 Fase goiztarreko AG pazienteen hipokanpoek hnRNP A2 mailen handipena erakusten dute

AG pazienteen neuronetan egindako aurretiko azterketek erakutsi zuten hnRNP A2ren adierazpena murriztuta zegoela kortex entorrinalean (Berson et al., 2012), baina handitura hipokanpoan (Mizukami et al., 2005). Hala ere, ez da ezer deskribatu oligodendrozitoei buruz. Hortaz, hnRNP A2 adierazpena ebaluatu genuen osasuntsu eta AG dutenen *post mortem* giza laginen hipokanpoan. Laginak Braak-en estadioen arabera sailkatu ziren (II, III, IV, VI) (Braak eta Braak, 1995). Giza hipokanpoaren ehun-sekzioak hnRNP A2 eta oligodendrozito-leinuko zelulen markatzaile espezifikoarekin (Olig2) immunotindatu ziren. Ondoren, hnRNP A2ren intentsitatea oligodendrozitoen nukleoetan neurtu zen. Braak II eta III estadioetan hnRNP A2ren gorakada ikusi genuen kontrolarekin alderatuta (kontrola 145,9±5,13, Braak II 168,5±3,62 eta Braak III

168,5±3,62). Aitzitik, ondorengo estadioetan (Braak IV 135,3±3.66 eta Braak III 152,9±4.38) ez zen aldaketarik ikusi kontrolekin alderatuta (**13A, B. irudia**).



13. irudia. hnRNP A2 gain-erregulatuta dago AG fase goiziarretako oligodendrozitoetan. (A) Olig2 (gorria) eta hnRNP A2ren (berdea) irudi konfokal adierazgarriak kontrolen eta Braak II-VI AG pazienteen hipokanpoan. **(B)** Giza hipokanpoan Olig2+ zeluletan hnRNP A2ren intentsitatearen kuantifikazioa (b.a; balio arbitrarioak). Eskala-barra, 100 µm. Datuek ±S.E.M batez bestekoak adierazten dituzte eta puntuak giza paziente bakotzaren zelula individualak adierazten dituzte, ***p < 0.001, kontrol-kasuekin alderatuta. Esanahi estatistikoa bi isatsetako norabide bakarreko ANOVA arruntaren eta Dunnett post-hoc proba bidez lortu zen.

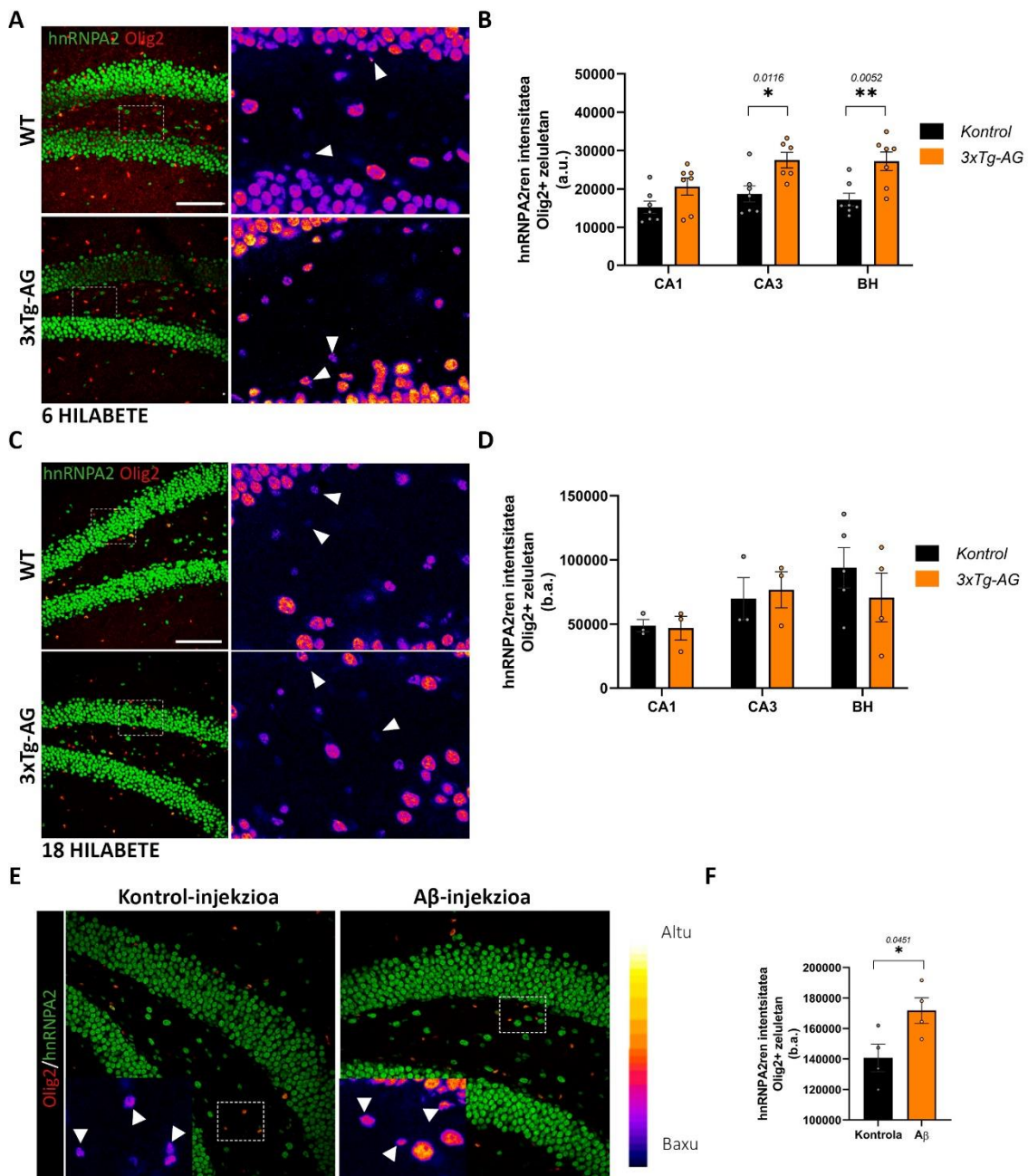
2.2 hnRNP A2 gain-erregulatuta dago 3xTg-AG-ren hipokanpoan eta Aβo-injektatutako saguetan

Oligodendrozitoetan ikusitako hnRNP A2ren aldaketak zehatzago ebaluatzeko, 3xTg-AG saguaren eredu erabili genuen. Zehazki, 6 eta 18 hilabeteko saguen hipokanpoaren

hnRNP A2 mailak aztertu genituen. 6 hilabeteren buruan, sagu horiek A β intraneuronala dute kortexean eta hipokanpoan, baina ez harilka neurofibrillarrak (Oddo et al., 2003).

Ehun-sekzio koronalak hnRNP A2 eta Olig2rako immunotindatu ziren. 6 hilabeteko 3xTg-AG saguen hipokanpoan, hnRNP A2 immunomarkaketaren batez besteko intentsitatea handiagoa zela ikusi genuen CA3 (WT 18.715 ± 2.077 vs 3xTg-AG 27.554 ± 2.020) eta biraketa horzdunaren (BH) eskualdeetan (WT 17.241 ± 1.643 vs 3xTg-AG 27.219 ± 2.421), baina ez CA1 eskualdean (WT 15.276 ± 1.595 vs 3xTg-AG 20.659 ± 2.209) (**14A, B. irudia**). Hala ere, 18 hilabetera, ez genuen aldaketa esanguratsurik ikusi CA3n (WT 69.900 ± 16.414 vs 3xTg-AG 76.753 ± 14.117), CA1ean (WT 48.862 ± 4.853 vs 3xTg-AG 46.890 ± 9.238), ezta biraketa horzdunean ere (WT 93.970 ± 15.600 vs 3xTg-AG 70.710 ± 19.060) (**14C, D. irudia**)

Jarraian, A β -ek hnRNP A2ren adierazpena *in vivo* areagotzea eragin dezakeen jakiteko, A β -o-injekzioa jaso zuten saguetan A2ren batez besteko intentsitatea neurtu genuen. Kontrol eta A β -o-injektatutako saguen ehun sekzio koronalak A2 eta Olig2rako immunotindatu ziren. 3xTg-AGren antzera, adierazpen-analisiak A β -o-injektatutako saguetan A2ren intentsitatea nabarmen handigoa zela erakutsi zuten, bereziki BHean (kontrola 140.772 ± 9.011 vs A β -injekzioa 171.787 ± 8.360) (**14E, F. irudia**).



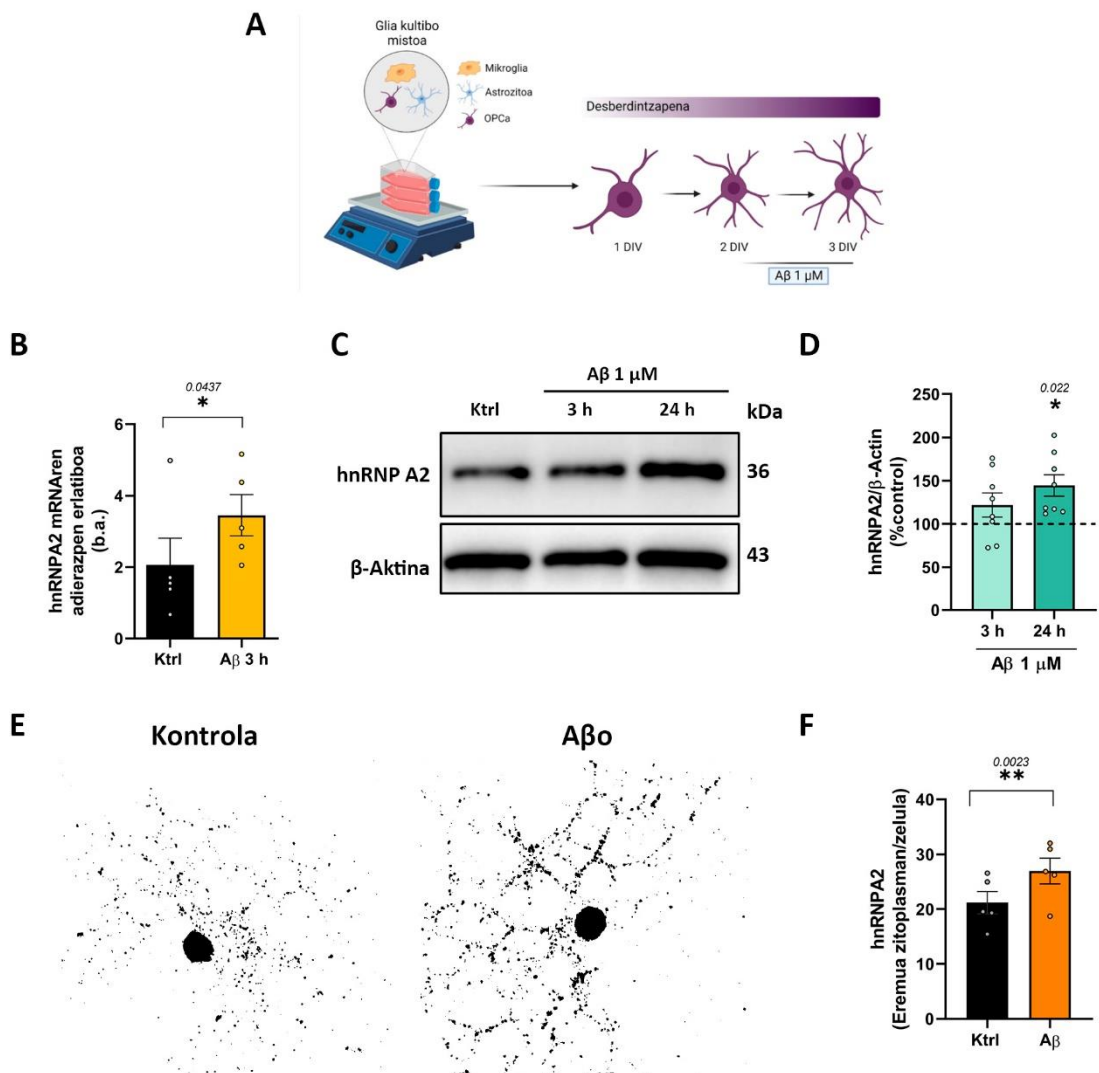
14. irudia. HnRNP A2 gain-erregulatuta dago 3xTg-AG saguetan eta A β -o-ekin injektatutako saguetan.

(A) Olig2 (gorria) eta hnRNP A2ren (berdea) irudi adierazgarriak 6 eta 18 hilabeteko saguen biraketa horzdunean. (B, C) Hipokanpoko Olig2+ zeluletan hnRNP A2ren intentsitatearen kuantifikazioa. (D) Olig2ren (gorria) eta hnRNP A2ren (berdea) irudi konfokal adierazgarriak, kontrol eta A β -o-injektatutako saguen biraketa horzdunean. (E) HnRNP A2ren intentsitatearen kuantifikazioa Olig2+ zeluletan, biraketa horzdunean. 100 μ m-ko eskala barra. Datuek \pm S.E.M batezbestekoak adierazten dituzte, eta puntuak banakako animaliak adierazten dituzte, * $p < 0,05$, ** $p < 0,01$, WT saguekin edo kontrolekin alderatuta. Esanahi estatistikoa bi isatseko Student t-proba binakatu gabearen bidez lortu zen.

2.3 A β ₁₋₄₂ oligomeroek hnRNP A2ren adierazpena gain-erregulatzen dute

In vitro, hnRNP A2 nukleoatik zitoplasmara translokatzten da, eta hor cis ekintza-elementua duten (A2RE) mRNA espezifikoen erregulazioan parte hartzen du. A β o-k RNA zein proteina mailan hnRNP A2 adierazpena aldatzen ote zuen ikusteko, arratoien kortexetik eratorritako oligodendrozitoen kultibo primarioak erabili genituen. Lehenik eta behin, OPCak glia-kultibo mistotik isolatu genituen, eta zelulak Sato+ desberdintzaren medioan kultibatu ziren 3 EIVz. Ondoren, oligodendrozitoak 1 μ M A β oligomeroekin tratatu ziren 3 edo 24 orduz, esperimentuaren arabera (**15A. irudia**). 3 orduko tratamenduaren ostean, mRNA mailak nabarmen handitzenten zirela ikusi genuen (kontrola 2,060 \pm 0,7519 vs A β o 3,451 \pm 0,5751) (**15B. irudia**).

Ondoren, proteina-mailak neurtzeko eta A2ren kokapena ikusteko, western blot eta immunozitokimikako analisiak egin genituen, hurrenez hurren. Western blot analisiak erakutsi zuen A2ren mailak % 44,5 igotzen zirela 24 orduko tratamenduarekin, kontrolaren % 100-arekin alderatuta (% 144,5 \pm 12,45 vs kontrolaren % 100) (**15C, D irudia**). Bestalde, immunofluoreszentzia analisiak erakutsi zuen hnRNP A2 nukleoan lokalizatzen zela gehienbat, eta, gainera, patroi pikotsu bat erakusten zuela oligodendrozitoen prozesuetan (**15E. irudia**). HnRNP A2 zitoplasmara translokatzten denez, ondoren, A β o-k desplazamendu hori sustatzen ote zuen jakin nahi genuen. Horretarako, hnRNP A2k zitoplasman hartzen duen azalera osoa neurtu genuen, eta gorakada nabarmena ikusi genuen 24 orduko tratamenduaren ondoren (kontrola 21,16 \pm 2,032 vs A β o 26,95 \pm 2,346) (**15E, F. irudia**).

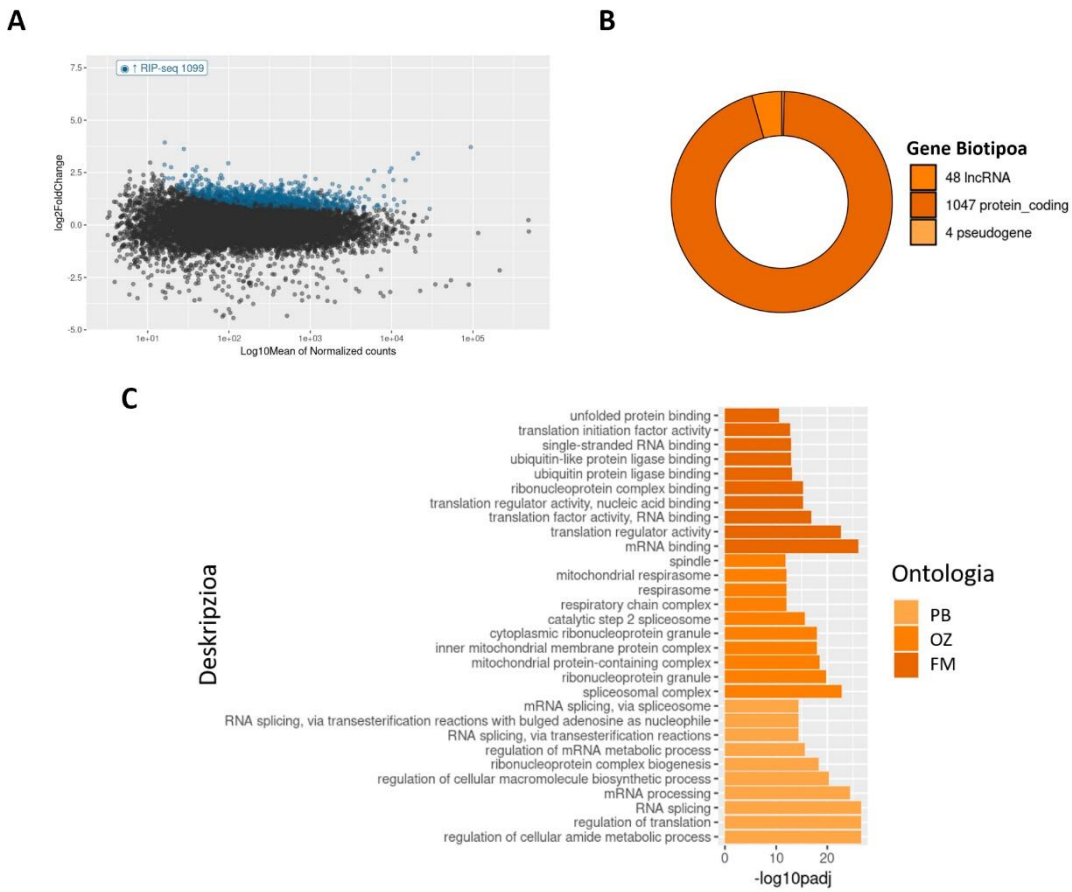


15. irudia. A β_{1-42} oligomeroek hnRNPA2ren maila handitzen dute. (A) Zelulak 3 eta 24 orduz tratatuak izan ziren, eta esperimentuak 3 EIV egin ziren. (B) hnRNP A2ren RT-qPCR analisia tratatutako eta kontrol zeluletan. (C, D) HnRNP A2ren adierazpena eta kuantifikazio erlatiboa oligodendrozitoen estruktura zelularretan. (E) Kontrol eta A β -rekin tratatutako oligodendrozitoetan hnRNP A2ren mikrografia adierazgarriak. (F) HnRNP A2k okupatutako eremuan izandako aldaketak irudikatzen dituen histograma. Datuek \pm S.E.M batez bestekoak adierazten dituzte eta puntuek esperimentu independenteak adierazten dituzte, * $p < 0,05$, ** $p < 0,01$, kontrolarekin alderatuta. Esanahi estatistikoa bi isatsetako Student t proba binakatuaren eta norabide bakarreko ANOVA eta Dunnet post-hoc probaren bidez lortu zen.

2.4 A β_{1-42} oligomeroek hnRNP A2ren interaktoma aldatzen dute

HnRNP A2k funtziogune ugari betetzen ditu mRNAren prozesamenduan (*splicing* alternatiboa, egonkortasuna eta degradazioa) mRNAren sekuentzia espezifikoetara lotuz. Proteina hau osasunean eta gaixotasunean garrantzitsua den arren, gutxi dakigu

bere interaktomari buruz. Beraz, lehenik eta behin, oligodendrozitoetan hnRNP A2ri lotutako RNAk deskribatzen hasi ginen, proteina horrek oligodendrozitoen biologian izan ditzakeen funtzioei buruzko informazioa lortzeko.



16. irudia. hnRNP A2ren interaktoma oligodendrozitoetan. (A) hnRNP A2ko RIP-sek datuen MA plot-a. Transkripto bakoitzerako, batez besteko seinalea irudikatu zen (zenbaketa normalizatuen log₁₀ batezbestekoa bezala neurtua) RIP-sek aberasteko log₂aren aurrean (RIP vs IgG). Nabarmen aberastutako geneak urdinez nabarmentzen dira. **(B)** hnRNP A2rekin lotutako RNAen sailkapena. Identifikatutako gene gehienak proteinak kodetzen dituzten geneak dira, baina RNA luze ez-kodifikatzailak ("lncRNAs") eta pseudeogeneak ere aurkitu ziren. **(C)** Interaktomaren GO analisia (PB, prozesu biologikoa; OZ, osagai zelularra; FM, funtzio molekularra). Barra bakoitzaren luzera aberastearen esanahi estatistikoarekiko proporcionala da.

Horretarako, RIP-sek gauzatu genuen, hnRNP A2 eta isotipo-kontrolaren aurkako antigorputzak erabiliz, 24 orduz 1 μM Aβo-ekin tratatutako oligodendrozitoetan. RIP, antigorputzetan oinarritutako teknika da, RNA-proteina interakzioak identifikatzeko

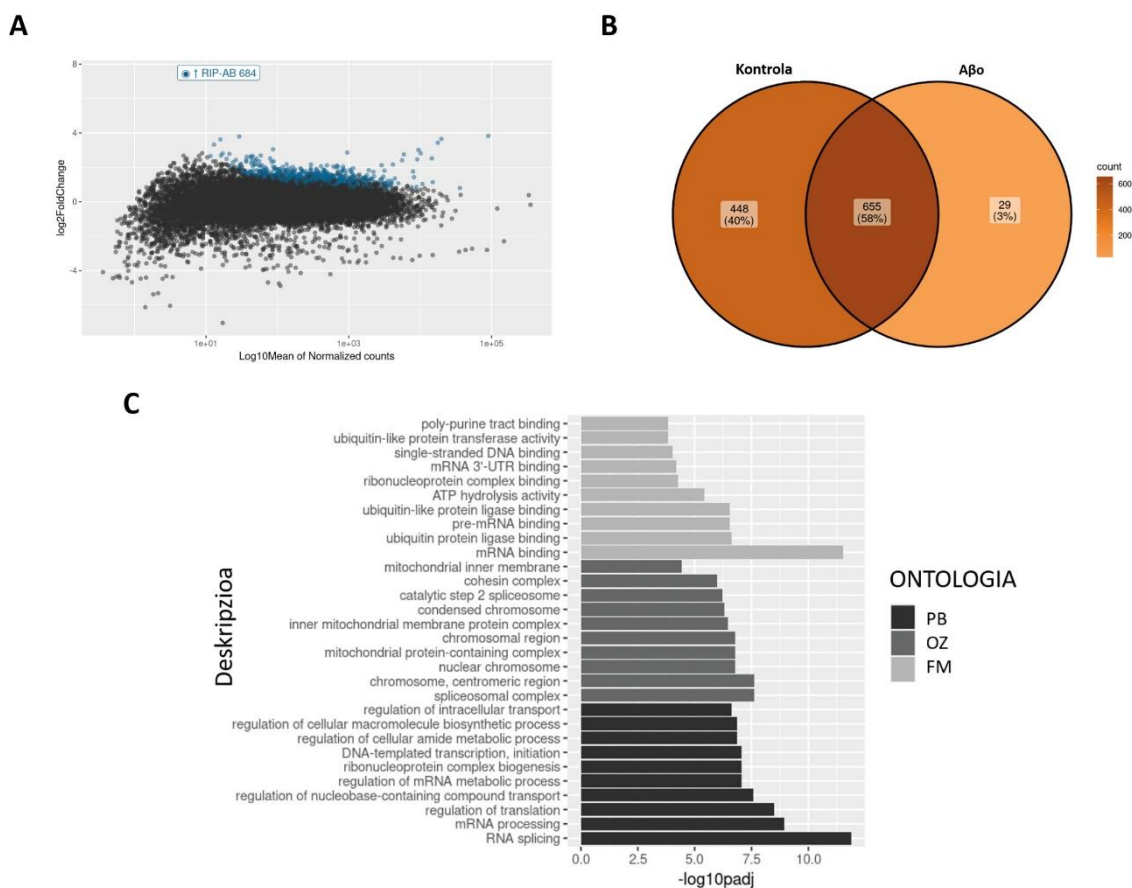
erabiltzen dena. Horrela, hnRNP A2ri berari lotutako RNAekin batera immunoprezipitatu zen. RIP-sek-en emaitzek erakutsi zuten 1099 transkrito nabarmen aberastuta zeudela immunoprezipitatutako hnRNP A2 konplexuan (**16A. irudia**). RNAen % 95 proteina kodifikatzaileak ziren, eta % 5, berriz, RNA luze ez-kodifikatzaileak (lncRNAak) eta pseudogeneak (**16B. irudia**).

Jarraian, GO terminoen aberaspen analisia (*Clusterprofiler* softwarea) eta *Wikipathway* analisia egin genituen. GO analisiek erakutsi zutenez, RNA elkarreagile ugarienen artean, mitokondrien metabolismoa (*Ndufa5*, *Cox3*, *Cytb*, *Cox2* eta *Nd4*), konplexu erribonukleoproteikoen biogenesian (*Abce1*, *Bicd1*, *Brix1*, *Xpo1* eta *Snrpc*), mRNAren metabolismoa (*Ybx1*, *Clk1*, *Dddx1*, *Srsf10*, *Rbmx*, *Hnnph2*, *Srsf7* eta *Hnrnpk*) eta itzulpen-kontrolean (*Eif1a*, *Pabpc1*, *Eef1b2*, *Eef1b2*, esaterako) implikatutako hainbat faktore zeuden. Gainera, *Wikipathway* analisiak lipidoen metabolismoarekin (kolesterolaren biosintesia, kolesterolaren metabolismoa eta gantz-azidoen biosintesia), proteasomaren degradazioarekin eta TNF- α NF- κ B seinaleztapen-bidearekin lotutako bidezidorak erakutsi zituen (**11. taula**). HnRNP A2k bere mRNArekintzitzen du, autoerregulazio eginkizuna iradokiz.

11. taula. hnRNP A2k erregulatutako bidezidorak kontrol-baldintzetan.

geneSet-a	deskripzioa	tamaina	gainjartzea	pbalioa
WP529	mRNAren prozesamendua	112	25	2,82E-07
WP149	Itzulpen faktoreak	45	15	6,96E-06
WP59	Elektroi garraio katea	93	20	1,43E-10
WP302	Proteasomaren bidezko degradazioa	48	11	2,03E-12
WP461	Kolesterolaren biosintesia	15	6	2,31E-11
WP457	TNF- α NF- κ B seinaleztapen-bidearen bidea	174	24	3,33E-12
WP1283	Fosforilazio oxidatiboa	60	12	4,09E-11
WP30	Proteina erribosomiko zitoplasmatikoak	108	15	0,004196
WP632	Kolesterolaren metabolismoa	23	5	0,015002
WP504	Gantz azidoen biosintesia	19	4	0,032454

Ondoren, jakin nahi genuen ea A β -o-k hnRNP A2ren interaktoma aldatzeko gai ote zen eta ondorioz, RNAREN metabolismoa modifikatu. Horretarako, A β -o-kin tratatutako oligodendrozitoen interaktoma, interaktoma kontrolarekin alderatuko genuen. HnRNP A2k RNA gutxiagorekin elkarreragiten zuen A β -o-baldintzan, 684 RNARENkin, hain zuen ere (**18A. irudia**). Horietatik guztietatik, 655 geneek (% 58) kontrolean bezala elkarreragiten zuten; 29 geneek (% 3), aldiz, interakzio handiagoa erakusten zuten A β -o-kin tratatutako zeluletan 448 geneek (% 40), berriz, interakzio handiagoa zuten kontrol-baldintzetan (**17B. irudia**). A β -o-kin tratatutako oligodendrozitoen gutxiago interakzionatzen duten geneek RNAREN metabolismoa (adibidez, *Hnrnpk*, *Hnnph1*, *Sf3b1*, *Hnpa2b1* eta *Dhx9*), mitokondrien aktibitatean (*Ndufb9*, *Atp5pd*, *Ndufa5*, *Atp5mg*, *Uqcrfs1*, *Ndufc2* eta *Cox6c*) eta itzulpenean (*Pabpc1*, *Eef1b2* eta *Eef1g*) inplikatuta daude. A β -o-kin tratatutako oligodendrozitoen gehiago interakzionatzen duten geneek berriz, ioi metalikoien loturan (*Gse3*, *Osgelp1*, *Prbnl2*, *Mbnl2*) inplikatuta daude.



17. irudia. A β ₁₋₄₂ oligomeroek hnRNP A2 interaktoma aldatzen dute. (A) hnRNP A2 RIP-sek-en MA plota, A β o tratatutako zeluletan. (B) Venn-en diagrama, kontrolaren eta A β o-kin tratatutako zelulen artean

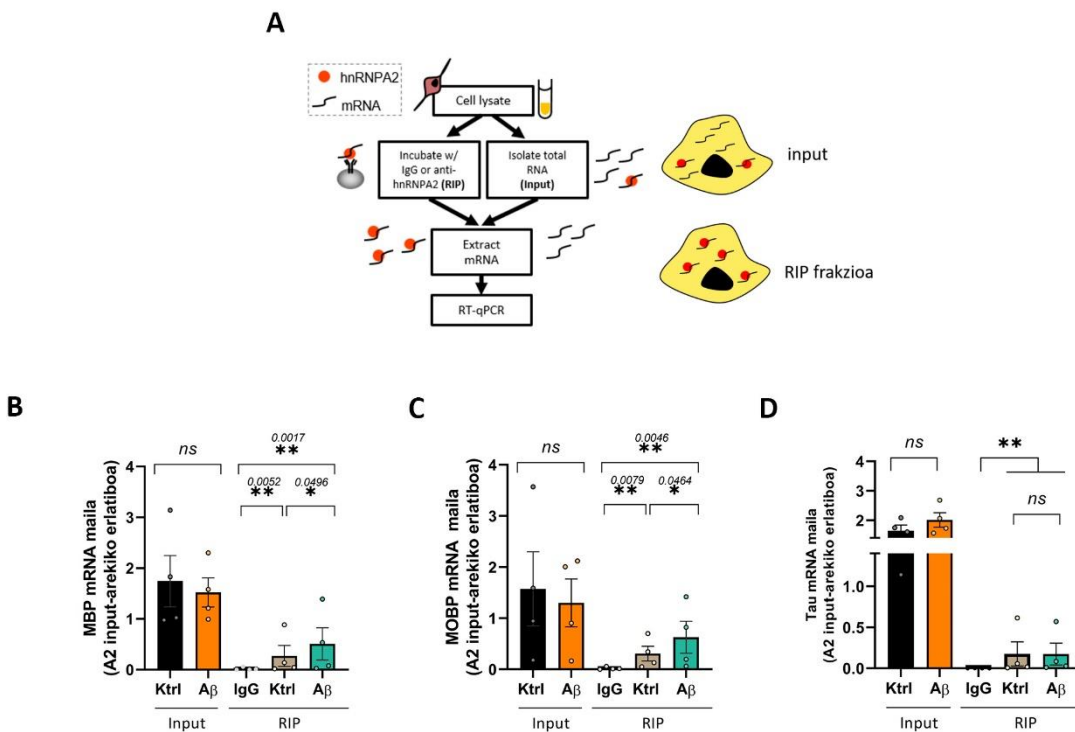
komunak diren edo ez diren transkriptoak. (C) Kontrol-baldintzatean A2ra bakarrik lotzen diren transkriptoen GO analisia (PB, prozesu biologikoa; OZ, osagai zelularra; FM, funtzió molekularra). Barra bakoitzaren luzera aberastearen esanahi estatistikoarekiko proportzionala da.

2.5 A β ₁₋₄₂ oligomeroek hnRNP A2 eta *Mbp/Mobp* mRNAren arteko elkarrekintza sustatzen dute

A β oligomeroek MBParen itzulpen lokala, ITG β 1 eta Fyn kinasaren seinalazio-bideen bitartez erregulatzen zutela frogatu genuen (Quintela-López et al., 2019). HnRNP A2, RNA garraio-granuluen osagai nagusia da oligodendrozitoetan, eta *Mbp* eta *Mobp*-en 3'UTR eskualdeko cis ekintza-elementu bati lotzen zaio (Ainger et al., 1993; Carson, Worboys, Ainger, & Barbarese, 1997). Horrela, konplexu supramolekular bat eratzen du, mielina-konpartimentura garraiatzen dena. Beraz, hnRNP A2ren igoerak eta horren interaktomaren aldaketak MBP eta MOBPren itzulpen lokalean eraginik izan ote zezaketen galdeitu genion geure buruari.

Lehenik eta behin, hnRNP A2 eta *Mbp* edo *Mobp*-en arteko interakzioa A β o-k aldatu zezakeen ebaluatu genuen. Horretarako, RIP teknika erabili genuen, hnRNP A2 eta bere isotipo-kontrolaren aurkako antigorputzak erabiliz (**18A. irudia**). IgGren aurkako antigorputza, immunoprezipitazioaren espezifikotasuna eta eraginkortasuna ebaluatzeko erabili zen. RT-qPCR bidezko mRNA mailen analisiak agerian utzi zuen *Mbp* (kontrola $0,2117 \pm 0,2064$ vs A β o $0,5081 \pm 0,3158$) eta *Mobp* (kontrola $0,3082 \pm 0,1447$ vs A β o $0,6270 \pm 0,3131$) mRNAak RIP frakzioan aberastuta zeudela A β o-ekin tratatutako zeluletan kontrol-zelulekin alderatuta; *input*-ean, berriz, ez zen aldaketa esanguratsurik ikusi (*Mbp* kontrola $1,744 \pm 0,5058$ vs A β o $1,522 \pm 0,2864$; *Mobp* kontrola $1,574 \pm 0,7259$ vs A β o $1,301 \pm 0,4673$) (**18B, C. irudia**). Garrantzitsua da azpimarratzea *Mbp* (0,01785) eta *Mobp* (0,02301) oso gutxi adierazten direla IgG kontrol-baldintzetan. Azkenik, aberaste hori *Mbp* eta *Mobp*-arentzat espezifikoa ote zen zehazteko, *Tau* erabili genuen, hnRNP A2rekin ere elkarreragiten duela ikusi baita (Behar, Marx, Sadot, Barg, & Ginzburg, 1995). RIP frakzioan (kontrola $0,1749 \pm 0,1473$, A β o $0,1739 \pm 0,1331$ eta IgG $0,001438 \pm 0,0006$) eta *input*-ean (kontrola $1,645 \pm 0,1953$ vs A β o $2,013 \pm 0,2466$) ez zen aldaketa nabarmenik ikusi (**18D. irudia**).

Oro har, emaitzek iradokitzen dute A β -ek A2ren eta *Mbp/Mobp* mRNAren arteko elkarreragina sustatzen dutela oligodendrozitoetan.



18. Irudia. A β_{1-42} oligomeroek hnRNP A2ren eta Mbp/Mobp-en mRNAren arteko interakzioa sustatzen dute. (A) hnRNPA2-RIP lan-fluxua ilustratzen duen diagrama. Kontrol IgG antigorputzak eta hnRNPA2ren aurkako antigorputzak erabili ziren RIP-eko, oligodendrozitoen lisatuetatik abiatuta. (B, C, D) Mbp, Mobp eta Tau mRNAen mailen analisia RT-qPCR bidez. Datuek \pm S.E.M batez bestekoak adierazten dituzte eta puntuek esperimentu independenteak adierazten dituzte, * $p < 0.05$, ** $p < 0.01$, * $p < 0.001$, kontrol-zelulekin alderatuta. Esanahi estatistikoa bi isatseko Student t proba binakatuaren bidez lortu zen.**

2.6 A β_{1-42} oligomeroek hnRNPA2ren fosforilazioa eragiten dute Mbp eta Mobp-ren itzulpen lokala sustatzu

Itzulpena hasteko, hnRNP A2 mRNA granulutik desmihiztatu behar da. HnRNP A2ren desmihiztatzea, tirosina hondakinen fosforilazioaren bidez gertatzen da, Fyn tirosina-kinasaren bitartez, aurrelik aktibatu behar dena (White et al., 2018). Aurretiaz, A β -ek ITG β 1ekin bat eginez Fyn aktibatzen zutela ikusi genuen (Quintela-López et al., 2019). Beraz, ondoren, A β hnRNP A2ren fosforilazioa sustatzen ari ote zen egiaztatu genuen.

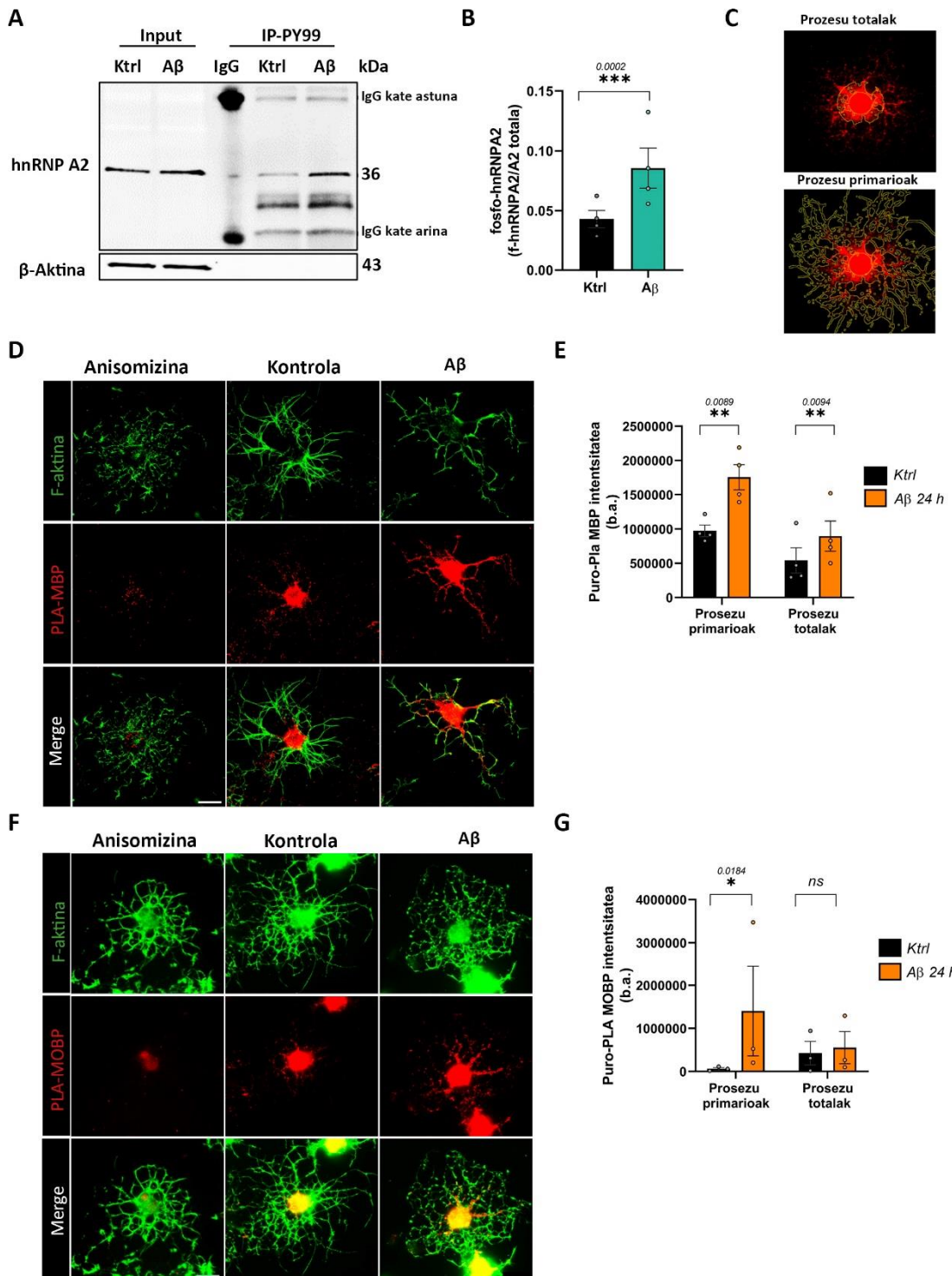
A β bidezko Fyn-en aktibazioak hnRNP A2ren fosforilazioa handitzen zuen zehazteko, immunoprezipitazio-saiakuntza egin genuen, western blot-arekin batera, tirosinen

aurkako antigorputza (PY99) eta isotipoaren kontrako antigorputzak erabiliz (**19A, B. irudia**). A β o-rekin 15 minutuz tratatu ondoren, fosforilatutako hnRNP A2 mailak kontrolean lortutakoak baino nabarmen handiagoak zirela ikusi genuen ($0,04298 \pm 0,007$ vs $0,08557 \pm 0,0167$, hurrenez hurren).

Jarraian, hnRNP A2ren fosforilazio mailen aldaketek *Mbp* eta *Mobp* mRNAren itzultzea sustatzen zuten zehazteko, puromizina PLAren (Puro-PLA) batera egin genuen. MBP edo MOBPren aurkako antigorputz bat eta puromizinaren aurkako beste bat erabiliz, proteina horien *de novo* sintesia antzeman dezakegu. Gainera, teknika horri esker, zelularen barruan sintesiaren kokapena ebaluatu daiteke. Puromizina antibiotiko bat da, proteinen sintesia inhibitzen du, eta itzulpenean kate polipeptidikoa behar baino lehenago amaitzea eragiten du. Puromizinarekin markatutako peptidoen mailek proteinen sintesi-tasa globala islatzen dute, eta beraz, proteinen sintesi-tasen aldaketak neuritzeko tresna bezala balio du. Prozesu oligodendroxitikoak ikusteko, zitoeskeletoa faloidinarekin bistaratzen, F-aktinara lotzen baita.

PLAren intentsitatea neurtu genuen prozesu primarioetan, hau da, somatik sortzen diren prozesuetan eta prozesu totaletan, lokalizazioa desberdina zen ikusteko (**19C. irudia**). MBParen tokiko itzulpena nabarmen handiagoa izan zen, bai prozesu primarioetan (kontrola $1.6250.88 \pm 636.696$ vs A β o $2.628.083 \pm 764.320$) bai prozesu totaletan (kontrola 543.407 ± 185.673 vs A β o 897.499 ± 219.650) (**19D, E. irudia**). MOBPren tokiko itzulpenaren kasuan, emaitzak ez ziren aurrekoak bezain argiak izan: nahiz eta A β o-ekin tratatutako zelulek MOBPren tokiko itzulpena prozesu primarioetan handiagoa aurkeztu (kontrola 643.70 ± 28.499 vs A β o $1.403.583 \pm 1.040.424$), ez zen desberdintasun esanguratsurik ikusi prozesu totaletan (kontrola 426.037 ± 272.836 vs A β o 555.533 ± 373.571) (**19E, F. irudia**). Puromizina baino 20 minutu lehenago anisomizina ($40 \mu\text{M}$) gehitu zen, kontrol negatibo gisa erabiliz, itzulpenaren hasiera inhibitzen baitu erribosomaren 60S azpiunitatearen peptidil transferasa domeinuarekin bat egitean. Puro-PLA irudietan agertzen den bezala, anisomizinarekin inkubatutako zelulek ez zuten PLA+ punturik erakutsi, PLA seinalea itzulpenaren mende zegoela baieztagatuz.

Oro har, behaketa hauek iradokitzen dute A β o-ek *Mbp* eta *Mobp*-ren itzultzepena sustatzen dutela prozesu oligodendroglialean hnRNP A2 fosforilazioaren bidez.

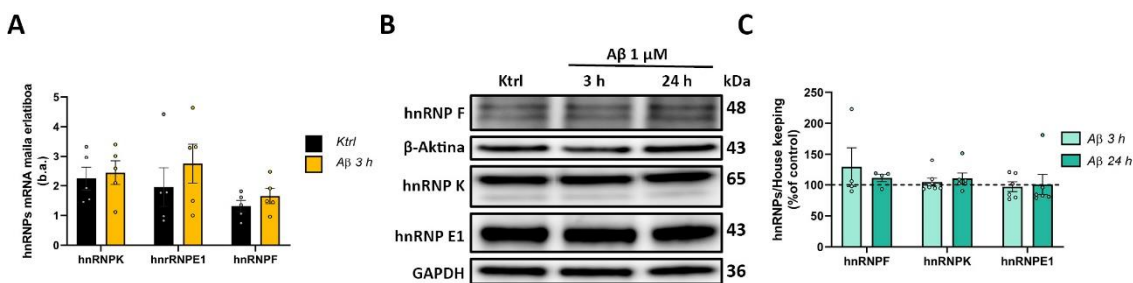


19. irudia. A β_{1-42} oligomeroek hnRNPA2 fosforilazioaren bidez tokiko itzulpena eragiten dute. (A) pTYR eta IgG aurkako antigorputzekin egindako IParen western blot-a hnRNP A2ren fosforilazioa detektatzeko. (B) HnRNP A2ren fosforilazioa irudikatzen duen histograma, input-eko hnRNP A2rekin normalizatua. (C) MBParen eta MOBPrentzatzen diren neuruen puntu positiboen intentsitatea, prozesu primarioetan eta totaletan somatik 10 μ m-ko tarteetan. (D, E) Puro-PLAren irudi adierazgarriak MBPrako, eta haien kuantifikazioa prozesu primarioetan eta totaletan. (F, G) Puro-PLAren irudi adierazgarriak MOBPrako eta haien kuantifikazioa prozesu primarioetan eta totaletan. Eskala-barra, 10 μ M. Datuek \pm S.E.M batez

bestekoak adierazten dituzte eta puntuek esperimentu independenteak adierazten dituzte, * $p < 0,05$, ** $p < 0,01$, *** $p < 0,001$ kontrol-zelulekin alderatuta. Esanahi estatistikoa bi isatseko Student t proba binakatuaren bidez lortu zen.

2.7 A β ₁₋₄₂ oligomeroek *Mbp* eta *Mobp*-ren RNA granuluen kopurua eta dinamika aldatzen dute

Mbp eta *Mobp*-en mRNAak granuluetan mihiztatu eta periferiara garraiatu behar dira, hnRNP desberdinen laguntzarekin. Bai itzulpen lokalak, bai hnRNP A2 adierazpena A β o tratamenduarekin gora egiten zutela ikusi genuenez, ondoren, A β o-ek beste hnRNPen adierazpen-mailetan eragina izan zezakeen zehaztu genuen. Horretarako, *Mbp* eta *Mobp*-en RNAREN granuluetan dauden hnRNPen (hnRNP F, hnRNP E1, hnRNP K) mRNA eta proteina mailak aztertu genituen. Hala ere, ez genuen aldaketa esanguratsurik lortu ez mRNA ez proteina mailan (**20A, B, C. irudia**).



20. irudia. A β ₁₋₄₂ oligomeroek ez dute hnRNP F, K eta E1 aldatzen. (A) HnRNPen RT-qPCR bidezko analisia tratatutako zeluletan eta zelulaa-kontroletan. **(B, C)** HnRNPen western blot-a eta kuantifikazio erlatiboa oligodendrozitoen-estraktuetan. Datuek batez besteko \pm S.E.M adierazten dute eta puntuek esperimentu independenteak adierazten dituzte. Esanahi estatistikoa bi isatseko Student t proba binakatuaren eta norabide bakarreko ANOVA eta Dunnett post-hoc probaren bidez lortu zen.

mRNA granuluak oso egitura dinamikoak dira, eta birmoldaketa-etapa desberdinak igarotzen dituzte RNAREN itzulpena gertatu aurretik. Lehenengo urratsean, hnRNP A2 *Mbp* eta *Mobp* mRNAekin batzen da nukleoan, eta gero zitoplasmara esportatzen da. Zitoplasman, hnRNP A2 hainbat hnRNPrekin elkartzen da: hnRNP E1k, RNAREN garraioan zehar itzulpena inhibitzen du, eta hnRNP Fk, MBP eta MOBP sintesia erregulatzen du. Behin periferian, hnRNP E1 hnRNP Krekin trukatzen da, eta hori da, mRNA mielina zorroan lokalizatzeko eta itzulpena hasteko aurretiazko baldintza (White

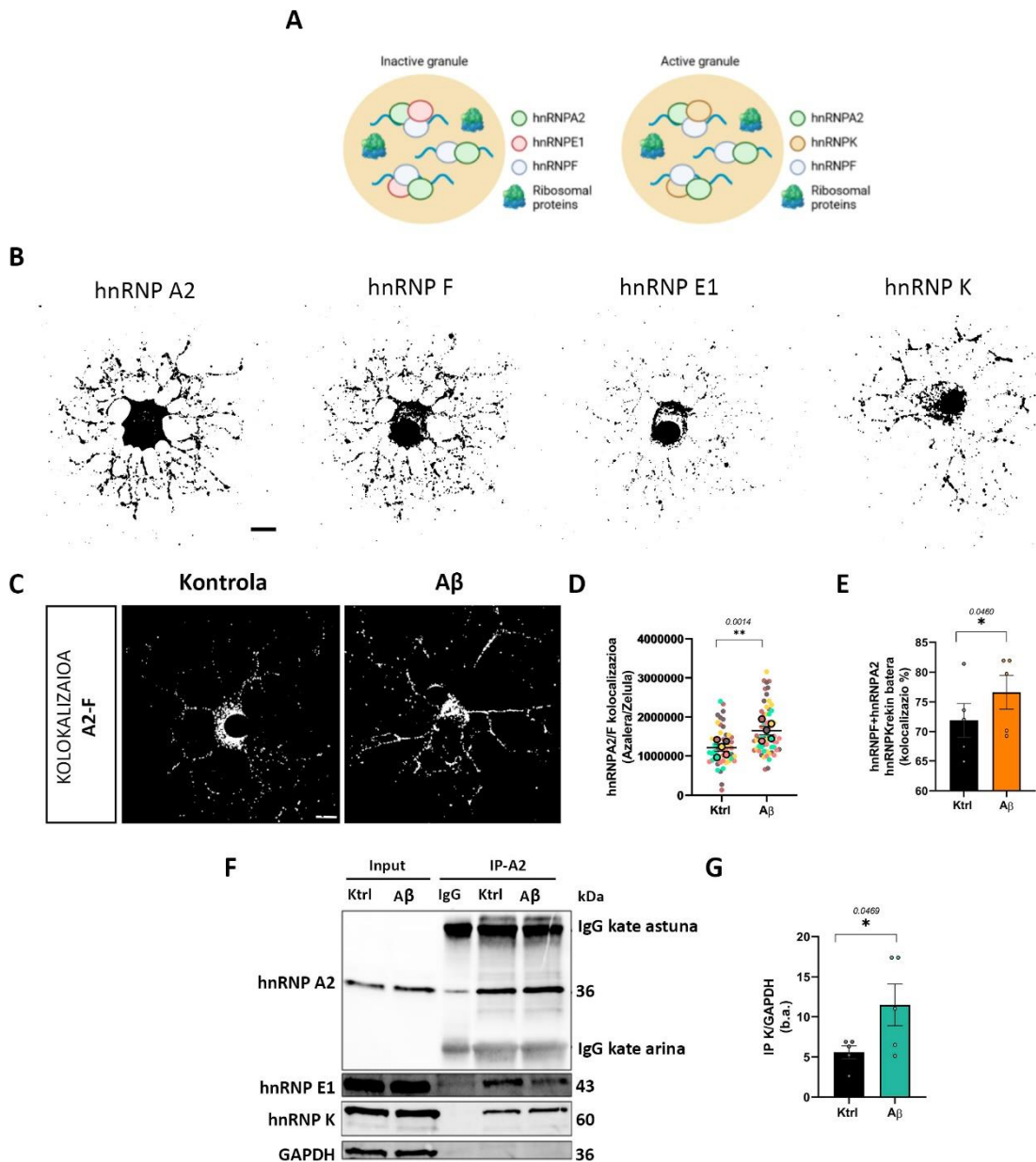
et al., 2008; Laursen et al., 2011; Torvund-Jensen et al., 2014). Beraz, bi granulu-konplexu desberdin defini ditzakegu: granulu ez-aktiboak (hnRNP E1, A2 eta F dituztenak) eta granulu aktiboak (hnRNP K, A2 eta F dituztenak) (**21A. irudia**).

Oligodendrozitoen prozesuetan hnRNP A2, MBP eta MOBPen gain-erregulazioa ikusi genuenez, gain-erregulazio hori RNAREN granuluen kopuruaren eta dinamikaren aldaketaren ondorio izan zitekeen galdetu genion gure buruari. Bestalde, granuluen osagaien kokapena, immunozitokimikaren bidez zehaztu genuen. Ikus daitekeenez, hnRNP K, hnRNP F, hnRNP E1 eta hnRNP A2 nukleoan daude nagusiki, baina soma eta oligodendrozitoen prozesuetan ere patroi pikotsua erakusten dute. Zehazki, hnRNP A2 zelula osoan adierazten da, hnRNP K eta hnRNP F prozesuetan gailentzen dira, eta hnRNP E1 ugariagoa da soman (**21B. irudia**).

Jarraian, hnRNP A2 eta hnRNP F kolokalizazio kuantifikatuko genuen granulu aktiboak eta ez-aktiboak identifikatzeko. Bi osagai horiek zituzten granulu gehiago aurkitu genituen A β o-rekin tratatutako zeluletan (kontrola $1.207.778 \pm 90.958$ vs $A\beta$ o $1.655.855 \pm 108.033$) (**21C, D. irudia**). Ondoren, hnRNP K zuten granuluen ehunekoa neurtu genuen, eta hnRNP A2-F konplexuen % 70 baino gehiago hnRNP Krekin kolokalizatzen zirela ikusi genuen, eta A β o-ekin tratatutako zelulek hnRNP A2-F-K granuluen kopurua nabarmen handitzen zutela kontrol-zelulekin alderatuta (% $71,87 \pm 2,845$ vs % $76,60 \pm 2,845$, hurrenez hurren) (**21E. irudia**).

Halaber, emaitzak ko-immunoprezipitazio-saiakuntzaren bidez balioztatu genituen. Zehazki, hnRNP A2k hnRNP E1rekin eta hnRNP Krekin batera prezipitatzen zirela ikusi genuen, aurretik immunozitokimikaren bidez frogatu zen bezala. Western blot bidezko granuluen osagaien kuantifikazioak erakutsi zuen hnRNP Kren mailen igoera esanguratsua izan zela A β o-ekin tratatutako oligodendrozitoetan kontrolarekin alderatuta ($5,588 \pm 0,8006$ vs $11,49 \pm 2,602$, hurrenez hurren) (**21F, G. irudia**).

Orokorki, emaitzek adierazten dute A β o-ek RNA granuluen kopurua handitu eta edukia aldatzen dutela itzulpena errazten duen konposizio molekularra erraztuz.

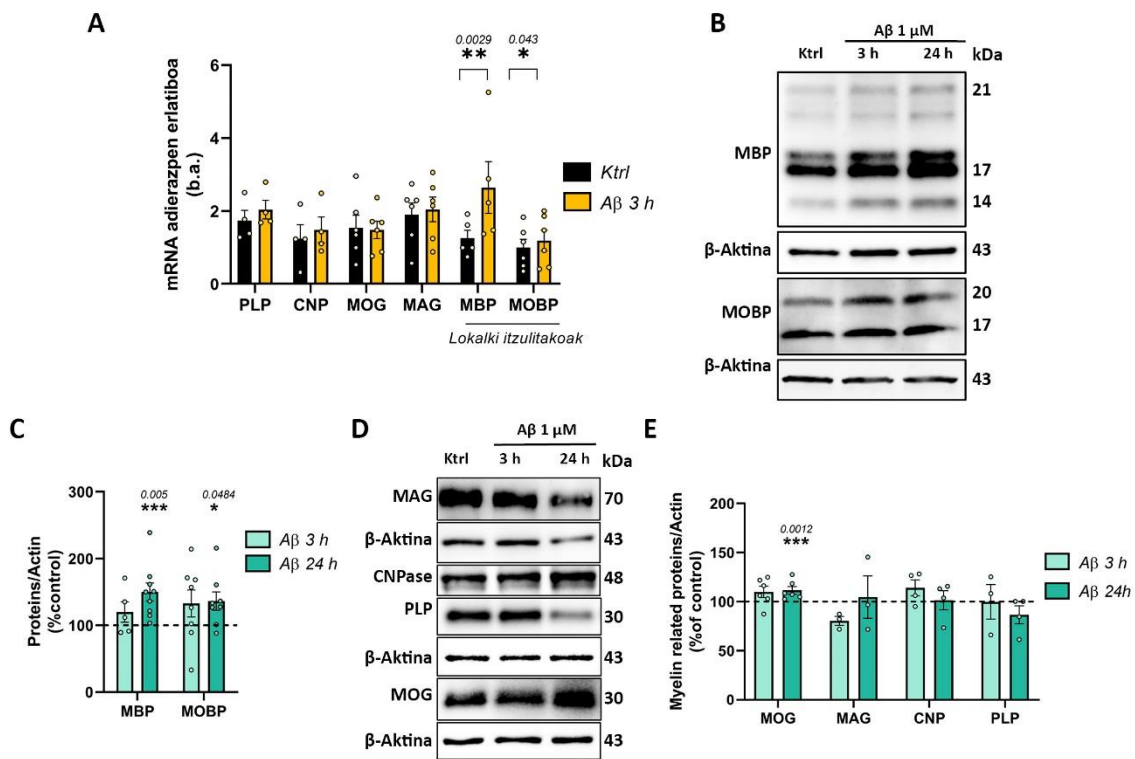


21. irudia. A β_{1-42} oligomeroek mRNA granuluen dinamika aldatzen dute. (A) Granuluen bi konplexuak ilustratzen dituen argazkia: ez-aktiboa eta aktiboa. (B) HnRNP desberdinien kokapena erakusten duten mikrografia adierazgarriak. (C, D) HnRNP A2 eta hnRNP F kolokalizazio irudiak. A β -en eraginpean egoteak nabarmen handitzen du hnRNPA2/F kolokalizazioa. (E) Grafikoek erakusten dutenez, granulu guztien % 70ek hnRNPk dute (granulu aktiboak), eta A β -ekin tratatutako zelulek, berriz, % 5 gehiago. (F, G) hnRNP A2ren CO-IP, granuluetan dauden hnRNPK-ekin. Granuluaren barruan hnRNPk nabarmen handitzen da A β 1 μ M-ko esposizioaren ondorioz. Datuek batez besteko \pm S.E.M adierazten dute, puntu handiek esperimentu independenteak adierazten dituzte eta puntu txikiek zelula individualak adierazten dituzte, * $p < 0,05$, ** $p < 0,01$ kontrol-zelulekin alderatuta. Esanahi estatistikoa bi isatseko Student t proba binakatuaren bidez lortu zen.

2.8 A β ₁₋₄₂ oligomeroek desberdintzapen-markatzaileak gain-erregulatzen ditu *in vitro*

Ondoren, A β -ek mielinarekin lotutako beste proteina batzuen adierazpenari eragin ziezaioketen zehaztu nahi izan genuen. Oligodendrogliaren desberdintzapen-estadioak leinuaren berariazko markatzaile zelularren adierazpenak zehazten ditu. Olig2 leinu osoan zehar mantentzen den bitartean, CNPasaren espresioa progenitore berantiarretan hasten da. Oligodendrozito heldugabe eta helduek MBP, MOBP eta MAG adierazten dute eta azken etapan, MOG adierazten dute (Kuhn, Gritti, Crooks, & Dombrowski, 2019).

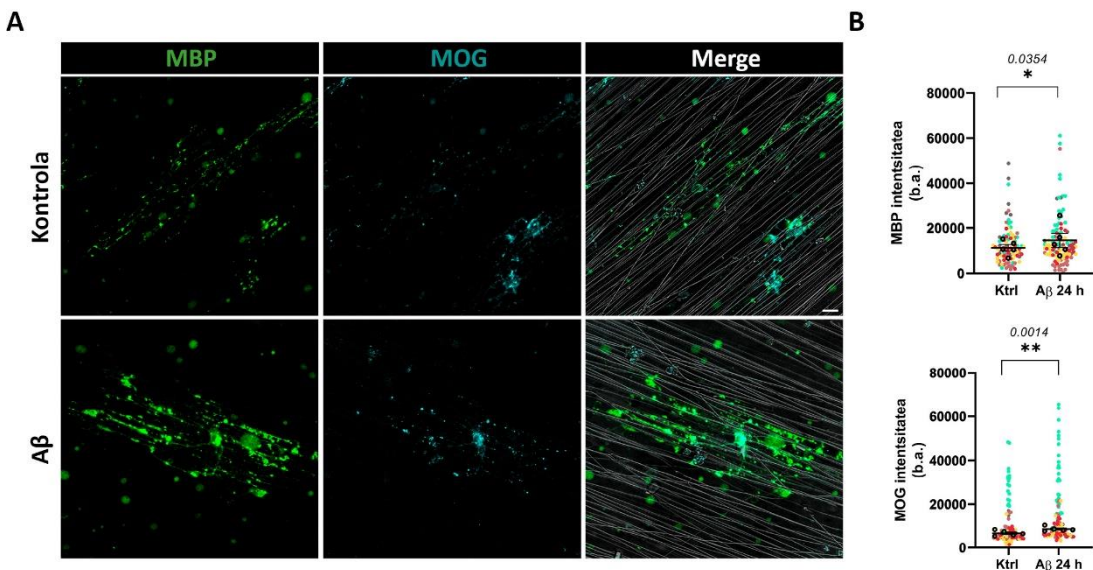
Hasieran, PLP, CNPasa, MOG, MAG, MBP eta MOBP mailak neurtu genituen; RNA maila RT-qPCR bidez eta maila proteikoa western blot bidez. Ez genituen desberdintasun esanguratsurik ikusi mRNA mailan, ez *Plp*, *Cnp*, *Mog* edo *Mag* (**22A. irudia**). Hala ere, *Mbp* (1,260±0,2195 vs 2,648±0,7077, hurrenez hurren) eta *Mobp* (0,7096±0,1658 vs 0,8470±0,2007, hurrenez hurren) 3 orduko A β o tratamenduaren ondoren, mRNAen mailak igo egin zirela ikusi genuen (**22A. irudia**). Bestalde, western blot-ak MBP (% 150±13,45), MOBP (% 138,3±17,46) eta MOG (% 111,6±3,908) 24 orduko tratamenduaren ondoren mailek nabarmen egin zutela gora ikusi genuen kontrolaren % 100arekin alderatuta (**22B, C, D, E. irudia**).



22. irudia. A β_{1-42} oligomeroek mielinarekin erlazionatutako proteinak gain-erregulatzeten dituzte mRNA eta蛋白 mailan. (A) RT-qPCR bidez mielinarekin erlazionatutako proteinen analisia tratatutako eta kontrol zeluletan. (B, C) MBP eta MOBPren adierazpena eta kuantifikazio erlatiboa oligodendrozitoen zelula-estraktuetan. (D, E) Mielinarekin erlazionatutako proteinen adierazpena eta kuantifikazio erlatiboa oligodendrozitoen zelula-estraktuetan. Datuek batez besteko \pm S.E.M adierazten dute eta puntuak banakako esperimentuak adierazten dituzte, * $p < 0,05$, ** $p < 0,01$, * $p < 0,001$ kontrol-zelulekin alderatuta. Esanahi estatistikoa bi isatseko Student t proba binakatuaren eta norabide bakarreko ANOVA eta Dunnett post-hoc probaren bidez lortu zen.**

Aurreko emaitzek zelulen heltzean duten eragina ebaluatzen, saiakuntzak egin genituen nanofibrak erabiliz. PDLz estalitako nanofibretan oligodendrozitoek bereizteko eta mielina-zorroak sortzeko duten gaitasuna lehen ere deskribatu da (Bechler, Byrne eta Ffrench-Constant, 2015; Lee et al., 2012). Beraz, esperimentu honek aukera eman zigun oligodendrozitoen heltze prozesua aztertzeko neuronariak gabeko eredu batean. MBP (11.193 ± 1.424 vs 14.469 ± 3.092 , hurrenez hurren) eta MOG (6.521 ± 558.2 vs 8.417 ± 473.8 , hurrenez hurren) fluoreszentzia-intentsitate handiagoa erakutsi zuten A β -ekin tratatutako oligodendrozitoek kontrolekin alderatuta (**23A, B. irudia**).

Oro har, emaitzek, A β -o-ek lokalki itzulitako proteinak, MBP eta MOBP, eta oligodendrozito helduetako MOG markatzaileak handitzen dutela erakusten dute.



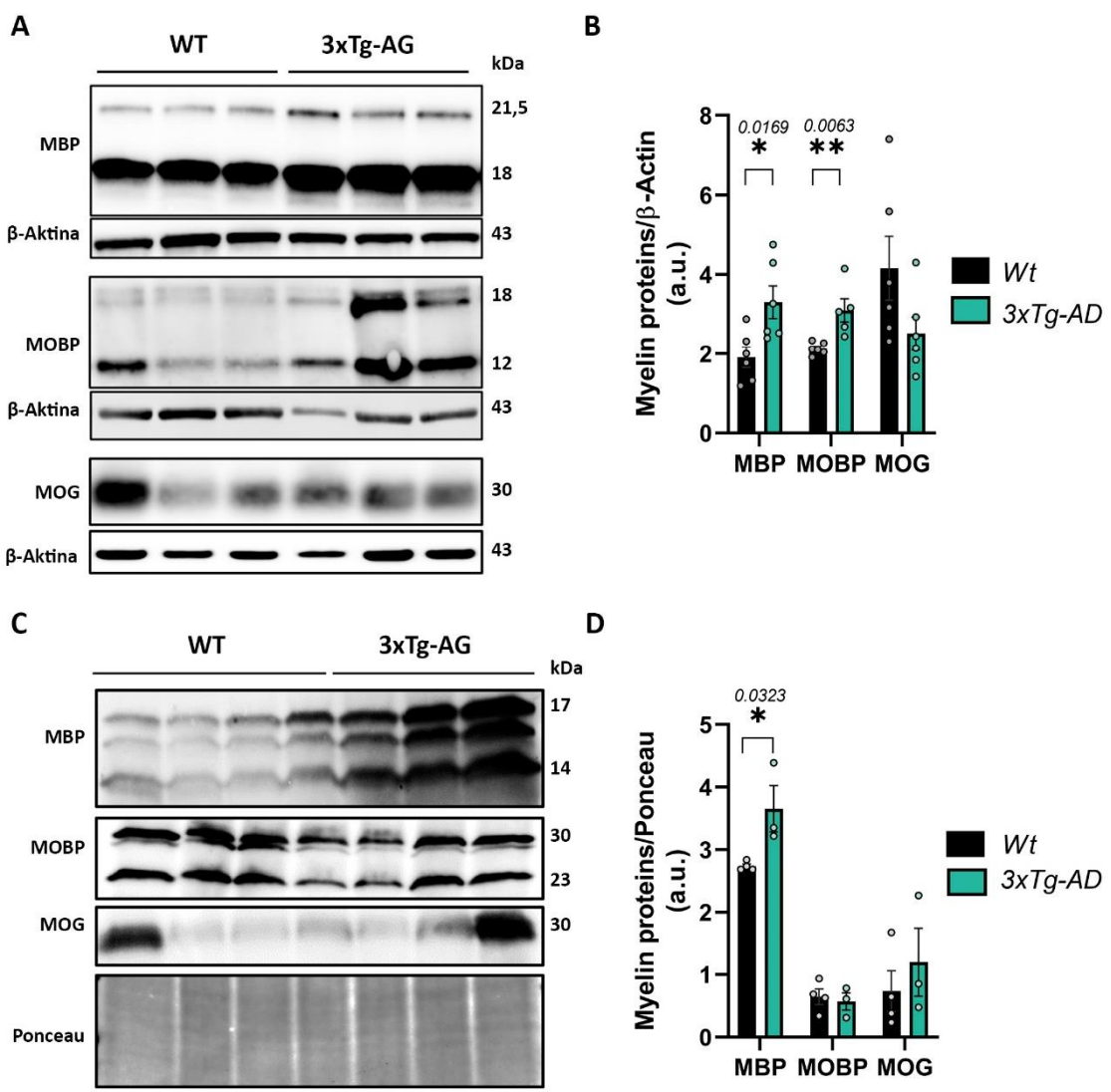
23. irudia. A β_{1-42} oligomeroek MBP eta MOG gain-erregulatzetan dituzte oligodendrozitoen 3D kultiboetan. (A) MBP (berdea) eta MOG (turkesa) immunotintzio bikoitza erakusten duten nanofibretan hazitako oligodendrozitoen mikrografia adierazgarriak. **(B)** MBParen eta MOGren fluoreszentzia-intentsitatearen analisia 24 orduko A β tratamenduaren ondoren. Eskala-barra, 20 μ m. Datuek batez besteko \pm S.E.M adierazten dute eta puntu handienak experimentu independenteen batez bestekoa dira, eta puntu txikienek zelula individualak adierazten dituzte, * p < 0,05, ** p < 0,01, kontrol-zelulekin alderatuak. Esanahi estatistikoa bi isatseko Student t proba binakatuaren bidez lortu zen.

2.9 3xTg-AG-ko sagu helduek MBP eta MOBP maila handiagoak erakusten dituzte hipokanpoan eta mielinan

Ostean, MBP, MOBP eta MOG adierazpena 3xTg-AG saguetan aldatzen ote zen zehaztu genuen. Horretarako, proteina horien mailak aztertuko genituen 6 hilabeteko 3xTg-AG eta WT saguen hipokanpoan eta mielina frakzioetan. Ondo deskribatuta dago AGean erasandako garuneko lehen eremuetako bat hipokanpoa dela. Gorputz kailukararekin alderatuta, oligodendrozitoen ordezkapena handiagoa da SGean (Yeung et al., 2014). Aurreko datuek frogatu dutenez, MBParen adierazpena modu positiboan lotzen da A β mailekin 18 hilabeteko saguen hipokanpoan (Quintela et al., 2019). Hala ere, ez dakigu mielina-proteinak 3xTg-AG saguaren etapa goiztarretan deseregulatuta dauden ala ez.

Proteinen mailen analisiak, MBP ($1,911 \pm 0,2575$ vs $3,300 \pm 0,411$, hurrenez hurren) eta MOBP ($2,1283 \pm 0,062$ vs $3,097 \pm 0,2928$, hurrenez hurren) mailak nabarmen handitu zirela erakutsi zuen, baina ez MOG maila ($4,155 \pm 0,8029$ vs $2,512 \pm 0,4147$, hurrenez hurren) 3xTg-AG saguetan, WT saguekin alderatuta (**24A, B. irudia**). Mielina-frakzioetan, aldiz, MBParen maila bakarrik handitu zen 3xTg-AG saguetan, WT-ekin alderatuta ($2,736 \pm 0,036$ vs $3,654 \pm 0,3696$, hurrenez hurren) (**24C, D. irudia**). Hipokanpoan MBParen isoforma nagusiak 17, 18 eta 21,5 kDa-koak ziren; eta mielina-frakzioetan berriz, 14, 17 eta 18 kDa-ko isoformak ziren nagusi, lehen deskribatu den bezala (Karthigasan, Garvey, Ramamurthy eta Kirschner, 1996).

Oro har, emaitzek erakusten dute 3xTg-AG hipokanpoak MBP eta MOBP maila handituak dituela AGren fase goiztiarretan, eta, gainera, mielinak MBP gehiago duela.



24. irudia. 3xTg-AG saguek MBP eta MOBP maila handiagoak dituzte. **(A, B)** MBP, MOBP eta MOG adierazpena 6 hilabeteko 3xTg-AG saguen hipokanpoen lisatuen kuantifikazio erlatiboa, WT-ekin alderatuta. **(C, D)** MBP, MOBP eta MOGen adierazpena 6 hilabeteko 3xTg-AG saguen mielina frakzioen kuantifikazio erlatiboa WT-ekin alderatuta. Datuek batez besteko \pm S.E.M adierazten dute eta puntuek banakako animaliak adierazten dituzte* $p < 0,05$, ** $p < 0,01$ WT-ekin alderatuta. Esanahi estatistikoa bi isatseko Student t proba binakatu gabareen bidez lortu zen.

2.10 MBParen gainadierazpena oligodendrozitoen funtzioko aldarazten ditu

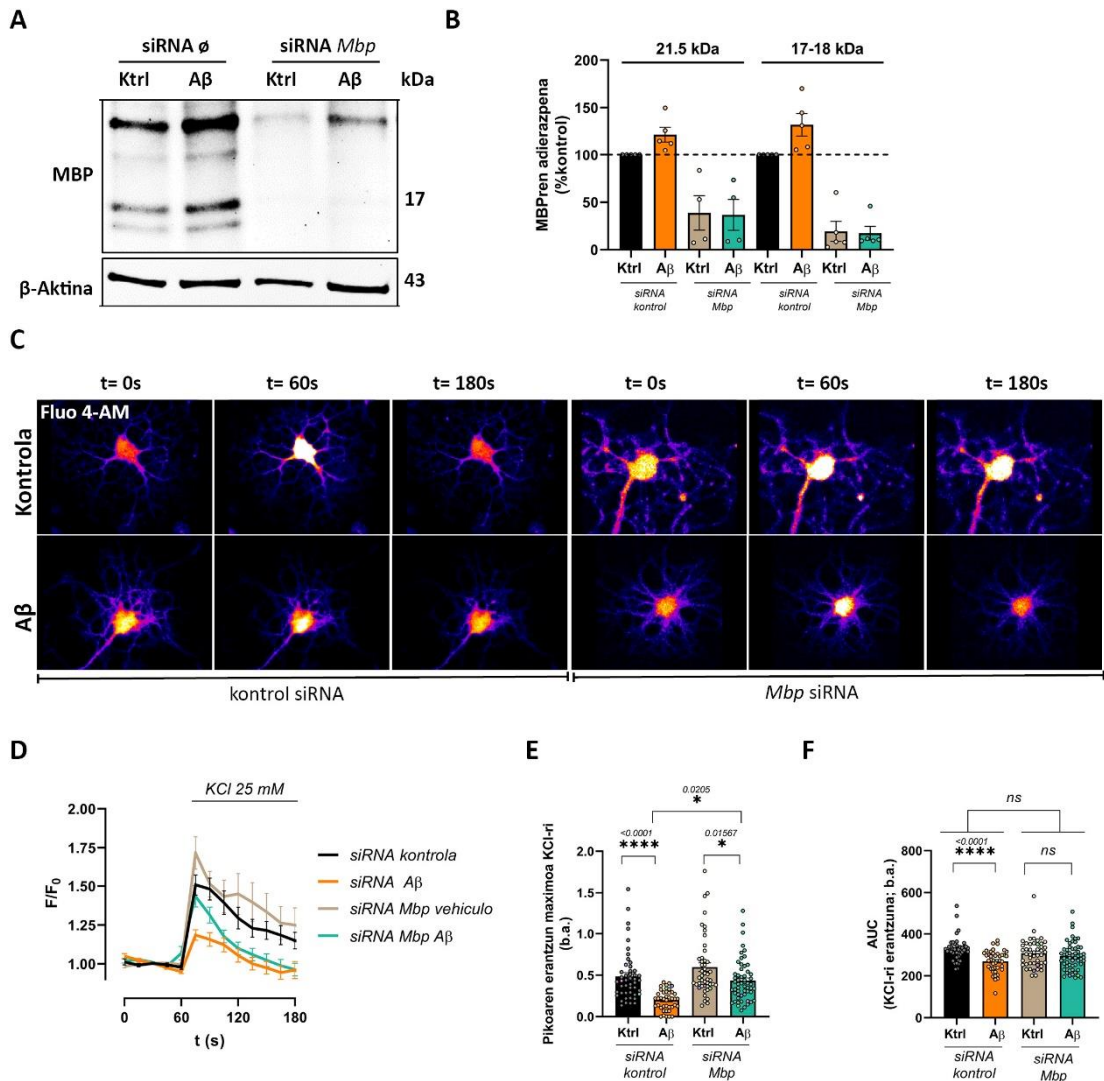
2.10.1 MBParen gainadierazpenak kaltzioaren sarrera inhibitzen du

MBP proteina multifuntzionala da, lipidoekin eta proteina ezberdinekin elkarreagiten duena (Smirnova et al., 2021). Aurretik deskribatu zen MBParen gainadierazpenak nabarmen murritzten duela kaltzioaren (Ca^{2+}) sarrera oligodendrozitoetan, tentsioaren bidez operatutako Ca^{2+} kanalen modulazioaren bidez (VGCC), zelulan Ca^{2+} -en erantzunei eraginez (Smith et al., 2011).

Beraz, zehazteko ea $\text{A}\beta$ -ren menpeko MBParen gainadierazpenak eta ez $\text{A}\beta$ -ak berak, VGCCen gainekeko efektu bat eragiten zuten, Ca^{2+} intrazelularren mailak erregistratu genituen KCl (25 mM) estimulazioaren pean, *Mbp*-ren adierazpena inhibituz. $\text{A}\beta$ -en presentzian edo absentzian. Lehenik eta behin, *Mbp* genearen adierazpena murrizteko gai ginela baiezta genuen *Mbp*-ari zuzendutako eta kontrol siRNAs erabiliz (**25A. irudia**). *Mbp*-ri zuzendutako siRNAs % $38,78 \pm 10,14$ rarte murriztu zuen 21 kD-ko isoforma, eta 17 eta 18 kDaren isoformak, berriz, $19,49\% \pm 10,50$ rarte (**25B. irudia**). Gainera, siRNA kontrolarekin $\text{A}\beta$ -tratatutako zeluletan, MBP 21 kDa % $121,6 \pm 7,782$ eta 17-18 kDa isoformak % $132,1 \pm 11,92$ gehitu zirela erakutsi zuten oligodendrozitoek, eta hori blokeatzen zen MBParen adierazpena inhibitorakoan (**25A, B. irudia**). Oligodendrozitoetan, kaltzio intrazelularren mailen erregistroek kaltzioaren fluxua gutxitzen zela erakutsi zuten $\text{A}\beta$ 24 orduetan tratatutakoan ($0,448 \pm 0,043$ vs $0,2091 \pm 0,024$), eta partzialki berreskuratzen zen *Mbp*-ren adierazpena inhibitorakoan ($0,5967 \pm 0,056$ vs $0,3966 \pm 0,032$) (**25C, D, E. irudia**). Horrez gain, kurbaren azpiko eremuak (AUC) behera egin zuela ikusi genuen $\text{A}\beta$ -ekin ($313,7 \pm 5,494$ vs $272,8 \pm 7,495$), eta guztiz berreskuratzen zen *Mbp*-ren adierazpena inhibitorakoan ($300,7 \pm 8,374$ vs $289,1 \pm 8,365$) (**25F. irudia**).

Emaitza hauek adierazten dute MBParen gainadierazpenak, batez ere 17 eta 18 kDa-ko isoformena, partzialki inhibitzen duela kaltzioaren sarrera; hala ere, $\text{A}\beta$ -ek MBParen

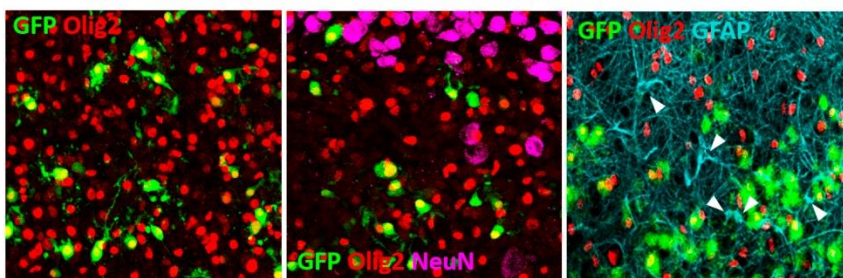
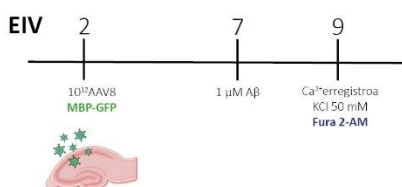
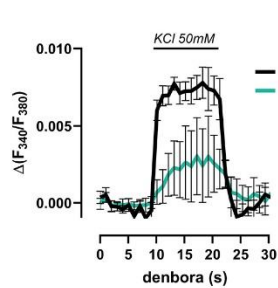
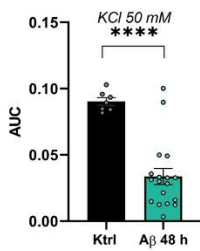
adierazpenaren mende ez dauden mekanismo independenteen bidez kaltzioaren dinamika inhibititu dezakeela dirudi.



25. irudia. MBParen gainadierazpenak Ca^{2+} fluxua inhibitzen du zelulan. (A, B) MBParen western blot-a eta adierazpen-mailen analisia kontrol eta Mbp siRNAekin transfektatutako zelulak A β -en esposizioaren ondoren. (C, D) Kontrol edo Mbp siRNArekin transfektatutako zelulak Fluo-4AM-ekin kargatu ziren, eta 24 orduz egon ziren A β -en eraginpean. Kaltzioaren maila mikroskopia konfokalaren bidez neurtu zen. (E) Baldintza desberdinaren kurbaren azpiko eremua. (F) Baldintza desberdinaren lortutako puntu maximoa. Datuek batez besteko $\pm S.E.M$ adierazten dute eta Wb-an puntuek esperimentu independenteak adierazten dituzte eta kaltzioaren analisiaren kasuan puntuek zelula bakoitza adierazten dute, * $p < 0,05$, * $p < 0,0001$, kontrol-zelulekin alderatuta. Esanahi estatistikoa bi isatseko ANOVA arrunta, eta Tukey post-hoc probaren bidez lortu zen.**

2.10.2 A β ₁₋₄₂ oligomeroek kaltzioaren sarrera inhibitzen dute ebaketa organotipiko hipokanpaletan

A β o-ek kaltzioaren homeostasian aldaketak eragin zitzaketen ala ez ikertzen jarraitzeko, arratoiaren hipokanpoko kultibo organotipikoak erabili genituen zelula-sistema konplexuago eta animalien alternatiba gisa. Kultibo organotipikoak neuroendekapenezko gaixotasunen azpiko mekanismoak ikertzeko eta horiei aurre egiteko tratamendu-estrategiak aztertzeko eredu gisa erabili dira, ehunen arkitektura, erlazio anatomikoak eta sare-knexioak partzialki mantentzen baitituzte (Stoppini, Buchs eta Muller, 1991). Oligodendrozitoak markatzeko, 2 ElVren ondoren, kultibo organotipiko hipokanpalak GFP proteina *Mbp* sustatzailearen pean adierazten duten AAV8 birusekin (10^{12} birus-partikula) infektatu ziren. Lehenik eta behin, birus horrek oligodendrozitoak espezifikoki infektatzen ote zituen egiaztatu nahi izan genuen. Horretarako, immunofluoreszentzia-analisia gauzatu genuen, Olig2 markatzaile oligodendrogliala, NeuN markatzaile neuronalarekin eta GFAP markatzaile astrozitarioarekin batera. Irudietan ikusten denez, GFP+ diren zelulak Olig2rekin bakarrik ko-lokalizatzen dute (**26A. irudia**). Jarraian, ebaketa hipokanpalak 7 ElVren ondoren A β o-ekin 48 orduz tratatu genituen (**26B. irudia**) eta zelula barneko Ca²⁺ mailak erregistratuko genituen KCl (50 mM) bidezko estimulazioaren aurrean, puff teknikaren bidez. Argi eta garbi ikusi genuen A β o-ek gehieneko kaltzio igoera eta AUC ($0,09034 \pm 0,002$ vs $0,03368 \pm 0,006$) nabarmen gutxitzea eragiten zutela (**26C, D. irudia**). Emaitzek, beraz, A β o-ek tentsio bidez aktibatutako kaltzio-kanalen bitartez Ca²⁺-aren sarrera murrizten dutela iradokitzen dute.

A**B****C****D**

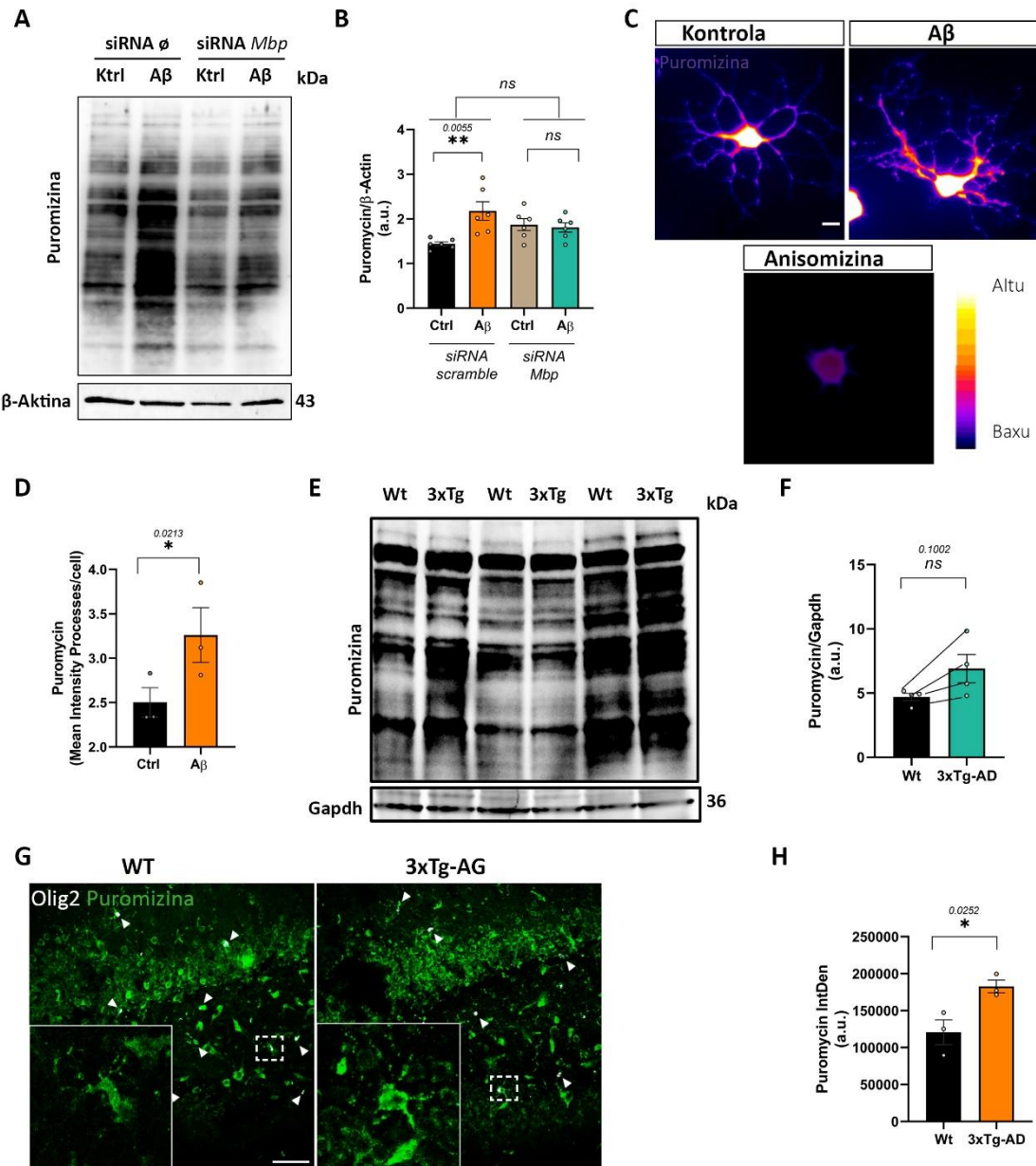
26. irudia. A β ₁₋₄₂ oligomeroek inhibitu egiten dute zelulen kaltzio fluxua ebaketa organotipiko hipokanpaleko oligodendrozitoetan. (A) AAV8-MBP-GFP (berdea), Olig2 (gorria), NeuN (magenta) eta GFAP (turquesa) infektatutako ebaketa hipokanpaleko z-stack proiekzio konfokala adierazgarriak. Ohartu Olig2 bakarrik gainjartzen dela GPrekin. (B) Eredu esperimentalaren eskema. (C) Zelulak Fura 2-AM-rekin kargatu ziren, eta zelula bRNAeko kaltzio-mailak puff teknikaren bidez neurtu ziren. (D) AUC adierazten duen histograma, kontrol eta A β -ekin tratatutako ebaketetan. Datuek batez besteko \pm S.E.M adierazten dute eta puntuek zelula individualak adierazten dituzte, **** $p < 0.0001$, kontrolekin alderatuta. Esanahi estatistikoa bi isatseko de Student t proba binakatu gabaren bidez lortu zen.

2.10.3 MBParen gainadierazpenak proteinen sintesia sustatzen du

MBParekin elkarreagiten duen proteina talde handienetako bat proteinen sintesirako makinerian eta itzulpenaren erregulazioan inplikatutako proteinena da (Smirnova, E.V. et al., 2021). Itzulpenean MBPk izan zezakeen papera aztertzeko, oligodendrozitoak kontrol edo *Mbp*-ri zuzendutako siRNAekin transfektatu ziren A β o presentzian edo absentzian. Proteinak erauzi baino 10 minutu lehenago, oligodendrozitoak puromizinarekin (2 μ M) tratatu ziren. Western blot analisiak erakutsi zuen proteinasintesi globala handitu egiten zela A β o-ekin ($1,439 \pm 0,046$ vs $2,177 \pm 0,2082$, hurrenez hurren) eta hori blokeatu egiten zela MBP isilaraziz ($1,872 \pm 0,1347$ vs $1,808 \pm 0,1058$, hurrenez hurren) (**27A, B. irudia**). MBPk itzulpena nola aldatzen duen jakiteko, immunofluoreszentzia-analisia egin genuen, puromizina zelularen zein toki zehatzetan

txertatzen zen ikusteko. Gorakada esanguratsu bat ikusi genuen espezifikoki A β -o-ekin tratatutako zelulen prozesuetan kontrolekin alderatuta ($2,502\pm0,1625$ vs $3,206\pm0,30888$, hurrenez hurren) (**27C, D. irudia**). Nabarmendu behar da MBP kokatuta dagoen lekuan gorakada zegoela, eta horrek indartu egiten du MBPak proteinen sintesian parte hartu dezakeela dioen hipotesia.

3xTg-AG saguen hipokanpoan eta mielinan MBParen igoera ikusi genuenez, efektu hori itzulpena aldatzen ari ote zen zehaztu nahi genuen. Hasieran, mielina frakzio aberastuetan puromizinaren inkorporazioa aztertu genuen, eta 3xTg-AGn goranzko joera zegoela ikusi genuen WT-ekin alderatuta (**27E, F. irudia**). Jarraian, WT eta 3xTg-AG saguen ebaketa akutuak puromizinarekin ($10 \mu M$) tratatu genituen. Olig2 eta puromizinarekin immunotindatu ziren ebaketak (**27G. irudia**) eta puromizinaren fluoreszentziaren dentsitate integratua neurtu genuen Olig2+ zeluletan. Analisiek erakutsi zuten oligodendrozitoen itzulpena nabarmen handitura zegoela 3xTg-AG (120.672 ± 16.857 vs 182.662 ± 8.593 , hurrenez hurren) saguen hipokanpoko ebaketa akutuetan (**27H. irudia**).



27. irudia. MBP κ proteinen itzulpena sustatzen du. (A, B) Puromyzina-mailak western blot bidez aztertuziren, kontrol eta Mbp-ri zuzendutako siRNAekin transfektatutako zeluletan 24 orduko A β o esposizioaren ondoren. (C, D) Puromyzina-mailak western blot bidez aztertu ziren, WT eta 3xTg-AG saguen mielinaz aberastutako frakzioetan. (E, F) Immunofluoreszentzia-mikrografia adierazgarriak eta haien kuantifikazioa WT eta 3xTg-AG saguen ebaketa akutuetan. Olig2 (zuria) eta puromizinarekin (berdea) immunotindatu ziren. Datuek \pm S.E.M batez bestekoak adierazten dituzte eta puntuek banakako animaliak edo esperimentu independenteak adierazten dituzte, * p < 0,05, ** p < 0,01, kontrolekin alderatuta. Esanahi estatistikoa bi isatseko Student t proba eta bi bideko ANOVA arrunta Tukey post-hoc probaren bidez lortu zen.

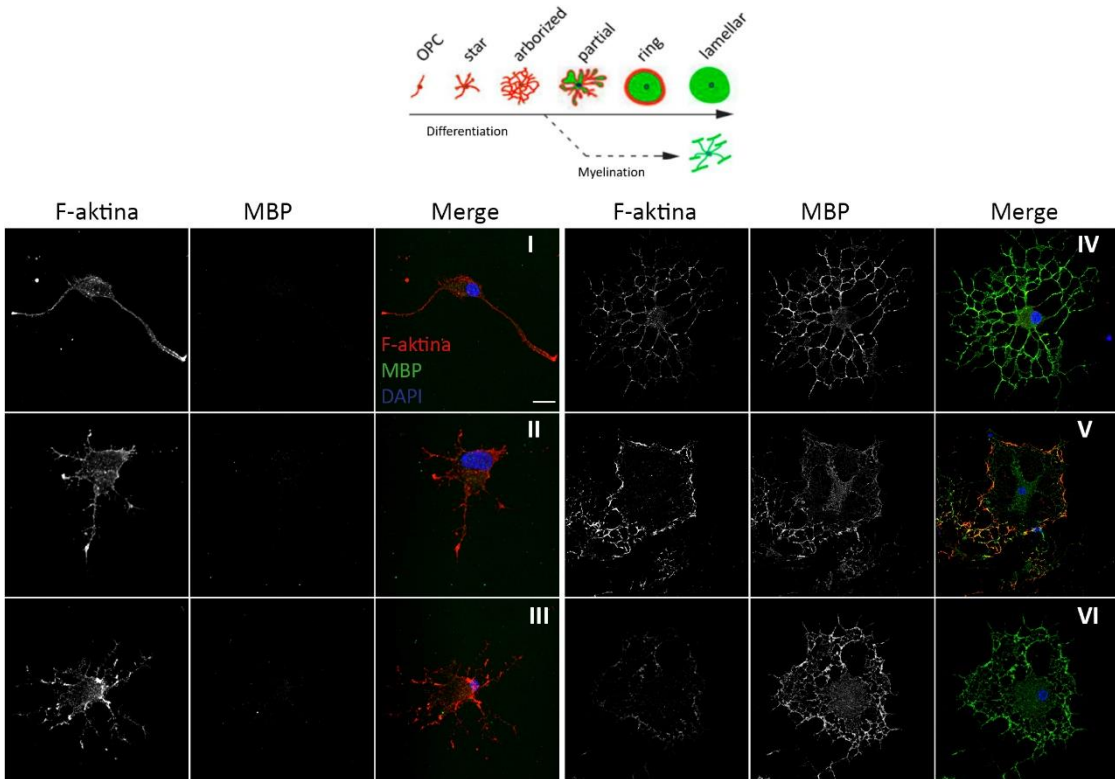
PART III: A β ₁₋₄₂ oligomeroen efektua aktinaren dinamikan eta mielinizazioan

3.1 A β ₁₋₄₂ oligomeroen efektua aktinaren dinamikan *in vitro*

Aktinaren dinamika funtsezko faktorea da oligodendrozitoen oinarrizko funtzioetan; migrazioan, bereizketan eta mielinizazioan esku hartzen baitu (Brown & Macklin, 2019). Polimerizazio- eta despolimerizazio-orekan izandako aldaketeak eragina izan dezakete zelula horien ztoeskeletoan, eta ondorioz, NSZko funtzio fisiologikoetan. Aktinaren dinamikan aberrazioak deskribatu izan dira *in vitro* eredu neuronaletan eta AGko animalia-ereduetan; hala ere, ez dago ikerketarik AG oligodendrozitoen ztoeskeletoaren aldaketak deskribatzen dituenik. Gainera, gure RNA-seq esperimentuetan ztoeskeletoari lotutako geneen adierazpenean aldaketak ikusi genituen. Horrenbestez, oligodendrozitoen ztoeskeletoaren dinamikan A β -ak izan zezakeen efektua aztertu zen.

3.1.1 A β ₁₋₄₂ oligomeroak oligodendrozitoen morfologia aldatzen dute

Aurretik deskribatu zen oligodendrozitoek aldaketa morfologiko estereotipatuak jasaten dituztela desberdintzatu ahala, eta morfologia arborizatu batetik laminar antzeko egitura batera igarotzen direla. Gainera, zelulak heltzen diren heinean, F-aktina galdu egiten dute, MBP maila handitzen den bitartean. Dirudienez, MBParen adierazpenaren igoera aktinaren desmihiztatzearekin batera gertatzen da (**28. irudia**) (Zuchero et al., 2015).

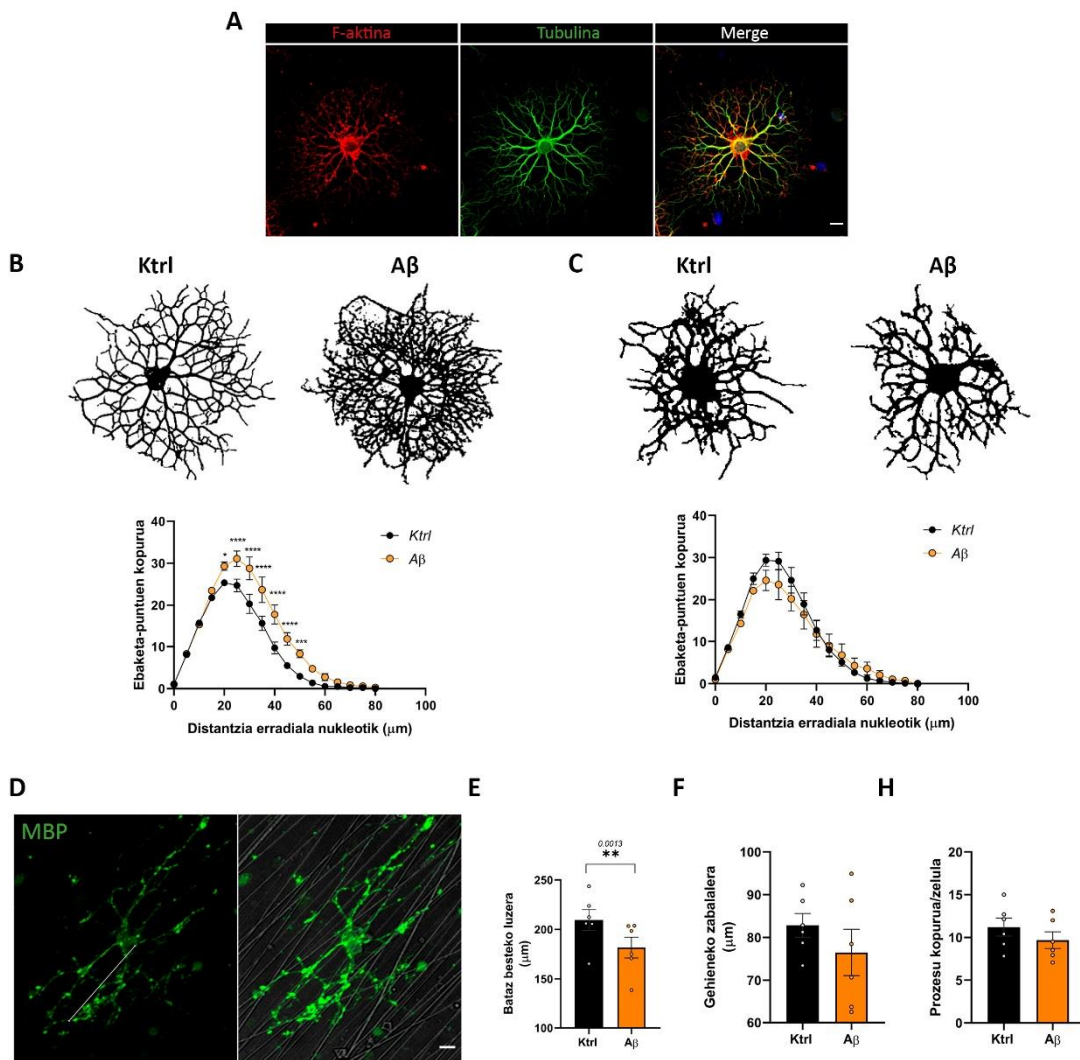


28. irudia. Aldaketa morfologikoaren eredu eskematikoa OPCen in vitro desberdintzapenean. Oligodendrozitoak 1, 3 eta 6 EIV ondoren fixatu ziren, desberdintzapenean morfologia desberdinak irudikatuz: I, OPC; II, izartua; III, arborizatua; IV, partziala; V, eraztun; VI, lamelarra. OLak F-aktina (faloidina, gorria), MBP (berdea) eta nukleoetarako (DAPI, urdina) immunotindatu ziren. Eskala-barra, 10 μm . Zuchero et al., 2015etik egokitua

Lehenengo, egiaztatu nahi genuen ea A β -ek aktina zitoeskeletoa alda ote zezakeen eta ondorioz, oligodendrozitoaren morfologiari eragin. Hortaz, oligodendrozitoak *Phalloidin-TexasRed*-ekin (F-aktina) tindatu genituen tubulinarekin batera, eta zelularen konplexutasuna neurtu zen Sholl analisiaren bidez. Sholl eratzunen gurutzeen kopurua nabarmen handitu zela ikusi zen F-aktinarentzat, A β -ekin tratatutako oligodendrozitoan, kontrolarekin alderatuz (**29B. irudia**). Aitzitik, ez zen alde nabarmenik ikusi bi baldintzen artean tubulinaren sholl eratzunen kopuruan (**29C. irudia**). Datu horiek adierazten dute A β -ek aldaketa morfologikoak eragiten dituela, ustez, aktina harizpiak aldatuz, baina ez mikrotubuluak.

Jarraian, 3D ingurune baten desberdintzapen morfologikoa zehatzago aztertzeko, oligodendrozitoak PCLezko nanofibretan kultibatu ziren. Oligodendrozitoak nanofibren inguruau bildu eta lerrokatu ziren, baldintza fisiologikoen antzeko morfologia hartuz.

Zelulak MBPrako tindatu ziren eta hainbat parametro kuantifikatu genituen, hala nola zelularen-luzera, zabalera, prozesu-kopurua eta prozesuen luzera. A β -k batez besteko zelula-luzera murrizten zuela ($209,5 \pm 10,56$ vs $181,7 \pm 10,49$, hurrenez hurren) ikusi genuen, baina ez zuela ez zabaleran ez prozesuen kopurua aldatzen (**29F, G, H. irudia**).



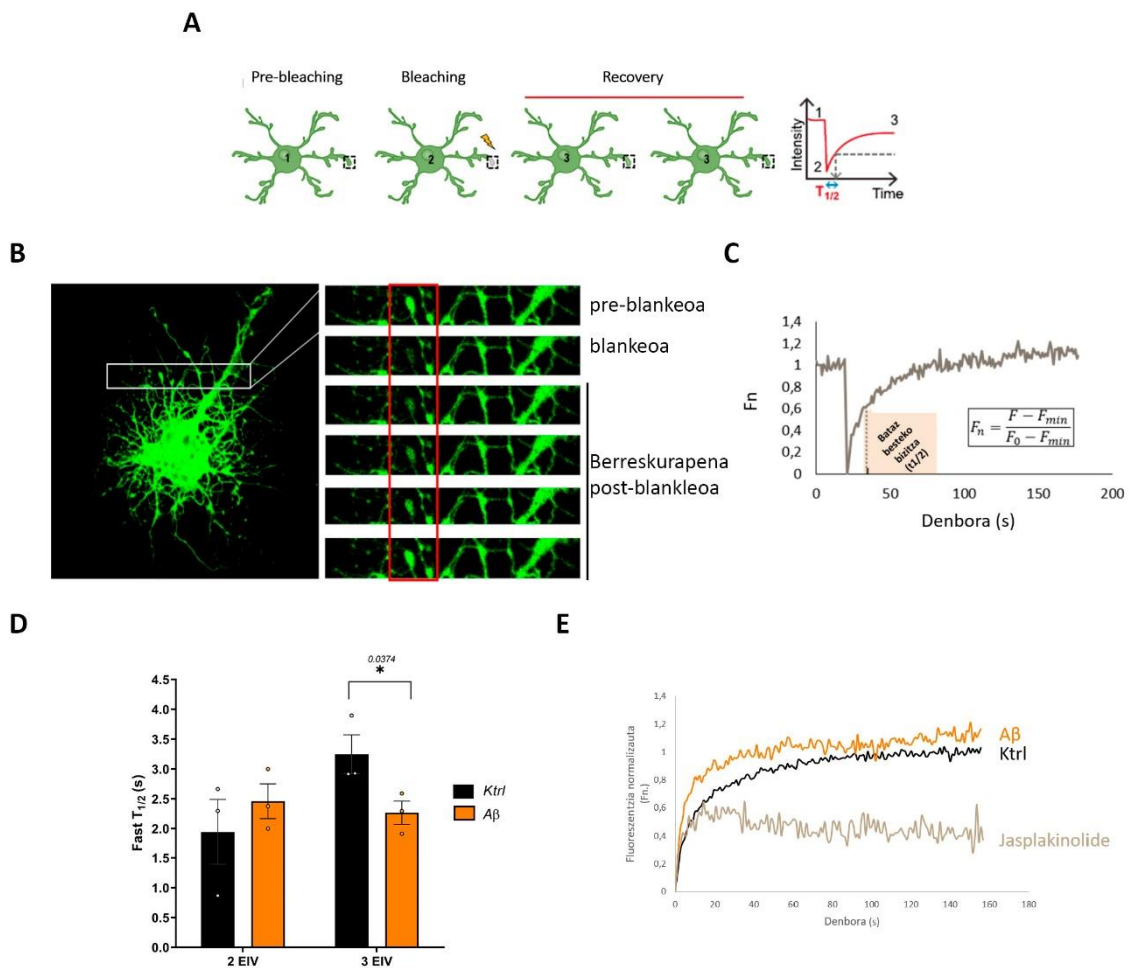
29. Irudia. A β_{1-42} -oligomeroek aktina-zitoeskeletoa deserregulatzen dute. **(A)** F-aktinaren (faloidina, gorria) eta tubulinaren (berdea) mikrografiak oligodendrozitoen. **(B)** Sholl analisiaren irudi adierazgarria (beltza) eta F-aktinarako kuantifikazioa, 24 orduz A β 1 μM -ekin tratatutako oligodendrozitoetan. **(C)** Sholl analisiaren irudi adierazgarria (beltza), eta tubulinarako kuantifikazioa oligodendrozitoetan 24 orduz A β 1 μM -ekin tratatutako oligodendrozitoetan **(D)** Nanofibretan hazitako oligodendrozitoen MBPrako (Berdea) gehieneko proiekzioren irudi adierazgarria. Gezi zuriak prozesuaren luzera erakusten du. Batez besteko zelula-luzera (**E**), batez besteko zelula-zabalera (**F**) eta zelula bakoitzeko prozesu-kopurua (**G**) adierazten duten histogramak. Eskala-barra, 10 μm . Datuek $\pm\text{S.E.M}$ batez bestekoa adierazten dute, eta puntuak

esperimentu independenteak adierazten dituzte, $p^<0,05$, $p^{**}<0,01$ kontrol-zelulekin alderatuta. Esanahi estatistikoa bi isatseko Student t proba binakatuaren bidez lortu zen.*

3.1.2 A β_{1-42} oligomeroek aktinaren dinamika sustatzen dute

A β -ek aktina zitoeskeletoan duten eragina, mikrofilamentu egonkortuen handitzearen ondorioa izan zitekeen behatzeko, fotozuritze ondorengo fluoreszentziaren berreskurapena (*fluorescent recovery after photobleaching; FRAP*) esperimentuak egin ziren. Aktinaren dinamika monitorizatzeko, aldez aurretik oligodendrozitoak *Life Act* birus eramaile batekin infektatutako ziren 2 eta 3 ElVetan. *Life Act* zelula eta ehun eukariotoetan F-aktinazko egiturak tindatzen dituen peptido txikia da. Analisia egiteko, fotozuritze zelularen puntu jakin batean aplikatu zen, eta baldintza bakoitzerako fluoreszentziaren berreskurapena erregistratu zen hurrengo segundoetan (**29A, B. irudia**).

2 ElVekin alderatuta, Fast T_{1/2} gisa adierazitako fluoreszentziaren berreskurapena antzekoa izan zen A β -ekin tratatutako oligodendrozitoetan eta kontroletan ($1,943\pm0,5475$ s kontrolerako eta $2,459\pm0,2911$ s tratatutako zelularako). Aldiz, 3 ElVtan aldaketak ikusi ziren tratatutako eta kontrolaren arteko aktinaren polimerizazio-abiaduran, batez ere kurbaren lehen erdian ($3,247\pm0,3254$ s kontrolerako eta $2,266\pm0,1955$ s tratatutako zelularako). Jasplakinolideak harizpiak egonkortzen ditu eta aktinaren mihiztadura filamentosoa sustatzen du; beraz, kontrol negatibo gisa erabili zen (**29D, E. irudia**). Datu hauek adierazten dute aktinaren polimerizazioa azkarrago gertatzen dela A β -peptidoarekin tratatutako oligodendrozitoetan.

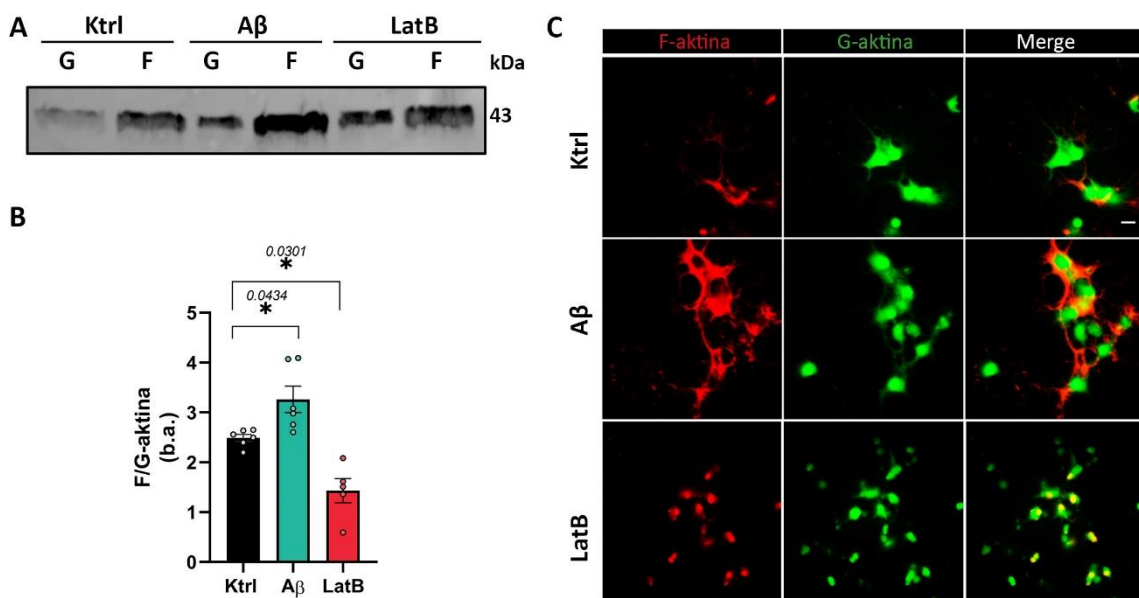


29. irudia. A β ₁₋₄₂ oligomeroek aktinaren dinamika aldatzen dute. (A) FRAPen faseak erakusten dituen diagrama. 1. Aurre-fotoblankeoa; 2. Laser bidezko fotozuritza eta 3. Fluoreszentzia berreskurapena. ROla OL prozesuen hazkunde-konoan egin zen. (B) LifeAct birusarekin infektatutako 3 EIV kontroleko OL baten FRAP irudia (1:100, 16 orduz). Hazkunde-konoak fotoblankeatu ziren eta fluoreszentzia berreskutzeko denbora neurtu zen. (C) Fluoreszentzia berreskutzeko intentsitate-kurba ehunekotan normalizatu zen, laukiaren ekuazioa eta batez besteko bizitza-parametroa erabiliz ($t_{1/2}$). (D, E) Kontroleko OLak (beltza) berreskutzeko kurbak, A β o tratatuak (laranja) eta jasplakinolidarekin tratatuak (marroia). 2-3 zelula kuantifikatu ziren baldintzaren arabera esperimentu bakoitzean, eta zelula bakoitzaren barruan 3-5 puntu desberdin kuantifikatu ziren. Datuek \pm S.E.M batez bestekoa adierazten dute, eta puntuek esperimentu independenteak adierazten dituzte, * $p<0,05$ kontrol-zelulekin alderatuta. Esanahi estatistikoa bi isatseko Student t proba binakatuaren bidez lortu zen.

3.1.3 A β ₁₋₄₂ oligomeroak F eta G-aktina ratioa aldatzen du kofilinaren bidez

Aktinaren dinamikaren egoera zehazteko modu on bat zeluletako aktina globular monomerikoaren (G-aktina) eta aktina filamentosoaren (F-aktina) arteko proportzioa

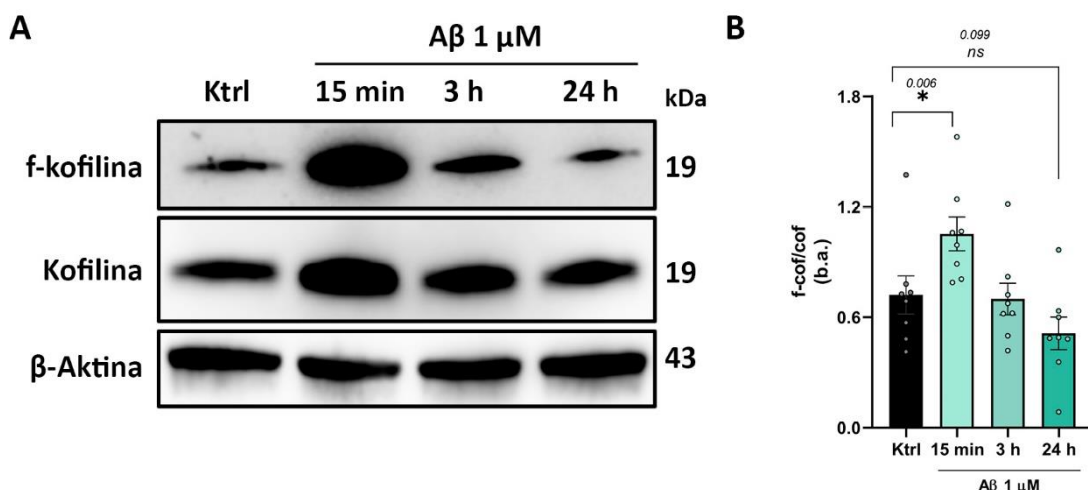
neurtzea da. Beraz, G- eta F-aktina mailak zehaztu ziren entsegu biokimiko eta immunofluoreszenteen bidez kontrol-, A β eta Latrunkulina Brekin (LatB) tratatutako oligodendrozitoetan. LatB aktinaren polimerizazioaren inhibitzailea da, G-aktinarekin 1:1 proportzioan elkarreragiten duena F-aktinaren polimerizazioa *in vitro* inhibitzen. Bi esperimentuek erakutsi zuten F/G-aktinaren ratioak gora egiten zuela A β -ekin tratatutako zeluletan, kontrolekin alderatuta ($2,489 \pm 0,07$ vs $3,264 \pm 0,2668$, hurrenez hurren), F-aktinaren handitza sustatz. Gainera, LatBrekin tratatutako zelulek F- eta G-aktina 1:1eko proportziora itzuli zuen ($1,431 \pm 0,2417$) (**30A, C, D. irudia**).



30. irudia. A β_{1-42} oligomeroek F/G-aktina erlazioa aldatzen dute. **(A)** Western blot G eta F-aktina, kontrol, A β -ekin eta LatB-ekin tratatutako zelulak. **(B)** F/G erlazioaren aldaketak irudikatzen dituen histogramahiru baldintzetan. **(C)** F-aktina (faloidina, gorria) eta G-aktina (DNAasa I, berdea) harizpien immunofluoreszentziako mikrografia adierazgarriak. Eskala-barra, 10 μ m. Datuek \pm S.E.M batez bestekoa adierazten dute, eta puntuak esperimentu independenteak adierazten dituzte, * $p < 0,05$, kontrolekin alderatuta. Esanahi estatistikoa norabide bakarreko ANOVA eta Dunnett post-hoc probaren bidez lortzen.

A β -ek aktinaren dinamikan eragindako aldaketen azpian dagoen bide molekularra ikertzeko, aktinari lotutako proteinen familian jarriko dugu arreta. ADF/Kofilina: aktinaren aldaketan inplikatutako proteinetako bat da, eta bestalde, oligodendrozitoetan aberastuta dago. ADF/Kofilinaren jarduerak oligodendrozitoetan

aktinaren F/G-ren ratio baxuak sortzeko ardura duela deskribatu da (Nawaz et al., 2015). ADF/Kofilina bi egoeratan egon daiteke, fosforilazio-egoeraren arabera: desfosforilatzen denean aktibatzen da eta fosforilatzen demean inhibitzen da. Beraz, bere aktibazio egoera neurtu zen A β tratamenduaren ondoren hainbat denbora-puntutan: 15 minutu, 3 ordu eta 24 ordu. Western blot analisiak fosforilazio-egoera nabarmen handitu zela erakutsi zuen 15 minutuko estimuluaren ondoren, denborarekin egonkortu egiten zena (**31A, B irudia**).



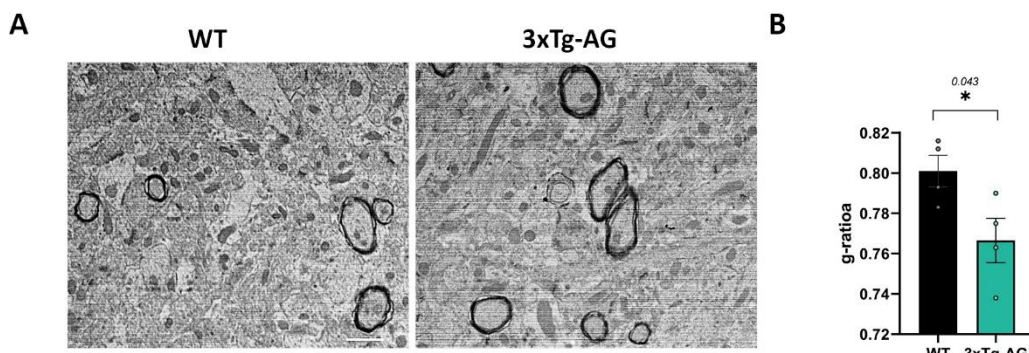
31. irudia. A β_{1-42} oligomeroek cofilinaren fosforilazioa sustatzen du. **(A)** Kofilin eta f-ko filinaren western blot-a. **(B)** f-ko filina-maila normalizatuen histograma, kofilina osoarekiko. Eskala-barra, 10 μ m Datuek \pm S.E.M batezbestekoa adierazten dute, eta puntuak esperimentu independenteak adierazten dituzte, *p “0,05, kontrolekin alderatuta. Esanahi estatistikoa norabide bakarreko ANOVAREN eta Dunnett post hoc probaren bidez lortu zen.

3.2 A β_{1-42} oligomeroen efektua *in vivo* mielinizazioan

NSZeko axoien mielinizazioa funtsezkoa da ekintza-potenzialak azkar hedatzeko. Gainera, mielinaren endekapena eta substantzia zuriaren galera AGko gertaerak dira, eta defizit kognitiboak eragiten dituzte. Gure RNA-seq azterketan mielinizazioarekin lotutako hainbat bide asaldatuta ikusi genituenetan bai *in vitro*, bai 3xTg-AGko oligodendrozitoetan, A β -ak *in vivo* mielinizazioan eragina izan ote zezakeen egiaztau genuen.

3.2.1 3xTg-AG saguen hipokanpoek mielina lodiagoa dute

Gure laborategian aurretik deskribatu zen 3xTg-AG saguek mielina lodiagoa zutela gorputz kailukaran 6, 12 eta 18 hilabetera. Hipokanpoa, AGean erasandako lehen eremuetako bat denez, eta MOBP eta MBP sintesien gorakada nabarmena ikusi genuenez, 6 hilabeteko 3xTg-AG saguetan mielina alteratuta egon ote zitekeen galdeku genion geure buruari. Hipotesi hori aztertzeko, mikroskopia elektronikoko irudiak lortu genituen WT eta 3xtg-AG saguen biraketa horzdunean. Mielinaren lodiera, g-ratio balioaren bidez neurtu zen. 3xTg-AG saguen biraketa horzdunaren mielinak g-ratioa nabarmen murriztua zuela ikusi zen WTrekin alderatuta, iradokiz mielina lodiago zutela (32A, B. irudia).

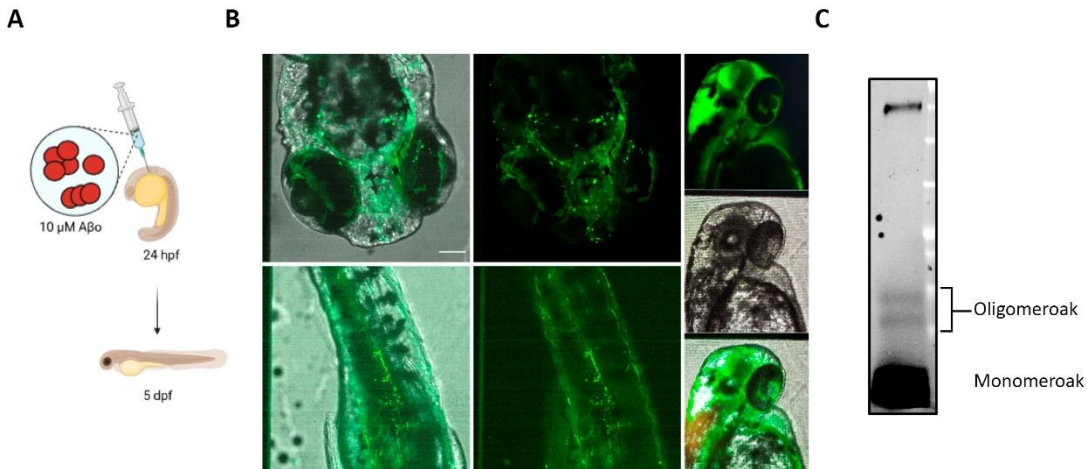


32. irudia. 3xTg-AG saguen hipokanpoak mielina lodiagoa du 6 hilabeteren. (A) WT eta 3xTg-AG saguen biraketa horzdunaren zeharkako ebakiak irudikatzen dituzten mikrografia elektronikoak, 6 hilabetera. (B) WT eta 3xTg-AG saguetan g-ratioaren balioa erakusten duen histograma. Eskala-barra, 1 μm . Datuek $\pm\text{S.E.M}$ batez bestekoa adierazten dute, eta puntuak banakako animalia erakusten dituzte, $p^*<0,05$, WT saguekin alderatuta. Esanahi estatistikoa bi isatseko Student t proba binakatu gabearren bidez lortu zen.

3.2.2 A β -o-ekin injektatutako zebra-arrainek mielinizazioan aldaketak dituzte

Ezer gutxi dakigu A β -o-k mielinizazioan izan dezaken paperari buruz. Zebra-arraina mielinizazioa *in vivo* ikusteko animalia-eredu egokia da, bere garapena azkarra delako

eta larbak gardenak direlako. Gainera, gizakien *MBP*aren ortologo bat adierazten du, *Mbpa*.



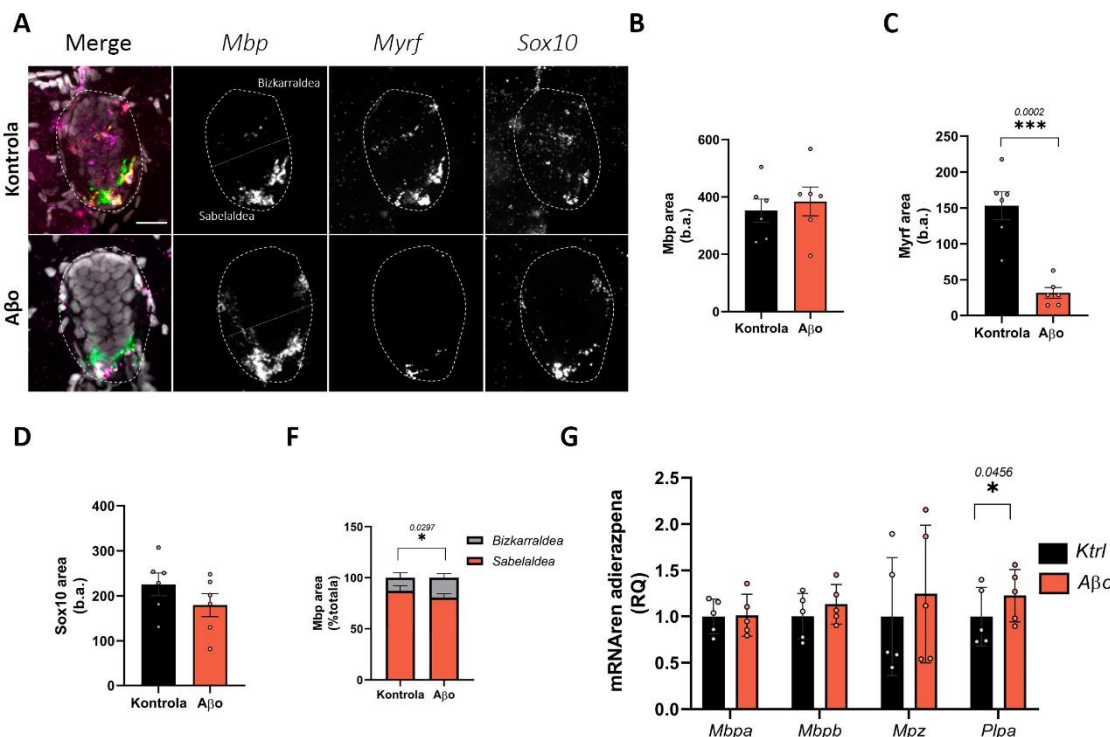
33. Irudia. A β markatutarekin Zebra-arrainari egindako injekzioa. (A) Planteamendu esperimentalaren eskema; 10 μ M A β zebra-arrainen larben atzeko garunean injektatu ziren eta 5 dpf arte itxaron zen esperimentuak egiteko. (B) Markatutako A β -rekin injektatutako larben fluoreszentzia-irudiak, injekzioaren adierazgarri. (C) Injektatutako A β nahasketan aurkitzen diren espezieen western blot-a; monomeroak eta hainbat oligomero mota ikusi daitezke. Eskalako barra, 1 mm.

Beraz, zebra-arrainen larbetan A β -k mielinizazioan duen eragina aztertu genuen. Esperimentu horiek egiteko, A β edo ibilgailua ernaldu ondorengo 24 orduko (hpf), enbrioietan injektatu zen, eta ernaldu ondorengo 3 eta 5 egun (dpf) arte itxoin zen esperimentuak egiteko. Hasieran, injekzioa behar bezala egiten zela egiaztatu genuen markatutako A β erabiliz. Argi eta garbi ikusi ahal izan genuen markatutako A β garun eta bizkarrezur-muin osoan zehar hedatzen zela (**33A, B, C irudia**). Injekzioaren eraginkortasuna egiaztatu ondoren, immunohistokimika eta *in vivo* irudien bidez aztertu genuen mielinizazio prozesua.

3.2.2.1 A β_{1-42} -injektatutako zebra-arrainen larbek bizkarrezur-muinean RNA adierazpenean aldaketak erakusten dituzte

Oligodendrozitoen desberdintzapenean izan daitezkeen aldaketak identifikatzeko, lehenik eta behin, RNAscope FISH saiakuntza egin genuen bizkarrezur-muinean, hainbat markatzaile oligodendroglialetarako; *Myrf*, *Mbpa* eta *Sox10*. Zundek betetako eremua

neurtu genuen. *Myrf*-ek betetako eremua txikiagoa zen A β -o-injektatutako zebra-arrainetan ($153,1 \pm 19,58$ vs $31,27 \pm 7,456$, hurrenez hurren); beste bi markatzaileek, berriz, ez zuten aldaketarik erakutsi (**34A, B, C, D. irudia**). Bizkarrezur-muinean, oligodendrozito gehienak jatorriz sabelaldean kokatutako zeluletatik garatzen dira. Zelula horiek bizkarraldera migratzen dute, eta bertan ugaldu eta oligodendrozitoetan desberdintzatzen dira (Lee et al., 2010).



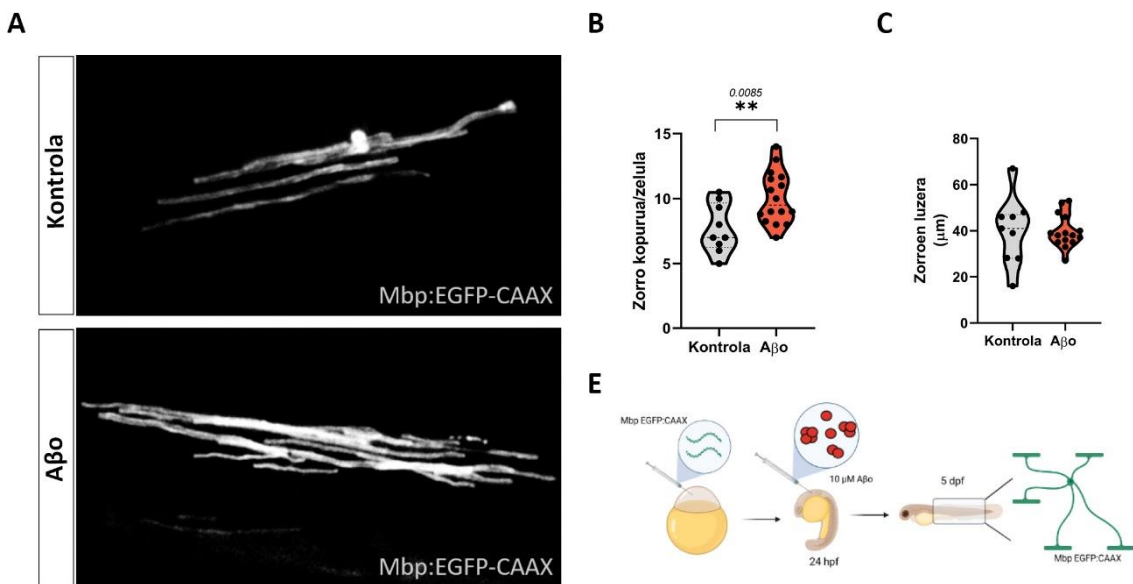
34. irudia. A β -o-kin injektatutako zebra-arrainen larbek aldaketak erakusten ditu mRNA mailetan eta banaketan. (A) Bizkarrezur-muinaren zeharkako sekzioen irudi konfokal adierazgarriak *Mbp*, *Myrf* eta *Sox10*erako, A β o eta kontrolarekin injektatutako zebra-arrainetan. (B, C, D) Bizkarrezur-muineko mRNAen eremuaren RNAscope analisi kuantitatiboa. (F) *Mbp* mRNAaren banaketaren kuantifikazioa sabelaldean eta bizkarraldean. (G) *Mbpa/b*, *Mpz* eta *Plpa*-rako RT-qPCR analisia Eskala-barra, $20 \mu\text{m}$. Datuek $\pm S.E.M$ batez bestekoa adierazten dute, eta puntuak larba individualak adierazten dituzte, $p^* < 0,05$, $p^{***} < 0,001$ kontrolarekin injektatutako zebra-arrainarekin alderatuta. Esanahi estatistikoa bi isatseko Student t proba binakatu gabearren bidez lortu zen

Hortaz, ondoren, egiaztatu genuen ea oligodendrozitoak gehiago migratzen ote zuten bizkarraldera eta, ondorioz, gehiago heltzen ote ziren. *Mbp*-ak bizkarraldean eta sabelaldean okupatzen zuen eremua neurtu genuen eta desplazamendu esanguratsua ikusi genuen bizkarralderantz A β -o-kin injektatutao arrainen kasuan kontrolekin alderatuta (**Figure 34F**). Gainera, *Mbpa*, *Mpbp*, *Mpz* eta *Plpa*-rako RT-qPCRa ere egin

genuen eta A β -o-injektatutako arrainetan *Plpa* gainadierazita zegoela ikusi genuen ($0,9998 \pm 0,1317$ vs $1,208 \pm 0,1288$, hurrenez hurren).

3.2.2.2 A β -o-injektatutako zebra-arrainen oligodendrozitoek mielina-zorro gehiago dituzte

Behin ohartuta A β -k oligodendrozitoen desberdintzapenean eragina izan zezakeela, jarraian, horrek mielina-zorron kopurua eta luzera alda zitzakeen galdetu genion geure buruari. Banakako oligodendrozitoetan mielina-zorroak aztertzeko, mbpa:egfp-caax adierazi genuen pasakorki, zebra-arrainaren zelula bateko estadioko enbrioietan mikroinjekzioren bidez. Zelula horiek EGFP-CAAX adierazten zuten, larben mielina-traktuetan mintzari lotuta (**35A. irudia**). Ez genituen aldaketarik ikusi zorroen luzeran, baina nabarmen handitu zen zorroen kopurua A β -o-injektatutako zebra-arrainetan kontrolarekin alderatuz ($7,704 \pm 0,629$ vs $10,06 \pm 0,4997$, hurrenez hurren) (**35A, B, C. irudia**).



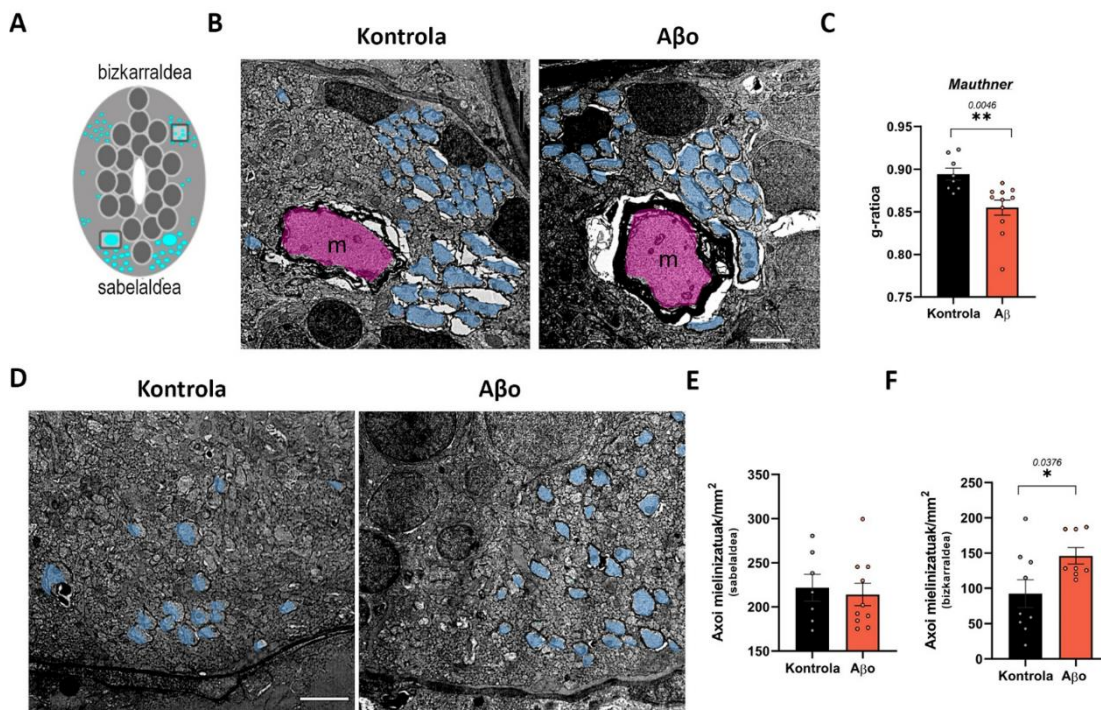
35. irudia. A β -o-injektatutako zebra-arrainak zelula bakoitzeko zorro gehiago ditu. **(A)** Kontrol eta A β -o-kin injektatutako zebra-arrainen bizkarrezur-muinean dauden oligodendrozitoen in vivo irudi adierazgarriak. **(B)** Zelula bakoitzeko zorro kopurua adierazten duen histograma. **(C)** Banakako zorroaren luzera adierazten duen histograma. **(E)** Planteamendu esperimentalaren eskema; mbp: egfp-caax injektatu zen enbrioietan, eta 24 ordu pasata 10 μm A β o injektatu ziren, eta 5 dpf arte itxaron zen esperimentuak egiteko. Datuek $\pm S.E.M$ batez bestekoa adierazten dute, eta puntuak larba individualak adierazten dituzte, $p < **0,01$ kontrol zebra-arrainekin alderatuta. Esanahi estatistikoa bi isatseko Student t proba binkatu gabearren bidez lortu zen.

3.2.2.3 A β o-injektatutako zebra-arrainek mielinizazioan alterazioak aurkezten dituzte

Azkenik, gure buruari galdetu genion ea mielinarekin lotutako zorro kopuruaren aldaketek, horien banaketak eta proteinen mRNAk mielinizazioa alda zezaketen. Horretarako, zebra-arrainen larben bizkarrezur-muinean mikroskopia elektronikoa egin genuen, eta bizkarraldea eta sabelaldea aztertu ziren. Lehenbizi, Mauthner-en zelulen g-ratioa neurtu eta A β o-ak g-ratio nabarmen murritzten zuela ikusi genuen. Horrek adierazi zigun mielina lodiagoa zutela A β o-injektatutako arrainek ($0,8942 \pm 0,007$ vs $0,8549 \pm 0,009$, hurrenez hurren) (**36B, C. irudia**).

Segidan, sabelaldeko mielinizatutako axoiak neurtu genituen, eta beheranzko joera ez esanguratsua ikusi genuen (**36B, E. irudia**). Bizkarraldean, aldiz, axoi mielinizatuen kopurua nabarmen altuagoa zen A β o-injektatutako zebra-arrainetan, kontrol zebra-arrainekin alderatuta ($0,8942 \pm 0,007$ vs $0,8549 \pm 0,009$, hurrenez hurren) (**36D, F. irudia**).

Oro har, emaitzek agerian uzten dute A β o-ek oligodendrozitoen desberdintzapena eta mielinaren egituraren aldatzen dutela *in vivo*.



36. irudia. A β o-ekin injektatutako zebra-arrainak mielinizazioan aldaketak erakusten ditu. (A) Bizkarrezur-muinaren zeharkako sekzio eskematikoa, sabelaldea eta bizkarraldea ilustratzen dituena. (B)

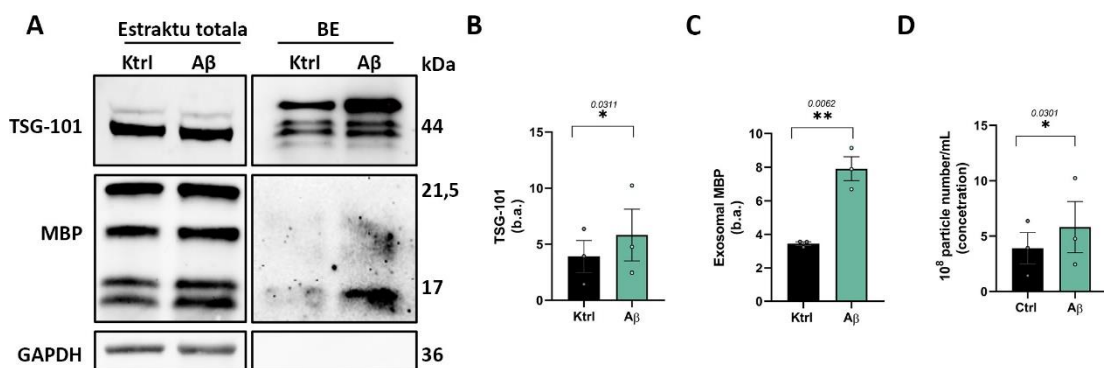
Kontrol eta A β -o-kin injektatutako 8 dpf larben sabelaldeko bizkarrezur-muinaren irudi elektroniko adierazgarriak. (C) Kontrol eta A β -o-kin injektatutako zebra-arrainen Mauthner zelulen g-ratioaren balioa erakusten duen histograma. (D) Kontrol eta A β -o-kin injektatutako 8 dpf larben bizkarraldeko bizkarrezur-muinaren irudi elektroniko adierazgarriak. (E, F) Zebra-arrainen sabelaldeko eta bizkarraldeko axoi mielinizatuen ehunekoa erakusten duten histogramak. Eskala-barra, 2 μ m. Datuek \pm S.E.M batez bestekoa adierazten dute, eta puntuek larba indibidualak adierazten dituzte, $p^<0,05$, kontrol zebra-arrainekin alderatuta. Esanahi estatistikoa bi isatseko Student t proba binakatu gabearren bidez lortu zen.*

IV. partea: Kontrol eta A β -o-rekin tratatutako oligodendrozitoetatik eratorritako besikula estrazelularren deskribapena eta efektua

4.1 A β_{1-42} oligomeroak besikula estrazelularren askapena estimulatzen du oligodendrozitoetan

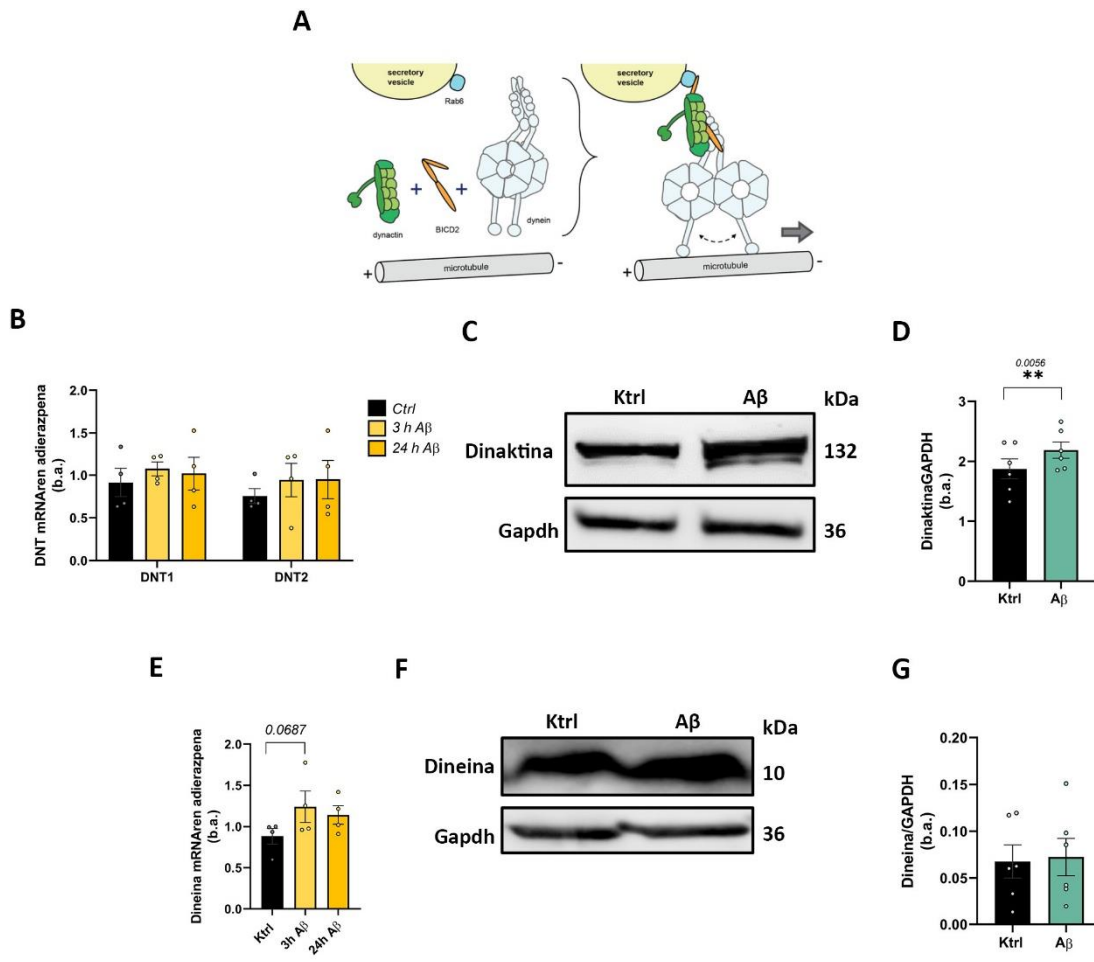
Aurreko ikerketek frogatu dute oligodendrozitoek proteina ugari daramaten besikula estrazelular (BE) kopuru nabarmena jariatzen dutela, hala nola mielinarekin erlazionatutako proteinak (PLP, CNP, MOG eta MBP) eta RNAak (Krämer-Albers et al., 2007). Iradoki da BEek eginkizun nagusia betetzen dutela gaixotasun neurodegeneratiboen hedapenean eta progresioan (Howitt & Hill, 2016). RNA-seq-en gain-erregulatuta zegoen bideetako bat besikulen garraioarekin eta kokapenarekin lotuta zegoenez, geure buruari galdetu genion ea A β -o-k bizkortu zezakeen BE jariaketa. Aukera hori probatzeko, kultibo primarioko oligodendrozitoak A β 1 μ M-ekin tratatu ziren 24 orduz eta BEak ultrazentrifugazio bidez isolatu ziren. Western blot-ak erakutsi zuen TSG-101, BE markatzailearen mailak nabarmen igotzen zirela A β -o-rekin tratatutako zeluletan ($0,807\pm0,363$ kontrola vs $1,953\pm0,28$ A β o) (**37A, B. irudia**). Gainera, mielinazko

proteinen western blot analisiak MBP maila handiagoak erakutsi zituen A β -rekin tratatutako zeluletatik eratorritako BEetan ($3,454\pm0,1073$ vs $7,909\pm0,7095$, hurrenez hurren) (**37A, C. irudia**). Era berean, nanopartikulen jarraipenaren analisiak (*nanoparticle tracking analysis*, NTA) A β -rekin tratatutako oligodendrozitoek besikulen jariapena areagotzen zutela erakutsi zuen (**37D. irudia**).



37. irudia. A β_{1-42} oligomeroek MBP duten BEren askapena sustatzen dute oligodendrozitoen. **(A)** MBP, GAPDH eta TSG-101rako (markatzaile exosomala) western blot-a estraktu totalean eta ultrzentrifugazioaren bidez isolatutako BEretan, 24 orduz A β o 1 μ M-rekin tratatutako eta kontrol oligodendrozitoetan. **(B)** TSG-101 BE markatzailearen kuantifikazioa. **(C)** BEetako MBP mailen kuantifikazioa. **(D)** Kultibatutako oligodendrozitoen medioetatik isolatutako BEen nanopartikulen jarraipenaren analisia. Datuek \pm S.E.M batez bestekoa adierazten dute, eta puntuak esperimentu independenteak adierazten dituzte, ** $p<0,01$ kontrol zelulekin alderatuta. Esanahi estatistikoa bi isatsekot Student t proba binakatuaren bidez lortu zen.

Espazio estrazelularrera jariatu aurretik, BEak proteina motorren bidez garraiatu behar dira, hala nola, dinaktina, kinesina eta dineinaren bidez. Hori horrela, geure buruari galduen genion ea A β -k besikulen garraioa alda zezakeen. RT-qPCR eta western blot analisiak egin ziren dinaktina eta dineinarentzat. Ez genuen aldaketarik ikusi mRNA mailan (**38B, E. irudia**). Hala eta guztiz ere, proteina mailan, dinektinak gora egiten zuela ikusi genuen A β -ekin tratatutako oligodendrozitoetan kontrolekin alderatuta ($1,873\pm0,1654$ vs $2,187\pm0,1361$) (**38C, D. irudia**). Oro har, emaitza hauek iradokitzen dute A β -ek BEen sekrezioa sustatzen duela espazio estrazelularrera.



38. irudia. $A\beta_{1-42}$ oligomeroek dinaktina proteina motorea erregulatzen dute. (A) Dineina eta dinektinaren funtzionamenduaren eskema. (B) Dinaktina 1 (DNT1) eta 2-ren (DNT2) RT-qPCR analisia kontrol eta $A\beta$ 3 eta 24 orduz tratatutako oligodendrozitoetan. (C, D) Dinaktinaren adierazpena eta kuantifikazio erlatiboa, kontrol eta 24 orduz 1 μ M-rekin tratatutako oligodendrozitoetan. (E) Dineinaren RT-qPCR analisia kontrol eta $A\beta$ 3 eta 24 orduz tratatutako oligodendrozitoetan. (F, G) Dineinaren adierazpena eta kuantifikazio erlatiboa, kontrol eta 24 orduz 1 μ M-rekin tratatutako oligodendrozitoetan. Datuek \pm S.E.M batez bestekoa adierazten dute, eta puntuak esperimentu independenteak adierazten dituzte, $p<0,01$ kontrol-zelulekin alderatuta. Esanahi estatistikoa bi isatseko Student t proba binakatuaren eta norabide bakarreko ANOVA eta Dunnett post hoc probaren bidez lortu zen.**

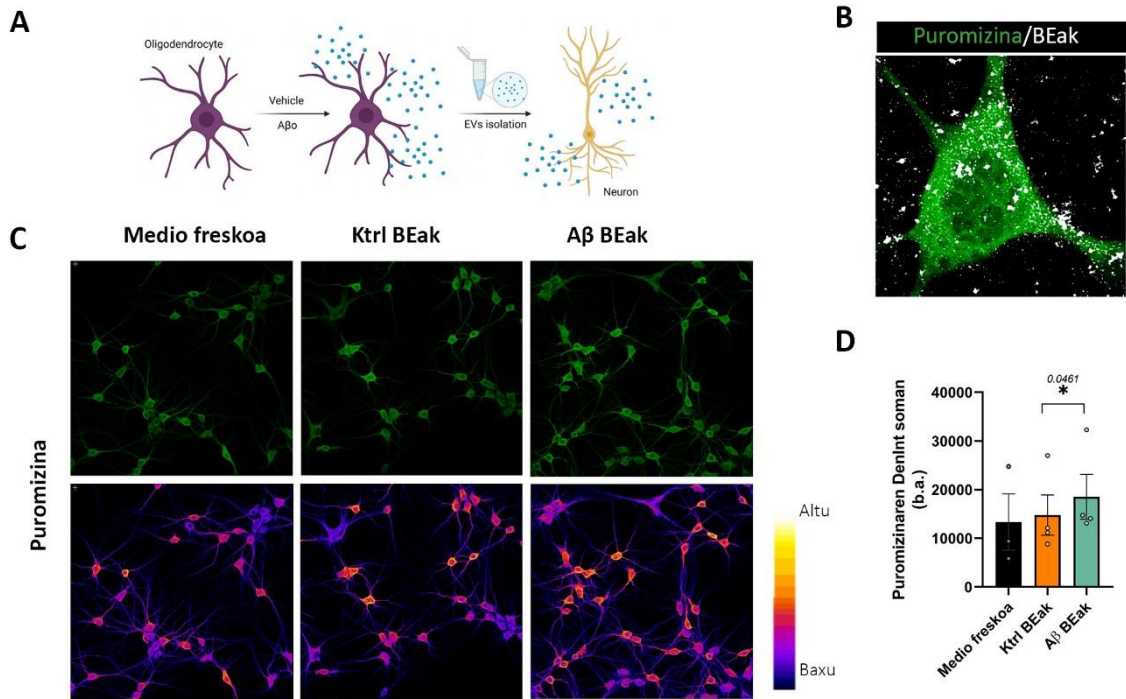
4.2 Oligodendrozitoen BEen eragina neuronetan

Hasieran, BEak molekula zaharkituak baztertzeko erabiltzen ziren besikulatzat hartu ziren, baina gero eta froga gehiagok iradokitzen dute BEek funtzio garrantzitsuak betetzen dituztela zelulen arteko komunikazioan. BEen jarioa $A\beta$ -ekin handitzen zela

ikusi genuenez, horiek neuronengan eraginik izan zezaketen galdetu genion geure buruari.

Deskribatu da oligodendrozitoetatik eratorritako BEek neurobabesa eman, homeostasi neuronala hobetu eta garraioa eta mantentze axonala errazten dutela (Frühbeis et al., 2020; Howitt & Hill, 2016). Beraz, gure buruari galdeitu genion ea baldintza patologikoetan oligodendrozitoetatik eratorritako BEk eraginik izan ote zezaketen funtzióneuronaletan. Aldez aurretik genituen datuen arabera, A β -rekin tratatutako astrozitoetatik eratorritako BErek neuronen neuritetako itzulpen globala areagotzen zutela ikusi genuen (Gamarrra et al., 2021) . Hortaz, ondoren, oligodendrozitoek eratorritako itzulpenari ere eragin ziezaioketen ikertu nahi genuen. Horretarako, neurona hipokanpal primarioak (10 EIV) medio freskoekin, kontrol- edo A β -rekin tratatutako oligodendrozitoetatik eratorritako BEekin 24 orduz tratatu ziren. Fixatu aurretik, zelulak puromizinarekin tratatu ziren 10 minutuz (**39A. irudia**).

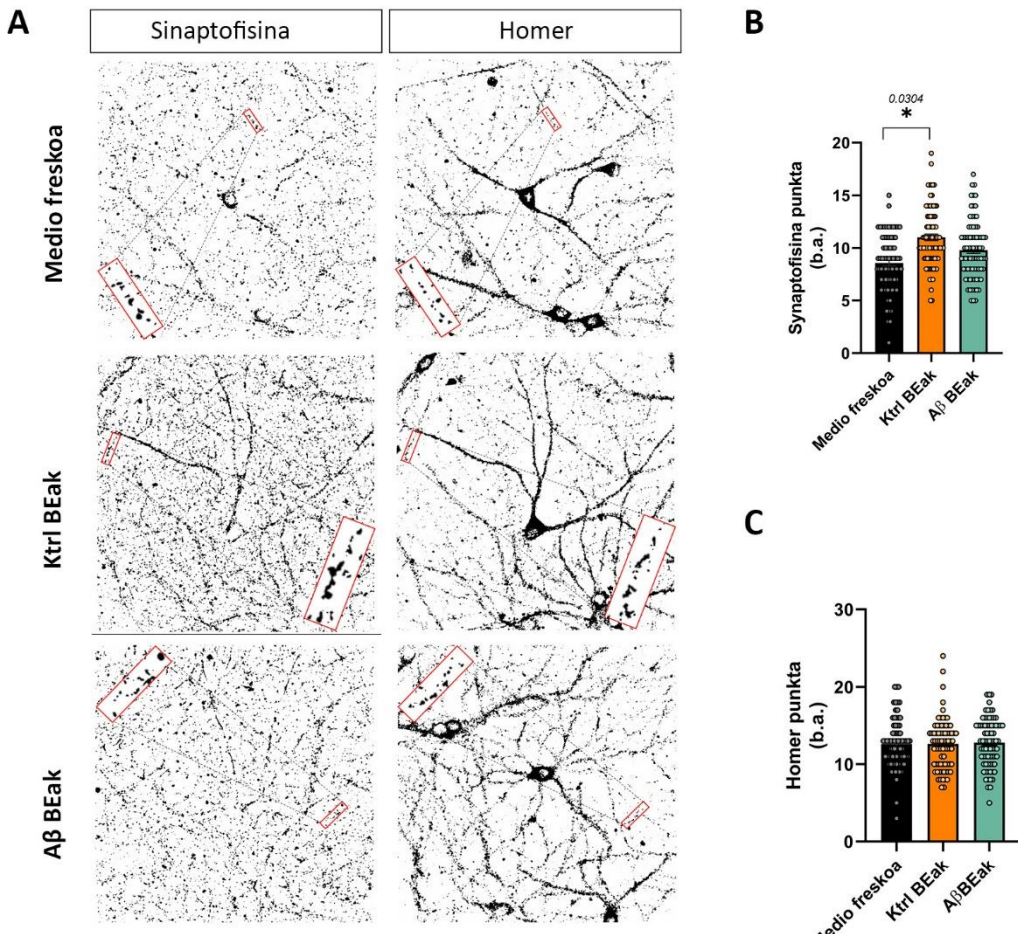
Lehenik eta behin, neuronak oligodendrozitoek askatutako BEak harrapatzeko gai ote ziren egiaztu nahi genuen. Horretarako, isolatutako BEak koloratzale batekin tindatu ziren, eta neuronen barruan eta kanpoan ikusi genituen soman eta prozesuetan (**39B. irudia**). Jarraian, immunofluoreszentzia-analisiak gauzatu ziren, eta A β -rekin tratatutako oligodendrozitoetatik isolatutako BErek itzulpena handitzen zutela ikusi genuen kontrolekin alderatuta, puromizinaren intentsitatea neuronen soman handitzen baitzen (medio freskoa 13.339 ± 5.797 ; kontrola 14.760 ± 4.135 ; A β 18.550 ± 4.596) (**39C, D irudia**).



39. irudia. A_β-tratatutako oligodenrozitoetaik erorritako BEak proteinen sintesia handitzen dute.
(A) Planteamendu esperimentalaren ilustrazioa. **(B)** Neuronen barruan puromizina (berdea) eta BE etiketatua (zuria) erakusten duten mikrografia adierazgarria. **(C)** Neurona hipokanpaletan puromizina (berdea eta pseudokolorea) erakusten duten mikrografia adierazgarriak, medio freskoarekin, Ktrl edo A_β-tratatutako Ol erorritako Berekin tratatuak. **(D)** Neuronen soman puromizinaren dentsitate integratuaren analisia. Datuek batez besteko S.E.M. adierazten dute, eta puntuak esperimentu independenteak adierazten dituzte, **p<0,05. Esanahi estatistikoa norabide bakarreko ANOVA eta Tukey post-hoc probaren bidez lortu zen.

Gero eta froga gehiagok egiaztatzen dute BEak baldintza fisiologiko eta patologikoetan jarduera sinapikoaren funtsezko modulatzaile gisa aritzen direla. Beraz, ostean, sinapsien kopurua handitu zezaketen frogatu nahi genuen. Aukera hori frogatzeko, neurona hipokanpal primarioetan (21 EIV) markatzaile pre-sinaptikoak eta postsinaptikoak kuantifikatu ziren. Ikusi genuen sinaptofisina proteina presinaptikoaren puntuak areagotuta zeudela kontrol-BEkin tratatutako neuritetan, aldiz beste baldintzetan ez zen aldaketarik ikusi (medio fresko 8,575±0,3205; kontrola 11,01±0,3083; A_β 9,808±0,3172) (**40A, B. irudia**). Ez zen aldaketarik ikusi homer markatzaile postsinaptikoan baldintza bakar batean ere (**40A, C. irudia**). Oro har, datuek iradokitzen dute oligodendrozitoetatik erorritako BErek sinapsiei eragiten dietela

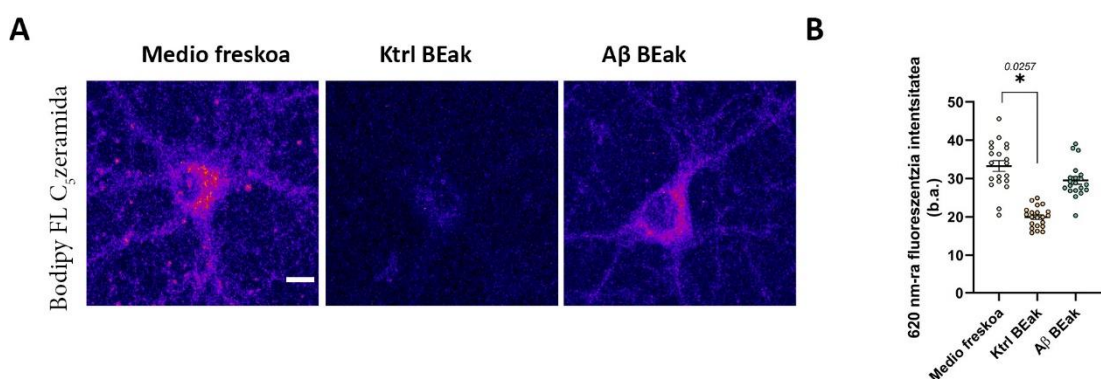
kontroleko oligodendrozitoek askatzen dituztenean, baina ez A β -rekin tratatutako oligodendrozitoek askatzen dituztenean.



40. irudia. Kontrol-oligodendrozitoetako BErek sinaptofisinaren adierazpena areagotzen dute neuronetan. (A) Sinaptofisina eta homer markatzale sinaptikoen mikrografia adierazgarriak neurona hipokanpaletan, medio freskoarekin, Ktrl edo A β -ekin tratatutako Oletatik isolatutako BErekin tratatuak. **(B)** Neuritetako sinaptofisina-puntuen kuantifikazioa adierazten duen histograma. **(C)** Neuritetan homer punkta kuantifikatzea adierazten duen histograma. Datuek batez besteko S.E.M. adierazten dute, eta puntuek zelula individualak edo esperimentu independenteak adierazten dituzte, *p<0.05. Esanahi estatistikoa bide bakarreko Nested ANOVA Tukey post-hoc probaren bidez lortu zen.

A β , proteina aitzindari amiloidearen (APP) prozesamendu proteolitiko intrazelularretik sortzen da. Duela gutxi egindako ikerketek agerian utzi dute, Golgiren-aparatura eta bide sekretorioa direla APP prozesatzeko eta A β ekoitzu eta jariatzeko toki nagusiak. Horrela,

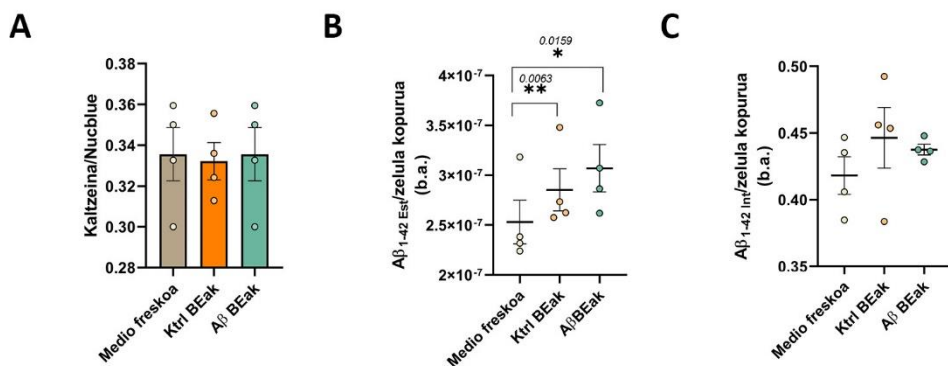
jarraian egiaztatu nahi izan genuen oligodendrozitoetatik eratorritako BEek exozitosia bultza zezaketen neuronetan. Horretarako, BODIPY FL C5-zeramida gehitu genien neurona kultiboei. Kontzentrazio handietan, BODIPY FL C5-zeramidak exzimeroak eratzen ditu, 620 nm-ra emititzuz, baina fluoreszentzia berdea du (515 nm) kontzentrazio baxuagoetan dagoenean (Pagano, Martin, Kang eta Haugland, 1991). Ezaugarri bakar horrek etiketatze gorri bizia eragiten du trans-Golgi sarean eta Golgi saretik eratorritako besikuletan. Mintz plasmatikoarekin bat egitean, BODIPY etiketa berehala desegiten da mintzean, eta, horren ondorioz, exzimeroak banandu egiten dira. Ondorioz, 620 nm-ko fluoreszentzia jaisten da. Gure emaitzetan, fluoreszentzia gorria murrizten zela ikusi genuen kontroleko oligodendrozitoetatik eratorritako BErekin tratatutako neuronetan, exozitosia areagotzen dutela iradokiz; aldiz, A β -ekin tratatutako oligodendrozitoetatik eratorritako BEkin edo medio freskoarekin tratatutako neuronek ez zuten inolako efekturik erakutsi (medio freskoa $37,16 \pm 2,75$; kontrol BEak $19,63 \pm 1,715$; A β BEak $29,51 \pm 2,434$) (**41A, B. irudia**).



41. irudia. Ktrl oligodendrozitoetatik eratorritako BEak exozitosia sustatzen dute neuronetan. (A), Neurona hipokanpaletan 620 nm-ko Bodipy (pseudokolorea) seinalea erakusten duten mikrografia adierazgarriak, medio freskoarekin, Ktrl edo A β -ekin tratatutako OLetatik isolatutako BErekin tratatuak. **(B)** Neuronen somako fluoreszentzia-intentsitatearen analisia. Datuek batezbestekoak adierazten dituzte, eta puntuek banakako esperimentuak adierazten dituzte. Eskala-barra, 10 μ m. Datuek batez besteko S.E.M. adierazten dute, eta puntuek zelula individualak adierazten dituzte, * $p < 0.05$. Esanahi estatistikoa bide bakarreko Nested ANOVA Tukey post-hoc probaren bidez lortu zen.

A β exosomala Rajendran eta kolaboradoreek (Rajendran et al., 2006) reportatu zuten lehen aldiz. Haiek, Suediako APP mutantea adierazten duten N2a zelulek A β jariatzen

zutela ikusi zuten. Oligodendrozitoen BEek Golgiren aparatutik eratorritako besikulak modulatzen dituztenez, eta aparatu horrek, aldi berean, BEren ekoizpena erregulatzen duenez, gure buruari galdegu genion ea BEek exozitosia alda zezaketen. Horretarako, A β etengabe sortzen duen N2a/APP^{swe} lerro zelularra erabili genuen eta medio freskoarekin, kontrol-edo A β -rekin tratatutako oligodendrozitotatik isolatutako BEekin tratatu ziren 24 orduz. Lehenengo, BEak neuronentzat toxikoak ote ziren aztertu genuen. Horretarako, bideragarritasun-saiakuntza bat egin zen, eta ez zen alderik ikusi aztertutako hiru baldintza esperimentalen artean (**42A. irudia**). Ondoren, ELISA bidez, A β_{1-42} maila estrazelularak neurtu ziren. Ikus zitekeenez, BErekin tratatutako neuronen medioan nabarmen handitzen zen A β_{1-42} maila medio freskoekin tratatutakoekin alderatuta (medio freskoa $2,30E-07 \pm 0,2194E-07$, kontrol BEak $2,853E-07 \pm 0,2113E-07$, A β BEak $3,070E-07 \pm 0,2372E-07$) (**42B. irudia**). Kontrol eta A β -tik eratorritako BEak alderatzean, goranzko joera ikusi genuen azkenengo honetan. Halaber, A β_{1-42} intrazelularra neurtzerakoan, ez genuen desberdintasun esanguratsurik aurkitu hiru talde esperimentalen artean (**42C. irudia**).



42. irudia. Oligodendrozitoen BEek A β_{1-42} sekrezioa handitzen dute N2a/APP^{swe} neuronetan. **(A)** Zelulen bideragarritasunaren kuantifikazioa hiru baldintzetan; medio freskoarekin, ktri edo A β -rekin tratatutako OLetatik isolatutako BErekin. **(B)** Sentikortasun handiko ELISArearen bidez A β_{1-42} estrazelulararen kuantifikazioa. **(C)** Sentikortasun handiko ELISArearen bidez A β_{1-42} intrazelulararen kuantifikazioa. Datuek batez besteko \pm S.E.M. adierazten dute, eta puntuak esperimentu independenteak adierazten dituztene, * $p < 0,05$, ** $p < 0,01$. Esanahi estatistikoa norabeko ANOVA eta, Tukey post-hoc probaren bidez lortu zen.

EZTABIDA

Gero eta proba gehiagok erakusten dute substantzia zuriaren endekapenak Alzheimer gaixotasunean duen garrantzia. Zenbait azterlanek adierazten dute mielinaren eta oligodendrozitoen aberrazioak lotuta daudela AG duten pazienteen garuneko A β peptidoaren mailen igoera bereizgarriarekin (Dean et al., 2017; Roher et al., 2002). AGn, oligodendrozitoen alterazioak narriadura neuronala baino lehen gertatzen dira, eta oligodendrozitoen galerak defizit kognitiboak eragin ditzakete (Behrendt et al., 2013; Zhan et al., 2014; Zhan et al., 2015). Gainera, duela gutxi amiloidosia duten sagu helduen garunean mielina lodiagoa izateaz gain, oligodendrogenesia ere handiagoa dela ikusi da. (Ferreira et al., 2020). Hala ere, OLak disfuntzional bihurtzeko eta hauek AGren patologia eragiteko mekanismoak ezezagunak dira. Tesi honetan, A β oligomeroek oligodendrozitoen biologian hainbat aspektu aldatzen dituztela deskribatu dugu.

1. A β -o-ekin tratatutako oligodendrozitoek energia eta kolesterol metabolismoa alterazioak erakusten dituzte

Azken urteotan analisi transkriptomiko ugari egin dira AG duten pazienteetan (Grubman et al., 2019; Mathys et al., 2019; Morabito et al., 2021; Zhou et al., 2020). Guztietan, oligodendrozitoek hainbat funtzioetan alterazioak erakutsi dituzte, hala nola mielinizazioan, jarduera neuronalaren detekzioan eta sistema immunearen funtzioan (Murdock & Tsai, 2023). Gainera, analisi transkriptomiko espazialek (Chen et al., 2020) frogatu dute, oligodendrozitoek erantzun transkriptomiko desberdina dutela plakaren inguruan. Horrek iradokitzen du, A β peptido disolbagarriak oligodendrozitoen erantzuna aldatzen duela gaixotasunean. Analisi horiekin bat eginez, 24 orduko A β oligomeroen tratamendua oligodendrozitoen transkriptoma alteratzen duela ikusi dugu.

Transkriptoma analisiak agerian utzi du gain-erregulatutako bide garrantzitsu asko mielinizazioarekin lotuta daudela, adibidez metabolismoa eta kolesterolaren biosintesia, hexosaren metabolismoa eta karbonoaren metabolismoa. Mielina, lipidoek osatzen dute batez ere (kolesterol, fosfolipidoak eta glikolipidoak). Kolesterol mielina-zorroetako lipido ugarienetako bat da, eta % 26 osatzen du. Azpimarratzeko da AG

esporadikoarekin lotutako arrisku-gene nagusiak, *APOE*, *TREM2*, *APOJ*, *PICALM*, *ABCA1* eta *ABCA7* zuzenean implikatuta daudela lipidoen trafikoan edo metabolismoa. Era berean, kolesterolaren metabolismoaren funtsezko erregulatzaile bat, *SREBP2*, ere dago genetikoki lotuta AG garatzeko arriskuarekin (Yin, 2022). Duela gutxi egindako azterlan baten arabera, ApoE-k, AGren arriskurik handienak, mielinizazioa hondatzen duela ikusi da kolesterolaren metabolismoa deserregulatuz oligodendrozitoetan (Blanchard et al., 2022). Gainera, garuneko kolesterolaren kontrolik gabeko sintesia AGren okerragotzearekin ere lotzen da (Barbero-Camps, Fernández, Martínez, Fernández-Checa eta Colell, 2013). Bestalde, hexosak glikano-iturriak dira, eta nerbio-sistemaren garapenean eta funtzioan bereziki garrantzitsuak diren itzulpen osteko aldaketetan implikatuta daude. Gainera, MOG eta MAG proteinak, mielina-zorroaren proteina garrantzitsuak direnak, glikosilatuta daude. Horri dagokionez, AG duten pazienteek glikosilazio profil anormala dutela ikusi da (Haukedal & Freude, 2021).

Ildo beretik, A β -ekin tratatutako oligodendrozitoetan gain-erregulatutako beste bide bat energia-metabolismoarekin lotuta dago. AG pazienteen garunen ezaugarri nagusiak honako hauek dira: glukosaren hipometabolismoa, disfuntzio mitokondriala, estres oxidatiboa eta dishomeostasi lipidikoa (Yin, 2022). Izan ere, lipidoekin lotutako anomaliah, Alois Alzheimerrek 1907an identifikatutako hasierako aurkikuntza neuropatologikoen artean daude (Alzheimer et al., 1995). OL garuneko homeostasi lipidikoa erregulatzeko funtsezkoa da, eta frogatu da glukolisia nahiago dutela fosforilazio oxidatiboa baino, energia-eskaera handiak dituzten arren (Rone et al., 2016). Disfuntzio mitokondrialaren ondorioz gertatzen den glukolisiaren alterazioak AGri laguntzen diola uste da (Zhang et al., 2020). Zentzu horretan, badirudi A β -k gantz-azidoen β -oxidazioa errazten duela eta aldiz, fosforilazio oxidatiboa eta elektroien garraio-katea azpi-erregulatzen dituela. Datu horiek erakusten dute oligodendrozitoek, metabolismoa aldatu behar dutela mitokondria-disfuntzioa dela eta. Izan ere, duela gutxiko proben arabera, disfuntzio mitokondrialak gantz azidoen β -oxidazioa bultzatzen duela ikusi da neuronetan (Audano et al., 2019). *In vivo* eta *in vitro* emaitzak alderatzean, emaitza kontrajarriak ikusi ditugu. Izan ere, *in vitro* A β -k fosforilazio oxidatiboa azpi-erregulatzen duela ikusi dugu, 3xTg-AG saguan gain-erregulatzen den bitartean. Emaitza

kontrajarri horiek oligodendrozitoetan A β oligomeroen eraginpean egondako denboragatik izan daitezke, *in vivo* kronikoa delako eta *in vitro* aldiz, akutuagoa.

Oro har, emaitza horiek iradokitzenten dute mielinizazio-prozesua A β -o-ekin bultzatzen dela. Aldi berean, badirudi A β -o-ek mitokondriak aldatzen dituela, ziurrenik disfuntzionalak bihurraraziz. Beraz, hurrengo hipotesia planteatzea posiblea da: homeostasi ezarri berriari aurre egiteko energia-eskaera handiagoa behar duten zelulak (energia-eskaera berriak dituztenak) gantz-azidoen β -oxidaziora aldatzen dira. Energia-metabolismoaren aldaketa horiek mielinizazioan eta axoien euskarri metabolikoan eragina izan dezakete.

2. A β -o-ekin tratatutako oligodendrozitoek hnRNP A2 eta RNAREN metabolismoan aldaketak erakusten dituzte

Alteratuta dagoen beste bidezidor nagusi bat mRNAREN metabolismoarekin erlazionatuta dago eta zehazki, *in vitro* eta *in vivo* oligodendrozitoetan gain-erregulatuta dagoela ikusi dugu. RNAREN lotzen diren proteinek RNAREN elkarreragiten dute RBP izeneko konplexuak sortuz. Hauek, RNAREN metabolismoko hainbat prozesuen funtzioak erregulatzen dituzte, hala nola *splicing*-a, transkripzioa eta itzulpenaren erregulazioa. AGn, RNAREN prozesamenduaren alterazioak, RBPn isoformen adierazpenean, kokapenean eta ugaritasun erlatiboan izandako aldaketen ondorioz sortzen dira, eta/edo erregulatzen dituzten geneen sekuentzian edo adierazpenean izandako mutazioen ondorioz (Rybak-Wolf & Plass, 2021). AG duten garuneko neuronetan RNA prozesatzeko alterazioak deskribatu berri dira (Rybak-Wolf & Plass, 2021). RBP ugarienen artean, hnRNP A/B erribonukleoproteina nuklear heterogeneoen familiako kideak daude, hnRNP A1 eta A2/B1. HnRNP A2k paper zentrala betetzen du RNAREN aurreko prozesamenduan eta mielinaren proteina garrantzitsuen garraioan eta itzulpenean, hala nola MBP eta MOBP. AG duten pazienteen kasuan, hnRNP A2 azpi-erregulatuta dago kortex entorrinalean (Berson et al., 2012), baina gain-erregulatuta dago hipokanpoan (Mizukami et al., 2005), AGan eskualdeko erantzun espezifikoak iradokiz. Are gehiago, hnRNP A2ren deplezioaren ondorioz, β -sekretasaren

(BACE1) isoforma aktiboago bat sortzen da, A β plaken metaketa sustatzen duena (Kolisnyk et al., 2017).

Gure azterlanean oligodendrozitoek hnRNP A2rako immunoerreaktibitate handia erakusten zutela ikusi genuen kontrol eta AG pazienteen hipokanpoko sekzioetan. Braak-en estadioak alderatzean, hnRNP A2 maila handiagoak ikusi genituen AG fase-goitziarreko kasuetan eta aldiz, AG larriko pazienteen mailak kontrol-mailetara jaisten ziren. Halaber, oligodendrozitoen hnRNP A2 mailak 6 eta 18 hilabeteko 3xTg-AG saguen hipokanpoan, bai eta A β -o-injektatutako saguen hipokanpoan ere neurtu genituen. HnRNP A2 adierazpen hipokanpala zehatz-mehatz aztertu zen, eta CA3 eta biraketa horzdunetan soilik igotzen ziren mailak. Datu hauen arabera, oligodendrozitoetan A β mendeko A2ren igoera iragankorra izan daiteke, ziurrenik konpentsazio-mekanismoen ondorioz.

hnRNP A2k funtzio ugari dituela uste den arren, NSZn duen papera ez da ondo ezagutzen. AGn hnRNPA2 proteinaren funtzio zitoplasmatikoak ez daude ezaugarritura, baina hnRNP A2k erregulatutako transkriptomaren deskripzioa eta funtzioaren ulermenaren beharrezkoak dira AGn duen eginkizuna ulertzeko. Lan honetan, frogatu dugu hnRNP A2 A β -o-ekin tratatutako oligodendrozitoen kultibo primarioetan handitzen dela. Gainera, bere interaktoma A β -o-rekin aldatzen dela deskribatuko dugu. Baldintza normaletan, hnRNP A2k RNAREN biologiarekin lotutako geneak erregulatzen zituela ikusi genuen, RNAREN metabolismoan, prozesamenduan eta *splicing*-ean, erribonukleoproteinen biogenesian eta itzulpenaren erregulazioan inplikatuta daudenak esaterako. Hala eta guztiz ere, A β -o-ek mRNAen erdia baino gehiagoren interakzioa ahuldu zuen. A2 eta hauek erregulatzen dituen RNAREN loturen murrizteak isoforma proteikoak sortzea edo atxikitako sekuentzia intronikoak dituen RNAREN *nonsense* bidezko deskonposizioa eragiten du (Thibault et al., 2021). Beraz, posiblea da pentsatzea hnRNP A2ren interakzioetan gertatzen diren aldaketak transkriptoman eta proteoma zelularrean eragin esanguratsuak izan ditzaketela.

HnRNP A2k itzulpena erregulatzen du, RNARI lotzeko jardueren bidez. Jakina da hnRNP A2k, AU-n (adenina eta urazilo) aberatsak diren elementuekin (AREk) bat egiten duela itzulpena erreprimitzeko edo mRNAREN degradazioa sustatzeko. Gainera, A2 erribosoman sartzeko barneko gunearren (IRES) faktore transaktibatzale gisa ezagutzen

da, cap-independentea den itzulpen mota errazten duena (Thibault et al., 2021). Beraz, A2-RNA lotura ahulago batek mRNAren itzulpena eta prozesamendua aldatu dezakeela pentsatzea posiblea da, eta aukera hori bat egiten du gure RNA-seq-eko emaitzakin. Beste aukera intrigagarri bat da hnRNP A2 beste RBP batzuekin bat egitea, RNAekin elkarreragiteko modua aldatuz.

Ioi metalikoen arteko loturan parte hartzen duten proteinak kodetzen dituzten RNAek interakzio handiagoa dute A β -o-ekin tratatutako oligodendrozitoetan. Ioi metalikoen homeostasia funtsezkoa da garuneko funtzio normalak mantentzeko. AG duten pazienteen kasuan, burmuineko ioi metalikoen oreka dinamikoan gertatzen diren aldaketek lotura estua dute A β eta tau proteinen metaketarekin. Gainera, frogatu da hnRNP A2-k kobrearen homeostasia modulatzen duela (McCann, Hasan, Padilla-Benavides, Roy, & Lutsenko, 2022). Hori dela eta, baliteke A β -o-k homeostasi ionikoa aldatzen ari izatea oligodendrozitoetan hnRNP A2 bidez.

Aipatzekoa da A2ren diana ugarien artean bere mRNA propioa dagoela (McGlincy et al., 2010). Dagoeneko deskribatu da hnRNP A2ren gainadierazpenak *Hnnnpa2* azpierregulatzen duela, NMDagatik. Mekanismoa hau geneen adierazpen normala erregulatzeko funtsezko da transkripto akastunak ezabatzen baititu. Duela gutxi Tauk NMDn defizitak eragiten dituela deskribatu da, burmuinean RNAen prozesamendua kaltetuz eta ondorioz, neurona-galera eraginez (Zuniga et al., 2022). Gure ikerketan, A β -o-n esposizioean zeuden oligodendrozitoek A2ren proteina- eta mRNA -maila handiagoak zituztela ikusi genuen. Halaber, hnRNP A2ren eta bere mRNAren arteko interakzioa ere ahultzen zela aztertu genuen, autoerregulazioaren galtzea iradokiz.

Hainbat probek erakusten dute burmuinetik eratorritako faktore neurotrofikoak (BDNF) hnRNP A2ren adierazpena gain-erregulatzen duela neuronetan (Jung et al., 2020). Oligodendrozitoetan, BDNFk Fyn aktibatzen du mielinizazioa sustatzeko (Peckham et al., 2016), eta, aldi berean, A β -o-k Fyn aktibatzen du oligodendrozitoen desberdintzapena sustatzeko (Quintela-López et al., 2019). Beraz, nahiz eta oligodendrozitoetan ez dagoen argi nola A β -o-k handitzen duen hnRNP A2-ren adierazpena, hainbat ekintza-modu (hipotesi) aurkez ditzakegu: lehenik eta behin, A β -o-k *Hnnnpa2* RNAren transkripzioa aktibatzen du. A β eta ITG β 1 hartzialearen arteko elkarreraginak Fyn kinasa aktibatzen du, transkripzio-faktoreak aktibatzen dituzten seinaleztapen-bide batzuk abiaraziz

(Peckham et al., 2016). Bigarrenik, A β -k MBParen sintesia sustatzen duenez, eta denbora-korrelazio bat dagoenez A2 granulu zitoplasmatikoen gorakada eta *Mbp*-ren mRNA maila gorenaren artean (Maggipinto et al., 2004), litekeena da pentsatzea oligodendrozitoek gain-erregulatzen dutela hnRNP A2, *Mbp*-ren mRNA igoerari aurre egiteko. Hirugarrenik, litekeena da A β -k NMDri nolabait kalte egitea, mRNAREN degradazioa murritzuz eta egonkortasuna areagotuz.

Oro har, datu hauek adierazten dute hnRNP A2ren gain-erregulazioa izan daitekela RNAREN metabolismoaren narriadura eragin dezakeena.

3. A β oligomeroek MBP eta MOBPren itzulpen lokala sustatzen dute RNA granuluen dinamika aldatuz

Mielinaren konpartimentuetako proteinen sintesi lokala espazioan eta denboran erregulatuta dago estimulazio neuronalari erantzunez, eta mielina berritzeko erreserba bat eskaintzen du. *Mbp* eta *Mobp* mRNAen kokapena, neurri handi batean, A2-rekin duen loturaren eta RNAREN garraio-granuluen eraketaren mende dago. Lehenago ere frogatu genuen A β -en kontzentrazio baxuek MBP sintesia sustatzen zutela (Quintela-López et al., 2019). Jakina da Fyn tirosina kinasak *Mbp* eta *Mobp*-en transkripzioa eta tokiko itzulpena sustatzen dituela oligodendrozitoen heltze-prozesua suspertuz (Krämer-Albers & White, 2011; Schäfer, Müller, Luhmann, & White, 2016; Umemori et al., 1999). Gainera, *in vitro* eta animalia-ereduetan, deskribatu da A β -ren diana bat, hain zuzen ere, Fyn dela (Boehm, 2013; Quintela-López et al., 2019). Fyn-ek hnRNP A2 eta hnRNP F granuluaren proteinak fosforilatzen ditu, *Mbp* eta *Mobp*-en itzulpena estimulatuz (Schafer, Muller, Luhmann, & White, 2016; White et al., 2008; White et al., 2012).

Azterlan honetan, A β -k *Mbp* eta *Mobp*-en itzulpen lokala sustatzen duela iradokitzen duen lehen ebidentzia aurkezten dugu, mRNA-granuluen kopurua eta dinamika aldatuz, hnRNP A2 erregulazioaren bidez. Aurretiko azterketek iradokitzen dute hnRNP A2 maila globala handitu egiten dela oligodendrozitoetan, MBP zelula positiboetan bereizten diren heinean, eta handitze hori nagusiki granulu gisa agertzen den hnRNP A2ren pool zitoplasmatikoa isolatzen dela (Maggipinto et al., 2004). Immunozitokimikako teknikak

erabiliz, A β o tratamenduaren ondoren hnRNP A2 eta F duten granuluen kopurua nabarmen handitzen zela ikusi genuen, baita granulu aktiboen (hnRNP K dutenak) kopurua ere. Iradoki izan da hnRNP E1 hnRNP K bidez trukatzea aurretiazko baldintza dela mRNA mielina-zorroan kokatzeko, edo itzulpena hasteko behar diren proteina-faktoreak biltzeko (Torvund-Jensen et al., 2014). Beraz, hnRNP K duten granulu gehiago izateak iradokiko luke granulu gehiago hurbiltzen ari direla azken helmugara, eta, beraz, itzultzen. Gainera, immunoprezipitazio-saiakuntzen bidez, A β o-ekin tratatutako zelulek, hnRNP A2 eta *Mbp/Mobp* mRNA arteko elkarreragina handiagoa eta hnRNP A2ren fosforilazio maila handiagoak erakutsi zituzten.

Sintetizatu berri diren MBP eta MOBP proteinak zuzenean bistaratzeko, berriki deskribatutako teknika bat erabili genuen, Puro-PLA izenekoa (tom Dieck et al., 2015). Aipatu behar da, nahiz eta bi proteinak oligodendrozitoen prozesu periferikoetan bertan produzitzen diren A β o-ri erantzunez, *Mbp* eta *Mobp*-ren itzulpen-igoeraren patroia desberdina dela. *Mbp*-ren tokiko itzulpena biziagoa da bai prozesu handietan bai meheetan, eta *Mobp*-ren sintesia, berriz, oligodendrozitoen prozesu handietan gertatzen da nagusiki. Hau bat dator aurrez deskribatutako MBP eta MOBPren sintesi diferentzialaren ereduarekin (Montague et al., 1998). Bitxia bada ere, Fyn kinasa batez ere mintz-zorroak zeharkatzen dituzten prozesu handienetan eta zain txikienetan hauteman daiteke (Osterhout, Wolven, Wolf, Resh, & Chao, 1999), eta horrek pentsarazten du hauek direla *Mbp* eta *Mobp*-en itzulpen-gune primarioak. Gure datuek agerian utzi dute A β o-ek espezifikoki igotzen dituztela MBP eta MOBP adierazpen-mailak, baina ez beste proteina batzuena.

Oro har, datu hauek adierazten dute A β o-k aldatu egiten duela proteinen sintesi lokala, RNA granuluen konposizioa eta dinamika aldatuz, Fyn-en bidez. Zehazki, A β oligomeroek aktibatutako Fyn kinasak *Mbp* eta *Mobp*-en itzulpen lokala eragingo luke hnRNP A2ren fosforilazioaren bidez, mRNA-granuluak dauden konpartimentu guzietan. Era berean, *Hnrnpa2*, *Mpb* eta *Mobp*-en transkripzioa ere eragingo luke.

4. MBP and MOBP gain-erregulatuta daude 3xTg-AG sagu helduan

Alzheimer gaixotasuna faktore anitzeko asaldura neurodegeneratiboa da, eta proteína-diana batzuk ditu, etiologia areagotzen dutenak. AG imitatzeko eta haren ezaugarri patologikoak hobeto ulertzeko hainbat animalia-eredu erabili dira. Hala ere, horietako bat ez da gai izan ezaugarri guztiak biltzeko. 3xTg-AG sagua aurrerapen handia izan da AGren ikerketan, gizakien AG gogorarazten duten patroi eta garun-eskualdeetan plaka amiloideak eta haril neurofibrillarrak garatzen baitituzte. Era berean, eredu honek A β -ren metaketa estrazelularrak garatzen ditu harilik eratu aurretik, eta hori bat dator kaskada amiloidearen hipotesiarekin.

Gure aurreko datuek erakutsi zuten MBPk gora egiten zuela gorputz kailukaran, eta hipokanpoan, 12 eta 18 hilabeteko 3xTg-AG saguetan, axoietan kalte nabarmenik gabe (Quintela-López, 2018). Lan honetan, oligodendrozito helduen (MOG, MBP eta MOBP) markatzaileen adierazpena aztertu genuen, 6 hilabeteko 3xTg-AD saguen hipokanpoan, AGn kaltetutako lehenengo eremuetako bat baita. Hemen, MBP eta MOBP adierazpenen gorakada nabarmena ikusi genuen, gure *in vitro* aurkikuntzakin bat datozenak. Era berean, azterlan batek erakutsi zuen MBParen gain-erregulazioa 2 hilabeteko APP/PS1 sagu transgenikoen hipokanpoan (Wu et al., 2017). Gainera, ikusi genuen MBParen adierazpena handitu egin zelan baita ere 6 hilabeteko 3xTg-AG saguen mielinan aberastutako frakzioetan. Bitxia bada ere, MBParen ekoizpenak modulatu egiten du SZren plastikotasuna, mielina-zorroen lodiera erregulatzik ikuskuntzak eragindako jarduera neuronalari erantzuteko (Martini eta Schachner, 1997). Gure datuek adierazten dute MBP eta MOBPren gain-erregulazioa patologiaren hasierako faseetan gertatzen dela, kalte axonalaren aurretik, eta, seguru asko, AGrekin erlazionatutako substantzia zuriaren aldaketa primarioekin lotuta dagoela.

Hipotetikoki, mielinaren proteinetan gertatzen diren aldaketa horien aurretik, AGrekin lotutako mekanismo fisiopatológicoak daude. Hala ere, baliteke garuneko kaltea konpentsatzeko erantzuna ere izatea. Sagu-eredu honetan, desmielinizazioa hauteman da eremu espezifikoetan, hala nola hipokanpoan eta kortex entorrinalean, 6 hilabetetan (Desai et al., 2009; Vanzulli et al., 2020). Hipotesi hori erabat baztertu ezin dugun arren,

ebidentzia sendoek adierazten dute A β peptidoaren jarduerak eragin ditzakeela AG sagu-ereduan ikusitako leinu oligodendroglialeko aldaketak.

Alde horretatik, 3xTg-AG eta APP/PS1 sagu transgenikoetan substantzia zuriaren anomaliak jakinarazi dira, zelula bRNAeko A β maila handiekin korrelazioan daudenak, plaka eta harien patologiaren agerpenaren aurretik (Desai et al., 2010; Wirths et al., 2006). Era berean, aldez aurretik jakinarazi genuen korrelazio positiboa zegoela 18 hilabeteko sagu transgenikoen hipokanpoko MBPren gain-erregulazioaren eta A β mailaren artean (Quintela-López, 2018). Gainera, MBP eta MOBPren sintesian aldaketak hauteman genituen, A β -ren oligomero kopuru handiak eta amiloide plaka gutxi daudenean, eta Tau-ren aldi bereko patologia-zantzurik ikusten ez denean (Oddo et al., 2006). Are interesgarriago, Desaik eta haren kolaboradoreek CC1+ zelula helduen igoera deskribatu zuten 3xTg-AG-ko hipokanpoan. Zelula horien mailak gutxitzen ziren A β 1-42-ren kontrako intragorputzaren injekzioaren bidez Horrek adierazten zuen A β -k eragin zuena zuela oligodendrozitoen biziraupenean edo desberdintzapenean (Desai et al., 2010). Gainera, duela gutxi frogatu da APP/PS1 saguetan mielinaren sintesia areagotuta dagoela (Chen et al., 2021). Horrek iradokitzen du oligodendrozitoek A β -ri erantzuten diotela mielina-proteina gehiago sintetizatz, eta hori babes-mekanismo bat izan liteke. Oro har, emaitzek adierazten dute sagua transgeniko hirukoitzaren ereduan hautemandako oligodendrozitoen bereizketaren narriadura A β oligomeroek eragiten dutela nagusiki.

Sagu hirukoitz transgenikoek hiru mutazio dituzte: giza tau mutatua (htauP301L), giza proteina aitzindari amiloidea, mutazio suediarra duena (hAPPswe) eta gizakien presenilina mutatua (hPS1M146V). hAPPswe eta htauP301L transgene mutanteak neuronetan soilik adierazten dira; hPS1M146V, berriz, nonahi adieraz daiteke, baita oligodendrozitoetan ere. PS1 γ -sekretasa konplexuaren osagai katalitikoa da, batez ere APParen prozesamendu amiloidogenikoan duen paperagatik ezaguna (Scheuner et al., 1996). Aurreko azterketek ere deskribatu dute γ -secretasa oligodendrozitoen heltze-prozesuan implikatuta dagoela, baina emaitza kontraesankorrak jakinarazi dira oligodendrozitoen zelula primarioetan eta neuronekin batera egindako kultiboetan (Lai eta Feng, 2004; Watkins et al., 2008). Gainera, frogatu da AGren aldaketa genetiko horrek handitu egiten duela oligodendrozitoen zaurgarritasuna AGrekin lotutako

zenbait efektuekin, A β barne (Pak et al., 2003; Desai et al., 2011). Alde horretatik, gure emaitzak bat dato APP/PS1 saguetako oligodendrozitoen leinuekin egindako behaketekin (Behrendt et al., 2013; Wu et al., 2017). Eredu horretan, bi mutazioak neuronetan soilik adierazten dira, eta horrek PS1 mutazioen ondorio zuzenak oligodednrozitoetan baztertzeari laguntzen dio. Beraz, ebidentziek iradokitzen dute A β -rekin lotutako efektuak oligodendrozitoei eragiten dietela, PS1 mutazioaren adierazpena edozein dela ere, nahiz eta PS1 mutazioak A β -ren efektuak areagotu ditzakeen.

5. MBP gainadierazpenak kaltzioaren sarrera inhibitu eta proteinen sintesia sustatzen du

Deskribatu da MBParen gain-erregulazioak VGCCak inhibitzen dituela, eta, ondorioz, murriztu egiten dela oligodendrozitoetan kaltzioaren sarrera (Smith et al., 2011). Mintz-kanalen bidezko Ca²⁺-aren sarrera funtsezko da hazkunde, heltzea eta plastikotasun funtzionala erregulatzen duten seinaleen transdukzio-bideetan. Gainera, zelula barneko kaltzio-maila handitzeak MBParen sintesia sustatzen du oligodendrozitoetan (Friess et al., 2016). Hemen, A β -o-k zelularen kaltzio-sarrera inhibitzen duela frogatu dugu; gainera, MBPa azpi-erregulatuta dagoenean kaltzio-sarrera hori hein handi batean berreskuratzen dela ikusi dugu. Halaber, A β -o-k kaltzioaren sarrera inhibitzen duela ikusi dugu hipokanpoko kultibo organotipikoetako oligodendrozitoetan. Kaltzioaren sarrerak MBParen sintesia estimulatzen duenez eta, aldi berean, MBPk kaltzioaren sarrera inhibitzen duenez, gure emaitzek autorregulazio-mekanismo bat iradoki lezakete, non MBPk VGCCak inhibitzen dituen bere sintesia erregulatzeko. Mintzean MBParen metatzeak mintzean dagoen VGCC kopurua inhibitu edo murriztuko luke, lehenago esan bezala (Smith et al., 2011), eta, hala, kanal horien bidez kaltzioa sarrerari eragingo lioke.

Hala ere, MBP murriztu ondoren kaltzioaren maila guztiz berreskuratzen ez denez, ondoriozta dezakegu A β -o-k kaltzioaren sarrera inhibi dezakeela mekanismo gehigarrien bidez. Lehenago deskribatu den bezala (Quintela-López et al., 2019), A β -o-ek Ca²⁺-en maila basalak handitu egiten dituzte oligodendrozitoetan, erretikulu endoplasmaticoan dauden rianodina-hartzailleen bidez. Beraz, litekeena da A β -o-ek hasieran kaltzioaren

sarrera erraztea zelula barneko erreserbetatik, rianodina-hartzaileen bidez, kaltzio zitosolikoaren maila handitza ekarriz. Zelula barneko Ca²⁺ maila handitzeak eragina izan lezake oligodendrozitoek zelulaz kanpoko erantzunen aurrean duten kitzikagarritasunean. Emaitza horiek bat datoaz azterlan batekin. Azterlan horren arabera, AG duten sagu-burmuinek, kronikoki A β oligomero eta fibrilen eraginpean egonda, kaltzio geldiaren maila handitu egiten dute, aldi berean zelulaz kanpoko kaltzioa eta zelula barneko kaltzioa moteltzeko sistemak deserregulatu egiten direlako (Kuchibhotla et al., 2008). Beraz, 3xTg-AG saguen hipokanpoan MBParen maila handitzen dela ikusi dugunez, litekeena da pentsatzea kaltzioaren homeostasiari ere eragin diezaiokeela *in vivo* MBParen metaketa aberranteak. Oro har, ikusi dugu A β peptidoak ezegonkortu egiten duela kaltzioaren homeostasia. Horren ondorioz, oligodendrozitoak kaltzioaren zelula-barneko mailak igotzen dituzten ingurumen-estimuluekiko hain sentikorrik ez diren zelula bihurtuko lituzke.

Proteinen metatze aberrantea asaldura neurodegeneratiboen ezaugarri komuna da, eta horren arrazoia izan daitezke proteinen sintesia handitza, egonkortasuna areagotzea edo degradazioa gutxitzea. Ikusi genuenez A β -o-k MBP eta MOPBen sintesia handitzen zuela, A β ok prozesu horretan eragin globalik izan ote lezakeen galdetu genion geure buruari. A β -ri erantzunez kultibatutako oligodendrozitoetako *de novo* proteinen sintesia aztertu genuen. Proteinen sintesia zuzenean monitorizatzeko, SUnSET sainakuntza erabili genuen (Schmidt, Clavarino, Ceppi, & Pierre, 2009), puromizina erabiltzen duena mRNA *in vitro* itzulpen-tasa zuzenean islatzeko. Aldez aurretik egindako azterketek frogatu dutenez, A β ₁₋₄₂-ko dosi subtoxicoek handitu egiten dute proteinen itzulpena neuronetan (Gamarra, Txurrejola, Batista, Imaz, & Baleriola, 2020; Ghosh et al., 2020; Li & Gotz, 2017; Schmidt et al., 2009; Westmark et al., 2011). Alde horretatik, frogatuko dugu A β -o-k proteina-sintesi orokorra handitzen duela MBPk parte hartzen duen bide batetik. Gure emaitzen arabera, nabarmen handitu zen MBP eta A β -ren mendeko proteinen sintesi orokorra, eta galdu egiten zen MBP isilaraztean. Gainera, 3xTg-AG saguen oligodendrozitoetan proteinen sintesia nabarmen handitzen zela erakutsi genuen, hipokanpo ebaketa akutuetan, non aldez aurretik MBP gain-erregulatuta ageri den. Bitxia bada ere, MBPak erribosomaren 40S eta 60S azpiunitateen proteinekin elkarreagiten du (Smirnova et al., 2021), eta, beraz, MBPak berak ere

erregulatu dezake itzulpena. Beraz, baliteke MBPk bi azpiunitateen ainguratze gisa jokatzea, horrela itzulpena sustatzu.

6. A β oligomeroek oligodendrozitoen morfologia aldatzen dute aktina zitoeskeletoaren berrantolaketaren bidez

Aktina-zitoeskeletoa kritikoa da zelula-morfologiari eta zelula-prozesu askori eusteko, bereizketa eta mielinizazioa barne (Brown & Macklin, 2019). NSZren garapenean, OPCak pozesu-sare bat zabaltzeaz arduratzen dira axoiekin harremanetan jartzeko eta mielinizazioari ekiteko. Ekintza horretan, ezinbestekoa da zitoeskeletoaren dinamika, eta mielinaren sintesian nahiz konponketan gertatzen den edozein aldaketak neuroendekapenezko gaixotasunak eragiten ditu, hala nola AG. Gainera, Hirano gorputzak, aktina duten zelula barneko inklusioak eta aktinari lotutako proteinak, garunak AGrekin duen ezaugarri nabarmena dira (Mitake, Ojika, & Hirano, 1997).

Lan honetan frogatu dugu oligodendrozitoek aktinaren dinamika aldatzen dutela A β -ri erantzunez. Zehazki, erakutsi dugu A β bidezko tratamendu akantuak kofilinaren fosforilazioa (aktinarekin lotzeko proteina gakoa) eragiten duela eta F-aktinaren maila handitzen duela. Era berean, A β -rekin tratatutako neurona primarioetan egindako azterketek frogatu zuten Rac1 eta Cdc42 aktibatzeak (Mend-Naranjo, González Billault, & Maccioni, 2007) eta kofilinaren fosforilazioak (Rush et al., 2018) F-aktinaren kontzentrazioa handitza dakartela. Bitxia bada ere, MBPk bat egiten du F-aktinarekin 1:1 proportzioan eta F-aktinaren harizpi sorta ordenatuak eratzea eragiten du (Baryko & Dobrowolski, 1984). Gure lanak erakutsi zuen aktinaren polimerizazio-tasa nabarmen handitzen zela, A β -ri erantzunez, 3 EIvtan kultibatutako oligodendrozitoetan, eta ez 2 EIvtan. Izan ere, baliteke zelulak oraindik behar bezala desberdinduta ez egotea eta F-aktinaren proteina despolimerizatzaleak askatzeko behar adina MBP ez izatea.

Hortik abiatuta, AGko oligodendrozitoen aktina-polimerizazioan parte hartzen duten mekanismoei buruzko zenbait hipotesi sor daitezke. Honako eszenatoki hau iradokitzen dugu: oligodendrozitoak A β -rekin estimulatzeak Rac1 aktibatzea eragiten du, aurrez deskribatu den bezala (Manterola et al., 2013; Mend-Naranjo et al., 2007), ziur aski Fyn-en bidez (Elaquint-López et al., 2019). Horrek kofilinaren fosforilazioa eta F-aktina maila

aldi baterako handitzea ekartzen du. Ondorengo etapetan, MBP aktina-despolimerizazioko proteinekin (gelsolina eta kofilina) lehiatuko litzateke, PI(4,5)P₂ mintz-lipidoari lotzeagatik (Zuchero et al., 2015). Beraz, A β o bidez MBP gain-erregulazioak proteina despolimerizatzale horiek gehiago askatza eragin lezake, eta, hala, polimerizazioa handitu eta, ondorioz, prozesuaren dinamika handitu. Oro har, ondoriozta dezakegu A β o-k aktinaren dinamika bultzatzen duela, F-aktina handituz eta adarkatza sustatuz, oligodendrozitoen morfologia azken instantzian gobernatuz.

F-aktina oligodendrozitoen aurreko ertzean kokatzen da mielina-zorroan, eta, horren ondorioz, zitoplasma hedatu egiten da, aurreko mielina-zorroen azpitik eta zorro horien eta axoiaren artean, eta, hala, mintza eratzen da axoiaren inguruan. F-aktina berehala despolimerizatzen da, eta mielina aurreko ertzaren atzean trinkotzen uzten du. RNAseq analisian A β bidezko tratamenduaren ondoren aktinarekin lotutako bideetan parte hartzen duten proteinen mRNAk alteratuta identifikatu genituen. Gainera, jakinarazi genuen mielinaren lodiera handitu egiten zela 6, 12 eta 18 hilabeteko 3xTg-AG saguen gorputz kailukarian (Quintela-López, 2018) eta 6 hilabeteko 3xTg-AG saguen hipokanpoan. Garrantzitsua da nabarmentzea amiloidosia mielina lodiago batekin lotu dela (Ferreira et al., 2020). Beraz, mielinaren loditza azaltzen duen mekanismo posible bat F-aktinaren polimerizazio-indarrak handitzearen ondorio izan daiteke, zeinak kanporantz bultzatzen dituen axoiaren eta mielina-zorroaren artean estutzen diren mintzaren protuberantziak. Ondoren, F-aktinaren desmuntatzea gertatzen da MBParen igoeraren ondorioz, horrek MBP aurkitzen den leku espezifikoetan desmuntatzeko aukera ematen baitio. Hala ere, aurrez ikusi genuen zuntz hipermielinizatuek abiadura gutxiagoz gidatzen dutela, eta horrek axoiaren eroapenerako kaltegarria izan daitekeela iradokitzen du. Oro har, deskribatutako mekanismoa defentsa-mekanismo bat izan liteke, denborarekin neuronarentzat kaltegarria bihurtu daietekena.

7. A β oligomeroek mielinizazioa bultzatzen dute *in vivo*

Gero eta ikerketa gehiagok sostengatzen dute mielinak jasandako kaltea AGren osagai garrantzitsua dela, eta mielinaren narriadurak disfuntzio neuronala eta defizit kognitiboa eragiten dituela iradoki da. Hala ere, ez dago definituta A β o-k mielinizazioa

in vivo modulatu dezakeen. Azken urteotan, zebra-arraina oligodendrozitoen biologia eta *in vivo* mielinizazioa aztertzeko eredu egoki bihurtu da.

A β -k mielinizazioan duen eragina aztertu genuen, zebra-arrainak erabiliz. Azterketa honetan frogatu genuen A β -k handitu egiten zuela oligodendrozito bakoitzeko zorro kopurua. Zehazki, *Mbp* bizkarrezur-muinaren bizkarraldean metatzen zela ikusi genuen, eta horrek iradokitzen du A β -k oligodendrozitoen migrazioa sustatzen duela. Gainera, erakutsi genuen *Myrf*, mielina-proteinen transkripzio-faktore gakoa, azpiadierazten dela A β -rekin injektatutako zebra-arrainean. Azpimarratu behar da oligodendrozitoak heldu ahala murritztu egiten dutela haien transkripzio-jarduera. Hala, A β -k *Myrf* mailan eragindako gutxitzeak oligodendrozitoen differentiazioa handitu lezake. Alde horretatik, *Plp1*, NSZren mielinan proteina ugarienetako bat, ere handitzen zen. Horren ondorioz, bizkarrezur-muinaren bizkarraldean axoi mielinizatuak ugaritu egin zirela erakutsiko dugu, baita Mauthnerren zelularen mielina lodiagoa izan ere. Mauthnerren zelulak arrainen ihes-jokabideetan parte hartzen duten bi neurona errestikuloespinal dira, funtsezkoak direnak bizirauteko. Aurreko datuen arabera, A β -rekin injektatutako zebra-arrainek ibilgailuarekin injektatutako animaliek baino eraginkortasun txikiagoa dute kontrako estimuluak saihesteko (Nery et al., 2014). Beraz, A β -rekin injektatutako zebra-arrainean behatutako hipermielinizazio aberranteak portaera-aldaaketak eragin ditzake. Oro har, emaitza horiek iradokitzen dute A β -k *in vivo* mielinizazioa aldatzen duela.

8. A β oligomeroek besikula estrazelularren askapena sustatzen dute eta hauek ondorio funtzionalak dituzte neuronetan

Neuronak bezala, oligodendrozitoak ere gai dira jarduera neuronalak eragindako besikula estrazelularrak jariatzeko. Aurreko probek adierazten dute oligodendrozitoak gai direla mielina-proteinak duten BEak askatzeko, hala nola PLP, CNP eta MBP (Krämer-Albers et al., 2007). Neuronek endozitu egiten dituzte besikula horiek, neurobabesa eta homeostasi neuronalak hobetzen baituzte (Kramer-Albers, 2020). Gainera, BE oligodendroglialek ere modulatu dezakete oligodendrozitoen desberdintzea eta mielinaren eratzea (Bakhti, Winter eta Simons, 2011). Jatorrizko zelulak paketatutako

kargak garaiatzeko BEek duten gaitasuna dela eta, gaixotasun neurologikoen patogenesian duten zeregina gero eta garrantzitsuagoa da. Hala ere, orain arte ez da ikerketarik egin A β -rekin tratatutako oligodendrozitoek askatutako BEek AGn garapenean eraginik duten jakiteko.

Beraz, A β -k oligodendrozitoek BEen askapena alda zezaketen eta BEek funtzi neuronalei eragin diezaieketen ikertza proposatu genuen. Gure analisiak erakutsi zuen A β -k handitu egiten zuela EBen askapena. Gainera, oligodendrozitoen BEek MBP zuten. Oligodendrozitoetan MBP handitzeak bere funtziari eragiten ziola ikusten dugunez, horien BEn barruko MBP jariatzeak alboko zelulei ere (batez ere neuronei) eragin diezaiekeen aztertu genuen. Aurretiko emaitzen arabera, A β -rekin tratatutako astrozitoen ondoriozko BEek handitu egiten dute neuritetako proteinen sintesia (Gamarra et al., 2021). Era berean, A β -rekin tratatutako oligodendrozitoetatik eratorritako BEek handitu egiten zuten neuronen somako itzulpena. Hori ez da berria, lehenago frogatu baita exosoma oligodendroglialek gene-adierazpen neuronala aldatzten dutela (Frohlich et al., 2014).

Proteinen, lipidoen eta azido nukleikoen transferentzia horizontalaren bidez, BEek azkar modulatu dezakete jarduera sinaptikoa, neurotransmisoreen askapena kontrolatuz edo, pixkanaka, plastikotasun neuronala erregulatuz, sinapsiaren eraketa bRNAe. Hortaz, oligodendrozitoek sinapsian duten eragina aztertu genuen jarraian. BEek ez zuten aldaketa esanguratsurik eragin homer markatzaile postsinaptikoan, baina bai nabarmen handitu zela sinaptofisina markatzaile presinaptikoa kontrol-oligodendrozitoetatik eratorritako BEekin tratatzerakoan. Uste da proteina presinaptikoen galera dela gizakien AGn gertatzen den aldaketa goiztiarrenetako bat (eta klinikoki esanguratsuenetako bat), eta txosten batzuen arabera, aldaketa postsinaptiko zabalen aurrelik gertatzen da. Gainera, sinaptofisinaren gainadierazpenak neurotransmisoreen jariaketa handitzen duela ikusi da (Alder, Kanki, Valtorta, Greengard eta Poo, 1995). Beraz, emaitza horiek adieraz lezakete oligodendrozitoek neurotransmisoreak askatzea bultzatzen dutela, neuronen erantzuna aldatuz, ingurune patologiko batean inhibitzen dena.

Oletik eratorritako VEek neurotransmisoreen jarioari eragin ziezaiokeela frogatu genuenez, ondoren exozitosia oligodendrozitoei erantzuteko modu gisa handitu ote

zezaketen zehazten saiatu ginen. Exozitosia ikertzeko, BEekin estimulatu ondoren, neuronei esfingomielinaren eta BODIPY FL C5-zeramidaren aitzindariak aplikatu genien. Kontzentrazio handietan, BODIPY FL C5-zeramidak exzimeroak eratzen ditu, 620 nm-ko gehienezko emisioarekin, baina fluoreszentzia berdea (515 nm) igortzen du kontzentrazio txikienetan. Propietate bakar horrek etiketa gorri bizia eragiten die trans-Golgi sareari eta Golgitik eratorritako besikulei. EBak mintz plasmatikoarekin fusionatu ondoren, BODIPY etiketa berehala disipatzen da mintzean, eta, ondorioz, exzimeroen disoziazioa eragiten du. Horren ondorioz, fluoreszentziaren intentsitatea 620 nm-ra handitzen da. Medio freskoarekin tratatutako neuronetan eta A β -OLetik eratorritako BEtan inkubazioaren ondoren BODIPY-zeramida asko metatzen zela ikusi genuen, baina kontrol-OLetik eratorritako BEkin berriz gutxitzen zen. Horrek aditzera ematen du oligodendrozitoen BEk exozitosia areagotu egiten dutela baldintza fisiologikoetan, segur aski elkar komunikatzeko bitarteko gisa. BODIPY-zeramida Golgiren besikula-sarean metatzen da, eta, aldi berean, A β_{1-42} trans-golgi sarean sortzen da, eta besikuletan paketatzen da. Beraz, BODIPY-zeramidaren metaketan aldaketak ikusi genituenez, oligodendrozitoek neuronen A β_{1-42} jariaketa eragin zezaketen aztertu genuen. Espero genuena ez bezala, A β - eta kontrol-oligodendrozitoetik eratorritako BEek nabarmen estimulatzen zuten A β_{1-42} jarioa ingurumen estrazelularra. BE oligodendroglialek A β -ren jariaketan eragiten dutela aurkitzeak ikuspegi mekanizista bat ematen du, non BE oligodendrozitarioek A β plakak sortzen lagun dezaketela erakusten duena.

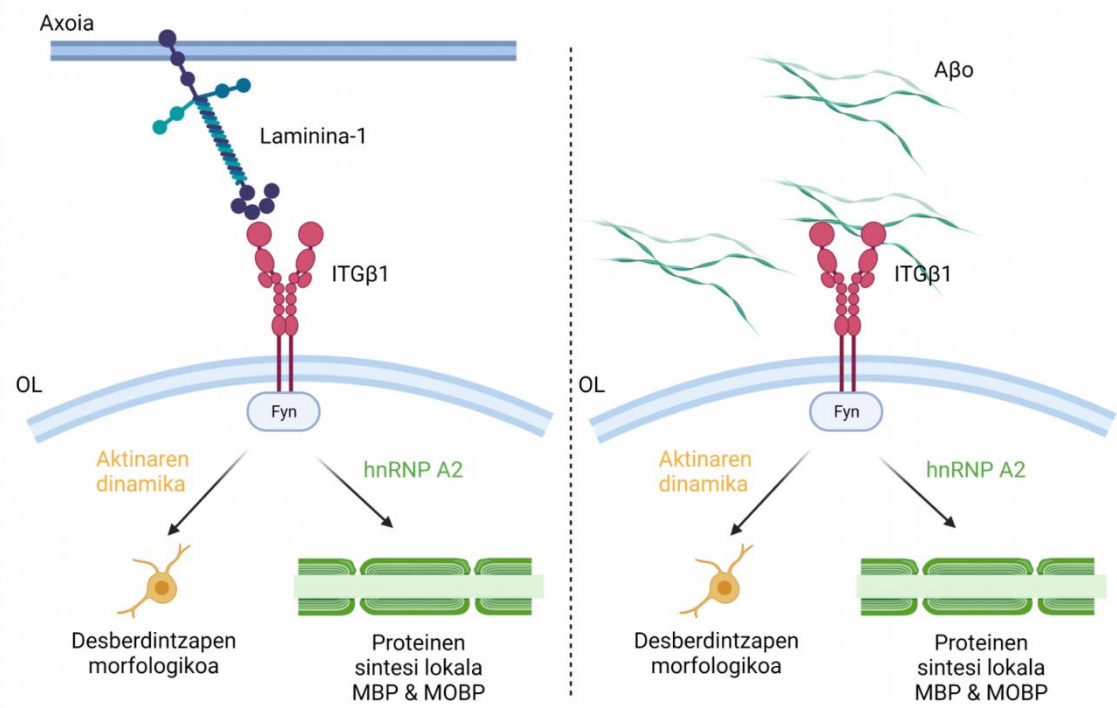
Oro har, emaitza horiek iradokitzen dute A β -rekin tratatutako oligodendrozitoetik eratorritako exosomek eragina dutela A β -ren itzulpenean, sinapsian eta jariaketan. Interesgarria litzateke aztertzea nola eragiten dieten exosoma oligodendrozitarioek aipatutako funtziei.

9. Azken oharrak

Orokorean, tesi honetan jasotako datuek A β -k oligodendrozitoen funtziotan duen eraginari buruzko ezagutza sakonagoa ematen dute. Oligodendrozitoen funtzi fisiologikoak erregulatzeko ardatz gisa deskribatu dugu MBP, eta hori nola areagotu

daitekeen AGn deskribatu dugu. Gure datuek iradokitzen dutenez, A β -k axoian dagoen laminina-1 hartzalea mimetizatzen jardun lezake (ITG β 1-ekin bat egiten baitu); hala, mielinizazioa sustatuko luke, eta, seguruenik, leinu oligodendrogliala oligodendrozito helduagoetara aldatuko litzateke eta baita morfologian eragina izan ere (**43. irudia**). Heltze-aldeketa horrek OPCen kopurua murriztu lezake, lehenago AGn ereduetan ikusi den bezala (Chacon-De-La-Rocha et al., 2020; Vanzulli et al., 2020), eta oligodendrozito helduen iturria galtza ekar lezake. Hala ere, OPCen funtzoak ez dira oligodendrogenesira mugatzen; izan ere, duela gutxi oligonendrozitoen eginkizuna berri bat deskribatu da, non saguetako zirkuituak birmoldatzean dituzten sinapsiak irensketaren bidez (Auguste et al., 2022). Gainera, gure laborategiaren azken azterketek berretsi egiten dute hipotesi hori. Izan ere, 3xTg-AG saguetan eta A β -ren injekzioak jaso zituzten WT animalietan oligodendrozito helduen populazio handiagoa erakusten baitute, eta, ondorioz, oligodendrozito heldugabeen populazio txikiagoa (Balantzategi et al., 2021). Beraz, pentsa liteke leinuaren dinamikan gertatzen diren aldaketa horiek burmuina maniobragarritasun gutxiagorekin utz dezaketela desmielinizazioari erantzuteko, eta, horrekin batera, OPCen funtzioen galera, garuneko homeostasian ondorioak dituena. Gainera, mielinaren zenbait proteinaren sintesia handitzeak eta arrestian deskribatutako degradazioa gutxitzeak oligodendrozitoaren proteostasia alda lezakete, eta horrek eragina izan dezake neuronekiko komunikazioan.

Diziiplina anitzeko azterketa honek agerian uzten du leinu oligodendrozitoko zelulek gutxietsitako inplikazioa dutela AGren fisiopatologian. Beraz, emaitza hauek iradokitzen dute A β o-k oligodendrozitoetan eta mielinan aktibatutako seinale-bideetara jotzea estrategia terapeutikoa izan daitekeela oroimenaren errendimendua hobetzeko, AGren lehenengo faseetan, progresio neuregeneratiboari prebenitzeko, edo, gutxienez, moteltzeko.

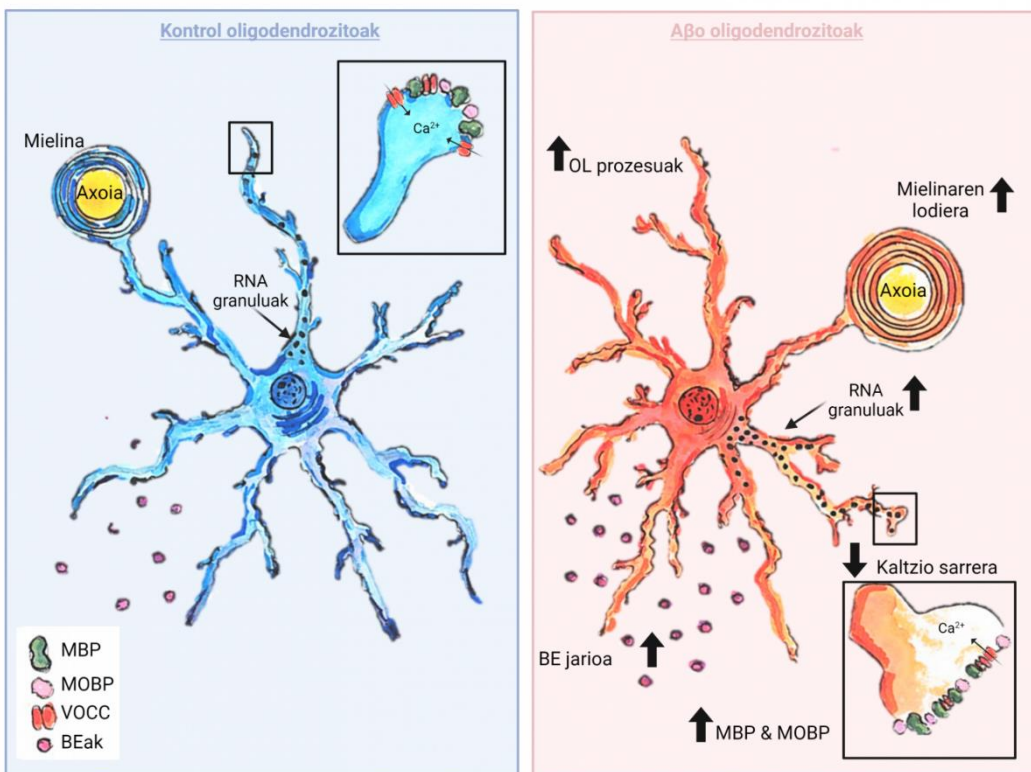


43. irudia. A β o-ek aktibatzen duten bidea eta ondorioak erakusten dituen eskema.

ONDORIOAK

1. A β oligomeroek aldaketak sustatzen dituzte RNAREN metabolismoan, RNARI lotzen diren proteinak aldatuz.
2. AG duten pazienteek hnRNP A2 adierazpena handitura dute oligodendrozitoetan, etapa goiziarretan.
3. A β oligomeroek hnRNP A2 gain-erregulatzen dute, eta haren interaktoma aldatzen dute.
4. A β oligomeroek MBP eta MOBPren itzulpen lokala eragiten dute, mRNA granuluen kopurua eta dinamika modulatuz.
5. MBParen gainadierazpenak kaltzioaren sarrera inhibitzen du eta proteinen itzulpena sustatzen du.
6. A β oligomeroek aldatu egiten dute zebra-arrainaren oligodendrozitoen mielinizazioa eta heltzea.
7. A β oligomeroek aktinaren dinamika aldatzen dute, eta haren adarkadurak sustatzen dute.
8. A β oligomeroek besikula estrazelularren jarioa handitzen dute, eta horiek eragina dute funtzió neuronaletan.

Oro har, doktorego-tesian jasotako emaitzen arabera, A β oligomeroek transkriptomika eta proteomika alda ditzakete oligodendrozitoetan, eta, beraz, funtzió oligodendrogial garrantzitsuak modulatu, hala nola RNAREN metabolismoa, proteinen itzulpena eta kaltzioaren homeostasia. Efektu horiek Alzheimer gaixotasunaren sorreran eta progresioan eragin dezakete.



44. irudia. A_βo-en eragina laburbiltzen duen eskema.

ERREFERENTZIAK

- Aber, E. R., Griffey, C. J., Davies, T., Li, A. M., Yang, Y. J., Croce, K. R., et al. (2022). Oligodendroglial macroautophagy is essential for myelin sheath turnover to prevent neurodegeneration and death. *Cell Reports*, 41(3), 111480. doi:S2211-1247(22)01330-4
- Afshari, F. S., Chu, A. K., & Sato-Bigbee, C. (2001). Effect of cyclic AMP on the expression of myelin basic protein species and myelin proteolipid protein in committed oligodendrocytes: Differential involvement of the transcription factor CREB. *Journal of Neuroscience Research*, 66(1), 37-45. doi:10.1002/jnr.1195
- Ainger, K., Avossa, D., Morgan, F., Hill, S. J., Barry, C., Barbarese, E., et al. (1993). Transport and localization of exogenous myelin basic protein mRNA microinjected into oligodendrocytes. *The Journal of Cell Biology*, 123(2), 431-441. doi:94012987 [pii]
- Alder, J., Kanki, H., Valtorta, F., Greengard, P., & Poo, M. M. (1995). Overexpression of synaptophysin enhances neurotransmitter secretion at xenopus neuromuscular synapses. *The Journal of Neuroscience*, 15(1), 511-519. doi:10.1523/JNEUROSCI.15-01-00511.1995
- Almeida, R. G. (2018). The rules of attraction in central nervous system myelination. *Frontiers in Cellular Neuroscience*, 12, 367. doi:10.3389/fncel.2018.00367 [doi]
- Alzheimer, A., Stelzmann, R. A., Schnitzlein, H. N., & Murtagh, F. R. (1995). An english translation of alzheimer's 1907 paper, "über eine eigenartige erkankung der hirnrinde". *Clinical Anatomy* (New York, N.Y.), 8(6), 429-431. doi:10.1002/ca.980080612
- Amata, I., Maffei, M., & Pons, M. (2014). Phosphorylation of unique domains of src family kinases. *Frontiers in Genetics*, 5, 181. doi:10.3389/fgene.2014.00181 [doi]
- Anders, S., Pyl, P. T., & Huber, W. (2015). HTSeq--a python framework to work with high-throughput sequencing data. *Bioinformatics* (Oxford, England), 31(2), 166-169. doi:10.1093/bioinformatics/btu638
- Audano, M., Pedretti, S., Crestani, M., Caruso, D., De Fabiani, E., & Mitro, N. (2019). Mitochondrial dysfunction increases fatty acid beta-oxidation and translates into

impaired neuroblast maturation. *FEBS Letters*, 593(22), 3173-3189. doi:10.1002/1873-3468.13584

Bakhti, M., Aggarwal, S., & Simons, M. (2014). Myelin architecture: Zippering membranes tightly together. *Cellular and Molecular Life Sciences: CMLS*, 71(7), 1265-1277. doi:10.1007/s00018-013-1492-0

Bakhti, M., Winter, C., & Simons, M. (2011). Inhibition of myelin membrane sheath formation by oligodendrocyte-derived exosome-like vesicles. *The Journal of Biological Chemistry*, 286(1), 787-796. doi:10.1074/jbc.M110.190009

Balantzategi, U., Quintela-Lopez, T., Gaminde-Blasco, A., Hernandez, N., Zugaza, J. L., Matute, C., Ruiz, A., Alberdi, E. (2021). The role of A β oligomers in the myelin regulatory factor MYRF regulation and oligodendrocyte differentiation. *Glia*, meeting abstract.

Balderrama-Gutierrez, G., Liang, H., Rezaie, N., Carvalho, K., Forner, S., Matheos, D., Rebboah, E., Green, K.N., Tenner, A.J., LaFerla, F., & Mortazavi, A. Single-cell and nucleus RNA-seq in a mouse model of AD reveal activation of distinct glial subpopulations in the presence of plaques and tangles. (2021). *bioRxiv*. doi: 10.1101/2021.09.29.462436

Bamburg, J. R. (1999). Proteins of the ADF/cofilin family: Essential regulators of actin dynamics. *Annual Review of Cell and Developmental Biology*, 15, 185-230. doi:10.1146/annurev.cellbio.15.1.185

Banker, G., & Goslin, K. (1988). Developments in neuronal cell culture. *Nature*, 336(6195), 185-186. doi:10.1038/336185a0 [doi]

Barbero-Camps, E., Fernandez, A., Martinez, L., Fernandez-Checa, J. C., & Colell, A. (2013). APP/PS1 mice overexpressing SREBP-2 exhibit combined abeta accumulation and tau pathology underlying Alzheimer's disease. *Human Molecular Genetics*, 22(17), 3460-3476. doi:10.1093/hmg/ddt201

Bartzokis, G. (2011). Alzheimer's disease as homeostatic responses to age-related myelin breakdown. *Neurobiology of Aging*, 32(8), 1341-1371. doi:10.1016/j.neurobiolaging.2009.08.007

Bartzokis, G., Cummings, J. L., Sultzer, D., Henderson, V. W., Nuechterlein, K. H., & Mintz, J. (2003). White matter structural integrity in healthy aging adults and patients with Alzheimer disease: A magnetic resonance imaging study. *Archives of Neurology*, 60(3), 393-398. doi:10.1001/archneur.60.3.393

Bartzokis, G., Lu, P. H., Geschwind, D. H., Edwards, N., Mintz, J., & Cummings, J. L. (2006). Apolipoprotein E genotype and age-related myelin breakdown in healthy individuals: Implications for cognitive decline and dementia. *Archives of General Psychiatry*, 63(1), 63-72. doi:10.1001/archpsyc.63.1.63

Bartzokis, G., Lu, P. H., Geschwind, D. H., Tingus, K., Huang, D., Mendez, M. F., et al. (2007). Apolipoprotein E affects both myelin breakdown and cognition: Implications for age-related trajectories of decline into dementia. *Biological Psychiatry*, 62(12), 1380-1387. doi:10.1016/j.biopsych.2007.03.024

Baryko, B., & Dobrowolski, Z. (1984). Ca²⁺-calmodulin-dependent regulation of F-actin-myelin basic protein interaction. *European Journal of Cell Biology*, 35(2), 327-335.

Bauer, N. M., Moos, C., van Horssen, J., Witte, M., van der Valk, P., Altenhein, B., et al. (2012). Myelin basic protein synthesis is regulated by small non-coding RNA 715. *EMBO Reports*, 13(9), 827-834. doi:10.1038/embor.2012.97

Baumann, N., & Pham-Dinh, D. (2001). Biology of oligodendrocyte and myelin in the mammalian central nervous system. *Physiological Reviews*, 81(2), 871-927. doi:10.1152/physrev.2001.81.2.871

Bechler, M. E., Byrne, L., & Ffrench-Constant, C. (2015). CNS myelin sheath lengths are an intrinsic property of oligodendrocytes. *Current Biology: CB*, 25(18), 2411-2416. doi:S0960-9822(15)00890-8

Behar, L., Marx, R., Sadot, E., Barg, J., & Ginzburg, I. (1995). Cis-acting signals and trans-acting proteins are involved in tau mRNA targeting into neurites of differentiating neuronal cells. *International Journal of Developmental Neuroscience: The Official Journal of the International Society for Developmental Neuroscience*, 13(2), 113-127. doi:10.1016/0736-5748(95)00001-w

- Behrendt, G., Baer, K., Buffo, A., Curtis, M. A., Faull, R. L., Rees, M. I., et al. (2013). Dynamic changes in myelin aberrations and oligodendrocyte generation in chronic amyloidosis in mice and men. *Glia*, 61(2), 273-286. doi:10.1002/glia.22432
- Bernstein, B. W., & Bamburg, J. R. (2010). ADF/cofilin: A functional node in cell biology. *Trends in Cell Biology*, 20(4), 187-195. doi:10.1016/j.tcb.2010.01.001
- Berson, A., Barbash, S., Shaltiel, G., Goll, Y., Hanin, G., Greenberg, D. S., et al. (2012). Cholinergic-associated loss of hnRNP-A/B in Alzheimer's disease impairs cortical splicing and cognitive function in mice. *EMBO Molecular Medicine*, 4(8), 730-742. doi:10.1002/emmm.201100995
- Blanchard, J. W., Akay, L. A., Davila-Velderrain, J., von Maydell, D., Mathys, H., Davidson, S. M., et al. (2022). APOE4 impairs myelination via cholesterol dysregulation in oligodendrocytes. *Nature*, 611(7937), 769-779. doi:10.1038/s41586-022-05439-w
- Boehm, J. (2013). A 'danse macabre': Tau and fyn in STEP with amyloid beta to facilitate induction of synaptic depression and excitotoxicity. *The European Journal of Neuroscience*, 37(12), 1925-1930. doi:10.1111/ejn.12251
- Boggs, J. M. (2006). Myelin basic protein: A multifunctional protein. *Cellular and Molecular Life Sciences: CMLS*, 63(17), 1945-1961. doi:10.1007/s00018-006-6094-7
- Borit, A., & McIntosh, G. C. (1981). Myelin basic protein and glial fibrillary acidic protein in human fetal brain. *Neuropathology and Applied Neurobiology*, 7(4), 279-287. doi:10.1111/j.1365-2990.1981.tb00099.x
- Braak, H., & Braak, E. (1995). Staging of Alzheimer's disease-related neurofibrillary changes. *Neurobiology of Aging*, 16(3), 271-284. doi:10.1016/0197-4580(95)00021-6
- Brown, T. L., & Macklin, W. B. (2019). The actin cytoskeleton in myelinating cells. *Neurochemical Research*, 10.1007/s11064-0. doi:10.1007/s11064-019-02753-0
- Canedo-Antelo, M., Serrano, M. P., Manterola, A., Ruiz, A., Llavero, F., Mato, S., et al. (2018). Inhibition of casein kinase 2 protects oligodendrocytes from excitotoxicity by attenuating JNK/p53 signalling cascade. *Frontiers in Molecular Neuroscience*, 11, 333. doi:10.3389/fnmol.2018.00333

Carson, J. H., Worboys, K., Ainger, K., & Barbarese, E. (1997). Translocation of myelin basic protein mRNA in oligodendrocytes requires microtubules and kinesin. *Cell Motility and the Cytoskeleton*, 38(4), 318-328. doi:10.1002/(SICI)1097-0169

Chacon-De-La-Rocha, I., Fryatt, G., Rivera, A. D., Verkhratsky, A., Raineteau, O., Gomez-Nicola, D., et al. (2020). Accelerated dystrophy and decay of oligodendrocyte precursor cells in the APP/PS1 model of Alzheimer's-like pathology. *Frontiers in Cellular Neuroscience*, 14, 575082. doi:10.3389/fncel.2020.575082

Chamberlain, K. A., Huang, N., Xie, Y., LiCausi, F., Li, S., Li, Y., et al. (2021). Oligodendrocytes enhance axonal energy metabolism by deacetylation of mitochondrial proteins through transcellular delivery of SIRT2. *Neuron*, 109(21), 3456-3472.e8. doi:10.1016/j.neuron.2021.08.011

Chen, J., Liu, K., Hu, B., Li, R., Xin, W., Chen, H., et al. (2021). Enhancing myelin renewal reverses cognitive dysfunction in a murine model of Alzheimer's disease. *Neuron*, 109(14), 2292-2307.e5. doi:10.1016/j.neuron.2021.05.012

Chen, W., Lu, A., Craessaerts, K., Pavie, B., Sala Frigerio, C., Corthout, N., et al. (2020). Spatial transcriptomics and in situ sequencing to study Alzheimer's disease. *Cell*, 182(4), 976-991.e19. doi:10.1016/j.cell.2020.06.038

Chen, Y., Balasubramaniyan, V., Peng, J., Hurlock, E. C., Tallquist, M., Li, J., et al. (2007). Isolation and culture of rat and mouse oligodendrocyte precursor cells. *Nature Protocols*, 2(5), 1044-1051. doi:10.1038/nprot.2007.149

Chia, L. S., Thompson, J. E., & Moscarello, M. A. (1984). X-ray diffraction evidence for myelin disorder in brain from humans with Alzheimer's disease. *Biochimica Et Biophysica Acta*, 775(3), 308-312. doi:0005-2736(84)90185-8

Colman, D. R., Kreibich, G., Frey, A. B., & Sabatini, D. D. (1982). Synthesis and incorporation of myelin polypeptides into CNS myelin. *The Journal of Cell Biology*, 95(2 Pt 1), 598-608. doi:10.1083/jcb.95.2.598

Crotty, P., Sangrey, T., & Levy, W. B. (2006). Metabolic energy cost of action potential velocity. *Journal of Neurophysiology*, 96(3), 1237-1246. doi:10.1152/jn.01204.2005

Czopka, T., Ffrench-Constant, C., & Lyons, D. A. (2013). Individual oligodendrocytes have only a few hours in which to generate new myelin sheaths *in vivo*. *Developmental Cell*, 25(6), 599-609. doi:S1534-5807(13)00287-6

Dahlgren, K. N., Manelli, A. M., Stine, W. B., Baker, L. K., Krafft, G. A., & LaDu, M. J. (2002). Oligomeric and fibrillar species of amyloid-beta peptides differentially affect neuronal viability. *The Journal of Biological Chemistry*, 277(35), 32046-32053. doi:10.1074/jbc.M201750200

Damoiseaux, J. S., Smith, S. M., Witter, M. P., Sanz-Arigita, E. J., Barkhof, F., Scheltens, P., et al. (2009). White matter tract integrity in aging and Alzheimer's disease. *Human Brain Mapping*, 30(4), 1051-1059. doi:10.1002/hbm.20563

de la Fuente, A. G., Queiroz, R. M. L., Ghosh, T., McMullan, C. E., Cubillos, J. F., Bergles, D. E., et al. (2020). Changes in the oligodendrocyte progenitor cell proteome with ageing. *Molecular & Cellular Proteomics*, 19(8), 1281-1302. doi:10.1074/mcp.RA120.002102

de la Monte, S. M. (1989). Quantitation of cerebral atrophy in preclinical and end-stage Alzheimer's disease. *Annals of Neurology*, 25(5), 450-459. doi:10.1002/ana.410250506

Dean, D. C., Hurley, S. A., Kecskemeti, S. R., O'Grady, J. P., Canda, C., Davenport-Sis, N. J., et al. (2017). Association of amyloid pathology with myelin alteration in preclinical Alzheimer disease. *JAMA Neurology*, 74(1), 41-49. doi:10.1001/jamaneurol.2016.3232

Desai, M. K., Mastrangelo, M. A., Ryan, D. A., Sudol, K. L., Narrow, W. C., & Bowers, W. J. (2010). Early oligodendrocyte/myelin pathology in Alzheimer's disease mice constitutes a novel therapeutic target. *The American Journal of Pathology*, 177(3), 1422-1435. doi:10.2353/ajpath.2010.100087

Desai, M. K., Sudol, K. L., Janelsins, M. C., Mastrangelo, M. A., Frazer, M. E., & Bowers, W. J. (2009). Triple-transgenic Alzheimer's disease mice exhibit region-specific abnormalities in brain myelination patterns prior to appearance of amyloid and tau pathology. *Glia*, 57(1), 54-65. doi:10.1002/glia.20734

Dobin, A., Davis, C. A., Schlesinger, F., Drenkow, J., Zaleski, C., Jha, S., et al. (2013). STAR: Ultrafast universal RNA-seq aligner. *Bioinformatics (Oxford, England)*, 29(1), 15-21. doi:10.1093/bioinformatics/bts635

- Domingues, H. S., Cruz, A., Chan, J. R., Relvas, J. B., Rubinstein, B., & Pinto, I. M. (2018). Mechanical plasticity during oligodendrocyte differentiation and myelination. *Glia*, 66(1), 5-14. doi:10.1002/glia.23206
- Elbaz, B., & Popko, B. (2019). Molecular control of oligodendrocyte development. *Trends in Neurosciences*, 42(4), 263-277. doi:S0166-2236(19)30002-5
- Ferreira, S., Pitman, K. A., Wang, S., Summers, B. S., Bye, N., Young, K. M., et al. (2020). Amyloidosis is associated with thicker myelin and increased oligodendrogenesis in the adult mouse brain. *Journal of Neuroscience Research*, 98(10), 1905-1932. doi:10.1002/jnr.24672
- Fessel, J. (2022). Reversing Alzheimer's disease dementia with clemastine, fingolimod, or rolipram, plus anti-amyloid therapy. *Alzheimer's & Dementia: Translational Research & Clinical Interventions*, 8(1), e12242. doi:10.1002/trc2.12242
- Fields, R. D. (2008). White matter in learning, cognition and psychiatric disorders. *Trends in Neurosciences*, 31(7), 361-370. doi:10.1016/j.tins.2008.04.001
- Fields, R. D. (2015). A new mechanism of nervous system plasticity: Activity-dependent myelination. *Nature Reviews. Neuroscience*, 16(12), 756-767. doi:10.1038/nrn4023
- Fornasiero, E. F., Mandad, S., Wildhagen, H., Alevra, M., Rammner, B., Keihani, S., et al. (2018). Precisely measured protein lifetimes in the mouse brain reveal differences across tissues and subcellular fractions. *Nature Communications*, 9(1), 4230. doi:10.1038/s41467-018-06519-0
- Friess, M., Hammann, J., Unichenko, P., Luhmann, H. J., White, R., & Kirischuk, S. (2016). Intracellular ion signalling influences myelin basic protein synthesis in oligodendrocyte precursor cells. *Cell Calcium*, 60(5), 322-330. doi:10.1016/j.ceca.2016.06.009
- Fröhlich, D., Kuo, W. P., Frühbeis, C., Sun, J., Zehendner, C. M., Luhmann, H. J., et al. (1983). Research. Research, 369(1652), 20130510. Retrieved from <https://www.ncbi.nlm.nih.gov/pmc/articles/PMC4142031/>
- Frohlich, D., Kuo, W. P., Frühbeis, C., Sun, J., Zehendner, C. M., Luhmann, H. J., et al. (2014). Multifaceted effects of oligodendroglial EVs on neurons: Impact on neuronal

firing rate, signal transduction and gene regulation. *Philosophical Transactions of the Royal Society of London. Series B, Biological Sciences*, 369(1652), 20130510. doi: 10.1098/rstb.2013.0510. doi:10.1098/rstb.2013.0510

Fröhbeis, C., Kuo-Elsner, W. P., Müller, C., Barth, K., Peris, L., Tenzer, S., et al. (2020). Oligodendrocytes support axonal transport and maintenance via exosome secretion. *PLoS Biology*, 18(12), e3000621. doi:10.1371/journal.pbio.3000621

Fruhbeis, C., Kuo-Elsner, W. P., Muller, C., Barth, K., Peris, L., Tenzer, S., et al. (2020). Oligodendrocytes support axonal transport and maintenance via exosome secretion. *PLoS Biology*, 18(12), e3000621. doi:10.1371/journal.pbio.3000621

Frykman, S., Teranishi, Y., Hur, J., Sandebring, A., Yamamoto, N. G., Ancarcrona, M., et al. (2012). Identification of two novel synaptic gamma-secretase associated proteins that affect amyloid beta-peptide levels without altering notch processing. *Neurochemistry International*, 61(1), 108-118. doi:10.1016/j.neuint.2012.03.016

Gamarra, M., Gonzalez, E., Azkargorta, M., Falcon, J. M., Elortza, F., & Baleriola, J. (2021). Astrocyte-derived extracellular vesicles modulate local translation in neurons. Paper presented at the Glia, 69. pp. E295-E296.

Gamarra, M., Blanco-Urrejola, M., Batista, A. F. R., Imaz, J., & Baleriola, J. (2020). Object-based analyses in FIJI/ImageJ to measure local RNA translation sites in neurites in response to Abeta1-42 oligomers. *Frontiers in Neuroscience*, 14, 547. doi:10.3389/fnins.2020.00547

Garnier-Crussard, A., Bougacha, S., Wirth, M., Dautricourt, S., Sherif, S., Landeau, B., et al. (2022). White matter hyperintensity topography in Alzheimer's disease and links to cognition. *Alzheimer's & Dementia: The Journal of the Alzheimer's Association*, 18(3), 422-433. doi:10.1002/alz.12410

Ghosh, A., Mizuno, K., Tiwari, S. S., Proitsi, P., Gomez Perez-Nievas, B., Glennon, E., et al. (2020). Alzheimer's disease-related dysregulation of mRNA translation causes key pathological features with ageing. *Translational Psychiatry*, 10(1), 192-7. doi:10.1038/s41398-020-00882-7

Grubman, A., Chew, G., Ouyang, J. F., Sun, G., Choo, X. Y., McLean, C., et al. (2019). A single-cell atlas of entorhinal cortex from individuals with Alzheimer's disease reveals cell-type-specific gene expression regulation. *Nature Neuroscience*, 22(12), 2087-2097. doi:10.1038/s41593-019-0539-4

Han, S. P., Tang, Y. H., & Smith, R. (2010). Functional diversity of the hnRNPs: Past, present and perspectives. *The Biochemical Journal*, 430(3), 379-392. doi:10.1042/BJ20100396

Harauz, G., & Boggs, J. M. (2013). Myelin management by the 18.5-kDa and 21.5-kDa classic myelin basic protein isoforms. *Journal of Neurochemistry*, 125(3), 334-361. doi:10.1111/jnc.12195

Harauz, G., Ladizhansky, V., & Boggs, J. M. (2009). Structural polymorphism and multifunctionality of myelin basic protein. *Biochemistry*, 48(34), 8094-8104. doi:10.1021/bi901005f

Harauz, G., & Musse, A. A. (2007). A tale of two citrullines--structural and functional aspects of myelin basic protein deimination in health and disease. *Neurochemical Research*, 32(2), 137-158. doi:10.1007/s11064-006-9108-9

Hardy, J. A., & Higgins, G. A. (1992). Alzheimer's disease: The amyloid cascade hypothesis. *Science (New York, N.Y.)*, 256(5054), 184-185. doi:10.1126/science.1566067

Hartline, D. K. (2008). What is myelin? *Neuron Glia Biology*, 4(2), 153-163. doi:10.1017/S1740925X09990263

Haukedal, H., & Freude, K. K. (2021). Implications of glycosylation in Alzheimer's disease. *Frontiers in Neuroscience*, 14, 625348. doi:10.3389/fnins.2020.625348

Hector, A., & Brouillette, J. (2021). Hyperactivity induced by soluble amyloid-beta oligomers in the early stages of Alzheimer's disease. *Frontiers in Molecular Neuroscience*, 13, 600084. doi:10.3389/fnmol.2020.600084

Herbert, A. L., Fu, M., Drerup, C. M., Gray, R. S., Harty, B. L., Ackerman, S. D., et al. (2017). Dynein/dynactin is necessary for anterograde transport of mbp mRNA in oligodendrocytes and for myelination *in vivo*. *Proceedings of the National Academy of*

Sciences of the United States of America, 114(43), E9153-E9162.
doi:10.1073/pnas.1711088114

Hirschfeld, L. R., Risacher, S. L., Nho, K., & Saykin, A. J. (2022). Myelin repair in Alzheimer's disease: A review of biological pathways and potential therapeutics. *Translational Neurodegeneration*, 11(1), 47. doi:10.1186/s40035-022-00321-1

Hoch-Kraft, P., White, R., Tenzer, S., Krämer-Albers, E., Trotter, J., & Gonsior, C. (2018). Dual role of the RNA helicase DDX5 in post-transcriptional regulation of myelin basic protein in oligodendrocytes. *Journal of Cell Science*, 131(9), jcs204750. doi:10.1242/jcs.204750

Hoek, K. S., Kidd, G. J., Carson, J. H., & Smith, R. (1998). hnRNP A2 selectively binds the cytoplasmic transport sequence of myelin basic protein mRNA. *Biochemistry*, 37(19), 7021-7029. doi:bi9800247

Horiuchi, M., Maezawa, I., Itoh, A., Wakayama, K., Jin, L., Itoh, T., et al. (2012). Amyloid β 1-42 oligomer inhibits myelin sheet formation in vitro. *Neurobiology of Aging*, 33(3), 499-509. doi:10.1016/j.neurobiolaging.2010.05.007

Howitt, J., & Hill, A. F. (2016). EVs in the pathology of neurodegenerative diseases. *The Journal of Biological Chemistry*, 291(52), 26589-26597. doi:10.1074/jbc.R116.757955

Hu, X., Hicks, C. W., He, W., Wong, P., Macklin, W. B., Trapp, B. D., et al. (2006). Bace1 modulates myelination in the central and peripheral nervous system. *Nature Neuroscience*, 9(12), 1520-1525. doi:10.1038/nn1797

Hughes, A. N., & Appel, B. (2020). Microglia phagocytose myelin sheaths to modify developmental myelination. *Nature Neuroscience*, 23(9), 1055-1066. doi:10.1038/s41593-020-0654-2

Inano, S., Takao, H., Hayashi, N., Abe, O., & Ohtomo, K. (2011). Effects of age and gender on white matter integrity. *AJNR. American Journal of Neuroradiology*, 32(11), 2103-2109. doi:10.3174/ajnr.A2785

Jantaratnotai, N., Ryu, J. K., Kim, S. U., & McLRCNAon, J. G. (2003). Amyloid beta peptide-induced corpus callosum damage and glial activation *in vivo*. *Neuroreport*, 14(11), 1429-1433. doi:10.1097/00001756-200308060-00005

Jung, Y., Seo, J., Ryu, H. G., Kim, D., Lee, K., & Kim, K. (2020). BDNF-induced local translation of GluA1 is regulated by HNRNP A2/B1. *Science Advances*, 6(47), eabd2163. doi: 10.1126/sciadv.abd2163. Print 2020 Nov. doi:10.1126/sciadv.abd2163

Jungbauer, L. M., Yu, C., Laxton, K. J., & LaDu, M. J. (2009). Preparation of fluorescently-labeled amyloid-beta peptide assemblies: The effect of fluorophore conjugation on structure and function. *Journal of Molecular Recognition: JMR*, 22(5), 403-413. doi:10.1002/jmr.948

Karthigasan, J., Garvey, J. S., Ramamurthy, G. V., & Kirschner, D. A. (1996). Immunolocalization of 17 and 21.5 kDa MBP isoforms in compact myelin and radial component. *Journal of Neurocytology*, 25(1), 1-7. doi:10.1007/BF02284781

Kavroulakis, E., Simos, P. G., Kalaitzakis, G., Maris, T. G., Karageorgou, D., Zaganas, I., et al. (2018). Myelin content changes in probable Alzheimer's disease and mild cognitive impairment: Associations with age and severity of neuropsychiatric impairment. *Journal of Magnetic Resonance Imaging: JMRI*, 47(5), 1359-1372. doi:10.1002/jmri.25849 [doi]

Kimberly, W. T., Zheng, J. B., Guénette, S. Y., & Selkoe, D. J. (2001). The intracellular domain of the beta-amyloid precursor protein is stabilized by Fe65 and translocates to the nucleus in a notch-like manner. *The Journal of Biological Chemistry*, 276(43), 40288-40292. doi:10.1074/jbc.C100447200

Kitada, M., & Rowitch, D. H. (2006). Transcription factor co-expression patterns indicate heterogeneity of oligodendroglial subpopulations in adult spinal cord. *Glia*, 54(1), 35-46. doi:10.1002/glia.20354

Kolisnyk, B., Al-Onaizi, M., Soreq, L., Barbash, S., Bekenstein, U., Haberman, N., et al. (2017). Cholinergic surveillance over hippocampal RNA metabolism and Alzheimer's-like pathology. *Cerebral Cortex (New York, N.Y.: 1991)*, 27(7), 3553-3567. doi:10.1093/cercor/bhw177

Kosturko, L. D., Maggipinto, M. J., D'Sa, C., Carson, J. H., & Barbarese, E. (2005). The microtubule-associated protein tumor overexpressed gene binds to the RNA trafficking protein heterogeneous nuclear ribonucleoprotein A2. *Molecular Biology of the Cell*, 16(4), 1938-1947. doi:10.1091/mbc.E04-08-0709

Kosturko, L. D., Maggipinto, M. J., Korza, G., Lee, J. W., Carson, J. H., & Barbarese, E. (2006). Heterogeneous nuclear ribonucleoprotein (hnRNP) E1 binds to hnRNP A2 and inhibits translation of A2 response element mRNAs. *Molecular Biology of the Cell*, 17(8), 3521-3533. doi:10.1091/mbc.E05-10-0946

Kramer-Albers, E. (2020). Extracellular vesicles in the oligodendrocyte microenvironment. *Neuroscience Letters*, 725, 134915. doi:10.1016/j.neulet.2020.134915

Krämer-Albers, E., Bretz, N., Tenzer, S., Winterstein, C., Möbius, W., Berger, H., et al. (2007). Oligodendrocytes secrete EVs containing major myelin and stress-protective proteins: Trophic support for axons? *Proteomics. Clinical Applications*, 1(11), 1446-1461. doi:10.1002/prca.200700522

Krämer-Albers, E., & White, R. (2011). From axon-glial signalling to myelination: The integrating role of oligodendroglial fyn kinase. *Cellular and Molecular Life Sciences: CMLS*, 68(12), 2003-2012. doi:10.1007/s00018-010-0616-z

Kuchibhotla, K. V., Goldman, S. T., Lattarulo, C. R., Wu, H., Hyman, B. T., & Bacskai, B. J. (2008). Abeta plaques lead to aberrant regulation of calcium homeostasis *in vivo* resulting in structural and functional disruption of neuronal networks. *Neuron*, 59(2), 214-225. doi:10.1016/j.neuron.2008.06.008

Kuhn, S., Gritti, L., Crooks, D., & Dombrowski, Y. (2019). Oligodendrocytes in development, myelin generation and beyond. *Cells*, 8(11), 1424. doi:10.3390/cells8111424

Lam, M., Takeo, K., Almeida, R. G., Cooper, M. H., Wu, K., Iyer, M., et al. (2022). CNS myelination requires VAMP2/3-mediated membrane expansion in oligodendrocytes. *Nature Communications*, 13(1), 5583-4. doi:10.1038/s41467-022-33200-4

Lanoiselée, H., Nicolas, G., Wallon, D., Rovelet-Lecrux, A., Lacour, M., Rousseau, S., et al. (2017). APP, PSEN1, and PSEN2 mutations in early-onset Alzheimer disease: A genetic screening study of familial and sporadic cases. *PLoS Medicine*, 14(3), e1002270. doi:10.1371/journal.pmed.1002270

Lau, S., Cao, H., Fu, A. K. Y., & Ip, N. Y. (2020a). Single-nucleus transcriptome analysis reveals dysregulation of angiogenic endothelial cells and neuroprotective glia in Alzheimer's disease. *Proceedings of the National Academy of Sciences of the United States of America*, 117(41), 25800-25809. doi:10.1073/pnas.2008762117

Lau, S., Cao, H., Fu, A. K. Y., & Ip, N. Y. (2020b). Single-nucleus transcriptome analysis reveals dysregulation of angiogenic endothelial cells and neuroprotective glia in Alzheimer's disease. *Proceedings of the National Academy of Sciences of the United States of America*, 117(41), 25800-25809. doi:10.1073/pnas.2008762117

Lee, J., Padmanabhan, A., Shin, J., Zhu, S., Guo, F., Kanki, J. P., et al. (2010). Oligodendrocyte progenitor cell numbers and migration are regulated by the zebrafish orthologs of the NF1 tumor suppressor gene. *Human Molecular Genetics*, 19(23), 4643-4653. doi:10.1093/hmg/ddq395

Lee, S., Leach, M. K., Redmond, S. A., Chong, S. Y. C., Mellon, S. H., Tuck, S. J., et al. (2012). A culture system to study oligodendrocyte myelination processes using engineered nanofibers. *Nature Methods*, 9(9), 917-922. doi:10.1038/nmeth.2105 [doi]

Li, C., & Gotz, J. (2017). Somatodendritic accumulation of tau in Alzheimer's disease is promoted by fyn-mediated local protein translation. *The EMBO Journal*, 36(21), 3120-3138. doi:10.15252/embj.201797724

Liu, A., Li, J., Marin-Husstege, M., Kageyama, R., Fan, Y., Gelinas, C., et al. (2006). A molecular insight of Hes5-dependent inhibition of myelin gene expression: Old partners and new players. *The EMBO Journal*, 25(20), 4833-4842. doi:10.1038/sj.emboj.7601352

Long, J. M., & Holtzman, D. M. (2019). Alzheimer disease: An update on pathobiology and treatment strategies. *Cell*, 179(2), 312-339. doi:10.1016/j.cell.2019.09.001

Love, M. I., Huber, W., & Anders, S. (2014). Moderated estimation of fold change and dispersion for RNA-seq data with DESeq2. *Genome Biology*, 15(12), 550-8. doi:550

Lyons, D. A., Naylor, S. G., Scholze, A., & Talbot, W. S. (2009). Kif1b is essential for mRNA localization in oligodendrocytes and development of myelinated axons. *Nature Genetics*, 41(7), 854-858. doi:10.1038/ng.376

Maggipinto, M., Rabiner, C., Kidd, G. J., Hawkins, A. J., Smith, R., & Barbaresi, E. (2004). Increased expression of the MBP mRNA binding protein HnRNP A2 during oligodendrocyte differentiation. *Journal of Neuroscience Research*, 75(5), 614-623. doi:10.1002/jnr.20014

Manterola, L., Hernando-Rodriguez, M., Ruiz, A., Apraiz, A., Arrizabalaga, O., Vellon, L., et al. (2013). 1-42 beta-amyloid peptide requires PDK1/nPKC/rac 1 pathway to induce neuronal death. *Translational Psychiatry*, 3(1), e219. doi:10.1038/tp.2012.147

Marisca, R., Hoche, T., Agirre, E., Hoodless, L. J., Barkey, W., Auer, F., et al. (2020). Functionally distinct subgroups of oligodendrocyte precursor cells integrate neural activity and execute myelin formation. *Nature Neuroscience*, 23(3), 363-374. doi:10.1038/s41593-019-0581-2

Marques, S., Zeisel, A., Codeluppi, S., van Bruggen, D., Mendanha Falcão, A., Xiao, L., et al. (2016a). Oligodendrocyte heterogeneity in the mouse juvenile and adult central nervous system. *Science (New York, N.Y.)*, 352(6291), 1326-1329. doi:10.1126/science.aaf6463

Marques, S., Zeisel, A., Codeluppi, S., van Bruggen, D., Mendanha Falcão, A., Xiao, L., et al. (2016b). Oligodendrocyte heterogeneity in the mouse juvenile and adult central nervous system. *Science (New York, N.Y.)*, 352(6291), 1326-1329. doi:10.1126/science.aaf6463

Martini, R., & Schachner, M. (1997). Molecular bases of myelin formation as revealed by investigations on mice deficient in glial cell surface molecules. *Glia*, 19(4), 298-310.

Mastrangelo, M. A., & Bowers, W. J. (2008). Detailed immunohistochemical characterization of temporal and spatial progression of Alzheimer's disease-related pathologies in male triple-transgenic mice. *BMC Neuroscience*, 9, 81-81. doi:10.1186/1471-2202-9-81

Mathys, H., Davila-Velderrain, J., Peng, Z., Gao, F., Mohammadi, S., Young, J. Z., et al. (2019). Single-cell transcriptomic analysis of Alzheimer's disease. *Nature*, 570(7761), 332-337. doi:10.1038/s41586-019-1195-2

McCann, C. J., Hasan, N. M., Padilla-Benavides, T., Roy, S., & Lutsenko, S. (2022). Heterogeneous nuclear ribonucleoprotein hnRNPA2/B1 regulates the abundance of the copper-transporter ATP7A in an isoform-dependent manner. *Frontiers in Molecular Biosciences*, 9, 1067490. doi:10.3389/fmolb.2022.1067490

McGlincy, N. J., Tan, L., Paul, N., Zavolan, M., Lilley, K. S., & Smith, C. W. J. (2010). Expression proteomics of UPF1 knockdown in HeLa cells reveals autoregulation of hnRNP A2/B1 mediated by alternative splicing resulting in nonsense-mediated mRNA decay. *BMC Genomics*, 11, 565-565. doi:10.1186/1471-2164-11-565

McNamara, N. B., Munro, D. A. D., Bestard-Cuche, N., Uyeda, A., Bogie, J. F. J., Hoffmann, A., et al. (2022). Microglia regulate central nervous system myelin growth and integrity. *Nature*, doi:10.1038/s41586-022-05534-y

Mendoza-Naranjo, A., Gonzalez-Billault, C., & Maccioni, R. B. (2007). Abeta1-42 stimulates actin polymerization in hippocampal neurons through Rac1 and Cdc42 rho GTPases. *Journal of Cell Science*, 120(Pt 2), 279-288. doi:10.1242/jcs.03323

Meschkat, M., Steyer, A. M., Weil, M., Kusch, K., Jahn, O., Piepkorn, L., et al. (2022). White matter integrity in mice requires continuous myelin synthesis at the inner tongue. *Nature Communications*, 13(1), 1163. doi:10.1038/s41467-022-28720-y

Miller, R. H. (2018). Calcium control of myelin sheath growth. *Nature Neuroscience*, 21(1), 2-3. doi:10.1038/s41593-017-0043-7

Min, Y., Kristiansen, K., Boggs, J. M., Husted, C., Zasadzinski, J. A., & Israelachvili, J. (2009). Interaction forces and adhesion of supported myelin lipid bilayers modulated by myelin basic protein. *Proceedings of the National Academy of Sciences of the United States of America*, 106(9), 3154-3159. doi:10.1073/pnas.0813110106

Mirra, S. S., Heyman, A., McKeel, D., Sumi, S. M., Crain, B. J., Brownlee, L. M., et al. (1991). The consortium to establish a registry for Alzheimer's disease (CERAD). part II.

standardization of the neuropathologic assessment of Alzheimer's disease. *Neurology*, 41(4), 479-486. doi:10.1212/wnl.41.4.479

Mitake, S., Ojika, K., & Hirano, A. (1997). Hirano bodies and alzheimer's disease. *The Kaohsiung Journal of Medical Sciences*, 13(1), 10-18.

Mitew, S., Kirkcaldie, M. T. K., Halliday, G. M., Shepherd, C. E., Vickers, J. C., & Dickson, T. C. (2010). Focal demyelination in alzheimer's disease and transgenic mouse models. *Acta Neuropathologica*, 119(5), 567-577. doi:10.1007/s00401-010-0657-2

Mizukami, K., Ishikawa, M., Iwakiri, M., Ikonomovic, M. D., Dekosky, S. T., Kamma, H., et al. (2005). Immunohistochemical study of the hnRNP A2 and B1 in the hippocampal formations of brains with Alzheimer's disease. *Neuroscience Letters*, 386(2), 111-115. doi:10.1016/j.neulet.2005.05.070

Möbius, W., Cooper, B., Kaufmann, W. A., Imig, C., Ruhwedel, T., Snaidero, N., et al. (2010). Electron microscopy of the mouse central nervous system. *Methods in Cell Biology*, 96, 475-512. doi:10.1016/S0091-679X(10)96020-2

Montague, P., Barrie, J. A., Thomson, C. E., Kirkham, D., McCallion, A. S., Davies, R. W., et al. (1998). Cytoskeletal and nuclear localization of myelin oligodendrocytic basic protein isoforms. *The European Journal of Neuroscience*, 10(4), 1321-1328. doi:10.1046/j.1460-9568.1998.00143.x

Moore, S., Meschkat, M., Ruhwedel, T., Trevisiol, A., Tzvetanova, I. D., Battefeld, A., et al. (2020). A role of oligodendrocytes in information processing. *Nature Communications*, 11(1), 5497-7. doi:10.1038/s41467-020-19152-7

Morabito, S., Miyoshi, E., Michael, N., Shahin, S., Martini, A. C., Head, E., et al. (2021). Single-nucleus chromatin accessibility and transcriptomic characterization of Alzheimer's disease. *Nature Genetics*, 53(8), 1143-1155. doi:10.1038/s41588-021-00894-z

Mukherjee, C., Kling, T., Russo, B., Miebach, K., Kess, E., Schifferer, M., et al. (2020). Oligodendrocytes provide antioxidant defense function for neurons by secreting ferritin heavy chain. *Cell Metabolism*, 32(2), 259-272.e10. doi:10.1016/j.cmet.2020.05.019

Muller, C., Bauer, N. M., Schafer, I., & White, R. (2013). Making myelin basic protein - from mRNA transport to localized translation. *Frontiers in Cellular Neuroscience*, 7, 169. doi:10.3389/fncel.2013.00169

Müller, C., Schäfer, I., Luhmann, H. J., & White, R. (2015). Oligodendroglial argonaute protein Ago2 associates with molecules of the mbp mRNA localization machinery and is a downstream target of fyn kinase. *Frontiers in Cellular Neuroscience*, 9, 328. doi:10.3389/fncel.2015.00328

Müller, U. C., Deller, T., & Korte, M. (2017). Not just amyloid: Physiological functions of the amyloid precursor protein family. *Nature Reviews. Neuroscience*, 18(5), 281-298. doi:10.1038/nrn.2017.29

Munro, T. P., Magee, R. J., Kidd, G. J., Carson, J. H., Barbarese, E., Smith, L. M., et al. (1999). Mutational analysis of a heterogeneous nuclear ribonucleoprotein A2 response element for RNA trafficking. *The Journal of Biological Chemistry*, 274(48), 34389-34395. doi:10.1074/jbc.274.48.34389

Murdock, M. H., & Tsai, L. (2023). Insights into Alzheimer's disease from single-cell genomic approaches. *Nature Neuroscience*, doi:10.1038/s41593-022-01222-2

Nasrably, S. E., Rizvi, B., Goldman, J. E., & Brickman, A. M. (2018a). White matter changes in Alzheimer's disease: A focus on myelin and oligodendrocytes. *Acta Neuropathologica Communications*, 6(1), 22. doi:10.1186/s40478-018-0515-3

Nasrably, S. E., Rizvi, B., Goldman, J. E., & Brickman, A. M. (2018b). White matter changes in Alzheimer's disease: A focus on myelin and oligodendrocytes. *Acta Neuropathologica Communications*, 6(1), 22-3. doi:10.1186/s40478-018-0515-3 [doi]

Nave, K. (2010). Myelination and support of axonal integrity by glia. *Nature*, 468(7321), 244-252. doi:10.1038/nature09614

Nave, K., & Werner, H. B. (2014). Myelination of the nervous system: Mechanisms and functions. *Annual Review of Cell and Developmental Biology*, 30, 503-533. doi:10.1146/annurev-cellbio-100913-013101

Nawaz, S., Sanchez, P., Schmitt, S., Snaidero, N., Mitkovski, M., Velte, C., et al. (2015). Actin filament turnover drives leading edge growth during myelin sheath formation in the central nervous system. *Developmental Cell*, 34(2), 139-151. doi:10.1016/j.devcel.2015.05.013

Nery, L. R., Eltz, N. S., Hackman, C., Fonseca, R., Altenhofen, S., Guerra, H. N., et al. (2014). Brain intraventricular injection of amyloid-beta in zebrafish embryo impairs cognition and increases tau phosphorylation, effects reversed by lithium. *PloS One*, 9(9), e105862. doi:10.1371/journal.pone.0105862

Nie, X., Falangola, M. F., Ward, R., McKinnon, E. T., Helpern, J. A., Nietert, P. J., et al. (2019). Diffusion MRI detects longitudinal white matter changes in the 3xTg-AD mouse model of Alzheimer's disease. *Magnetic Resonance Imaging*, 57, 235-242. doi:10.1016/j.mri.2018.12.003

A novel fluorescent ceramide analogue for studying membrane traffic in animal cells: Accumulation at the golgi apparatus results in altered spectral properties of the sphingolipid precursor.(1991). *The Journal of Cell Biology*, 113(6), 1267-1279. Retrieved from <https://www.ncbi.nlm.nih.gov/pmc/articles/PMC2289039/>

Oddo, S., Caccamo, A., Shepherd, J. D., Murphy, M. P., Golde, T. E., Kayed, R., et al. (2003). Triple-transgenic model of Alzheimer's disease with plaques and tangles: Intracellular abeta and synaptic dysfunction. *Neuron*, 39(3), 409-421. doi:10.1016/s0896-6273(03)00434-3

Oddo, S., Caccamo, A., Tran, L., Lambert, M. P., Glabe, C. G., Klein, W. L., et al. (2006). Temporal profile of amyloid-beta (abeta) oligomerization in an in vivo model of alzheimer disease. A link between abeta and tau pathology. *The Journal of Biological Chemistry*, 281(3), 1599-1604. doi:10.1074/jbc.M507892200

Osterhout, D. J., Wolven, A., Wolf, R. M., Resh, M. D., & Chao, M. V. (1999). Morphological differentiation of oligodendrocytes requires activation of fyn tyrosine kinase. *The Journal of Cell Biology*, 145(6), 1209-1218. doi:10.1083/jcb.145.6.1209

Ovadi, J., & Orosz, F. (2009). An unstructured protein with destructive potential: TPPP/p25 in neurodegeneration. *BioEssays: News and Reviews in Molecular, Cellular and Developmental Biology*, 31(6), 676-686. doi:10.1002/bies.200900008

Pagano, R. E., Martin, O. C., Kang, H. C., & Haugland, R. P. (1991). A novel fluorescent ceramide analogue for studying membrane traffic in animal cells: Accumulation at the golgi apparatus results in altered spectral properties of the sphingolipid precursor. *The Journal of Cell Biology*, 113(6), 1267-1279. doi:91258396

Parente, D. B., Gasparetto, E. L., da Cruz, L. C. H., Domingues, R. C., Baptista, A. C., Carvalho, A. C. P., et al. (2008). Potential role of diffusion tensor MRI in the differential diagnosis of mild cognitive impairment and Alzheimer's disease. *AJR. American Journal of Roentgenology*, 190(5), 1369-1374. doi:10.2214/AJR.07.2617

Peckham, H., Giuffrida, L., Wood, R., Gonsalvez, D., Ferner, A., Kilpatrick, T. J., et al. (2016). Fyn is an intermediate kinase that BDNF utilizes to promote oligodendrocyte myelination. *Glia*, 64(2), 255-269. doi:10.1002/glia.22927

Philips, T., & Rothstein, J. D. (2017). Oligodendroglia: Metabolic supporters of neurons. *The Journal of Clinical Investigation*, 127(9), 3271-3280. doi:10.1172/JCI90610

Quintela-Lopez, T., Ortiz-Sanz, C., Serrano-Regal, M. P., Gaminde-Blasco, A., Valero, J., Baleriola, J., et al. (2019). Abeta oligomers promote oligodendrocyte differentiation and maturation via integrin beta1 and fyn kinase signaling. *Cell Death & Disease*, 10(6), 445-8. doi:10.1038/s41419-019-1636-8

Rajendran, L., Honsho, M., Zahn, T. R., Keller, P., Geiger, K. D., Verkade, P., et al. (2006). Alzheimer's disease beta-amyloid peptides are released in association with EVsEVs. *Proceedings of the National Academy of Sciences of the United States of America*, 103(30), 11172-11177. doi:10.1073/pnas.0603838103

Raju, C. S., Göritz, C., Nord, Y., Hermanson, O., López-Iglesias, C., Visa, N., et al. (2008). In cultured oligodendrocytes the A/B-type hnRNP CBF-A accompanies MBP mRNA bound to mRNA trafficking sequences. *Molecular Biology of the Cell*, 19(7), 3008-3019. doi:10.1091/mbc.e07-10-1083

Recuero, M., Serrano, E., Bullido, M. J., & Valdivieso, F. (2004). Abeta production as consequence of cellular death of a human neuroblastoma overexpressing APP. FEBS Letters, 570(1-3), 114-118. doi:10.1016/j.febslet.2004.06.025

Roher, A. E., Weiss, N., Kokjohn, T. A., Kuo, Y., Kalback, W., Anthony, J., et al. (2002). Increased A beta peptides and reduced cholesterol and myelin proteins characterize white matter degeneration in Alzheimer's disease. Biochemistry, 41(37), 11080-11090. doi:10.1021/bi026173d

Ruiz, A., Alberdi, E., & Matute, C. (2014). CGP37157, an inhibitor of the mitochondrial na+/Ca²⁺ exchanger, protects neurons from excitotoxicity by blocking voltage-gated Ca²⁺ channels. Cell Death & Disease, 5(4), e1156. doi:10.1038/cddis.2014.134

Rush, T., Martinez-Hernandez, J., Dollmeyer, M., Frandemiche, M. L., Borel, E., Boisseau, S., et al. (2018). Synaptotoxicity in Alzheimer's disease involved a dysregulation of actin cytoskeleton dynamics through cofilin 1 phosphorylation. The Journal of Neuroscience : The Official Journal of the Society for Neuroscience, 38(48), 10349-10361. doi:10.1523/JNEUROSCI.1409-18.2018

Rybak-Wolf, A., & Plass, M. (2021a). RNA dynamics in Alzheimer's disease. Molecules, 26(17), 5113. doi:10.3390/molecules26175113

Rybak-Wolf, A., & Plass, M. (2021b). RNA dynamics in Alzheimer's disease. Molecules (Basel, Switzerland), 26(17), 5113. doi: 10.3390/molecules26175113.

Sachdev, P. S., Zhuang, L., Braidy, N., & Wen, W. (2013). Is alzheimer's a disease of the white matter? Current Opinion in Psychiatry, 26(3), 244-251. doi:10.1097/YCO.0b013e32835ed6e8

Samanta, J., & Kessler, J. A. (2004). Interactions between ID and OLIG proteins mediate the inhibitory effects of BMP4 on oligodendroglial differentiation. Development (Cambridge, England), 131(17), 4131-4142. doi:10.1242/dev.01273

Samanta, J., & Salzer, J. L. (2015). Myelination: Actin disassembly leads the way. Developmental Cell, 34(2), 129-130. doi:S1534-5807(15)00457-8

Sánchez-Gómez, M. V., Serrano, M. P., Alberdi, E., Pérez-Cerdá, F., & Matute, C. (2018). Isolation, expansion, and maturation of oligodendrocyte lineage cells obtained from rat neonatal brain and optic nerve. *Methods in Molecular Biology* (Clifton, N.J.), 1791, 95-113. doi:10.1007/978-1-4939-7862-5_8

Schäfer, I., Müller, C., Luhmann, H. J., & White, R. (2016). MOBP levels are regulated by fyn kinase and affect the morphological differentiation of oligodendrocytes. *Journal of Cell Science*, 129(5), 930-942. doi:10.1242/jcs.172148

Schafer, I., Muller, C., Luhmann, H. J., & White, R. (2016). MOBP levels are regulated by fyn kinase and affect the morphological differentiation of oligodendrocytes. *Journal of Cell Science*, 129(5), 930-942. doi:10.1242/jcs.172148

Schmidt, E. K., Clavarino, G., Ceppi, M., & Pierre, P. (2009). SUSET, a nonradioactive method to monitor protein synthesis. *Nature Methods*, 6(4), 275-277. doi:10.1038/nmeth.1314

Selkoe, D. J., Brown, B. A., Salazar, F. J., & Marotta, C. A. (1981). Myelin basic protein in alzheimer disease neuronal fractions and mammalian neurofilament preparations. *Annals of Neurology*, 10(5), 429-436. doi:10.1002/ana.410100505

Selkoe, D. J. (1991). The molecular pathology of Alzheimer's disease. *Neuron*, 6(4), 487-498. doi:10.1016/0896-6273(91)90052-2

Selkoe, D. J., & Hardy, J. (2016). The amyloid hypothesis of Alzheimer's disease at 25 years. *EMBO Molecular Medicine*, 8(6), 595-608. doi:10.15252/emmm.201606210

Skaper, S. D., Evans, N. A., Evans, N. A., Rosin, C., Facci, L., & Richardson, J. C. (2009). Oligodendrocytes are a novel source of amyloid peptide generation. *Neurochemical Research*, 34(12), 2243-2250. doi:10.1007/s11064-009-0022-9

Smirnova, E. V., Rakitina, T. V., Ziganshin, R. H., Arapidi, G. P., Saratov, G. A., Kudriaeva, A. A., et al. (2021). Comprehensive atlas of the myelin basic protein interaction landscape. *Biomolecules*, 11(11), 1628. doi:10.3390/biom11111628

Smith, G. S. T., Paez, P. M., Spreuer, V., Campagnoni, C. W., Boggs, J. M., Campagnoni, A. T., et al. (2011). Classical 18.5-and 21.5-kDa isoforms of myelin basic protein inhibit

calcium influx into oligodendroglial cells, in contrast to golli isoforms. *Journal of Neuroscience Research*, 89(4), 467-480. doi:10.1002/jnr.22570

Snaidero, N., Mobius, W., Czopka, T., Hekking, L. H. P., Mathisen, C., Verkleij, D., et al. (2014). Myelin membrane wrapping of CNS axons by PI(3,4,5)P3-dependent polarized growth at the inner tongue. *Cell*, 156(1-2), 277-290. doi:S0092-8674(13)01530-4

Snaidero, N., & Simons, M. (2014). Myelination at a glance. *Journal of Cell Science*, 127(Pt 14), 2999-3004. doi:10.1242/jcs.151043

Snaidero, N., Velte, C., Myllykoski, M., Raasakka, A., Ignatev, A., Werner, H. B., et al. (2017). Antagonistic functions of MBP and CNP establish cytosolic channels in CNS myelin. *Cell Reports*, 18(2), 314-323. doi:S2211-1247(16)31760-0

Söderberg, O., Gullberg, M., Jarvius, M., Ridderstråle, K., Leuchowius, K., Jarvius, J., et al. (2006). Direct observation of individual endogenous protein complexes in situ by proximity ligation. *Nature Methods*, 3(12), 995-1000. doi:10.1038/nmeth947

Song, J., Goetz, B. D., Baas, P. W., & Duncan, I. D. (2001). Cytoskeletal reorganization during the formation of oligodendrocyte processes and branches. *Molecular and Cellular Neurosciences*, 17(4), 624-636. doi:10.1006/mcne.2001.0974

Sperber, B. R., & McMorris, F. A. (2001). Fyn tyrosine kinase regulates oligodendroglial cell development but is not required for morphological differentiation of oligodendrocytes. *Journal of Neuroscience Research*, 63(4), 303-312. doi:10.1002/1097-4547

Stadelmann, C., Timmler, S., Barrantes-Freer, A., & Simons, M. (2019a). Myelin in the central nervous system: Structure, function, and pathology. *Physiological Reviews*, 99(3), 1381-1431. doi:10.1152/physrev.00031.2018

Stadelmann, C., Timmler, S., Barrantes-Freer, A., & Simons, M. (2019b). Myelin in the central nervous system: Structure, function, and pathology. *Physiological Reviews*, 99(3), 1381-1431. doi:10.1152/physrev.00031.2018

Stoppini, L., Buchs, P. A., & Muller, D. (1991a). A simple method for organotypic cultures of nervous tissue. *Journal of Neuroscience Methods*, 37(2), 173-182. doi:10.1016/0165-0270(91)90128-m

Stoppini, L., Buchs, P. A., & Muller, D. (1991b). A simple method for organotypic cultures of nervous tissue. *Journal of Neuroscience Methods*, 37(2), 173-182. doi:10.1016/0165-0270(91)90128-m

Stricker, N. H., Schweinsburg, B. C., Delano-Wood, L., Wierenga, C. E., Bangen, K. J., Haaland, K. Y., et al. (2009). Decreased white matter integrity in late-myelinating fiber pathways in Alzheimer's disease supports retrogenesis. *NeuroImage*, 45(1), 10-16. doi:10.1016/j.neuroimage.2008.11.027

Teipel, S. J., Bayer, W., Alexander, G. E., Zebuhr, Y., Teichberg, D., Kulic, L., et al. (2002). Progression of corpus callosum atrophy in alzheimer disease. *Archives of Neurology*, 59(2), 243-248. doi:10.1001/archneur.59.2.243

Thakurela, S., Garding, A., Jung, R. B., Muller, C., Goebbels, S., White, R., et al. (2016). The transcriptome of mouse central nervous system myelin. *Scientific Reports*, 6, 25828. doi:10.1038/srep25828

Thal, D. R., Rüb, U., Orantes, M., & Braak, H. (2002). Phases of A beta-deposition in the human brain and its relevance for the development of AD. *Neurology*, 58(12), 1791-1800. doi:10.1212/wnl.58.12.1791

Thibault, P. A., Ganesan, A., Kalyaanamoorthy, S., Clarke, J. W. E., Salapa, H. E., & Levin, M. C. (2021). hnRNP A/B proteins: An encyclopedic assessment of their roles in homeostasis and disease. *Biology*, 10(8), 712. doi: 10.3390/biology10080712.

Thomason, E. J., Escalante, M., Osterhout, D. J., & Fuss, B. (2020). The oligodendrocyte growth cone and its actin cytoskeleton: A fundamental element for progenitor cell migration and CNS myelination. *Glia*, 68(7), 1329-1346. doi:10.1002/glia.23735

tom Dieck, S., Kochen, L., Hanus, C., Heumuller, M., Bartnik, I., Nassim-Assir, B., et al. (2015). Direct visualization of newly synthesized target proteins in situ. *Nature Methods*, 12(5), 411-414. doi:10.1038/nmeth.3319

Torvund-Jensen, J., Steengaard, J., Reimer, L., Fihl, L. B., & Laursen, L. S. (2014). Transport and translation of MBP mRNA is regulated differently by distinct hnRNP proteins. *Journal of Cell Science*, 127(Pt 7), 1550-1564. doi:10.1242/jcs.140855

Transport and localization of exogenous myelin basic protein mRNA microinjected into oligodendrocytes. (1993). *The Journal of Cell Biology*, 123(2), 431-441. Retrieved from <https://www.ncbi.nlm.nih.gov/pmc/articles/PMC2119827/>

Tripathi, R. B., Jackiewicz, M., McKenzie, I. A., Kougioumtzidou, E., Grist, M., & Richardson, W. D. (2017). Remarkable stability of myelinating oligodendrocytes in mice. *Cell Reports*, 21(2), 316-323. doi:10.1016/j.celrep.2017.09.050

Truong, P. H., Ciccotosto, G. D., Merson, T. D., Spoerri, L., Chuei, M. J., Ayers, M., et al. (2019). Amyloid precursor protein and amyloid precursor-like protein 2 have distinct roles in modulating myelination, demyelination, and remyelination of axons. *Glia*, 67(3), 525-538. doi:10.1002/glia.23561

Umemori, H., Kadowaki, Y., Hirosawa, K., Yoshida, Y., Hironaka, K., Okano, H., et al. (1999). Stimulation of myelin basic protein gene transcription by fyn tyrosine kinase for myelination. *The Journal of Neuroscience: The Official Journal of the Society for Neuroscience*, 19(4), 1393-1397. doi:10.1523/JNEUROSCI.19-04-01393.1999

Umemori, H., Sato, S., Yagi, T., Aizawa, S., & Yamamoto, T. (1994). Initial events of myelination involve fyn tyrosine kinase signalling. *Nature*, 367(6463), 572-576. doi:10.1038/367572a0

Vanzulli, I., Papanikolaou, M., De-La-Rocha, I. C., Pieropan, F., Rivera, A. D., Gomez-Nicola, D., et al. (2020a). Disruption of oligodendrocyte progenitor cells is an early sign of pathology in the triple transgenic mouse model of Alzheimer's disease. *Neurobiology of Aging*, 94, 130-139. doi:10.1016/j.neurobiolaging.2020.05.016

Vanzulli, I., Papanikolaou, M., De-La-Rocha, I. C., Pieropan, F., Rivera, A. D., Gomez-Nicola, D., et al. (2020b). Disruption of oligodendrocyte progenitor cells is an early sign of pathology in the triple transgenic mouse model of Alzheimer's disease. *Neurobiology of Aging*, 94, 130-139. doi:10.1016/j.neurobiolaging.2020.05.016

Viola, K. L., & Klein, W. L. (2015). Amyloid β oligomers in Alzheimer's disease pathogenesis, treatment, and diagnosis. *Acta Neuropathologica*, 129(2), 183-206. doi:10.1007/s00401-015-1386-3

von Jonquieres, G., Mersmann, N., Klugmann, C. B., Harasta, A. E., Lutz, B., Teahan, O., et al. (2013). Glial promoter selectivity following AAV-delivery to the immature brain. *PloS One*, 8(6), e65646. doi:10.1371/journal.pone.0065646

von Rotz, R. C., Kohli, B. M., Bosset, J., Meier, M., Suzuki, T., Nitsch, R. M., et al. (2004). The APP intracellular domain forms nuclear multiprotein complexes and regulates the transcription of its own precursor. *Journal of Cell Science*, 117(Pt 19), 4435-4448. doi:10.1242/jcs.01323

Wang, S., & Young, K. M. (2014). White matter plasticity in adulthood. *Neuroscience*, 276, 148-160. doi:10.1016/j.neuroscience.2013.10.018

Waxman, S. G. (1997). Axon-glia interactions: Building a smart nerve fiber. *Current Biology: CB*, 7(7), 406. doi:10.1016/s0960-9822(06)00203-x

Waxman, S. G., & Ritchie, J. M. (1993). Molecular dissection of the myelinated axon. *Annals of Neurology*, 33(2), 121-136. doi:10.1002/ana.410330202

Westmark, C. J., Westmark, P. R., O'Riordan, K. J., Ray, B. C., Hervey, C. M., Salamat, M. S., et al. (2011). Reversal of fragile X phenotypes by manipulation of AbetaPP/abeta levels in Fmr1KO mice. *PloS One*, 6(10), e26549. doi:10.1371/journal.pone.0026549

White, R., Gonsior, C., Bauer, N. M., Kramer-Albers, E., Luhmann, H. J., & Trotter, J. (2012a). Heterogeneous nuclear ribonucleoprotein (hnRNP) F is a novel component of oligodendroglial RNA transport granules contributing to regulation of myelin basic protein (MBP) synthesis. *The Journal of Biological Chemistry*, 287(3), 1742-1754. doi:10.1074/jbc.M111.235010

White, R., Gonsior, C., Bauer, N. M., Kramer-Albers, E., Luhmann, H. J., & Trotter, J. (2012b). Heterogeneous nuclear ribonucleoprotein (hnRNP) F is a novel component of oligodendroglial RNA transport granules contributing to regulation of myelin basic protein (MBP) synthesis. *The Journal of Biological Chemistry*, 287(3), 1742-1754. doi:10.1074/jbc.M111.235010

White, R., Gonsior, C., Kramer-Albers, E., Stohr, N., Huttelmaier, S., & Trotter, J. (2008). Activation of oligodendroglial fyn kinase enhances translation of mRNAs transported in hnRNP A2-dependent RNA granules. *The Journal of Cell Biology*, 181(4), 579-586. doi:10.1083/jcb.200706164

Williamson, J. M., & Lyons, D. A. (2018). Myelin dynamics throughout life: An ever-changing landscape? *Frontiers in Cellular Neuroscience*, 12, 424. doi:10.3389/fncel.2018.00424

Wu, Y., Ma, Y., Liu, Z., Geng, Q., Chen, Z., & Zhang, Y. (2017a). Alterations of myelin morphology and oligodendrocyte development in early stage of Alzheimer's disease mouse model. *Neuroscience Letters*, 642, 102-106. doi:10.1016/j.neulet.2017.02.007

Wu, Y., Ma, Y., Liu, Z., Geng, Q., Chen, Z., & Zhang, Y. (2017b). Alterations of myelin morphology and oligodendrocyte development in early stage of Alzheimer's disease mouse model. *Neuroscience Letters*, 642, 102-106. doi:10.1016/j.neulet.2017.02.007

Xu, J., Chen, S., Ahmed, S. H., Chen, H., Ku, G., Goldberg, M. P., et al. (2001). Amyloid- β peptides are cytotoxic to oligodendrocytes. *The Journal of Neuroscience*, 21(1), RC118. doi:10.1523/JNEUROSCI.21-01-j0001.2001

Yeung, M. S. Y., Zdunek, S., Bergmann, O., Bernard, S., Salehpour, M., Alkass, K., et al. (2014). Dynamics of oligodendrocyte generation and myelination in the human brain. *Cell*, 159(4), 766-774. doi:10.1016/j.cell.2014.10.011

Yin, F. (2022). Lipid metabolism and Alzheimer's disease: Clinical evidence, mechanistic link and therapeutic promise. *The FEBS Journal*, doi:10.1111/febs.16344

Young, K., Psachoulia, K., Tripathi, R., Dunn, S., Cossell, L., Attwell, D., et al. (2013). Oligodendrocyte dynamics in the healthy adult CNS: Evidence for myelin remodelling. *Neuron*, 77(5), 873-885. doi:10.1016/j.neuron.2013.01.006

Yu, Y., Herman, P., Rothman, D. L., Agarwal, D., & Hyder, F. (2018). Evaluating the gray and white matter energy budgets of human brain function. *Journal of Cerebral Blood Flow and Metabolism: Official Journal of the International Society of Cerebral Blood Flow and Metabolism*, 38(8), 1339-1353. doi:10.1177/0271678X17708691

Zhan, X., Jickling, G. C., Ander, B. P., Stamova, B., Liu, D., Kao, P. F., et al. (2015). Myelin basic protein associates with A β PP, A β 1-42, and amyloid plaques in cortex of Alzheimer's disease brain. *Journal of Alzheimer's disease: JAD*, 44(4), 1213-1229. doi:10.3233/JAD-142013

Zhan, X., Jickling, G. C., Ander, B. P., Liu, D., Stamova, B., Cox, C., et al. (2014). Myelin injury and degraded myelin vesicles in Alzheimer's disease. *Current Alzheimer Research*, 11(3), 232-238. doi:10.2174/1567205011666140131120922

Zhang M., Zhang J., Zhang W., Yao Z. (2018). Demyelination takes place prior to neuronal damage following intracerebroventricular injection of amyloid-beta oligomer. *Neuropsychiatry*, 8, 1770–1785. doi:10.4172/NEUROPSYCHIATRY.1000519

Zhang, P., Kishimoto, Y., Grammatikakis, I., Gottimukkala, K., Cutler, R. G., Zhang, S., et al. (2019). Senolytic therapy alleviates A β -associated oligodendrocyte progenitor cell senescence and cognitive deficits in an Alzheimer's disease model. *Nature Neuroscience*, 22(5), 719-728. doi:10.1038/s41593-019-0372-9

Zhang, X., Wang, R., Hu, D., Sun, X., Fujioka, H., Lundberg, K., et al. (2020). Oligodendroglial glycolytic stress triggers inflammasome activation and neuropathology in Alzheimer's disease. *Science Advances*, 6(49), eabb8680. doi: 10.1126/sciadv.abb8680

Zhao, L. N., Long, H. W., Mu, Y., & Chew, L. Y. (2012a). The toxicity of amyloid beta oligomers. *International Journal of Molecular Sciences*, 13(6), 7303-7327. doi:10.3390/ijms13067303

Zhao, L. N., Long, H., Mu, Y., & Chew, L. Y. (2012b). The toxicity of amyloid β oligomers. *International Journal of Molecular Sciences*, 13(6), 7303-7327. doi:10.3390/ijms13067303

Zheng, H., & Koo, E. H. (2011). Biology and pathophysiology of the amyloid precursor protein. *Molecular Neurodegeneration*, 6(1), 27. doi:10.1186/1750-1326-6-27

Zhou, Y., Song, W. M., Andhey, P. S., Swain, A., Levy, T., Miller, K. R., et al. (2020a). Human and mouse single-nucleus transcriptomics reveal TREM2-dependent and

TREM2-independent cellular responses in Alzheimer's disease. *Nature Medicine*, 26(1), 131-142. doi:10.1038/s41591-019-0695-9

Zhou, Y., Song, W. M., Andhey, P. S., Swain, A., Levy, T., Miller, K. R., et al. (2020b). Human and mouse single-nucleus transcriptomics reveal TREM2-dependent and TREM2-independent cellular responses in Alzheimer's disease. *Nature Medicine*, 26(1), 131-142. doi:10.1038/s41591-019-0695-9

Zuchero, J. B., Fu, M., Sloan, S. A., Ibrahim, A., Olson, A., Zaremba, A., et al. (2015). CNS myelin wrapping is driven by actin disassembly. *Developmental Cell*, 34(2), 152-167. doi:S1534-5807(15)00400-1

Zuniga, G., Levy, S., Ramirez, P., De Mange, J., Gonzalez, E., Gamez, M., et al. (2022). Tau-induced deficits in nonsense-mediated mRNA decay contribute to neurodegeneration. *Alzheimer's & Dementia: The Journal of the Alzheimer's Association*, doi:10.1002/alz.12653